

- 55/5
531

Б. Ф. НАЛЕТОВ, О. И. НИКОНОВ

МАГМАТИЧЕСКИЕ
АССОЦИАЦИИ
С ЗОЛОТЫМ,
ЖЕЛЕЗНЫМ
И КОЛЧЕДАННЫМ
ОРУДЕНЕНИЕМ

ТРУДЫ ИНСТИТУТА ГЕОЛОГИИ И ГЕОФИЗИКИ

Выпуск 531

ОГЛАВЛЕНИЕ

Введение	3
Г л а в а I. Гранитоиды с золотым оруденением	5
Главные геологические особенности гранитоидсодержащих ассоциаций с золотым оруденением	6
Минеральный состав	17
Петрохимия	21
Г л а в а II. Магматические ассоциации с золото-серебряным оруденением	50
Краткая геологическая характеристика	51
Минеральный состав вкраплеников лавовых, экструзивных и субвулканических образований	54
Петрохимия	55
Г л а в а III. Магматические ассоциации с колчеданным оруденением	65
Главные геологические особенности	—
Минеральный состав вкраплеников лавовых, экструзивных и субвулканических образований	79
Минеральный состав гранитоидов	80
Петрохимия ассоциаций с колчеданным, медноколчеданным и медно-цинковым оруденением	81
Петрохимия ассоциаций с колчеданно-полиметаллическим и колчеданно-свинцово-цинковым оруденением	94
Г л а в а IV. Вулкано-плутонические ассоциации с полиметаллическим оруденением	102
Петрохимия	103
Г л а в а V. Плутонические ассоциации с железным оруденением	106
Главные геологические особенности	—
Минеральный состав гранитоидсодержащих плутонических ассоциаций	110
Петрохимия гранитоидсодержащих плутонических ассоциаций	111
Петрохимия вулканогенных ассоциаций, предшествующих плутоническим ассоциациям с железооруденением скарнового типа	122
Петрохимия вулкано-плутонических ассоциаций с магнетит-гематитовым оруденением	—
Г л а в а VI. Сравнительный анализ и диагностика магматических образований с разной рудоносностью	129
Заключение	145
Приложение	148
Литература	157

Б. Ф. НАЛЕТОВ, О. И. НИКОНОВ

МАГМАТИЧЕСКИЕ
АССОЦИАЦИИ
С ЗОЛОТЫМ, ЖЕЛЕЗНЫМ
И КОЛЧЕДАННЫМ
ОРУДЕНЕНИЕМ

(минералогия, петрохимия)

Ответственный редактор чл.-кор. АН СССР Г. В. Поляков



ИЗДАТЕЛЬСТВО «НАУКА»
СИБИРСКОЕ ОТДЕЛЕНИЕ
Новосибирск. 1982

Налетов Б. Ф., Никонов О. И. Магматические ассоциации с золотым, железным и колчеданным оруденением (минералогия, петрохимия).— Новосибирск: Наука, 1982.

В монографии на статистическом материале, включающем около 150 плутонических и вулканических серий, комплексов, представленных 7 тысячами сплошных анализов, а также многочисленными количественно-минералогическими данными, преимущественно литературными, охарактеризован вещественный состав магматических ассоциаций, сопровождающихся золотым, железным и колчеданным оруденением. Данные статистические петрохимические модели состава породных групп, типов пород от мелагаббро до лейкогранитоидов. Детально рассмотрены минералогические черты отдельных типов гранитоидов. Проведено сравнение изученных ассоциаций с оловоносными, вольфрамоносными и медно-молибденоносными ассоциациями.

На основании выявленных различий в окисленности железа, специфике рудных аксессорных минералов и состава биотита делается вывод о различных окислительно-восстановительных условиях образования магматитов с разной рудоносностью.

Книга рассчитана на геологов, занимающихся вопросами магматизма, геологов-рудников, геохимиков, а также геологов-поисковиков и студентов.

Табл. 147. Ил. 23. Библ. 345.

Борис Федорович Налетов, Олег Иванович Никонов

МАГМАТИЧЕСКИЕ
АССОЦИАЦИИ
С ЗОЛОТЫМ, ЖЕЛЕЗНЫМ
И КОЛЧЕДАННЫМ
ОРУДЕНЕНИЕМ
(минералогия, петрохимия)

Ответственный редактор Глеб Владимирович Поляков

Утверждено к печати

Институтом геологии и геофизики СО АН СССР

Редактор издательства И. Ф. Джигирис

Художественный редактор М. Ф. Глазурина

Художник И. К. Белик

Технический редактор Ф. Ф. Орлова

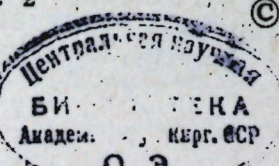
Корректоры С. М. Погудина, К. И. Сергеева

ИБ № 23097

Сдано в набор 15.06.81. Подписано к печати 16.06.82. МН-16735. Формат 70×108^{1/16}. Бумага офсетная. Обыкновенная гарнитура. Высокая печать. Усл. печ. л. 14,7. Усл. кр.-отт. 15,2. Уч.-изд. л. 18,1. Тираж 1000 экз. Заказ № 612. Цена 2 р. 70 к.

Издательство «Наука», Сибирское отделение, 630099, Новосибирск, 99, Советская, 18.
4-я типография издательства «Наука», 630077, Новосибирск, 77, Станиславского, 25.

Н 1904020000-833 277-82, кн. 2
055(02)-82



©Издательство «Наука», 1982 г.

ВВЕДЕНИЕ

Монография в основном представляет собой разработку возглавляемой Э. П. Изохом общей проблемы «Рудоносность магматических формаций». Она является продолжением ранее начатых Б. Ф. Налётовым исследований по статистическому анализу минерального и химического состава гранитоидов с оловянным, вольфрамовым и медно-молибденовым оруденением. В данной работе объединены материалы и выводы авторов, работавших в разных организациях, но выполнявших сходные по методике и конечной цели задачи. Материалом послужили преимущественно литературные данные по различным регионам СССР и зарубежных стран. Полевые исследования проводились в Алтае-Саянской, в меньшей степени — в Сихотэ-Алинской складчатых областях. С 1965 г. Б. Ф. Налётов изучал золотоносные массивы Кузнецкого Алатау и Тувы: Центральний, Федотовский, Кундустуюльские, Безымянский, Дудетский, Федоровский, Каа-Хемский и другие. Из интрузивных образований колчеданоносных ассоциаций был изучен Енисейский pluton манинского комплекса в Западном Саяне. О. И. Никоновым в процессе полевых работ исследовались некоторые колчеданоносные и железоносные вулканиты Кузнецкого Алатау, массивы Тылицкий, Кожуховский, ряд массивов Мрасского выступа. Методика работы освещена в более ранних публикациях [Белоусов и др., 1974; Налётов, Изох, 1976; Попомарева, Налётов, 1979; Белоусов и др., 1981; Налётов, 1981], что позволяет на многих вопросах, связанных с характером обработки материала, не останавливаться. Напомним лишь основные моменты методического характера, необходимые для понимания излагаемого материала. В породных группах каждой конкретной ассоциации изучалось распределение проб по петрохимическим показателям и оценивалось статистически значимое преобладание того или иного петрохимического уклона в альтернативном распределении [Большев, Смирнов, 1965] или по расчетам [Урбах, 1964]. После этого аналогичным образом устанавливалось статистическое преобладание определенного уклона в группе ассоциаций — золотоносных, железоносных и т. д.

Для типизации пород и породных групп на петрохимической основе использованы две эмпирические равноклассные формализованные шкалы: а) кремнеземистости и б) общей меланократовости [Изох, Налётов, 1974; Налётов, Изох, 1976].

Для приближенного расчленения пород в составе породных групп в соответствии со шкалой b' , подобно тому как это принято А. Ф. Белоусовым и другими [Белоусов, 1974], различаются следующие классы по меланократовости (основности): 1) в базитовой породной группе — породы мелабазитового (габброидного, $b' > 25$) и лейкобазитового (диоритоидного, $b' \leq 25$) уклонов; в той же породной группе — породы габбрового уклона ($b' > 20$), противопоставляемые диоритово-габбро-диоритовому ($b' \leq 20$) уклону; породы лейкогаббрового уклона ($b' \leq 25$), противопо-

ставляемые мезо- и мелагаббровым ($b' > 25$); породы мелагаббрового уклона ($b' > 30$), противопоставляемые другим габброидам; 2) в гранитоидной породной группе — породы лейкогранитоидного (гранитового, $b' \leq 5$) и мелагранитоидного (гранодиоритового, $b' > 5$) уклонов. Для разделения пород в группах по щелочности использован ранее уточненный вариант шкалы. Он изложен в работе А. Ф. Белоусова с соавторами (1981). Кроме того, учитывая важность количественных оценок по n , Na_2O и K_2O , рубежи по названным показателям были взяты, исходя из середин распределений, отвечающих значениям 60; 4% и 3,5% соответственно [Налетов, 1978в]. Из других были использованы признаки состава, отражающие некоторые второстепенные особенности ассоциаций пород, такие как глиноzemистость, титанистость, соотношение магния и железа, выраженные показателями: содержание Al_2O_3 (в вес. % при исключенных летучих) и наличие характеристики a' , содержание TiO_2 (в вес. %), общая железистость ($F_{\text{общ}}$), характер распределения характеристик c и s . На основании этих показателей А. Ф. Белоусовым [Белоусов и др., 1981] выделены классы (уклоны) пород, которые приняты нами в этой работе. Петрохимические шкалы различных уклонов по названным показателям (по А. Ф. Белоусову) уже опубликованы нами [Налетов, 1981] и здесь не приводятся.

В качестве петрохимической модели составов были выбраны оценки средних петрохимических показателей по породным группам. Учитывая, что изменения состава внутри породных групп происходят закономерно, а также то, что интрузивные ассоциации нередко представлены фрагментарно, а рудопоявления чаще расположены в надинтрузивных зонах, где вскрываются лишь отдельные фрагменты магматических тел, для прогнозирования интересны характеристики отдельных типов пород. Разбивка ассоциаций на типы производилась по шкале b' . С целью сокращения большого объема работы по обсчету выборок в гранитоидной группе обсчитывались подразделения пород, включающие несколько номенклатурных типов по SiO_2 . При этом в базитовой породной группе выделены (при наличии петрохимического материала) мелагаббро, мезогаббро, лейкогаббро; в гранитоидной — мелагранитоиды и лейкогранитоиды. Кроме этого, оценки средних были получены по петрохимическим показателям лейкодиоритов (кварцевых диоритов), включающих породы как базитовой, так и гранитоидной породной групп, поскольку известно [Налетов, Изох, 1976; Изох, 1978], что граница между базитовой и гранитоидной породными группами располагается в интервале лейкодиоритов (кварцевых диоритов).

Все петрохимические пересчеты выполнены в ИГиГ на ЭВМ М-220 и частично в ВЦ СО АН СССР по программам, составленным З. Г. Поляковой, Е. Н. Эпштейн, А. Е. Телешевым.

Авторы приносят благодарность д-ру геол.-мин. наук, проф. Э. П. Изоху, содействовавшему работе на многих ее этапах, д-ру геол.-мин. наук А. Ф. Белоусову и чл.-кор. АН СССР Г. В. Полякову, консультантами которых они постоянно пользовались, генеральному директору ПГО «Заспигеология» Г. А. Селятицкому, главному геологу этого объединения П. В. Ершову, начальнику Западно-Сибирской геологической экспедиции Б. А. Снежко, поддержавшим постановку тематических исследований в порядке производственных заданий. Авторы признательны также канд. геол.-мин. наук А. П. Пономаревой и А. П. Кривенко за обсуждение некоторых вопросов, разбираемых в книге.

Большая работа проделана О. А. Карпушиной в подготовке петрохимического материала для машинных пересчетов и расшифровке результатов, И. И. Шкарбань, Т. Н. Демидовой в сборе и частичной обработке этого материала, М. Ф. Нахаевой, В. И. Фоминых в сборе материала и оформлении работы.

ГЛАВА I

ГРАНИТОИДЫ С ЗОЛОТЫМ ОРУДЕНЕНИЕМ

Взаимоотношения золотого оруденения с разновозрастным и разнотипным магматизмом достаточно сложны, многообразны и еще слабо изучены. Спектр магматических ассоциаций, с которыми проявляются повышенные концентрации золота, весьма широк, что вполне согласуется с большим диапазоном геологических условий формирования золотых месторождений [Щербаков, 1967]. В этой связи интересно отметить, что многие ассоциации из рассмотренных в настоящей работе типов, кроме собственно золотоносных, несут это оруденение. Наиболее отчетливая временная и пространственная сопряженность концентраций золота устанавливается для фанерозойских гранитоидов и мезокайнозойских вулканических, вулкано-плутонических формаций [Шер, 1972, 1974]. На характеристике вещественного состава именно гранитоидов целесообразно, видимо, остановиться в первую очередь, тем более, что они послужили материалом для выявления статистических связей разнотипного оруденения с магматическими ассоциациями [Караева, 1968; Изох, 1972, 1978; Налетов, 1976, 1978].

Промышленными концентрациями золота обычно сопровождаются самые различные по составу и минеральным парагенезисам гранитоиды, но отличающиеся высоким содержанием натрия, низким или высоким содержанием калия. Концентрации последнего в лейкогранитоидах золотоносных ассоциаций могут достигать уровня содержания натрия и даже нередко превышать его. Интересно, что при этом отсутствует статистическое преобладание натриевого или, наоборот, калиевого соотношения щелочей. В данном случае мы имеем в виду ассоциации с медно-молибденовым оруденением. Остановимся на данном типе гранитоидов несколько подробнее, поскольку минеральный и химический состав их уже охарактеризован ранее [Налетов, 1981]. Гранитоиды с медно-молибденовым оруденением появляются в сложных ассоциациях в результате их эволюции по двум заметно различающимся направлениям: габбро-монцодиорит — спенито-диорит — гранодиорит, граносиенит — гранит, лейкократовый гранит — комплекс порфировых интрузий; габбро, габбро-диорит — кварцевый диорит, тоналит — трондемит, плагиогранит — комплекс даек, отвечающий по составу предшествующим породам. Для гранитоидов обоих типов свойственны биотит-роговообманковый, биотит-роговообманковый повышенной щелочности (для существенно молибденосных), в меньшей степени — биотитовый минеральные парагенезисы. Причем последний характерен лишь для гранитов и лейкогранитов. Пока совершенно неизвестны для названных ассоциаций гранитоиды с высокоглиноzemистыми минералами. Гранитоидам обоих типов свойственно наличие (в весовых количествах) акцессорного магнетита, полное отсутствие или незначительное развитие ильменита, сопрягающееся с понижением железистостью биотита. В лейкогранитоидах ассоциаций первого типа нет ста-

тистического преобладания ни калишпата, ни плагиоклаза. Точно такие же соотношения устанавливаются для калия и натрия. Лейкогранитоиды ассоциаций второго типа отличаются плагиоклазовым ($\text{Пл} \geq \text{КПШ}$) и натриевым ($\text{Na} \geq \text{K}$) соотношением полевых шпатов и щелочей соответственно. С этими гранитоидами сопрягается существенно медное оруденение, сопровождаемое промышленными концентрациями золота. Примером таких ассоциаций могут служить многие комплексы Филиппин, Малайзии, островов Новая Гвинея, Соломоновых островов и других регионов. Для ассоциаций первого типа характерно существенно молибденовое оруденение и более слабая золотоносность, хотя известны и исключения, например ассоциация района месторождения Бингем. Последнее тесно связано с монцонитоидными породами высокой кальцености, характеризуется как существенно медное, с большими запасами и является четвертым по величине золотым месторождением США [Шер, 1972]. Гранитоидам обоих типов свойственно проявление золото-сульфидной формации, золото-кварцевая и золото-сульфидно-кварцевая отмечаются реже. Для медно-порфировых месторождений, несущих золото, устанавливается положительная корреляция золота и меди [Sillitoe, 1979].

Гранитоиды с главным железным и колчеданным оруденением со спорадически встречающимися повышенными концентрациями золота описаны нами далее в соответствующих главах. Ниже остановимся на тех гранитоидах, для которых золотое оруденение является главным.

ГЛАВНЫЕ ГЕОЛОГИЧЕСКИЕ ОСОБЕННОСТИ ГРАНИТОИДСОДЕРЖАЩИХ АССОЦИАЦИЙ С ЗОЛОТЫМ ОРУДЕНЕНИЕМ

УРАЛО-МОНГОЛЬСКИЙ СКЛАДЧАТЫЙ ПОЯС

Уральская геосинклинальная складчатая область

Текельды-Тауский мегантиклиниорий

Джабыгасайский комплекс (D_2-D_3). Джабыгасайский ($\approx 300 \text{ км}^2$), Акжарский (125 км^2) массивы, «слепое» тело диоритов. Первый прорывает толщу диабазов D_{1-2} и имеет абсолютный возраст 290–270 млн. лет, второй вмещают кислые эфузивы D_1 . Абсолютный возраст пород Акжарского массива 298–277 млн. лет. Батолитообразные и дайкообразные тела. Предполагаемая схема формирования: 1) диориты, кварцевые диориты; 2) кварцевые диориты, гранодиориты, плагиограниты; 3) жильные аплитовидные граниты, гранит- и гранодиорит-порфиры. Золотоносные кварцевые и турмалин-кварцевые жилы в приконтактовых частях массивов [Хенкина, Сорокин, 1968].

Зауральское поднятие

Буруктальский комплекс (C_1). Коскольский и Журманкольский массивы в пределах Буруктального синклиниория, Кокпектинский и Кайрактинский массивы в зоне сопряжения Сарыбинской зоны с Кундыбашским антиклиниорием. Залегают среди отложений $O-S_1, D_{2-3}, C$.

Предполагаемая схема формирования: 1) жильная серия — габбро, габбро-диориты, диоритовые порфиры, диориты; 2) массивы, сложенные габбро, габбро-диоритами, диоритами, кварцевыми диоритами, дио-

ритовыми порфиритами; 3) кварцевые диориты, биотит-роговообмакковые кварцевые монцониты, гранодиориты, плагиограниты; 4) жильная серия — лампрофиры, диоритовые порфириты, диориты, гранодиориты, плагиограниты. Абсолютный возраст кварцевых монцонитов 330, кварцевых диоритов 340, плагиогранитов 350 млн. лет. Возраст жильной серии 303–380 млн. лет. Проявления золота кварцево-жильного типа и колчеданных руд [Дубинин, 1972].

Верхотурско-Верхисетский мегантиклиниорий

Базит-гранитоидная ассоциация ($C_1?$). Массивы: Верхисетский ($85 \times 30 \text{ км}^2$), Краснопольский, Середовинский, Паповский, Северо-Коневский и другие пластообразной, штокообразной формы. Прорывают вулканогенно-осадочную толщу верхнего ордовика — лландоверийского яруса силура. Абсолютный возраст пород Верхисетского массива 340–260 млн. лет (по большинству определений), других массивов — 325, 270, 260 млн. лет. Схема формирования от ранних к поздним: 1) диориты, кварцевые диориты, биотит-роговообмакковые гранодиориты, плагиограниты, биотитовые и двуслюдянные граниты; 2) жильная серия — кварцевые диориты, диорит-порфиры, биотит-роговообмакковые микрогранодиорит-порфиры, биотитовые граниты, гранит-порфиры, пегматиты, аплиты. Золоторудные кварцевые жилы в эндоконтактовых и внутренних частях массивов, контактово-метасоматические проявления железа [Бушляков, 1971; 1972; Бушляков, Соболев, 1976].

Шарташский массив ($C_1?$). Площадь $\approx 6 \text{ км}^2$. Геофизическими данными прослеживается в длину на 20 км. Абсолютный возраст наиболее развитых биотитовых гранитоидов 375–335 млн. лет. Этапы формирования: 1) крупнозернистые биотитовые и биотит-роговообмакковые граниты — адамеллиты (преобладают), крупноврапленниковые адамеллит-порфиры, тоналиты, аплиты, пегматиты, кварцевые жилы; 2) среднезернистые биотитовые адамеллиты (преобладают), адамеллит-порфиры двух фаз внедрения, гранодиорит-порфиры, лампрофиры, малхиты, пегматиты, аплиты, кварцевые жилы; 3) мелкозернистые биотитовые адамеллиты (преобладают) мела- и лейкократовые адамеллиты, гранодиорит-порфиры, лампрофиры, пегматиты, аплиты, кварцевые жилы. Золоторудные жилы в приконтактовых зонах и теле массива [Беллавин и др., 1970; Куруленко, 1971, 1977; Злобин, Куруленко, 1981].

Алапаевско-Брединский синклиниорий

Пластовский комплекс ($C_1-C_2?$). Массивы: Пластовский (150 км^2), Андреевский, Чернореченский, Коелгско-Кабанский, Кособродский, Каменский. Прорывают докембрийские, кембр-силиурйские, силуро-нижнедевонские и нижнекаменноугольные отложения. Абсолютный возраст 330–310 млн. лет. Трещинные дискордантные тела. Схема формирования: 1) кварцевые диориты, биотитовые гранодиориты, биотитовые и двуслюдянные плагиограниты; 2) жильные образования, представленные: а) средне- и мелкозернистыми биотитовыми и двуслюдянными плагиогранитами, реже меланократовыми плагиогранитами, существенно плагиоклазовыми гранодиоритами и граносиенитами; б) плагиогранодиорит-порфирами, гранодиорит-порфирами; в) альбитофирами; г) лейкократовыми и мусковитовыми плагиогранитами; д) плагиоаплитами и плагиопегматитами; е) фельзитовыми плагиопорфирами; ж) диабазами. Золото-ширит-кварцевые и золото-арсенопирит-кварцевые жилы в теле Пластовского массива [Львов, 1965; Яновский, 1971; Яновский, Туголесов, 1967].

Центрально-Казахстанская складчатая область

Степнякский синклиниорий

Крыккудукский комплекс (O_3). Массивы: Крыккудукский ($\approx 1000 \text{ км}^2$), Аккудукский (250 км^2), Буландино-Аккульский ($\approx 1800 \text{ км}^2$), Ашкольский, Западно-Атансорский, Яблоново-Итейменеский, Черняховский и др., залегают в эфузивно-осадочных отложениях O_1 и O_2 . Межформационные лакколитообразные залежи, штоки мезаобиссальные. Абсолютный возраст 480—488 млн. лет (7 определений), 455—463 млн. лет (6 определений). Ограниченно распространенные габбро, габбро-диориты, диориты, кварцевые диориты. Более поздние биотит-роговообманковые тоналиты, гранодиориты, плагиограниты, редко биотитовые граниты (фаза дополнительных интрузий). Дайковые аплиты, аплитовидные граниты (в том числе с гранатом) первого этапа; диорит-порфиры, спессартиты второго этапа. Золото-кварцевые проявления в экзоконтактах и внутри тел массивов, проявления железа скариевого типа, гидротермальные рудопроявления меди, свинца и молибдена (в интрузиях с повышенной калиевостью и щелочностью). Повышенные содержания титана, никеля, кобальта, частично меди несут все породы — от габбро до гранитов [Геология СССР, 1972; Остафийчук, Толстой, 1972; данные Э. М. Спиридонова].

Интрузии степнякского типа крыккудукского комплекса (O_3). Массивы: Степнякский, Бестюбинский, Западный, Кутуркульский и др., прорывают вулканогенно-осадочные отложения O_1 , O_2 . Штокобразные, реже уплощенные межформационные многофазные тела. Схема формирования приводится на примере Степнякского интрузива. Породы первой фазы: ортоклаз-кварцевые габбро-пориты, габбро, роговообманковые габбро; кварцевые лабрадориты, габбро-лабрадориты, кварцевые андезиты и диориты. Породы второй фазы: биотит-авгит-роговообманковые тоналиты, гранодиориты главной фации с кварцевыми и кварцодержащими диоритами эндоконтактовой фации. «В Степнякском интрузиве и вблизи него развиты в возрастной последовательности: 1) прожилки и зоны инъекций гранитов, гранодиоритов и аляскитов; 2) дайки аплитов, жильных гранитов, пегматитов; 3) гранит- и гранодиорит-порфиры; 4) кварцевые прожилки; 5) кварцевые диорит- и тоналит-порфиры; 6) полевошпат-кварцевые прожилки; 7) диорит-порфиры, спессартиты, габбро-диорит-порфиры; 8) пропилитизированные породы с прожилками пренита и эпидота; 9) березитизированные породы с золоторудными жилами и прожилками кварца с карбонатами; 10) кварц-карбонатные жилы с антимонитом; 11) кальцитовые прожилки» [Спиридонов, 1968, с. 101]. Абсолютный возраст пород первой фации по биотиту 449 млн. лет, второй фазы — 500 млн. лет, возраст даек по роговой обманке, по методу Е. А. Кузнецова, 445 млн. лет для диорит-порфириров, 455 млн. лет для спессартитов. Абсолютный возраст тоналитов и гранодиоритов по биотиту северного участка месторождения Джеламбет 445 млн. лет (среднее из двух определений), а серпентита, мусковита из околоврудных измененных пород этого же участка — 440 млн. лет (среднее из двух определений) [Спиридонов, 1968, 1971; Назымова, Шалаев, 1969; Геология СССР, 1972].

Чингиз-Тарбагатайская складчатая область

Абралинский и Шунайский синклиниории

Сарыкольский комплекс (S_2). Массивы в Абралинском синклиниории: Северо- и Южно-Бурлюгакские, Баимбетский, Сарыкольский, Четский; в Шунайском синклиниории — Бакшокинский, Шунайский, Сункарский, Кызыладырский, Атейский и др. Межформационные лакколиты с пло-

щадью до сотен квадратных километров и трещинные тела. Прорывают отложения жумакской (S_{1w}) и данежальской (S_{1-2}) свит; прорываются кольцевыми дайками нижне-среднедевонского возраста. Абсолютный возраст пород 7 массивов в пределах 455—401 млн. лет (по среднестатистическим данным), Базамбайского — 505 млн. лет, Бакшокинского — 374 млн. лет. Схема формирования: 1) габбро, габбро-диориты, диориты, сиенито-диориты, монцониты; 2) кварцевые диориты, сиеногранодиориты, биотит-амфиболовые гранодиориты, адамеллиты; 3) биотит-роговообманковые граниты; 4) биотитовые и лейкократовые граниты. Дайки аплитов, аплит-пегматитов, жильных гранитов (первый этап), плагиогранит-порфиры, гранит-порфиры, граносиенит-порфиры, диоритовые и диабазовые порфиры. Гранитоиды преобладают. Оруденение скарновой железорудной, меднорудной, кварц-золоторудной, медно-молибденовой и золотобарит-полиметаллической формаций [Геология и металлогения..., 1977].

Зайсанская складчатая область

Калба-Нарымская зона

Кунушская серия (C_1). Габброидный күшбарлыкский комплекс малых тел и даек метаморфизованных габбро и габбро-диабазов, образующих прерывистый пояс. Более поздний кунушский комплекс малых тел и даек биотитовых тоналитов, плагиогранитов, плагиогранит-порфиров. Массивы: Жилаандинский, Раздольненский, Кунушский, Буландинский и др. Пояса мелких тел и даек: Сорокинский, Медведкинский, Скалистый, Карагозекский, Манатский и др. Прорывают отложения C_1 . Продукты размыка фиксируются в конгломератах C_2 . Абсолютный возраст плагиогранитов по биотиту от 300—309 до 369—386 млн. лет. Проявления и месторождения золота [Дьячков, 1972; Кузебый, 1975; Магматизм..., 1981].

Западно-Калбинская зона

Гранодиорит-плагиогранитовая формация (C_3). Штоки, дайки, плавовые тела. Массивы: Большевик, Остриковский, Уитасский, Загадка, Эспе, Бижан, Алайгырский и др. Вмещающие — песчано-углисто-сланцевые отложения C_1 и C_2 . Схема формирования: от ранних габбро, габбро-диоритов, диоритов к более поздним биотитовым гранодиоритам, плагиогранитам. Оруденение золото-углеродисто-сульфидной, реже золото-березит-лиственитовой и убогосульфидной (золото-кварцевой) формаций в надынтрузивных зонах массивов (по В. В. Масленникову).

Жарминская зона

Саурская серия (C_1). Массивы: Чангский, Бугазский, Терсайрыкский, Сандыктасский, Подгориенский, Каска-Булакская группа массивов, Балыктыкольский, Ащудастинский, Западно-Курайлинский, Курайлинский, Арсеньевский, Алимбетский и др. площадью до 300—500 км^2 . Прорывают осадочные и вулканогенные отложения верхнего визе — нижнего памюра, перекрываются породами кенсайской свиты C_2 . Абсолютный возраст пород: саурского комплекса 333 ± 7 млн. лет (среднее из 17 определений); бугазского комплекса 324 ± 6 млн. лет (среднее из 72 определений). Лакколитообразные многоярусные тела, штоки, дайки. Формируется по следующей схеме. Саурский комплекс: 1) габбро-пориты, оливиновые габбро; 2) габбро, амфиболовые габбро; 3) роговообманковые диориты, кварцодержащие диориты (нередко с биотитом, калишпатом); 4) кварцевые диориты, тоналиты, биотит-роговообманковые (с реликтовыми диопсидом и гиперстеном);

5) трондьемиты, плагиограниты амфибол-биотитовые (с небольшим количеством орто- и клиноиороксена). Комплекс «межгранитовых» даек диоритовых порфиритов, микродиоритов, плагиогранит-порфиров. Бугазский комплекс: 1) тоналиты, трондьемиты амфибол-биотитовые (реликтовый пироксен); 2) адамеллиты и граниты биотитовые; 3) жильные граниты и аplitы. Комплекс послегранитовых даек: 1) тоналит-порфиры, граносиенит-порфиры; 2) диоритовые порфириты, микродиориты, габбро-диабазы, спессартиты; 3) аplitовидные граниты, гранит-порфиры, кварцевые порфиры. Проявления золотого и медно-порфирового оруденения во вмещающих и интрузивных породах. Возраст оруденения не моложе C_2 [Щерба и др., 1976; Габбро-гранитные серии..., 1977].

Алтае-Саянская складчатая область

Золотокитатская зона

Ургодатско-Федотовский ареал раннепалеозойской (O_1) базит-границоидной ассоциации. Федотовский ($\approx 200 \text{ км}^2$) и Ургодатский ($\approx 90 \text{ км}^2$) plutоны, ряд более мелких тел. Вмещающие: вулканогенно-осадочные и вулканические накопления раннего ордовика. Абсолютный возраст биотитовых гранитов 499 млн. лет. Серия сближенных мезоабиссальных трещинных интрузий, вытянутых параллельно Кузнецко-Алтайскому глубинному разлому. От ранних пород к поздним: пироксеновые, пироксен-роговообманковые (иногда с биотитом) габбро, габбро-диориты, биотит-роговообманковые диориты, кварцевые диориты, роговообманковые, биотит-роговообманковые гранодиориты, пироксен-биотитовые граносиениты, биотит-роговообманковые и биотитовые граниты; дайки диоритовых порфиритов, спессартитов, гранит-порфиры, гранодиорит-порфиры, пегматиты. Габброиды в количественном отношении резко подчинены гранитоидам. Золотое оруденение в виде кварц-сульфидных жил с молибденитом в эндоконтактовой зоне, скарново-магнетитовые рудопроявления [Алабин, 1966б, 1967а; Кортусов, 1967; Зыков и др., 1971; Кузоватов, Зыков, 1971, 1976; Раннепалеозойская..., 1971; Налётов, 1978а, б].

Кожуховская зона

Кожуховский plutон ($E_1 - E_{2-3}$). По последним данным [Никонов и др., 1972], выделяются два разновозрастных тела общей площадью $\approx 260 \text{ км}^2$. Западное (Тылинский массив) сложено диоритами, кварцевыми диоритами, тоналитами, роговообманковыми бескалишпатовыми плагиогранитами. Датируется как E_1 на основании находок галек плагиогранитов в фаунистически охарактеризованной нижнекембрийской карачаровской свите. Восточное (собственно Кожуховский массив) представлено диоритами, кварцевыми и бескварцевыми сиенито-диоритами, сиенитами и более широко развитыми биотит-роговообманковыми трондьемитами, гранодиоритами, граносиенитами, гранитами. Немногочисленные дайки аplitов, аplitовидных гранитов, кварцевых жил. Возраст его определяется как E_{2-3} на основании галек калишпатсодержащих гранитоидов в базальном конгломерате фаунистически охарактеризованных нижнеордовикских отложений бухтайской свиты. Трещинные интрузии. С Тылинским массивом известна колчеданная минерализация, с Кожуховским — рудопроявления золота, меди, молибдена. Плутон изучался многими исследователями [Ананьев, 1950; Дистанова, 1965; Кортусов, 1967; Раннепалеозойская..., 1971; Никонов и др., 1972; и др.].

Кийская зона

Кундустуульский комплекс (E_1). Серия гипабиссальных линейных тел и мелких штоков площадью не более 20 км^2 среди осадочно-эффузив-

ных пород Pt_3 и E_1 . К первой фазе внедрения относены диориты, габбро-диориты, микрогаббро, ко второй — плагиограниты, биотит-роговообманковые. Дайки аPLITовидных гранитов и аPLITов. Колчеданные и золотые рудопроявления. [Алабин, 1966а; Кортусов, 1967].

Центральный plutон (O_1). Площадь $\approx 290 \text{ км}^2$. Вмещающие: сланцево-карбонатные отложения $Pt_3 - E_1$, граувакко-порфиритовые накопления E_2 . Перекрываются осадками D_1 с флорой. Абсолютный возраст по биотиту: гранодиоритов — 543—549, 448—451, 430—433, гранитов — 435—438, 407—413 млн. лет. Межформационное лакколитообразное тело мезоабиссальное. Габбро, габбро-диориты, сиенито-диориты, сиениты развиты ограниченно. Преобладают более поздние кварцевые диориты, биотит-роговообманковые гранодиориты, трондьемиты, плагиограниты, граниты. АPLITы, пегматиты, более поздние лампрофиры. Оруденение кварц-сульфидно-золоторудной, реже кварц-шеелит-золоторудной формации в теле plutона, магнетитовые проявления в скарнах [Алабин, 1966а, 1971; Дистанова, 1965; Кортусов, 1967; Раннепалеозойская..., 1971; Налётов, 1978а].

Кундатский plutон (O_1). Линейно-вытянутое трещинное тело площадью около 200 км^2 . Более мелкие массивы: Соболинский, горы Лохматой, ряд мелких штоков. Вмещающие: карбонатно-вулканогенные, сланцевые породы E_1 , реже существенно карбонатные образования Pt_3 , вулканогенно-осадочные накопления E_2 . Перекрываются отложениями девона с флорой псилофитов. Абсолютный возраст гранитов по биотиту 420 млн. лет. Ограниченно развиты габбро, габбро-диориты, диориты, сиенито-диориты. Особенно распространены более поздние биотит-роговообманковые гранодиориты, граносиениты, граниты. Кварцевые и кварц-карбонатные жилы с золотом и вольфрамом (шеелит) в экзоконтактовых зонах, золото и магнетит в скарнах [Алабин, 1967б; Кортусов, 1967; Раннепалеозойская..., 1971; данные Б. Ф. Налётова].

Дудетский ареал раннепалеозойской (O_1) базит-гранитоидной ассоциации. Дудетский массив $\approx 500 \text{ км}^2$, вероятно, состоит из нескольких тел. Более мелкие массивы: Комсомольский ($\approx 16 \text{ км}^2$), Новоберикульский ($\approx 60 \text{ км}^2$), Николкинско-Гавриловский ($\approx 60 \text{ км}^2$), Кайдаловский, Николаевский. Вмещающие: карбонатные отложения Pt_3 и E_1 , а также вулканогенно-граувакковые образования E_2 . Абсолютный возраст габбро по биотиту 454, 414, 409, 389 млн. лет. Габбро, габбро-пориты, габбро-диориты, роговообманковые, диориты, калишпатовые авгит-биотитовые диориты, сиениты — образования, предшествующие гранитоидам, развиты слабо. Наиболее распространены биотит-роговообманковые гранодиориты, кварцевые диориты, плагиограниты. Дайки аPLITов, пегматитов, лампрофиры. Оруденение гидротермальной кварц-сульфидно-золоторудной, кварц-кальцит-золото-шеелитовой формаций в экзоконтактах и в теле массивов [Заварицкий, 1945; Врублевский, 1965; Кортусов, 1967; Довгаль, 1968; Довгаль и др., 1972; Кляровский, 1972; данные Б. Ф. Налётова].

Мрасский выступ

Ортонский ареал раннепалеозойской ($O_3 - S$) базит-гранитоидной ассоциации. Ортонский и другие более мелкие массивы. Залегают в карбонатных отложениях Pt_3 , вулканогенно-осадочных отложениях E_1 , перекрываются образованиями D_2 . Представляют собой базиты, предшествующие гранитоидам, выделены в Большереченский комплекс (Заслонский, Хомутовский массивы) [Богнибов, 1971], частично в Чезимский комплекс (Чезимский, Пистекский массивы) [Соломатин, 1970]. Это габбро, габбро-пориты, габбро-диориты, диориты, сиенито-диориты, реже габбро-монzonиты, эссекситы, монzonиты. Среди преобладающих гра-

тоидов установлены биотит-рогообманковые гранодиориты, граносиениты, лейкократовые граниты. Дайки гранитов, гранит-порфиров и более поздних диоритов, спессартитов, габбро-порфиритов и др. Абсолютный возраст пород чезимского комплекса 476, 484, 457—466 млн. лет (калий-argonовый метод). Мезоабиссальный уровень формирования. Проявления золота и магнетита в экзоконтактовой зоне крупных массивов [Щербаков, 1974].

Ташелгинско-Кондомская зона смятия]

Порожинский pluton (O_3 — $S?$). Площадь ≈ 200 км 2 . Вмещающие: рассланцовые и метаморфизованные отложения E_1 , переслаивающиеся с E_2 . Представлен биотит-рогообманковыми и биотитовыми гранитами, лейкократовыми гранитами, реже биотит-рогообманковыми гранодиоритами, граносиенитами, а также сиенито-диоритами и габбро, локализующимися по периферии тела гранитоидов. Дайки аplitов, пегматитов. Проявления золота в экзоконтактовой части plutона [Раннепалеозойская..., 1971; Щербаков, 1974].

Горный Алтай

Кондомо-Лебедская мобильная зона

Лебедской ареал раннепалеозойской (E_3 — O_1) базит-гранитоидной ассоциации. Лебедской, Садринский массивы общей площадью около 500 км 2 , более мелкие — Верхне-Кондомский, Чапышский, Талонский и др. Залегают среди осадочно-вулканогенных отложений венда, E_1 — E_2 , перекрываются осадками O_2 . Абсолютный возраст гранодиоритов Лебедского массива по валовому составу 498 млн. лет, а гранодиоритов Садринского по биотиту — 546 млн. лет.

Предшествующие гранитоидам базиты сложены габбро, габбро-порфиритами, рогообманковыми габбро-диоритами, диоритами, монцонитами, пироксенитами. Среди гранитоидов установлены биотит-рогообманковые гранодиориты, кварцевые монцониты, плагиограниты, трондемиты. Дайки плагиогранитов, микрогранитов, микропегматитов, более поздних и шире развитых диабазов, микрогаббро, спессартитов, порфиритов. Золотое оруденение наложено на гранат-магнетитовые скарны (скарново-золоторудная формация), отмечается также в кварцевых жилах с шеелитом [Кузнецова, 1963; Ярыгин, 1971; Вахрушев, 1972; данные В. М. Кисенко, В. П. Студеникина, А. Н. Кононова].

Бийско-Катунская зона в областях сочленения ее с Ануиско-Чуйской и Уймено-Лебедской структурно-формационными зонами

Таджилинский комплекс (E_3 — O_1) и предшествующие базиты E_1 — E_2 . Элекмонарский, Джагантерекский, Таджилинский массивы. Залегают среди карбонатно-сланцевых образований рифей и венде-нижнекембрийских эфузивов основного и среднего состава. Нижне-среднекембрийские базиты сложены габбро, габбро-порфитами. Возраст по аргигиту, калий-аргоновым методом габбро Элекмонарского массива дает 520 млн. лет, по плагиоклазам методом В. А. Кузнецова — 550 млн. лет. Позднее формируются габбро-диориты, рогообманковые диориты, кварцевые биотит-рогообманковые диориты, биотит-рогообманковые гранодиориты, плагиограниты, гранофирсы, биотитовые гранодиориты. Абсолютный возраст диоритов по биотиту и амфиболу 538, 502 и 461, гранодиоритов — 479, 460, 456, 448 млн. лет. Золотое оруденение в скарнах, золото-шеелито-

вое и медное оруденение в кварцевых жилах [Скуридин, 1964; Кононов, 1979].

Саракокшинский pluton (Pz_1) находится среди кембрийских вулканогенно-терригенных, ордовикских осадочных отложений. Состав раннепалеозойских образований: габбро, габбро-диориты, пироксениты, диориты, топалиты, плагиограниты. Дайки плагиогранитов, гранит-порфиров. Золотое оруденение скарново-золоторудной формации [Вахрушев, 1972; Щербаков, 1974; данные А. Н. Кононова].

Тува

Каа-Хемская зона

Каа-Хемский ареал таниульского комплекса (E). Каа-Хемский pluton, включающий Тапсинский, Коптинский, Буренский и другие массивы. Вмещающие: вулканогенно-осадочные отложения E_1 . Схема формирования: габбро, габбро-диориты, кварцевые диориты, монцодиориты (первая фаза); биотит-рогообманковые кварцевые диориты, гранодиориты, топалиты, плагиограниты (вторая фаза); штоки, дайки биотит-рогообманковых гранодиоритов, гранитов; биотитовых и двуслюдянных гранитов с гранатом (третья фаза). Среди пород внутри фаз также нередки рвущие взаимоотношения. Резкие контакты с обломками кварцевых диоритов в биотит-рогообманковых гранодиоритах наблюдались одним из авторов между породами второй фазы неоднократно по правому берегу р. Каа-Хем в районе пос. Сарыг-Сеп и ниже. Оруденение скарново-золоторудной формации [Пинус, 1961; Чучко, 1971; Вахрушев, 1972; Ковалев, Бухаров, 1979; данные Б. Ф. Налетова].

Ташбуольский ареал таниульского комплекса (E_2). Одноименный pluton, включающий ряд более мелких массивов основного и гранитоидного состава в хр. Восточный Ташбу-Ола. Вмещающими являются кембрийские осадочно-вулканогенные и метаморфизованные гнейсово-карбонатные и вулканогенные образования докембра. Продукты размыва устанавливаются в отложениях E_3 . Абсолютный возраст диоритов 502, 480 млн. лет, гранитов — 481, 547, 507 млн. лет. Ранние по времени формирования массивы представлены оливин-пироксен-рогообманковыми габбро, биотит-рогообманковыми диоритами, габбро-диоритами. Более поздние биотит-рогообманковые кварцевые диориты, гранодиориты, монцониты, плагиограниты, а также реже встречающиеся среди них биотит-рогообманковые, биотитовые и двуслюдянные граниты слагают главную часть площади, занимаемой породами комплекса. Редки дайковые плагиопорфирсы, гранит-порфирсы, аplitы, лампрофирсы диоритового ряда. В экзоконтактовых зонах массивов проявления золотого оруденения, магнетита в скарнах [Пинус, 1961; Иванова, 1963].

Восточный Саян

Сисим-Кызырский синклиниорий

Ольховская серия (E_3 — O_1). Габброидные массивы: Балахтисонский, Тартоякский, Верхнечиженбийские, Нижненичижинские и др.; существенно кварц-диоритоидные: Чибижекские, Хайрюзовский, Порожинский, Чебулакский и др.; гранитоидные: Ольховский, Ничкинский, Подпорожный, Канзыбинский, Кордовский. Метаморфизуют отложения Pt_2 , E_1 , E_1 — E_2 . Абсолютный возраст пород Шиндинского массива 541, 465 млн. лет для топалитов, 561, 495 млн. лет для биотит-рогообманковых гранитов, 537, 485 млн. лет для лейкократовых биотитовых гранитов. Близкие данные абсолютного возраста и по другим массивам.

Базитовые массивы: габбро, габбро-пориты, габбро-диориты, более поздние диориты, кварцевые диориты. Следующие по времени формирования гранитоидные массивы преобладают по площади над базитовыми: биотит-рогообманковые гранодиориты, граниты, биотитовые граниты, реже кварцевые диориты. Ранние дайки аляскитовых гранитов, гранит-порфиров, аплитов, более поздние — габбро-диабазов, диабазов, диабазовых порфиритов, авгитовых и лабрадоровых порфиритов, диорит-порфиритов, спессартитов. Проявления золота и железа в ореольной зоне крупных plutонов [Федосеев, 1969; Поляков, 1971].

Гарганская «глыба»

Сумсунурский комплекс (Pz_1). Гарганский, Урикский, Сумсунурский массивы. Прорывают архейские и верхнепротерозойские метаморфические образования. Схема формирования: габбро, пироксениты — диориты, кварцевые диориты, плагиограниты — дайковые плагиогранит-порфириты и диабазы. Проявления золота умеренно сульфидной формации, молибдена в скарнах и кварц-сульфидных рудах [Авдонцев, 1967].

Монголо-Охотская складчатая область

Джидинская зона

Раннепалеозойская базит-гранитоидная ассоциация. Габбро-поритовый комплекс (Pz_1), включающий Холтосонский, Енгорбайский, Малошараазаргинский, Модонкульский и другие более мелкие массивы. Габбро-пориты, пироксен-рогообманковые габбро, апторозиты. Более поздний тоналит-диоритовый комплекс (Pz_1): Модонкульский ($\approx 200 \text{ км}^2$), Шараазаргинский ($\approx 150 \text{ км}^2$), Дархитуйский ($\approx 70-75 \text{ км}^2$), Баруигольский ($\approx 25 \text{ км}^2$) и другие массивы, состоящие из диоритов, сиенито-диоритов, кварцевых диоритов, тоналитов, биотит-рогообманковых гранодиоритов, гранитов. Залегают среди осадочно-вулканогенных пород ϵ и флишоидных толщ ϵ_2 (?) [Дистанова, 1975].

Северо-Монгольская складчатая система

Цаган-Шибетинская зона

Тохтогеншильский комплекс (Pz_1). Массивы от 3—4, редко до 12—15 тыс. km^2 . Залегают в вулканогенных, вулканогенно-осадочных отложениях венда — ϵ_1 , реже метаморфических толщах Pt_3 . Абсолютный возраст от 540, 530 до 432, 314 млн. лет. Схема формирования: 1) диориты, тоналиты, габбро-диориты, габбро, редко пироксениты, горнблендиты; 2) биотит-рогообманковые гранодиориты, плагиограниты, адамеллиты, тоналиты, кварцевые диориты, граниты ($\approx 90\%$ общей массы пород). Дополнительные интрузии гранодиоритов, тоналитов, плагиогранитов, гранитов.

Дайковый комплекс развит слабо, представлен мелкозернистыми габбро, габбро-диоритами, диорит-порфиритами, гранодиоритами, гранодиорит-порфиритами, габбро-пегматитами, гранит-пегматитами. С массивами комплекса пространственно связаны россыпи золота [Геология МНР, т. 2, 1973; Геология МНР, т. 3, 1977].

Центрально-Монгольская система

Модохудукский комплекс (Pz_1). Массивы до 150—400 km^2 , реже более крупные. Схема формирования: 1) габбро, габбро-диориты, диориты, реже габбро-пироксениты, пироксениты, горнблендиты. Дайки пироксе-

новых габбро, микродиоритов, габбро-пегматитов; 2) биотит-рогообманковые гранодиориты, плагиограниты, адамеллиты, реже кварцевые диориты, биотитовые граниты. Дайковые микродиориты, мелкозернистые гранодиориты, диоритовые и диабазовые порфиры, реже аплиты, пегматиты, гранит-порфиры. Залегают среди осадочных и вулканогенно-осадочных отложений Pt_3 , $Pt_3 - \epsilon_1$, вулканитов ϵ_1 ; перекрываются отложениями $O_2 - O_3$, $D_2 - D_3$. Слабые проявления россыпной золотоносности [Геология МНР, т. 2, 1973; Геология МНР, т. 3, 1977].

Становая область мезозойской активизации

в пределах раннедокембрийской

Олекмо-Становой складчатой системы

Удско-Джугджурская зона

Удский комплекс ($J_3 - K_1^1$). Батолитоподобные массивы от 600 до 3700 km^2 , общей площадью ≈ 9 тыс. km^2 . Абсолютный возраст 160—120 млн. лет. Схема формирования: 1) диориты, кварцевые диориты; 2) биотит-рогообманковые гранодиориты, реже граниты. Преобладают гранитоиды. Гипабиссальная фация. Проявления золото-медно-полиметаллического оруденения [Сухов, 1975; Основные закономерности..., 1979].

Верхне-Приамурская зона

Сергачинский ($K_2^2 - K_1^1$) и джалиндийский комплексы. Линейно-вытянутые трещинные тела площадью $\approx 1000 \text{ km}^2$. Диориты, кварцевые сиенито-диориты, более поздние биотит-рогообманковые гранодиориты, граниты, лейкократовые граниты, гранит-порфиры (по В. К. Путинцеву).

Сихотэ-Алиньская складчатая область

Амурская и Туминская зоны геосинклинальных прогибов

Нижнеамурская серия (K_2 , сенон) включает цепочку массивов Центрального структурного шва (гора Борку; часть Горбилинского, группа мелких массивов в верховьях р. Почепта, массив кварцевых диоритов в верховье р. Бамиль, Шаманский и др.), Горбили-Зимовинскую, Туминскую, Дяппенскую, Агнис-Афанасьевскую и другие цепочки массивов, приуроченные к системе разломов Центрального шва. Схема формирования от ранних faz к поздним: габбро-диориты — кварцевые диориты — тоналиты — биотит-рогообманковые гранодиориты, плагиограниты — биотитовые граниты — гранит-порфиры — аплитовидные граниты — послегранитовые диорит-порфиры, спессартиты, диабазы и др. Вмещающие: песчанико-сланцевые флишоидные отложения преимущественно мелового возраста. Проявления формации кварц-серизитовых золотоносных метасоматитов, редкометально-кварцевой, золото-кварцевой, кварц-антимонитовой рудных формаций [Интрузивные серии..., 1967].

Курилы

Урупский комплекс (средний миоцен). Центральный интрузивный массив хр. Вернадского (о. Парамушир), интрузивы рек Галинки, Утесной, Нигори (о. Уруп), Докучаевский, Прасоловский, Валентиновский, Мечниковский и др. (о. Купашир). Для Центрального интрузивного массива установлена следующая схема формирования: 1) оливиновые габбро, габбро, пориты, габбро-пориты, габбро-диабазы, долериты (первая суб-

фаза), лейкократовые габбро-пориты (вторая субфаза); 2) мангериты, кварцевые мангериты (третья субфаза), диориты, кварцевые диориты (четвертая субфаза); плагиогранодиориты, плагиограниты (пятая субфаза), гранодиориты и граниты (шестая субфаза), аплитовидные граниты и аплиты (седьмая субфаза). Проявления золота [Сергеев, 1976].

США. Штат Айдахо

Батолит Айдахо (К). Наиболее ранние — породы кварц-диоритовой серии, более поздние — породы кварц-монцонитовой серии. Габбро, горнбледиты, тоналиты кварц-диоритовой серии представлены небольшими силлоподобными массивами, кварцевые диориты дают плутоны до ≈ 600 км 2 . Биотит-роговообманковые кварцевые монцониты, гранодиориты и граниты, биотитовые граниты поздней серии образуют тела до 100—250 км 2 . Проявлена дайковая серия сходных по составу пород. Абсолютный возраст 70—80 млн. лет. Месторождения и рудопроявления золота [Larsen, Schmidt, 1958; Heitanen, 1963; Taubeneck, 1971; Bennett, 1980].

Кроме описанных в табл. 1 ассоциаций использованы данные по минералогии и химизму бокалинской серии [Формационный анализ..., 1975; Налетов, Изох, 1976], по раннепалеозойским гранитоидам Тыдынского ареала Кузнецкого Алатау, габбро-гранодиоритовой формации Камчатки [Оптические..., 1967], использованы данные и приведены петрохимические статистики по дуганджинскому комплексу (по В. Н. Мусину), басугуинскому [Загрузина, 1977], меловым гранитоидам батолита Сьерра-Невада [Bateman, Lockwood, 1970; 1976; Lanphere, Reed, 1973;

Таблица 1

Схема формирования и частота встречаемости интрузивных пород в ассоциациях с золотым оруденением

Породные группы	Последовательность внедрения от габбро к лейкогранитам	Частота встречаемости с 95%-ными доверительными пределами, % (Всего по 55 ассоциациям)
Базитовая плутоническая	Габбро от меланократового до лейкократового (редко габбро-перидотиты, габбро-пироксениты, габбро-лабрадориты), габбро-диориты	35(57,6—80,5)
	Диориты, реже монцодиориты	50(81,8—96)
Гранитоид- ная плутонич- еская	Лейкодиориты (кварцевые диориты), сиенито-дио- риты, тоналиты	51(84—97)
	Гранодиориты, троидемиты, реже граносиени- ты, кварцевые монцониты	55(100)
Гранитоид- ная дайковая	Граниты, плагиограниты от меланократовых до лейкократовых	49(79—95)
	Гранодиорит-порфиры, тоналит- и троидемит- порфиры, граносиенит-порфиры, фельзитовые плагиопорфиры, кварцевые порфиры, аплиты (ре- же сиенит-порфиры)	38(57—79)
Базитовая дайковая	Габбро, габбро-диориты, диорит-порфиры, сиенитодиорит-порфиры, спессартиты, керсан- иты, диабазы и т. п.	31(51—76)

При мечани с. При построении таблицы помимо указанных в тексте использованы так же данные по комплексам: удскуму, джугдукурскому Лимнусской зоне, верхнеамурскому Верхис-
тиамурской, Октябрьской зоне [Сухов, 1975].

Lockwood, 1975]; мел-раннетретичной и позднетретичной гранитоидным ассоциациям Аляскинско-Алеутского батолита [Reed, Lanphere, 1969; 1974; Lanphere, Reed, 1973], олигоцен-эоценовой субвуликанической гранитоидной ассоциации в штате Нью-Мексико [Segerstrom, Ryberg, 1974]; базит-гранитоидной серии Дъен-Бъен-Фу, Вьетнам [Изох и др., 1965]; золотоносным гранитоидам зоны Китаками в Японии [Ishihara e. a., 1974]; девонской базит-гранитоидной ассоциации месторождения Маунт-Морган [Cornelius, 1969; Шер, 1972; Фретс, Болд, 1980]. Таким образом, всего изучено 48 золотоносных ассоциаций.

В табл. 1 суммированы литературные данные по частоте встречаемости различных пород ассоциаций и общей последовательности их формирования. Судя по таблице, а также данным Э. П. Изоха (1978), в подавляющем числе ассоциаций встречаются все главные разновидности пород: от габбро до лейкократовых гранитов. В базитовой группе габбро в количественном отношении подчинены диоритоидам, а в гранитоидной лейкогранитоиды — мелагранитоидам. Дайки нередко представлены слабо, хотя в некоторых ассоциациях они бывают развиты исключительно широко и многообразно: бокалинская серия в Западном Узбекистане [Формационный анализ..., 1975], саурская — в Казахстане [Габбро-гранитные..., 1977]. Э. П. Изохом (1978) дан геолого-статистический анализ гранитоидов с золотым оруденением. Подчеркивается завершенный характер золотоносных базит-гранитоидных ассоциаций, широкий диапазон тектонических и геологических условий их проявления; указывается на формирование их на ранних стадиях магматических мегаритмов, не совпадающих с обычно выделяемыми стадиями развития складчатых областей. Более поздние ассоциации оказываются, как правило, более калиевыми и обладают другой спецификой рудоносности, с уклоном в сторону развития редкометальных рудных формаций.

МИНЕРАЛЬНЫЙ СОСТАВ

ГРАНИТОИДНАЯ ГРУППА

Биотит-роговообманковый парагенезис является наиболее характерным в золотоносных ассоциациях не только для мелагранитоидов, но также и для большей части лейкогранитоидов. На заключительных этапах формирования гранитоидов появляются биотитовые лейкогранитоиды. В этом они близки существенно меденосным гранитоидам из группы ассоциаций с медно-молибденовым оруденением. В единичных случаях фиксируются ассоциации, сложенные полностью биотитовыми (кунушкий комплекс) и совсем редко двуслюдянными (возможно, пластовский комплекс) гранитоидами. В целом же обычна эволюция парагенезисов от биотит-роговообманкового или биотит-роговообманкового повышенной щелочности к биотитовому минеральному классу (табл. 2). В редких случаях на заключительных этапах такой эволюции в незначительном объеме могут появляться гранитоиды с высокоглиноземистыми минералами (крыккодукский, ташуольский комплексы, см. табл. 2). Описание минерального состава различных групп пород приводится ниже.

Мелагранитоиды (гранодиориты, тоналиты, троидемиты, редко граносиениты) обладают следующим количественно-минеральным составом (рис. 1). Плагиоклаз встречается от 15 до 80%, но обычно для него характерны содержания 30—65%. Диапазон встречаемости калишпатта 0—45%, с наибольшей частотой встречаемости 10—30%. Соотношение полевых шпатов плагиоклазовое ($Пл > КПШ$) во всех изученных разновидностях. Роговой обманки может присутствовать до 25%, обычно до 15%. Примерно такие же содержания характерны для биотита (см. рис. 1). Клиноци-

Таблица 2

Схема эволюции парагенезисов гранитоидов с золотым оруденением

№ п/п	Ассоциации (серии, комплексы, ареалы, плутонии, массивы)	Минералогические классы гранитоидов		
		$SiO_2 = 57-63\%$	$SiO_2 = 63-69\%$	$SiO_2 = 69-75\%$
1	Кожуховский pluton [Дистанова, 1965]	III, IV	III	III, II
2	Центральницинский plutон [Алабин, 1971; данные Б. Ф. Налетова]	III, IV	III	III, II
3	Ольховская серия [Поляков, 1971]	III	III	III, II
4	Каахемский plutон ташуольского комплекса [Пинус, 1961; Ковалев, Бухаров; 1979; данные Б. Ф. Налетова]	III, IV	III	III, II, I
5	Саурская серия [Габбро-гранитные..., 1977]	III	III	III, II
6	Бокалинская серия [Формационный..., 1975]	III	III	III
7	Крыккудукский комплекс (по Э. М. Спиридонову)	III	III	III, I
8	Кунгурский комплекс Калба-Нарымской зоны [Магматизм и рудоносность, 1982 (в печати)]	II	II	II
9	Пластовский комплекс [Львов, 1965]	—	I	I
10	Буруктальский комплекс [Дубинин, 1972]	—	IV	IV

Примечание. I — гранитоиды с высокоглиноземистыми минералами; II — биотитовые гранитоиды; III — биотит-роговообманковые гранитоиды; IV — биотит-роговообманковые гранитоиды повышенной щелочности; V — гранитоиды с щелочными темноцветными минералами [Пономарева, Налетов, 1979].

роксен иногда с ортопироксеном может присутствовать до 10—12%.

Лейкогранитоиды (граниты, плагиограниты, лейкохратовые граниты) характеризуются наличием плагиоклаза в количестве до 70% с максималь-

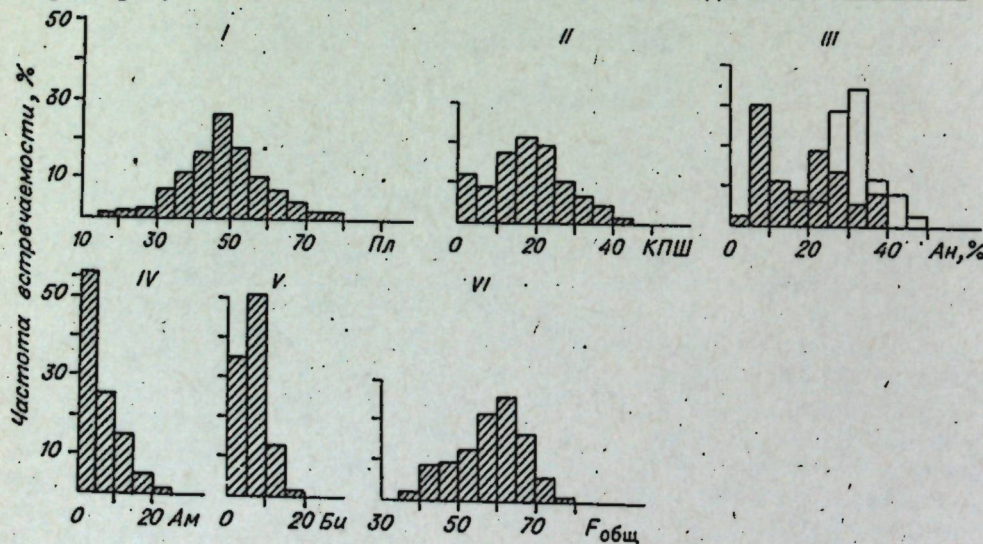


Рис. 1. Распределение мелагранитоидов из ассоциаций с золотым оруденением по количеству плагиоклаза (I, $n = 362$), калишпата (II, $n = 329$), содержанию аортита центральных частей зерен (III, $n = 185$) и периферических зон (III, $n = 36$, штриховка) плагиоклаза, количеству амфибала (IV, $n = 275$), биотита (V, $n = 262$), величине ювелирной железистости биотита (VI, $n = 222$). При построении гистограмм здесь и на других рисунках этой главы использованы литературные данные [Щерба, 1951, 1957; Корель, Кузнецова, 1961; Пинус, 1961; Русс и др., 1964; Львов, 1965; Петрова, 1965; Алабин, 1967, 1971; Интрузивные серии..., 1967; Кортусов, 1967; Оптические..., 1967; Довгаль, 1968; Хеникина, Сорокин, 1968; Федосеев, 1969; Баженов, Кучеренко, 1970; Богнеби, 1971; Поляков, 1971; Раннепалеозойская..., 1971; Дьячков, 1972; Осташайгер, 1976; Габбро-гранитные..., 1977; Минин, 1977; Лисицын и др., 1979; Ишихара с. а., 1974; Larsen, Schmidt, 1958; Таубенеск, 1971].

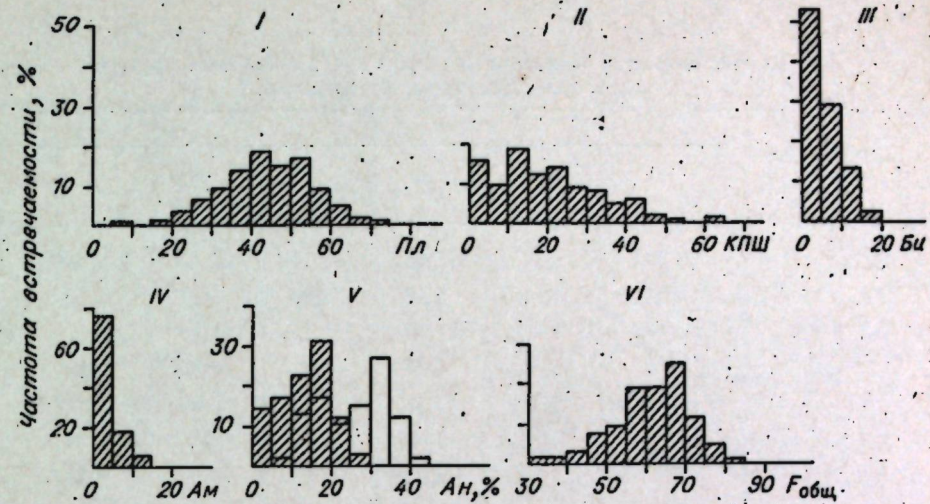


Рис. 2. Распределение лейкогранитоидов из ассоциаций с золотым оруденением по количеству плагиоклаза (I, $n = 271$), калишпата (II, $n = 246$), биотита (III, $n = 237$), амфибала (IV, $n = 111$), содержанию аортита центральных частей зерен (V, $n = 99$) и периферических зон (V, $n = 35$, штриховка) плагиоклаза, величине ювелирной железистости биотита (VI, $n = 96$).

ной частотой встречаемости 30—60%, калишпата может присутствовать до 65%, обычно до 45%. Как и для мелагранитоидов, устойчивым является преобладающее плагиоклазовое соотношение полевых шпатов. Роговой обманки и биотита содержится обычно до 10—15% (рис. 2). К гранитоидной группе относится часть лейкодиоритов (кварцевых диоритов). Статистические данные об их составе приведены на рис. 3. Кроме того отметим, что клинопироксен в них был встречен в 42 образцах (от 1 до 12%), ортопироксен — в 13 случаях (от 2—3 до 25%). Железистость биотита понижена и варьирует в пределах 42—54% (11 определений).

Приводим краткую характеристику минералов гранитоидов.

Плагиоклаз передко зональный. По статистическим данным (см. рис. 1, 2), как в мелагранитоидах, так и в лейкогранитоидах имеет состав олигоклаза — андезина (№ 10—50) с максимальной частотой встречаемости № 20—40 в первых и № 10—40 — во вторых. Промежуточные и периферические зоны представлены обычно альбитом — олигоклазом, реже (в мелагранитоидах) встречается кислый андезин.

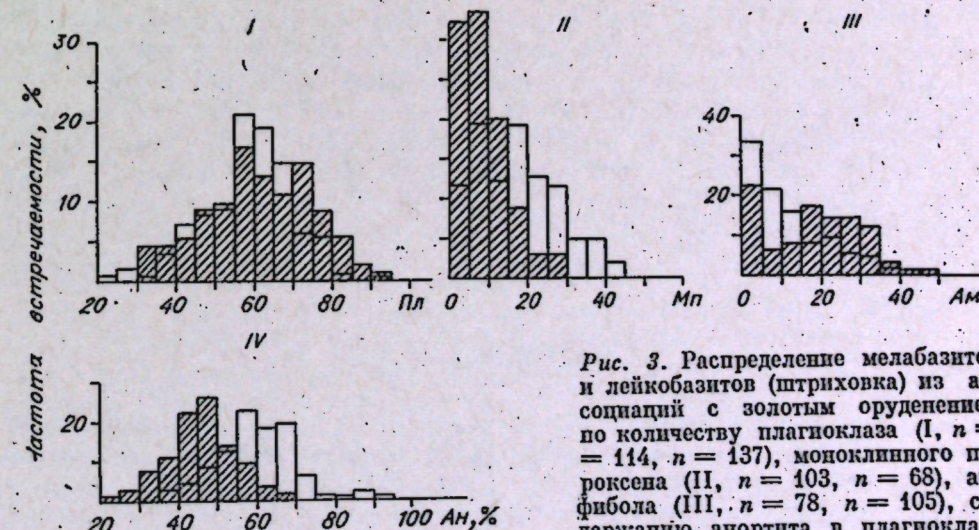


Рис. 3. Распределение мелабазитов и лейкобазитов (штриховка) из ассоциаций с золотым оруденением по количеству плагиоклаза (I, $n = 114$, $n = 137$), моноклиническому пироксену (II, $n = 103$, $n = 68$), амфиболу (III, $n = 78$, $n = 105$), содержанию аортита в плагиоклазе (IV, $n = 292$, $n = 181$).

Таблица 3

Статистики составов биотитов из гранитоидов с золотым оруденением (по литературным данным)

Компонент	1		2		3	
	\bar{X}	s	\bar{X}	s	\bar{X}	s
SiO_3	36,54	1,07	36,46	1,14	36,26	1,04
TiO_2	3,09	0,71	3,56	0,80	3,20	0,79
Al_2O_3	15,29	1,18	11,37	1,35	15,23	2,17
Fe_2O_3	4,34	6,45	4,68	1,71	4,04	1,80
FeO	15,68	2,36	15,39	2,75	15,48	3,83
MgO	12,04	1,74	11,44	1,62	10,00	2,39
CaO	0,60	0,52	0,72	0,58	0,44	0,36
Na_2O	0,45	0,31	0,30	0,22	0,23	0,26
K_2O	8,39	1,09	8,22	1,03	8,40	1,01
F	0,35	—	0,34	0,21	0,34	0,27
$F_{\text{общ}}$	61,1	6,0	63,5	5,6	67,4	7,5
f	14,9	2,3	16,5	11,3	14,9	14,2

П р и м е ч а н и е. 1 — биотит из кварцевых диоритов, $n=35$; 2 — биотит из мелагранитоидов, $n=113$ (для Fe_2O_3 , FeO , F $n=42$); 3 — биотит из лейкогранитоидов, $n=40$ (для Fe_2O_3 и FeO $n=26$, для F $n=18$).

Калишпат (ортоклаз, микроклин) часто перититовый. Статистических данных для его характеристики оказалось недостаточно. В гранодиоритах Верхисетского plutона микроклин имеет следующий состав: $\text{Or}_{88}\text{Ab}_{12}\text{An}_0$ и $\text{Or}_{83,5}\text{Ab}_{12}\text{An}_{1,5}$, в амфибол-биотитовых гранитах того же массива $\text{Or}_{84-86}\text{Ab}_{9-14}\text{An}_{2-5}$ (по трем определениям); в биотитовых гранитах: $\text{Or}_{77,5-88,5}\text{Ab}_{8-9}\text{An}_{2,5-13,5}$ (четыре определения) [Бушляков, Соболев, 1976].

Биотит зеленый, оливково-зеленый, буро-зеленый, наряду с роговой обманкой типичный темноцветный минерал. Железистость варьирует в пределах $F_{\text{общ}} = 30-85\%$, с наибольшей частотой встречаемости $F_{\text{общ}} = 50-70\%$ (см. рис. 1, 2). Характерно также низкое содержание фтора (табл. 3).

Аксессорные минералы. Весьма характерны магнетит, апатит, циркон, сфен, реже ильменит, ортит, эпидот, гранат, пирит, халькопирит. Магнетит в количественном отношении (кг/т) резко преобладает над другими минералами, в том числе и ильменитом. Сказанное не относится к глиноzemистым и, вероятно, высокоглиноzemистым гранитоидам, в которых соотношение этих минералов меняется на обратное — с той лишь разницей, что ильменит не достигает таких высоких содержаний. Следует отметить, что существенно магнетитовый состав аксессориев в золотоносных ассоциациях сопрягается с пониженней железистостью биотита.

БАЗИТОВАЯ ГРУППА

Статистические данные, характеризующие мелабазиты (габбро, габбро-нориты и т. п.) и лейкобазиты (габбро-диориты, диориты), приведены на рис. 3, 4. Следует отметить, что нередко присутствуют оливин, ортопироксен, биотит. Обычные аксессорные минералы: магнетит, ильменит, апатит, реже сфен.

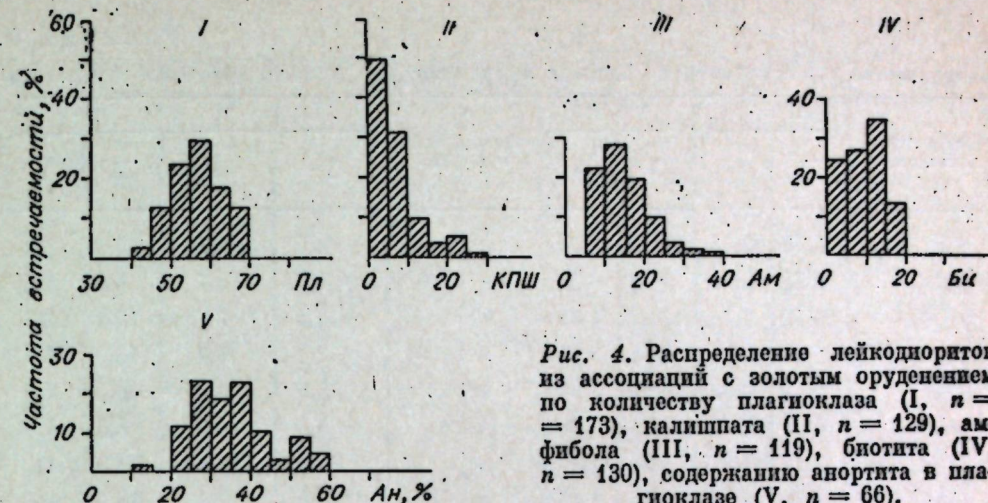


Рис. 4. Распределение лейкодиоритов из ассоциаций с золотым оруденением по количеству плагиоклаза (I, $n=173$), калишпата (II, $n=129$), амфиболя (III, $n=119$), биотита (IV, $n=130$), содержанию анортита в плагиоклазе (V, $n=66$).

ПЕТРОХИМИЯ

Петрохимические статистики гранитоидов с золотым оруденением приведены в табл. 4—52. Первичные, ранее не публиковавшиеся силикатные анализы по некоторым ассоциациям даны в табл. 1 Приложения. Помимо табличных данных изучено распределение каждого петрохимического показателя в соответствующей породной группе и дана статистическая оценка его распространенности относительно выбранных петрохимических уклонов. Далее оценивалась частота встречаемости этого показателя в целом по 48 ассоциациям.

ГРАНИТОИДНАЯ ГРУППА

Характерным и давно известным отличительным признаком золотоносных гранитоидов является прежде всего их повышенная натриевость: преобладание Na_2O над K_2O . Нашей задачей было выяснить устойчивость этого соотношения относительно различных типов пород, а также нахождение характерных количественных рубежей для этого соотношения в разных его выражениях. Как показала статистическая обработка собранного материала, преобладание натрия над калием ($\text{Na}_2\text{O} \geq \text{K}_2\text{O}$) присуще не только мелагранитоидам, но и лейкогранитоидам большинства золотоносных ассоциаций. Отметим, что в изученных гранитоидах преобладают разности с $\text{Na}_2\text{O} > 4$ и $\text{K}_2\text{O} \leq 3,5$. Следствием этого являются достаточно высокие значения показателя n А. Н. Заварецкого. Так, показатель $n > 60$ фиксируется в подавляющем большинстве ассоциаций — 39 из 48, или 70—90% случаев. Также в большинстве ассоциаций (35 из 48, или 58—81%) установлены значения $n > 65$. Все это согласуется с существенно плагиоклазовым ($\text{Пл} \geq \text{КПШ}$) соотношением полевых шпатов золотоносных гранитоидов. Нередки и такие ассоциации, где в гранитоидах преобладают разности с $n > 75$. К ним, в частности, относятся ассоциации Центрально-Кузнецкого, Кундатского plutонов, кундустиюльского комплекса в Кузнецком Алатау, кунушского комплекса в Западно-Калбинской зоне. Обычны же, с одной стороны, умеренно натриевые [по А. Ф. Белоусову и др., 1981] гранитоиды с наименее часто встречающимися значениями $50 < n \leq 75$, с другой — ассоциации, где умеренно натриевые и высоконатриевые ($75 < n \leq 100$) гранитоиды развиты без заметного преобладания. Первые отмечены в 24 из 48 ассоциаций, что может составить от 37 до 63% на совокупность, вторые — в 17

Таблица 4

Петрохимические статистики базитов и гранитоидов джабыгасайского комплекса

Петрохим. показат.	1		2		Петрохим. показат.	1		2	
	\bar{X}	s	\bar{X}	s		\bar{X}	s	\bar{X}	s
SiO ₂	65,79	3,53	58,04	2,39	a	12,1	1,7	9,5	2,2
TiO ₂	0,54	0,41	0,84	0,28	c	4,0	1,7	6,9	1,4
Al ₂ O ₃	16,53	1,75	17,21	1,81	b'	8,4	2,7	16,1	3,2
Fe ₂ O ₃	2,14	0,84	2,68	0,85	f'	42,3	9,7	45,3	9,0
FeO	2,46	0,93	4,94	1,16	m'	35,5	13,0	46,2	6,7
MnO	0,07	0,05	0,11	0,04	c'(-a')	-8,4	28,0	8,5	7,6
MgO	2,11	0,84	4,34	1,10	n	75,2	12,2	74,3	14,1
CaO	3,93	1,39	6,85	1,38	φ	18,3	6,5	14,6	4,7
Na ₂ O	4,21	0,92	3,14	0,79	t	0,6	0,4	1,1	0,4
K ₂ O	2,11	1,03	1,71	1,11	Q	+19,5	7,0	+9,0	6,3
P ₂ O ₅	0,10	0,16	0,14	0,17	d	0,6	0,1	0,4	0,1
ΣFeO	4,30	1,23	7,35	1,32	F	55,4	10,6	49,0	7,7

Примечание. 1 — гранитоидная группа, $n=45$; 2 — базитовая группа, $n=10$ [Хеникина, Сорокина, 1988] (35 анализов — выборка Е. И. Якобса).

Таблица 5

Петрохимические статистики базитов и гранитоидов буруктальского комплекса

Петрохим. показат.	1		2		Петрохим. показат.	3		4		Петрохим. показат.	5	
	\bar{X}	s	\bar{X}	s		\bar{X}	s	\bar{X}	s		\bar{X}	s
SiO ₂	65,56	1,30	68,31	4,75	51,23	1,57	54,77	2,48	53,77	3,11		
TiO ₂	0,35	0,09	0,31	0,18	0,88	0,20	0,74	0,26	0,85	0,27		
Al ₂ O ₃	16,23	0,93	15,99	1,50	17,20	0,83	16,98	0,51	17,51	1,20		
Fe ₂ O ₃	2,22	1,18	2,25	1,16	3,92	0,82	3,35	0,90	4,08	1,16		
FeO	2,44	0,84	2,23	1,04	5,05	0,88	4,78	0,59	4,97	0,90		
MnO	0,14	0,29	0,10	0,21	0,06	0,02	0,06	0,01	0,07	0,04		
MgO	1,47	0,37	1,43	0,90	5,68	0,90	4,38	1,09	6,08	2,29		
CaO	3,22	1,12	3,10	1,85	9,09	1,05	6,76	1,21	7,94	2,41		
Na ₂ O	4,14	0,57	4,20	0,46	3,44	0,53	3,41	0,59	3,54	1,13		
K ₂ O	2,19	0,50	2,05	0,48	1,14	0,31	1,03	0,30	1,16	0,38		
P ₂ O ₅	—	—	—	—	—	—	—	—	—	—		
П.п.п. (ΣFeO)	1,80	0,70	(4,26)	1,40	2,14	0,86	2,84	0,67	(8,65)	1,11		
a	12,3	1,5	11,9	1,2	8,8	3,0	9,4	1,2	9,1	2,8		
c	3,7	1,2	13,4	1,8	5,7	4,4	6,9	0,6	6,1	3,3		
b'	7,1	1,2	6,8	3,2	22,5	1,3	17,3	1,0	21,4	4,3		
f'	49,6	13,0	44,9	12,3	31,5	20,9	43,8	5,7	35,8	15,4		
m'	28,3	7,7	25,3	12,3	43,4	6,1	42,8	8,1	45,3	8,5		
c'(-a')	-16,6	22,0	-23,1	28,3	19,8	6,8	7,1	12,9	11,4	13,7		
n	74,2	4,6	75,7	4,4	59,7	74,5	83,2	5,8	71,01	50,4		
φ	21,0	9,0	20,7	8,4	14,3	5,9	16,6	3,2	15,6	5,5		
t	0,4	0,1	0,4	0,2	1,3	0,3	1,0	0,4	1,2	0,4		
Q	+21,5	4,9	+24,3	8,2	-1,3	11,8	+5,8	4,6	-0,6	9,8		
d	0,6	0,1	0,6	0,1	1,6	3,9	0,4	0,1	1,0	2,6		
F	62,8	8,2	65,0	11,0	46,0	5,8	50,5	8,1	45,8	8,5		

Примечание. 1 — мелагранитоиды, $n=7$; 2 — гранитоидная группа, $n=18$; 3 — лейкогаббро, $n=10$; 4 — диориты, $n=7$; 5 — базитовая группа, $n=22$ [Дубинин, 1972].

Таблица 6

Петрохимические статистики гранитоидов Верхотурско-Верхисетского мегантиклинория

Петрохим. показат.	1		2		Петрохим. показат.	3		4	
	\bar{X}	s	\bar{X}	s		\bar{X}	s	\bar{X}	s
SiO ₂	60,11	2,73	65,69	1,80	69,91	1,66	68,43	2,95	
TiO ₂	0,71	0,14	0,47	0,14	0,27	0,14	0,39	0,20	
Al ₂ O ₃	17,34	1,33	16,42	0,93	15,70	0,91	16,18	1,03	
Fe ₂ O ₃	1,94	0,79	1,40	0,64	0,71	0,49	1,06	0,67	
FeO	3,95	0,50	2,65	0,91	1,83	0,54	2,32	0,95	
MnO	0,10	0,06	0,08	0,05	0,06	0,06	0,07	0,06	
MgO	2,99	0,61	1,68	0,40	0,65	0,27	1,22	0,74	
CaO	5,61	1,02	3,89	1,04	2,41	0,76	3,21	1,29	
Na ₂ O	3,96	0,73	4,17	0,78	4,41	0,64	4,33	0,72	
K ₂ O	1,79	0,58	2,19	0,70	3,10	0,96	2,74	1,07	
P ₂ O ₅	—	—	—	—	—	—	0,14	—	
П.п.п. (ΣFeO)	0,95	0,58	0,86	0,58	0,56	0,57	(3,27)	1,12	
a	11,5	2,0	12,4	2,1	14,0	1,8	13,2	2,1	
c	6,0	1,8	4,3	1,3	2,7	1,0	3,5	1,4	
b'	11,8	1,4	7,1	1,2	3,6	0,7	5,6	2,5	
f'	46,6	6,1	47,5	8,9	51,0	14,5	49,6	12,5	
m'	43,1	8,6	35,1	7,3	22,2	7,9	28,8	10,8	
c'(-a')	6,2	12,4	-5,1	20,9	-16,8	27,7	-10,1	24,6	
n	77,3	5,2	74,4	6,7	68,6	7,6	71,1	8,3	
φ	13,8	4,9	14,8	6,5	12,5	8,2	13,4	7,1	
t	0,9	0,2	0,5	0,2	0,3	0,1	0,4	0,2	
Q	+11,7	5,7	+21,3	5,0	+26,1	3,9	+23,3	5,5	
d	0,5	0,1	0,6	0,1	0,7	0,1	0,6	0,1	
F	51,8	6,9	56,9	6,0	68,9	9,5	62,9	11,1	

Примечание. 1 — лейкодиориты, $n=14$; 2 — мелагранитоиды, $n=36$; 3 — лейкогранитоиды, $n=38$; 4 — гранитоидная группа, $n=84$ [Бушляков, Соболев, 1976; Знаменский, 1966].

Таблица 7

Петрохимические статистики базитов из ассоциации Верхотурско-Верхисетского мегантиклинория

Петрохим. показат.	1		2		3		Петрохим. показат.	1		2		3	
	\bar{X}	s	\bar{X}	s	\bar{X}	s		\bar{X}	s	\bar{X}	s	\bar{X}	s
SiO ₂	52,85	2,90	55,41	2,13	56,80	2,81	a	9,2	3,2	13,4	1,9	11,2	2,8
TiO ₂	0,86	0,29	0,92	0,35	0,83	0,27	c	5,7	2,9	5,0	1,2	6,0	2,1
Al ₂ O ₃	16,81	1,27	17,27	1,09	17,84	1,09	b'	21,7	2,6	17,1	1,2	16,7	4,2
Fe ₂ O ₃	2,39	0,72	2,45	0,68	2,40	0,73	f'	34,6	8,2	43,4	2,8	42,4	8,6
FeO	5,87	1,51	5,33	0,49	5,08	1,39	m'	48,1	4,1	39,1	6,2	44,2	6,7
MnO	0,25	0,32	0,17	0,07	0,16	0,18	c'(-a')	6,7	19,2	17,4	6,0	8,8	13,2
MgO	6,67	1,83	3,89	0,64	4,60	2,06	n	77,1	4,5	75,2	5,8	76,9	5,1
CaO	6,66	2,87	6,50	0,88	6,49	1,65	φ	9,4	3,9	12,3	3,1	12,8	5,0
Na ₂ O	3,21	1,16	4,49	0,48	3,88	0,88	t	1,2	0,4	1,2	0,5	1,1	0,4</

Таблица 8

Петрохимические статистики гранитоидов Шарташского интрузива

Петрохим. показат.	\bar{X}	s	Петрохим. показат.	\bar{X}	s
SiO_2	70,22	1,51	'a'	15,2	1,2
TiO_2	0,34	0,18	'c'	2,1	0,8
Al_2O_3	15,61	0,83	'b'	4,1	1,0
Fe_2O_3	0,69	0,45	'f'	50,1	11,1
FeO	1,95	0,63	'm'	31,4	7,0
MnO	0,02	0,02	'c'(-a')	-10,1	22,4
MgO	0,92	0,23	'n'	69,0	3,9
CaO	1,93	0,76	' Φ '	12,1	7,7
Na_2O	4,93	0,38	't'	0,4	0,2
K_2O	3,38	0,48	'Q'	+23,0	2,8
P_2O_5	—	—	'd'	0,7	0,1
ΣFeO	2,57	0,57	'F'	61,0	5,3

Примечание. Число анализов $n=39$ (неопубликованная выборка Р. С. Курулленко).

Таблица 9

Петрохимические статистики гранитоидов пластового комплекса

Петрохим. показат.	1		2		3		4	
	\bar{X}	s	\bar{X}	s	\bar{X}	s	\bar{X}	s
SiO_2	67,80	1,66	70,50	1,38	72,09	1,83	71,05	2,13
TiO_2	0,36	0,18	0,19	0,09	0,17	0,05	0,23	0,14
Al_2O_3	15,60	1,10	15,89	1,40	15,51	1,08	15,96	1,11
Fe_2O_3	1,48	0,41	0,90	0,47	0,69	0,19	1,03	0,51
FeO	1,64	0,65	1,19	0,45	0,87	0,38	1,26	0,56
MnO	0,07	0,03	0,03	0,02	0,04	0,02	0,04	0,03
MgO	2,12	0,52	0,84	0,44	0,49	0,13	1,13	0,75
CaO	2,73	1,01	2,11	0,75	1,92	0,38	2,27	0,82
Na_2O	3,89	0,40	4,44	0,68	4,32	0,72	4,33	0,67
K_2O	2,85	0,37	2,44	0,66	2,77	0,84	2,64	0,66
P_2O_5	0,06	0,11	0,06	0,08	0,03	0,03	0,05	0,08
ΣFeO	1,22	0,65	1,00	0,42	1,00	0,64	(2,19)	0,75
'a'	12,5	1,1	13,0	1,3	13,2	1,7	12,9	1,3
'c'	3,1	1,0	2,4	0,9	2,3	0,5	2,6	0,9
'b'	6,5	1,2	3,4	0,8	2,2	0,4	4,0	1,8
'f'	34,3	7,3	32,6	10,8	35,0	18,0	33,5	11,6
'm'	43,1	11,9	25,0	14,2	18,6	6,3	28,6	15,3
'c'(-a')	-18,3	20,0	-36,8	30,4	-46,0	23,6	-33,6	28,1
'n'	67,5	3,2	73,3	7,3	70,4	8,3	71,2	7,1
' Φ '	15,1	4,3	12,8	6,9	14,3	7,6	13,7	6,4
't'	0,4	0,2	0,2	0,1	0,2	0,1	0,2	0,2
'Q'	+24,0	4,3	+28,2	3,8	+31,0	5,2	+27,6	4,8
'd'	0,6	0,04	0,6	0,1	0,6	0,1	0,6	0,1
'F'	44,3	8,1	58,9	12,1	62,0	12,1	55,6	3,0

Примечание. 1 — мелагранитоиды, $n=14$; 2, 3 — лейногранитоиды, $n=29, 10$; 4 — гранитоидная группа, $n=53$ [Львов, 1965; Яновский, Туголесов, 1976] (17 химических анализов из неопубликованной выборки Н. С. Бородиной).

Таблица 10

Петрохимические статистики гранитоидов крыккудукского комплекса

Петрохим. показат.	1		2		3		4		5	
	\bar{X}	s								
SiO_2	60,56	2,88	67,54	2,42	72,41	1,37	75,86	1,27	68,80	4,48
TiO_2	0,65	0,22	0,37	0,12	0,25	0,09	0,15	0,13	0,39	0,20
Al_2O_3	16,80	1,53	15,20	1,20	14,07	1,09	13,27	0,78	15,14	1,38
Fe_2O_3	2,32	1,07	1,69	0,87	1,20	0,58	0,70	0,32	1,67	1,02
FeO	3,74	0,89	2,43	0,95	1,51	0,59	0,58	0,44	2,35	1,18
MnO	0,09	0,04	0,07	0,08	0,05	0,03	0,03	0,02	0,07	0,06
MgO	2,93	0,83	1,52	0,62	0,74	0,22	0,31	0,12	1,54	0,94
CaO	5,71	1,15	3,65	0,92	2,28	1,03	1,45	0,87	3,60	1,55
Na_2O	3,74	0,59	3,98	0,66	4,09	0,60	4,03	0,46	3,98	0,64
K_2O	2,06	0,61	2,32	1,03	2,22	1,10	3,06	1,27	2,31	1,01
P_2O_5	0,23	0,14	0,16	0,13	0,09	0,11	0,06	0,04	0,16	0,14
П.п.п. (ΣFeO)	1,16	0,48	0,94	0,43	0,70	0,34	0,35	0,12	(3,85)	1,49
'a'	11,4	1,7	12,1	1,5	11,9	1,1	12,8	1,4	11,9	1,5
'c'	5,7	1,7	3,9	1,1	2,7	1,2	1,6	1,0	3,7	1,6
'b'	12,2	1,4	6,9	1,5	3,7	0,7	1,7	0,5	6,8	3,2
'f'	47,3	8,6	53,3	11,1	52,2	10,2	41,4	8,1	50,9	10,7
'm'	41,0	9,2	35,1	11,1	26,8	9,7	21,4	13,0	33,3	11,7
'c'(-a')	10,6	9,4	2,9	15,2	-18,3	19,4	-24,5	33,1	-2,4	21,0
'n'	73,6	5,7	72,6	10,6	74,3	12,1	67,5	11,5	72,8	10,2
' Φ '	16,6	7,7	20,3	10,5	21,5	10,7	23,2	10,1	20,1	10,3
't'	0,8	0,3	0,4	0,1	0,3	0,1	0,1	0,1	0,4	0,2
'Q'	+12,7	5,7	+25,4	5,5	+34,6	3,2	+38,5	3,8	+26,5	8,4
'd'	0,5	0,1	0,6	0,1	0,6	0,1	0,7	0,1	0,6	0,1
'F'	53,2	9,2	60,1	11,4	66,4	8,0	68,0	13,4	60,7	11,1

Примечание. 1 — лейкодиориты, $n=65$; 2 — мелагранитоиды, $n=61$; 3, 4 — лейкогранитоиды, $n=38, n=8$; 5 — гранитоидная группа, $n=141$ (16 анализов [Остапчук, Толстой, 1972]; 125 — выборка Э. М. Спиридонова).

Таблица 11

Петрохимические статистики базитов крыккудукского комплекса

Петрохим. показат.	1		2		3		4		5	
	\bar{X}	s								
SiO_2	46,19	3,21	47,78	1,99	51,54	1,76	56,08	2,61	55,99	4,43
TiO_2	1,32	0,98	1,25	0,56	0,77	0,27	0,70	0,15	0,80	0,39
Al_2O_3	12,42	5,22	16,59	1,63	17,32	1,11	17,08	1,45	17,39	1,73
Fe_2O_3	3,76	1,40	4,08	1,99	2,86	1,55	2,60	1,21	2,78	1,32
FeO	6,84	1,03	6,40	0,61	5,84	1,39	5,08	1,21	5,11	1,40
MnO	0,17	0,05	0,12	0,06	0,14	0,03	0,14	0,06	0,13	0,05
MgO	11,58	2,28	6,61	1,80	6,06	0,59	4,00	0,87	4,63	2,17
CaO	13,72	3,72	11,12	1,88	8,37	1,04	7,40	1,26	7,76	2,16
Na_2O	1,83	0,71	2,69	0,76	3,47	1,11	3,62	0,67	3,56	0,83
K_2O	0,52	0,25	0,92	0,52	1,16	0,52	1,55	0,61	1,57	0,68
P_2O_5	0,33	0,24	0,37	0,39	0,32	0,15	0,26	0,15	0,27	0,18
П.п.п. (ΣFeO)	1,14	0,73	2,02	1,23	2,11	0,73	0,73	1,61	2,6	
'a'	4,7	1,9	7,4	2,4	7,2	1,9	6,5	1,6	6,6	1,9
'c'	5,8	2,9	7,8	2,4	7,2	1,9	7,0	1,2	18,5	6,9
'b'	38,2	6,0	27,7	1,8	22,3	1,3	17,0	1,2		
'f'	25,5	6,9	36,3	7,6	37,5	5,2	43,4	6,5	42,2	9,0
'm'	49,0	3,6	41,3	10,2	47,6	4,8	40,7	8,2	42,5	8,6
'c'(-a')	25,4	9,3	22,3	8,4	14,9	4,8	15,9	7,0	18,8	8,3
'n'	83,7	5,6	82,4	8,1	81,8	5,9	78,2	7,5	78,0	7,1
'										

Таблица 12

Петрохимические статистики базитов и гранитоидов степнинского типа крымкульского комплекса

Петрохим. показат.	1		2		3		4		5		6		7	
	\bar{X}	s												
SiO ₂	64,99	1,51	64,87	4,18	50,02	1,30	50,53	1,67	54,31	1,94	58,74	3,71	54,96	3,32
TiO ₂	0,28	0,12	0,36	0,14	0,68	0,26	0,57	0,20	0,74	0,30	0,57	0,48	0,69	0,26
Al ₂ O ₃	15,66	0,75	16,78	2,22	15,37	2,33	18,06	1,66	18,13	1,39	17,58	2,49	18,43	1,80
Fe ₂ O ₃	0,78	1,13	1,24	1,29	3,50	1,49	2,39	1,17	4,92	1,17	4,47	1,17	2,16	1,34
FeO	4,30	1,20	4,25	1,22	6,57	1,59	7,00	1,58	6,18	1,10	4,47	1,17	6,24	1,46
MnO	0,09	0,05	0,09	0,04	0,16	0,05	0,16	0,04	0,15	0,03	0,10	0,03	0,14	0,04
MgO	1,96	0,48	2,42	0,67	8,01	1,95	5,46	1,04	4,36	0,74	3,07	0,74	4,82	1,69
CaO	3,86	1,06	4,70	1,86	10,85	1,41	9,43	1,29	7,51	1,25	6,03	1,89	8,10	1,94
Na ₂ O	3,54	0,70	3,57	0,63	2,10	0,23	2,52	0,37	3,22	0,63	3,51	0,57	3,10	0,73
K ₂ O	1,39	0,55	1,55	0,57	0,95	0,67	1,17	0,39	1,42	0,52	1,62	0,47	1,38	0,53
P ₂ O ₅	0,45	0,09	0,47	0,08	0,26	0,23	0,19	0,43	0,27	0,12	0,29	0,46	0,27	0,28
П. п. (ΣFeO)	2,77	1,34	(5,37)	0,65	4,94	0,53	2,54	0,49	1,85	0,60	2,30	1,01	(8,18)	1,49
a	9,9	1,1	10,4	1,2	6,0	1,2	7,7	0,7	9,5	1,4	10,5	1,1	9,0	1,8
c	4,8	1,4	5,0	1,2	7,4	1,8	9,0	1,4	7,9	1,7	6,9	2,4	8,0	1,9
b'	8,3	1,2	9,2	1,6	28,9	3,6	22,0	1,6	17,4	1,4	12,3	1,3	18,5	4,8
f'	50,0	10,1	49,0	8,6	33,0	9,4	42,6	4,7	40,1	4,5	47,7	5,6	44,4	6,8
m'	34,4	9,4	37,6	9,0	46,9	8,0	44,4	7,1	44,1	5,6	42,4	7,8	44,0	6,8
c'(-a')	-45,2	16,5	-9,7	16,4	20,1	5,7	12,4	10,4	9,2	6,1	3,9	11,0	10,2	8,7
n	79,1	8,8	77,4	7,9	78,7	11,9	76,6	7,5	77,4	8,3	76,7	6,2	77,4	8,1
φ	5,7	7,2	9,7	8,8	10,3	4,3	9,7	4,6	10,0	6,2	12,1	8,8	10,0	6,4
t	0,3	0,1	0,4	0,2	1,0	0,4	0,8	0,3	1,0	0,4	0,7	0,2	0,9	0,4
Q	+25,8	4,6	+23,1	5,2	-4,0	3,3	-1,6	4,0	+3,3	3,9	+12,1	6,1	+2,8	5,8
d	0,5	0,5	0,5	0,1	0,3	0,1	0,3	0,4	0,4	0,1	0,4	0,1	0,4	0,1
F	59,1	6,8	56,5	7,0	40,7	10,9	48,7	4,3	50,7	5,1	52,7	7,3	49,8	7,2

Примечание. 1 — мелагранитоиды, $n=10$; 2 — гранитоидные группы, $n=17$ (2 анализа, коллекция А. П. Пономаревой); 3 — выборка Э. М. Спирidonова; 4 — лейкодиориты, $n=8$; 5 — мелагранитоиды, $n=21$; 3 — лейкогранитоиды, $n=15$; 4 — гранитоидная группа, $n=49$ (выборка Н. В. Полинского); 5 — базитовая группа, $n=12$ (выборка Н. В. Полинского).

Таблица 13

Петрохимические статистики базитов и гранитоидов сарыкольского комплекса

Петрохим. показат.	1		2		3		4		5	
	\bar{X}	s								
SiO ₂	63,33	2,68	66,02	2,97	72,91	2,48	69,64	4,83	59,02	4,40
TiO ₂	0,50	0,33	0,47	0,12	0,28	0,17	0,39	0,19	0,77	0,26
Al ₂ O ₃	15,00	1,60	15,26	1,56	13,59	1,03	14,68	1,64	16,56	1,67
Fe ₂ O ₃	2,88	0,90	1,95	0,81	1,22	0,71	1,86	0,94	3,81	1,24
FeO	3,01	0,85	2,59	0,86	1,09	0,62	2,00	1,21	4,15	1,49
MnO	0,06	0,05	0,08	0,04	0,03	0,02	0,05	0,04	0,08	0,08
MgO	2,04	0,77	2,13	0,55	0,86	0,29	1,66	0,96	3,91	1,21
CaO	4,13	0,65	3,22	1,10	1,28	0,57	2,52	1,54	5,58	1,70
Na ₂ O	3,99	0,86	3,65	0,46	3,94	0,71	3,88	0,66	3,60	0,69
K ₂ O	2,77	0,42	2,93	0,65	3,66	0,78	3,22	0,75	2,37	1,11
P ₂ O ₅	0,10	0,11	0,12	0,12	0,05	0,05	0,09	0,10	0,16	0,20
П. п. п. (ΣFeO)	0,82	0,86	1,03	0,72	0,48	0,56	(3,86)	1,58	(7,58)	1,89
a	12,7	1,8	12,2	0,7	13,5	1,5	12,8	1,3	11,3	1,5
c	3,5	1,3	3,7	1,4	1,4	0,6	2,6	1,7	5,2	1,8
b'	11,3	0,5	8,1	1,3	3,5	0,6	6,6	3,2	15,5	4,3
f'	46,6	8,4	47,4	9,9	45,4	13,2	45,3	11,1	46,0	8,0
m'	38,1	9,5	40,3	9,4	30,5	11,4	34,3	13,8	41,0	5,8
c'(-a')	11,2	11,8	-5,9	14,8	-19,7	22,6	-12,0	24,7	6,9	13,6
n	68,2	5,6	65,4	7,2	61,9	7,8	64,6	7,7	70,1	11,5
o	21,3	6,9	19,0	9,2	23,8	17,0	21,6	11,9	20,9	6,8
p	0,6	0,2	0,5	0,2	0,3	0,2	0,4	0,2	1,0	0,4
q	+15,3	5,5	+22,2	4,8	+32,2	5,3	+25,7	8,6	+7,2	8,7
r	0,6	0,1	0,6	0,1	0,77	0,1	0,7	0,1	0,5	0,1
F	54,9	10,4	53,6	10,1	59,4	10,4	58,2	13,6	59,7	12,3

Примечание. 1 — лейкодиориты, $n=8$; 2 — мелагранитоиды, $n=21$; 3 — лейкогранитоиды, $n=15$; 4 — гранитоидная группа, $n=49$ (выборка Н. В. Полинского); 5 — базитовая группа, $n=12$ (выборка Н. В. Полинского).

Таблица 14

Петрохимические статистики гранитоидов кунунского комплекса Калба-Нарымской зоны

Петрохим. показат.	1		2		3		4	
	\bar{X}	s	\bar{X}	s	\bar{X}	s	\bar{X}	s
SiO ₂	65,94	1,89	70,09	1,25	72,50	1,01	70,59	2,69
TiO ₂	0,48	0,18	0,25	0,07	0,15	0,07	0,27	0,13
Al ₂ O ₃	16,78	1,64	16,01	2,08	15,37	0,40	16,22	1,92
Fe ₂ O ₃	0,51	0,30	0,36	0,32	0,18	0,22	0,37	0,32
FeO	3,34	1,40	2,04	0,53	1,30	0,57	2,18	0,89
MnO	0,04	0,02	0,03	0,01	0,03	0,01	0,03	0,02
MgO	2,01	0,73	0,89	0,28	0,29	0,11	1,01	0,58
CaO	3,07	0,58	2,58	0,60	1,68	0,63	2,60	0,68
Na ₂ O	4,09	0,80	4,77	0,56	4,42	0,40	4,70	0,65
K ₂ O	2,56	0,72	1,66	0,66	2,66	0,67	1,91	0,78
P ₂ O ₅	0,15	0,06	0,10	0,09	0,08	0,05	0,11	0,09
П. п. п. (ΣFeO)	0,85	1,09	0,76	0,62	0,32	0,23	(2,51)	0,90
a	12,5	1,6	12,4	1,6	13,2	0,3	12,5	1,5
c	3,5	0,6	3,0	1,0	2,0	0,8	3,0	1,0
b'	7,1	1,2	3,9	1,4	1,9	0,3	4,2	1,9
f'	36,1	9,4	35,1	15,6	30,9	14,3	34,8	14,7
m'	35,6	16,1	25,0	10,8	10,4	4,4	25,2	12,7
c'(-a')	-22,8	21,3	-36,3	18,0	-58,7	12,8	-36,4	19,9
n	70,6	8,7	80,5	8,9	71,7	7,0	78,2	9,5
o	4,6	3,1	4,7	3,7	4,1	6,1	4,6	3,8
p	0,5	0,2	0,3	0,1	0,2	0,1	0,3	0,1
q	+19,9	6,1	+28,3	4,8	+31,9	1,3	+27,4	5,8
r	0,6	0,1	0,7	0,6	0,7	0,02	0,7	0,6</

Таблица 15

Петрохимические статистики базитов кунушского комплекса
Калба-Нарымской зоны.

Петрохим. показат.	\bar{X}	s	Петрохим. показат.	\bar{X}	s
SiO_2	58,96	4,37	a	11,6	2,9
TiO_2	0,90	0,50	c	5,4	1,8
Al_2O_3	17,13	1,50	b'	13,9	6,2
Fe_2O_3	1,10	0,61	f'	45,3	10,5
FeO	5,25	1,06	m'	42,4	12,6
MnO	0,11	0,03	$c'(-a')$	0,1	16,8
MgO	3,77	2,02	n	73,0	8,8
CaO	5,54	3,50	φ	7,0	3,7
Na_2O	3,82	1,16	t	1,2	0,7
K_2O	2,15	0,80	Q	+8,0	5,9
P_2O_5	0,21	—	d	0,5	0,1
ΣFeO	6,24	1,17	F	51,6	11,9

Примечание. Число анализов $n=32$ (выборка В. В. Лопатникова).

Таблица 16
Петрохимические статистики базитов и гранитоидов кунушской ассоциации Западно-Калбинской зоны

Петрохим. показат.	1		2		Петрохим. показат.	1		2	
	\bar{X}	s	\bar{X}	s		\bar{X}	s	\bar{X}	s
SiO_2	70,30	3,46	53,72	3,60	a	13,9	2,3	9,9	3,4
TiO_2	0,29	0,15	0,91	0,42	c	2,1	1,4	5,6	1,6
Al_2O_3	16,25	1,63	16,02	2,41	b'	4,0	1,6	23,7	6,6
Fe_2O_3	1,62	1,27	2,98	2,01	f'	43,8	14,1	32,4	12,7
FeO	1,56	0,97	4,90	2,39	m'	16,7	9,1	49,6	12,7
MnO	0,05	0,05	0,14	0,04	$c'(-a')$	-34,5	26,7	17,4	11,0
MgO	0,66	0,42	7,30	3,07	n	79,4	15,0	84,0	12,0
CaO	1,94	1,30	8,48	2,45	φ	20,5	15,4	12,0	11,7
Na_2O	5,27	1,25	3,92	1,58	t	0,3	0,2	1,3	0,6
K_2O	1,94	1,16	1,00	0,67	Q	+24,3	8,0	-4,0	7,0
P_2O_5	0,11	0,06	0,64	1,66	d	0,7	0,1	0,5	0,1
ΣFeO	3,02	1,22	7,58	2,29	F	72,6	11,6	38,9	14,0

Примечание. 1 — гранитоидная группа, $n=52$; 2 — базитовая группа, $n=30$ (по В. В. Масленникову).

Таблица 17

Петрохимические статистики гранитоидов Саурской серии

Петрохим. показат.	1		2		3	
	\bar{X}	s	\bar{X}	s	\bar{X}	s
SiO_2	64,95	2,33	69,97	2,10	66,79	3,21
TiO_2	0,45	0,15	0,31	0,09	0,42	0,15
Al_2O_3	16,66	1,02	15,53	0,82	16,58	1,13
Fe_2O_3	1,69	0,50	1,00	0,37	1,54	0,57
FeO	2,86	0,74	1,89	0,51	2,66	0,82
MnO	0,07	0,04	0,03	0,02	0,06	0,04
MgO	1,77	0,49	0,77	0,31	1,55	0,65
CaO	3,94	1,07	1,93	0,80	3,47	1,35
Na_2O	4,16	0,40	4,33	0,46	4,26	0,42
K_2O	2,18	0,85	3,27	0,54	2,51	0,90
P_2O_5	0,17	0,17	0,10	0,06	0,16	0,15
П. п. п. (ΣFeO)	0,79	0,59	0,66	0,35	(4,04)	1,09
a	12,4	1,6	13,9	0,6	12,9	1,5
c	4,7	1,4	2,3	0,9	4,0	1,7
b'	7,5	1,6	3,9	0,9	6,5	2,2
f'	52,5	8,1	45,9	10,9	50,5	9,3
m'	36,7	7,1	22,0	7,5	32,5	10,1
$c'(-a')$	-6,6	14,0	-30,9	15,3	-13,4	18,6
n	75,1	8,1	66,7	5,6	72,5	8,3
φ	17,9	4,9	14,5	5,2	16,8	5,2
t	0,5	0,2	0,3	0,1	0,5	0,2
Q	+19,9	3,7	+25,8	3,7	+21,4	5,2
d	0,6	0,1	0,7	0,1	0,6	0,1
F	58,5	5,7	67,3	9,3	61,1	8,1

Примечание. 1 — мелагранитоиды, $n=60$; 2 — лейкогранитоиды, $n=23$; 3 — гранитоидная группа, $n=87$ [Габбро-гранитные серии..., 1977].

Таблица 18

Петрохимические статистики базитов Саурской серии

Петрохим. показат.	1		2		3		4	
	\bar{X}	s	\bar{X}	s	\bar{X}	s	\bar{X}	s
SiO_2	49,06	3,21	51,17	4,01	59,04	2,36	51,05	5,91
TiO_2	0,71	0,28	0,66	0,24	0,55	0,14	0,74	0,34
Al_2O_3	19,65	2,36	21,43	2,73	18,34	1,80	20,03	2,36
Fe_2O_3	3,65	1,29	2,99	1,18	1,96	0,62	3,28	1,53
FeO	5,77	0,55	5,33	0,79	3,76	0,81	5,66	1,54
MnO	0,13	0,05	0,12	0,03	0,10	0,05	0,13	0,05
MgO	5,77	1,38	4,37	0,96	2,93	0,59	5,31	1,92
CaO	10,40	1,80	9,33	2,02	6,01	1,21	9,95	2,77
Na_2O	2,69	0,52	3,35	0,53	4,13	0,38	3,00	0,92
K_2O	0,56	0,45	0,57	0,53	1,54	0,76	0,67	0,54
P_2O_5	0,11	0,11	0,29	0,44	0,21	0,08	0,17	0,22
П. п. п. (ΣFeO)	1,23	0,73	0,91	0,48	1,02	0,65	(8,61)	2,40
a	7,1	1,5	8,7	1,5	11,70	1,4	7,9	2,5
c	10,5	2,7	10,9	3,2	6,8	1,7	10,1	2,9
b'	22,6	1,5	17,5	1,8	11,5	1,7	20,8	6,3
f'	41,2	7,4	46,4	7,4	47,9	7,6	42,6	8,0
m'	45,5	8,8	44,0	7,3	43,8	4,9	44,9	7,5
$c'(-a')$	13,4	3,9	5,5	8,9	5,1	8,8	10,8	8,2
n	88,8	6,2	90,8	6,5	81,1	7,7	88,3	6,4
φ	14,8	5,4	15,3	5,9	15,1	4,6	14,2	5,3
t	1,1	0,5	0,9	0,3	0,7	0,2	1,11	0,6
Q	-5,2	4,9	-3,2	5,7	+9,5	3,4	-3,5	9,1
d	0,3	0,1	0,3	0,1	0,5	0,1	0,3	0,1
F	47,3	9,0	50,9	7,8	51,5	6,6	48,3	8,3

Примечание. 1 — лейкогаббро, $n=16$; 2 — диориты, $n=10$; 3 — лейкодиориты, $n=15$; 4 — базитовая группа, $n=49$ [Габбро-гранитные серии..., 1977].

Таблица 19

Петрохимические статистики базитов и гранитоидов Ургодатско-Федотовского ареала

Петрохим. показат.	1		2		Петрохим. показат.	1		2	
	\bar{X}	s	\bar{X}	s		\bar{X}	s	\bar{X}	s
SiO_2	70,95	4,61	55,87	3,34	a	13,78	1,43	9,50	2,24
TiO_2	0,35	0,26	0,94	0,26	c	1,83	1,13	6,38	2,08
Al_2O_3	13,92	1,77	16,51	2,00	b'	5,81	2,88	19,56	4,12
Fe_2O_3	1,54	1,62	3,29	2,20	f'	55,49	11,79	45,56	10,04
FeO	2,33	1,35	6,06	1,51	m'	26,94	9,68	37,84	8,44
MnO	0,06	0,07	0,16	0,05	$c'(-a')$	3,15	21,83	16,31	6,18
MgO	1,00	0,55	4,44	1,51	n	65,33	13,04	78,95	6,73
CaO	2,14	1,05	7,87	1,84	φ	19,17	14,10	15,04	10,87
Na_2O	4,26	1,07	3,40	0,86	t	0,38	0,31	1,26	0,34
K_2O	3,39	1,32	1,38	0,57	Q	+26,63	9,38	+3,69	5,40
P_2O_5	0,05	0,08	0,08	0,17	d	0,78	0,13	0,44	0,13
ΣFeO	3,72	1,82	9,02	2,23	F	67,12	9,54	53,99	10,47

Примечание. 1 — гранитоидная группа, $n=21$ ([Дистанова, 1965; Ранинпалеозойская..., 1971]; 14 химических анализов из коллекции Б. Ф. Налетова, Приложение, табл. 1, № 1—20, 22); 2 — базитовая группа, $n=30$ ([Врублевский, 1965; Ранинпалеозойская..., 1971]; 21 анализ из коллекции Б. Ф. Налетова, Приложение, табл. 1, № 21, 23—35).

Таблица 20

Петрохимические статистики гранитоидов Кундустуюльского ареала

Петрохим. показат.	1		2		Петрохим. показат.	1		2	
	\bar{X}	s	\bar{X}	s		\bar{X}	s	\bar{X}	s
SiO_2	68,17	5,91	50,01	1,87	a	12,80	1,78	8,22	2,00
TiO_2	0,48	0,41	1,09	0,67	c	3,46	1,37	6,97	1,79
Al_2O_3	15,72	1,38	16,78	3,03	b'	5,61	3,06	26,82	6,20
Fe_2O_3	0,95	0,78	1,70	0,45	f'	58,93	18,26	35,69	10,0
FeO	3,50	2,22	7,86	2,32	m'	21,16	13,91	47,5	12,7
MnO	0,07	0,06	0,20	0,09	$c'(-a')$	-4,76	28,01	16,8	6,4
MgO	1,23	1,18	8,24	2,77	n	86,40	6,65	87,7	5,1
CaO	3,46	1,56	10,01	1,14	φ	12,97	10,35	6,3	2,9
Na_2O	5,07	0,67	3,12	0,59	t	0,42	0,22	1,7	1,0
K_2O	1,19	0,71	0,77	0,37	Q	+25,36	8,86	-7,4	5,8
P_2O_5	0,15	0,09	0,21	0,11	d	4,65	2,93	0,4	0,1
ΣFeO	4,36	2,76	9,39	2,64	F	18,89	40,88	42,8	13,0

Примечание. 1 — гранитоидная группа, $n=14$ ([Кортусов, 1967]; 7 анализов из коллекции Б. Ф. Налетова, Приложение, табл. 1, № 75—81); 2 — базитовая группа, $n=8$ (коллекция

Таблица 21

Петрохимические статистики базитов и гранитоидов Центральноиницкого plutона

Петрохим. показат.	1		2		Петрохим. показат.	3		4	
	\bar{X}	s	\bar{X}	s		\bar{X}	s	\bar{X}	s
SiO_2	66,60	1,86	68,97	1,67	SiO_2	67,63	2,65	55,98	3,58
TiO_2	0,41	0,10	0,32	0,12	TiO_2	0,41	0,13	1,28	0,33
Al_2O_3	16,33	0,94	16,06	0,69	Al_2O_3	16,62	1,30	17,34	1,04
Fe_2O_3	1,62	0,52	1,12	0,43	Fe_2O_3	1,55	0,54	2,80	1,14
FeO	2,86	0,75	1,83	0,55	FeO	2,69	0,82	5,93	1,03
MnO	0,07	0,03	0,06	0,03	MnO	0,07	0,03	0,10	0,03
MgO	1,10	0,35	0,63	0,28	MgO	1,03	0,39	3,57	1,08
CaO	3,59	0,73	3,55	0,79	CaO	3,68	0,80	6,86	1,92
Na_2O	4,45	0,38	4,24	0,35	Na_2O	4,44	0,38	4,01	0,60
K_2O	1,88	0,61	1,39	0,70	K_2O	1,78	0,64	1,80	0,66
P_2O_5	0,10	0,08	0,09	0,05	P_2O_5	0,10	0,08	0,33	0,17
$\Pi. \text{п.} (\Sigma\text{FeO})$	0,73	0,36	1,05	0,78	$\Pi. \text{п.} (\Sigma\text{FeO})$	(4,09)	0,93	(8,45)	1,05
a	12,54	1,33	11,34	0,87	a	12,29	1,33	11,54	2,01
c	4,21	0,85	4,24	0,86	c	4,22	0,84	6,09	1,57
b'	6,21	1,03	3,94	0,72	b'	5,73	1,35	16,30	4,27
f'	59,53	11,39	51,65	13,22	f'	57,85	12,03	49,82	6,96
m'	26,33	8,42	19,70	9,11	m'	24,92	8,36	34,39	7,91
$c'(-a')$	-9,33	17,33	-23,75	23,40	$c'(-a')$	-12,39	19,31	10,80	4,55
n	78,62	5,34	82,60	7,75	n	79,46	6,02	77,35	5,07
φ	20,15	7,83	17,21	4,78	φ	19,53	7,33	14,27	4,67
t	0,46	0,12	0,35	0,13	t	0,44	0,13	1,71	0,55
Q	+22,90	4,84	+30,59	1,04	Q	+24,53	5,36	+2,27	5,81
d	0,57	0,07	0,53	0,06	d	0,57	0,07	2,08	0,95
F	69,03	7,92	71,82	9,40	F	69,62	8,18	1,55	0,50

Примечание. 1 — мелагранитоиды, $n=26$; 2 — лейкогранитоиды, $n=7$; 3 — гранитоиды, $n=33$ ([Кортусов, 1967; Баженов, Кучеренко, 1970; Алабин, 1971; Ранинпалеозойская..., 1971]; 5 химических анализов — Приложение, табл. 1, № 37—41); 4 — базитовая группа, $n=17$ ([Кортусов, 1967; Алабин, 1971; Ранинпалеозойская..., 1971]).

Таблица 22

Петрохимические статистики гранитоидов Кундатского plutона

Петрохим. показат.	1		2		Петрохим. показат.	3		4	
	\bar{X}	s	\bar{X}	s		\bar{X}	s	\bar{X}	s
SiO_2	65,31	1,59	69,25	3,29	SiO_2	67,99	3,74		
TiO_2	0,53	0,10	0,28	0,07	TiO_2	0,43	0,18		
Al_2O_3	16,39	0,80	16,49	2,04	Al_2O_3	16,08	1,61		
Fe_2O_3	1,77	0,36	0,97	0,58	Fe_2O_3	1,43	0,81		
FeO	2,07	0,56	1,95	1,04	FeO	2,06	0,72		
MnO	0,07	0,03	0,07	0,02	MnO	0,07	0,03		
MgO	1,54	0,28	0,60	0,19	MgO	1,25	0,72		
CaO	3,54	0,67	2,48	0,68	CaO	3,12	1,19		
Na_2O	4,75	0,50	5,00	1,13	Na_2O	4,72	0,80		
K_2O	2,80	0,30	2,29	1,33	K_2O	2,77	0,94		
P_2O_5	0,07	0,10	1,12	0,03	P_2O_5	0,08	0,08		
$\Pi. \text{п.} (\Sigma\text{FeO})$	0,77	0,76	0,85	0,24	$\Pi. \text{п.} (\Sigma\text{FeO})$	(3,35)	1,02		
a	14,51	1,12	14,09	1,86	a	14,11	1,29		
c	3,53	0,57	2,97	0,87	c	3,16	0,96		
b'	6,93	1,26	3,69	0,77	b'	6,07	2,92		
f'	48,76	6,49	53,14	15,89	f'	49,29	10,16		
m'	35,79	4,94	19,01	4,23	m'	29,07	10,32		
$c'(-a')$	4,39	17,73	-27,04	18,02	$c'(-a')$	-8,02	24,47		
n	71,97	2,85	76,72	13,46	n	71,90	9,26	</td	

Таблица 23

Петрохимические статистики базитов Кундатского plutona

Петрохим. показат.	1		2		3	
	\bar{x}	s	\bar{x}	s	\bar{x}	s
SiO_2	47,99	1,76	52,57	2,11	52,86	4,39
TiO_2	1,30	0,23	1,12	0,24	1,16	0,27
Al_2O_3	18,46	0,33	19,33	1,44	19,17	1,02
Fe_2O_3	4,92	1,17	2,98	1,42	3,81	1,57
FeO	5,45	0,75	5,89	2,04	5,26	1,66
MnO	0,11	0,04	0,13	0,04	0,12	0,04
MgO	5,48	0,89	3,46	0,59	4,14	1,58
CaO	9,61	1,41	6,71	1,60	7,78	2,28
Na_2O	3,14	0,33	4,40	0,63	3,92	0,76
K_2O	0,70	0,36	1,57	0,69	1,42	0,86
P_2O_5	0,55	0,20	0,26	0,23	0,35	0,28
П. п. п. (ΣFeO)	1,88	0,69	1,26	0,99	(8,69)	1,92
a	8,43	0,79	12,57	1,67	11,05	2,62
c	8,93	0,56	7,38	1,84	7,72	1,67
b'	23,47	1,45	16,13	1,03	18,04	5,46
f'	43,07	4,17	54,21	7,31	49,26	8,69
m'	42,00	6,14	38,04	3,98	39,42	6,91
c'(-a')	14,93	3,94	7,75	4,63	9,79	7,67
n	87,39	6,32	81,36	7,23	82,03	8,15
φ	19,09	4,58	16,64	7,79	18,74	5,69
t	2,00	0,36	1,58	0,36	1,65	0,48
Q	-7,45	3,31	-4,66	3,05	-3,60	6,13
d	0,32	0,03	0,47	0,09	0,42	0,11
F	50,47	5,67	58,24	5,42	55,05	8,14

Примечание. 1 — лейкогаббро, n=6; 2 — диориты, n=5; 3 — базитовая группа, n=14 ([Раннепалеозойская..., 1971; Кортусов, 1967, по данным Л. В. Алабина]; 7 анализов из неопубликованной коллекции А. Д. Минина).

Таблица 24

Петрохимические статистики гранитоидов Дудетского ареала

Петрохим. показат.	1		2		3	
	\bar{x}	s	\bar{x}	s	\bar{x}	s
SiO_2	67,05	2,88	69,86	2,16	68,75	2,73
TiO_2	0,37	0,23	0,24	0,12	0,32	0,21
Al_2O_3	15,33	1,39	15,73	0,84	15,63	1,23
Fe_2O_3	1,33	0,35	0,93	0,61	1,19	0,49
FeO	2,36	0,92	2,05	0,59	2,26	0,82
MnO	0,05	0,01	0,05	0,02	0,05	0,01
MgO	1,23	0,39	0,66	0,39	1,03	0,48
CaO	2,98	0,79	2,18	0,42	2,71	0,80
Na_2O	5,33	0,74	4,53	0,55	5,08	0,78
K_2O	2,69	0,64	3,21	0,47	2,91	0,61
P_2O_5	0,07	0,08	0,05	0,03	0,06	0,07
П. п. п. (ΣFeO)	1,03	1,02	0,47	0,32	(3,34)	1,00
a	15,40	1,57	14,30	1,05	14,99	1,47
c	2,45	1,68	2,41	0,58	2,43	1,34
b'	6,61	1,18	4,02	1,23	5,64	1,74
f'	50,91	9,49	50,05	14,30	50,59	11,07
m'	30,61	5,94	20,13	11,27	26,68	9,53
c'(-a')	18,04	12,66	-22,31	29,46	2,91	28,15
n	75,04	5,00	68,13	5,12	72,45	5,97
φ	17,25	5,00	14,21	9,26	16,11	6,77
t	0,42	0,29	0,25	0,13	0,36	0,25
Q	+17,79	4,13	+24,59	4,90	+20,34	5,46
d	0,77	0,14	0,70	0,06	0,74	0,12
F	61,98	6,09	72,20	11,55	65,82	9,63

Примечание. 1 — мелагранитоиды, n=12; 2 — лейкогранитоиды, n=6; 3 — гранитоидная группа, n=16 ([Врублевский, 1965; Кортусов, 1967; Щербаний, 1972]); 9 химических анализов из коллекции Б. Ф. Налетова, Приложение, табл. 1, № 44—52, 1 анализ из неопубликованной коллекции Г. М. Купсика).

Таблица 25

Петрохимические статистики базитов Дудетского ареала

Петрохим. показат.	1		2		3		4	
	\bar{x}	s	\bar{x}	s	\bar{x}	s	\bar{x}	s
SiO_2	46,18	1,51	50,79	3,29	51,13	3,45	50,88	4,64
TiO_2	0,61	0,21	0,92	0,28	0,72	0,30	0,78	0,37
Al_2O_3	16,32	2,56	18,58	1,92	20,44	2,01	18,74	2,49
Fe_2O_3	2,53	1,28	2,77	0,81	4,11	2,02	3,43	1,83
FeO	6,52	1,99	6,01	1,09	4,53	1,85	5,57	2,14
MnO	0,15	0,14	0,14	0,07	0,38	0,47	0,24	0,30
MgO	10,99	1,70	5,01	0,77	3,54	0,67	5,82	3,44
CaO	13,89	2,05	10,12	2,43	8,74	1,69	9,92	3,43
Na_2O	1,50	0,27	3,36	0,88	3,61	0,39	3,22	1,21
K_2O	0,44	0,29	1,06	0,68	1,51	0,61	1,30	0,99
P_2O_5	0,04	0,05	0,12	0,14	0,13	0,16	0,10	0,13
П. п. п. (ΣFeO)	0,37	0,29	1,02	0,56	0,85	0,75	(8,66)	1,91
a	3,90	0,97	9,22	2,40	11,0	1,4	9,21	3,92
c	8,94	1,99	8,33	2,65	8,7	2,0	8,16	2,53
b'	34,63	3,62	21,82	2,00	17,5	2,3	22,71	8,17
f'	24,56	4,57	39,09	6,89	49,5	6,7	41,08	13,33
m'	53,09	3,18	40,29	5,08	35,5	4,7	40,60	10,30
c'(-a')	22,35	6,59	20,62	6,01	10,7	12,6	15,47	12,09
n	85,17	6,59	84,08	9,84	79,0	6,7	81,13	8,13
φ	6,41	3,69	11,29	3,24	21,8	10,7	15,58	11,45
t	0,98	0,34	1,34	0,39	1,1	0,4	1,14	0,54
Q	-11,65	2,26	-5,50	5,42	-5,7	7,6	-7,17	7,76
d	0,18	0,04	0,37	0,12	0,4	0,1	0,36	0,16
F	31,08	3,20	48,68	6,87	57,0	5,5	49,11	13,77

Примечание. 1 — мелагаббро, n=9; 2 — лейкогаббро, n=9; 3 — диориты, n=11; 4 — базитовая группа, n=39 ([Магматические формации..., 1965; Врублевский, 1965; Кортусов, 1967; Довгаль, 1968; Раннепалеозойская..., 1971]; 2 химического анализа из коллекции Б. Ф. Налетова, Приложение, табл. 1, № 42—43).

Таблица 26

Петрохимические статистики базитов и гранитоидов Ортонского ареала

Петрохим. показат.	1		2		Петрохим. показат.	1		2	
	\bar{x}	s	\bar{x}	s		\bar{x}	s	\bar{x}	s
SiO_2	70,54	4,04	50,98	4,80	a	12,72	2,03	8,64	3,31
TiO_2	0,34	0,23	1,07	0,37	c	2,72	1,47	8,59	2,60
Al_2O_3	15,40	1,50	18,73	2,47	b'	4,83	2,61	22,45	7,36
Fe_2O_3	1,46	1,23	3,23	1,37	f'	51,54	12,97	41,58	8,41
FeO	2,06	1,06	6,16	1,68	m'	19,22	11,75	42,32	8,49
MnO	0,09	0,06	0,14	0,11	c'(-a')	-28,35	21,31	16,03	10,03
MgO	0,76	0,58	5,55	2,48	n	69,20	9,96	86,67	6,29
CaO	2,40	1,23	9,99	3,17	φ	17,31	11,54	12,95	4,22
Na_2O	4,09	0,71	3,29	1,21	t	0,36	0,26	1,58	0,65
K_2O	2,81	1,05	0,84	0,63	Q	+28,11	7,70	-5,26	6,21
P_2O_5	0,05	0,05	0,02	0,05	d	7,90	7,60	0,34	0,15
ΣFeO	3,38	1,42	9,07	2,49	F	5,06	5,83	49,23	8,17

Примечание. 1 — гранитоидная группа, n=34 ([Раннепалеозойская..., 1971]; 32 химических анализа из неопубликованной коллекции А. И. Криворотенко; П. Е. Танского и др., ЗСГУ); 2 — базитовая группа, n=49 ([Раннепалеозойская..., 1971]; 48 химических анализов из неопубликованных коллекций: 8 — А. И. Криворотенко; 19 — О. И. Никонова, 18 — П. Е. Танского, 1 — В. К. Монича, 1 — А. В. Печерского).

Таблица 27

Петрохимические статистики гранитоидов Порожинского плутония

Петрохим. показат.	\bar{X}	s	Петрохим. показат.	\bar{X}	s
SiO_2	72,66	2,57	a	13,8	2,0
TiO_2	0,35	0,29	c	1,6	1,2
Al_2O_3	14,13	1,03	b'	3,5	1,7
Fe_2O_3	0,89	0,60	f'	51,4	18,9
FeO	1,77	1,09	m'	20,1	11,5
MnO	0,06	0,03	$c'(-a')$	-15,5	33,0
MgO	0,57	0,40	n	61,5	9,6
CaO	1,64	0,82	φ	16,0	10,3
Na_2O	4,00	0,71	t	0,4	0,3
K_2O	3,87	1,05	Q	+30,3	6,1
P_2O_5	0,07	0,07	d	0,8	0,1
ΣFeO	2,57	1,29	F	72,8	12,9

Примечание. Число анализов $n=49$ ([Раннепалеозойская..., 1971], 44 анализа из неопубликованных коллекций; 3 — В. К. Монича, 2 — И. П. Ивонина, 12 — А. И. Лестувиникаса; 12 — Н. М. Кужельного, 8 — В. С. Мурзина, 6 — П. Е. Танского, 1 — В. И. Богомолова, 1 — С. С. Долгушкина).

Таблица 28

Петрохимические статистики базитов и гранитоидов Тыдынского ареала

Петрохим. показат.	1		2		Петрохим. показат.	1		2	
	\bar{X}	s	\bar{X}	s		\bar{X}	s	\bar{X}	s
SiO_2	72,58	2,34	48,53	2,98	a	13,5	1,8	6,9	3,2
TiO_2	0,16	0,14	1,12	0,58	c	2,4	0,9	8,1	2,3
Al_2O_3	15,32	1,22	17,09	3,36	b'	2,5	1,1	28,8	8,3
Fe_2O_3	0,86	0,82	2,56	1,34	f'	56,8	22,7	34,0	10,8
FeO	1,24	0,87	7,35	2,13	m'	10,1	8,9	46,0	7,9
MnO	0,07	0,03	0,15	0,06	$c'(-a')$	-23,8	32,4	19,7	7,8
MgO	0,29	0,36	8,09	3,38	n	70,3	6,2	87,1	7,6
CaO	2,12	0,81	11,61	2,85	φ	19,9	20,5	8,1	4,4
Na_2O	4,47	0,74	2,66	1,11	t	0,2	0,1	1,7	0,9
K_2O	2,84	0,62	0,68	0,60	Q	+30,5	5,2	-9,5	4,1
P_2O_5	0,04	0,04	0,15	0,18	d	0,7	0,1	0,3	0,1
ΣFeO	2,02	0,77	9,66	2,87	F	83,3	12,7	41,6	11,3

Примечание. 1 — гранитоидная группа, $n=28$ (7 химических анализов из коллекции Б. Ф. Насетова, Приложение, табл. 1, № 60—66; 21 анализ из неопубликованных коллекций С. С. Долгушкина, А. И. Гончаренко, А. Д. Минина); 2 — базитовая группа, $n=93$ ([Минин, 1977], 7 анализов из неопубликованной коллекции О. И. Никонова).

Таблица 29

Петрохимические статистики гранитоидов Лебедской серии

Петрохим. показат.	1		2		3		4	
	\bar{X}	s	\bar{X}	s	\bar{X}	s	\bar{X}	s
SiO_2	65,49	1,90	70,26	2,49	74,68	1,41	68,19	3,78
TiO_2	0,51	0,11	0,29	0,10	0,12	0,03	0,42	0,18
Al_2O_3	16,06	0,87	15,28	1,43	13,82	1,19	15,80	1,28
Fe_2O_3	2,02	1,17	1,34	0,79	0,85	0,67	1,81	1,14
FeO	2,42	0,94	1,60	0,75	0,83	0,52	2,11	1,02
MnO	0,07	0,03	0,07	0,06	0,03	0,02	0,07	0,04
MgO	1,63	0,57	0,72	0,29	0,13	0,12	1,27	0,71
CaO	3,71	0,94	2,52	0,97	1,17	0,60	3,24	1,30
Na_2O	4,30	0,86	4,71	0,78	3,93	0,67	4,40	0,85
K_2O	2,52	0,79	2,22	0,81	3,45	1,63	2,25	0,94
P_2O_5	0,16	0,16	0,11	0,14	0,12	0,22	0,15	0,16
П. п. н. (ΣFeO)	0,83	0,54	0,62	0,35	0,73	0,52	(3,73)	1,34
a	13,2	1,9	13,4	1,5	13,1	1,5	13,2	1,8
c	4,1	1,1	2,8	1,0	1,4	0,7	3,5	1,3
b'	7,4	1,6	4,1	1,4	1,7	0,4	6,1	2,7
f'	53,5	8,3	52,8	12,3	46,9	19,5	52,8	10,7
m'	35,5	7,8	22,8	7,1	6,7	5,3	29,1	11,5
$c'(-a')$	1,9	13,8	-15,9	24,1	-42,8	28,9	-6,8	23,2
n	72,2	8,0	76,3	8,7	64,4	15,5	72,5	9,6
φ	22,3	11,0	22,8	14,7	24,7	22,8	22,8	13,0
t	0,6	0,1	0,3	0,1	0,1	0,04	0,5	0,2
Q	+19,6	5,1	+27,7	6,8	+36,0	2,0	+23,3	7,7
d	0,6	0,1	0,7	0,1	0,7	0,1	0,6	0,1
F	59,7	8,3	69,0	8,0	87,0	11,3	65,0	11,4

Примечание. 1 — мелагранитоиды, $n=45$; 2, 3 — лейкогранитоиды, $n=25$; $n=7$; 4 — гранитоидная группа, $n=82$ (выборки по В. И. Ярыгину и И. Н. Амшинскому из коллекций разных авторов).

Таблица 30

Петрохимические статистики базитов Лебедской серии

Петрохим. показат.	1		2		3		4		5	
	\bar{X}	s								
SiO_2	47,70	2,70	49,63	3,82	55,61	5,98	59,41	2,80	54,21	6,16
TiO_2	1,71	0,43	1,68	0,55	0,98	0,37	0,81	0,39	1,33	0,68
Al_2O_3	16,60	1,69	17,42	3,57	17,57	1,83	17,09	1,58	17,10	2,62
Fe_2O_3	6,42	2,02	4,71	1,53	6,00	5,18	3,03	1,05	4,69	2,66
FeO	5,34	1,48	5,83	0,87	4,32	0,80	3,46	1,03	4,71	1,61
MnO	0,14	0,09	0,17	0,04	0,09	0,03	0,09	0,04	0,12	0,06
MgO	7,00	0,93	5,71	0,47	3,22	1,66	2,73	0,73	4,69	2,42
CaO	11,07	2,28	7,96	0,53	6,77	1,15	5,39	1,06	7,72	2,72
Na_2O	2,24	0,61	2,73	0,72	3,93	0,55	3,96	0,84	3,57	1,13
K_2O	1,00	0,47	1,24	0,77	1,64	0,77	2,05	0,88	1,51	0,79
P_2O_5	0,36	0,21	0,56	0,42	0,16	0,19	0,29	0,36	0,34	0,36
П. п. н. (ΣFeO)	1,48	1,02	1,61	0,41	1,59	0,61	1,25	0,56	8,93	2,99
a	6,5	1,8	8,1	2,3	11,4	2,5	12,0	2,0	10,1	3,1
c	8,2	2,1	7,6	2,8	6,4	1,3	5,5	1,7	6,3	2,3
b'	28,6	2,3	22,8	1,8	17,1	1,8	12,1	1,6	19,8	8,7
f'	38,9	2,5	42,4	4,0	55,1	20,5	49,3	7,2	45,2	11,2
m'	42,5	6,4	42,1	1,8	32,9	15,5	37,4	6,9	38,7	8,6
$c'(-a')$	19,3	6,6	5,8	16,2	12,0	5,9	6,7	13,6	10,9	14,3
n	77,8	6,4	78,4	9,3	79,5	7,9	74,9	9,5	78,7	7,9
φ	19,3	4,3	17,7	6,1	30,1	22,9	21,9	9,5	21,1	12,0
t	2,6	0,6	2,5	0,9	1,3	0,5	1,0	0,6	1,9	1,2
Q	-7,7	4,1	-3,3	6,6	+1,2	10,7	+10,4	5,5	+0,1	11,1
d	0,3	0,1	0,4	0,1	0,5	0,1	0,5	0,1	0,5	0,2
F	47,2	3,9	49,7	3,0	61,5	18,4	56,6	6,8	53,2	9,9

Примечание. 1 — мезогаббро, $n=6$; 2 — лейкогаббро, $n=6$; 3 — диориты, $n=6$; 4 — лейкодиориты, $n=22$; 5 — базитовая группа, $n=39$ (то же, что в табл. 29).

Таблица 33

Петрохимические статистики базитов и гранитоидов Саракокшинского массива

Петрохим. показат.	1		2		3		Петрохим. показат.	1		2						
	\bar{X}	s	\bar{X}	s	\bar{X}	s		\bar{X}	s	\bar{X}	s					
SiO ₂	66,24	2,65	72,12	3,49	69,38	4,24	SiO ₂	68,41	5,35	55,25	2,52	a	9,09	2,11	8,37	1,78
TiO ₂	0,62	0,27	0,39	0,21	0,51	0,27	TiO ₂	0,34	0,15	0,89	0,46	c	4,91	2,11	7,89	1,52
Al ₂ O ₃	15,08	1,77	13,76	1,75	14,70	1,83	Al ₂ O ₃	15,29	2,04	17,64	1,59	b'	7,88	3,21	18,90	2,50
Fe ₂ O ₃	1,90	0,76	1,32	0,84	1,67	0,84	Fe ₂ O ₃	1,98	0,85	2,72	1,07	f'	54,34	11,00	48,45	9,52
FeO	3,38	0,95	1,95	0,90	2,86	1,21	FeO	3,46	1,41	6,79	1,28	m'	27,05	9,96	43,62	7,18
MnO	0,10	0,04	0,06	0,03	0,09	0,04	MnO	0,09	0,05	0,15	0,05	c'(-a')	15,26	18,8	7,93	4,36
MgO	1,18	0,40	0,56	0,23	0,99	0,56	MgO	1,59	0,83	4,80	1,16	n	83,72	12,48	79,79	14,28
CaO	3,51	0,83	1,86	1,04	2,99	1,48	CaO	4,19	1,78	7,57	1,05	φ	18,57	6,08	12,49	4,77
Na ₂ O	3,97	0,56	4,36	1,02	4,15	0,81	Na ₂ O	3,47	0,84	2,96	0,86	t	0,38	0,18	1,20	0,66
K ₂ O	2,53	0,98	2,61	1,41	2,49	1,23	K ₂ O	1,11	0,94	1,14	0,81	Q	+30,49	8,96	+5,03	5,47
P ₂ O ₅	0,16	0,25	0,15	0,18	0,17	0,25	P ₂ O ₅	0,06	0,07	0,06	0,08	d	0,46	0,14	0,35	0,08
П. п. н. (ΣFeO)	1,07	0,80	0,70	0,56	(4,36)	1,53	ΣFeO	5,25	1,89	9,24	1,88	F	66,93	9,67	52,04	8,72
a	12,40	2,27	13,03	3,38	12,47	2,90										
c	3,67	1,06	2,04	1,48	3,10	1,51										
b'	7,56	1,20	4,06	1,46	6,28	2,45										
f'	61,88	10,18	60,36	13,70	60,63	11,94										
m'	24,69	6,61	19,27	6,64	22,91	7,52										
c'(-a')	2,86	16,62	-12,71	22,51	-3,05	20,70										
n	71,56	8,51	73,32	11,77	73,21	10,68										
φ	20,02	6,67	23,16	15,33	21,01	11,17										
t	0,70	0,32	0,41	0,23	0,56	0,32										
Q	+23,28	8,07	+31,96	10,93	+27,00	10,06										
d	0,61	0,10	0,72	0,15	0,65	0,14										
F	70,83	8,38	75,23	7,32	72,04	8,81										

Примечание. 1 — мелагранитоиды, n=26; 2 — лейкогранитоиды, n=20; 3 — гранитоидная группа, n=48 (8 анализов из коллекции В. А. Скуридина; 28 — Ю. С. Носкова, 2 — И. В. Гавриловой).

Таблица 31

Петрохимические статистики гранитоидов таджикского комплекса

Петрохим. показат.	1		2		3		Петрохим. показат.	1		2		
	\bar{X}	s	\bar{X}	s	\bar{X}	s		\bar{X}	s	\bar{X}	s	
SiO ₂	48,85	0,49	51,87	1,64	55,82	2,66	60,06	3,10	55,03	4,32		
TiO ₂	0,80	0,41	1,01	0,35	1,16	0,47	0,91	0,49	1,09	0,44		
Al ₂ O ₃	15,46	1,22	16,64	1,55	15,27	1,93	16,21	1,57	16,47	1,55		
Fe ₂ O ₃	2,71	0,57	3,14	1,35	2,62	2,52	2,85	1,07	3,06	1,59		
FeO	0,71	0,94	6,98	2,30	5,49	2,08	4,77	1,12	6,50	2,21		
MnO	0,17	0,05	0,24	0,16	0,19	0,13	0,11	0,04	0,20	0,13		
MgO	8,03	1,74	5,30	0,96	3,79	0,79	2,44	0,39	5,07	2,18		
CaO	10,39	1,72	8,14	1,50	7,29	1,50	5,49	0,99	8,00	2,23		
Na ₂ O	1,73	0,62	2,91	0,93	3,00	0,73	3,94	1,13	3,04	1,13		
K ₂ O	0,77	0,18	1,07	0,62	1,40	0,98	1,39	1,06	1,25	0,80		
P ₂ O ₅	0,30	0,20	0,32	0,36	0,31	0,39	0,31	0,30	0,30	0,31		
П. п. н. (ΣFeO)	2,53	0,74	1,33	1,07	2,50	1,73	1,03	0,64	(9,25)	2,20		
a	5,1	1,6	8,2	1,8	9,0	1,3	10,9	5,2	8,5	2,8		
c	8,2	0,7	7,0	1,6	6,1	1,6	5,6	1,3	6,6	1,6		
b'	28,3	1,4	22,3	1,2	17,8	1,3	12,7	1,3	20,7	5,4		
f'	32,6	5,0	42,7	7,9	44,3	9,7	56,3	9,0	44,5	11,0		
m'	40,7	8,5	40,4	7,4	37,1	6,0	32,9	3,5	40,0	8,4		
c'(-a')	17,7	6,3	12,2	13,6	17,0	14,1	9,2	8,6	13,5	11,9		
n	76,5	5,2	79,8	11,2	76,8	15,2	82,6	11,8	78,3	11,1		
φ	8,6	2,1	12,1	5,3	13,4	12,8	19,6	7,9	13,6	8,8		
t	1,2	0,6	1,4	0,5	1,5	0,6	1,1	0,6	1,5	0,6		
Q	-1,6	5,0	+0,04	5,0	+10,0	6,3	+13,8	9,7	+3,7	8,2		
d	0,2	0,1	0,4	0,4	0,1	0,5	0,1	0,4	0,1	0,1		
F	39,4	7,0	50,7	8,2	53,5	6,5	62,4	6,5	52,1	10,1		

Примечание. 1 — мезогаббро, n=6; 2 — лейкогаббро, n=12; 3 — диориты, n=0; 4 — лейкодиориты, n=8; 5 — базитовая группа, n=34 (14 анализов из коллекции В. А. Скуридина; 14 — Ю. С. Носкова, 5 — И. В. Гавриловой, 1 — Н. И. Амшинского).

Таблица 34

Петрохимические статистики базитов и гранитоидов Каахемского ареала

Петрохим. показат.	1		2		Петрохим. показат.	1		2	
	\bar{X}	s	\bar{X}	s		\bar{X}	s	\bar{X}	s
SiO ₂	69,76	4,77	52,74	5,83	a	11,1	2,5	7,8	3,6
TiO ₂	0,39	0,20	0,87	0,42	c	3,7	2,0	7,6	3,1
Al ₂ O ₃	14,76	1,99	16,87	2,60	b'	6,4	3,5	23,2	7,5
Fe ₂ O ₃	2,03	1,13	3,94	1,95	f'	58,5	17,1	41,1	10,6
FeO	2,48	1,43	5,93	1,90	m'	24,7	12,5	42,4	10,5
MnO	0,08	0,06	0,17	0,08	c'(-a')	-9,1	22,3	15,5	9,9
MgO	1,24	1,06	5,99	2,71	n	77,9	14,2	80,1	13,6
CaO	3,31	1,78	9,37	3,36	φ	25,5	12,0	15,0	6,2
Na ₂ O	3,86	0,94	2,67	1,09	t	0,4	0,2	1,3	0,7
K ₂ O	1,97	1,50	1,27	1,28	Q	+30,2	9,1	-0,4	9,0
P ₂ O ₅	0,12	0,11	0,19	0,16	d	0,6	0,2	0,4	0,2
ΣFeO	4,31	2,01	9,48	3,15	F	69,6	16,3	48,7	11,4

Таблица 35

Петрохимические статистики базитов и гранитоидов Тантульского ареала

Петрохим. показат.	1		2		Петрохим. показат.	1		2	
	\bar{X}	s	\bar{X}	s		\bar{X}	s	\bar{X}	s
SiO ₂	70,75	3,67	54,16	5,35	a	12,3	1,5	8,4	3,6
TiO ₂	0,38	0,21	0,83	0,37	c	2,7	1,3	6,8	2,0
Al ₂ O ₃	14,34	1,37	16,70	2,43	b'	5,7	2,8	22,6	9,9
Fe ₂ O ₃	1,65	0,72	3,13	1,83	f'	54,5	14,5	41,0	10,8
FeO	2,30	1,16	6,07						

Таблица 36

Петрохимические статистики гранитоидов Шиндинского ареала

Петрохим. показат.	1		2		3		4	
	\bar{X}	s	\bar{X}	s	\bar{X}	s	\bar{X}	s
SiO_2	60,55	2,89	65,72	2,72	73,78	1,50	70,65	4,77
TiO_2	0,81	0,39	0,46	0,17	0,22	0,12	0,34	0,21
Al_2O_3	16,09	1,28	15,94	1,61	12,96	0,79	14,32	1,88
Fe_2O_3	2,42	0,69	1,39	0,63	0,77	0,40	1,09	0,70
FeO	5,46	1,48	3,80	1,06	2,41	0,81	3,09	1,26
MnO	0,17	0,09	0,13	0,14	0,06	0,03	0,09	0,09
MgO	2,41	0,99	1,69	0,66	0,67	0,46	1,45	0,84
CaO	5,32	1,07	4,11	1,48	1,46	0,61	2,67	1,79
Na_2O	4,01	0,74	3,78	0,67	4,13	0,58	4,03	0,64
K_2O	1,46	0,76	1,85	1,23	2,98	1,16	2,49	1,29
P_2O_5	0,17	0,15	0,09	0,08	0,05	0,04	0,07	0,07
П. и. п. (ΣFeO)	0,85	0,79	0,74	0,64	0,49	0,33	(4,07)	1,54
a	11,1	1,7	11,0	2,3	12,8	1,5	11,5	1,4
c	5,4	1,2	4,8	2,0	4,4	0,9	3,1	1,9
b'	12,9	1,8	8,1	1,6	4,1	1,1	6,2	3,1
f'	58,2	12,1	57,4	10,8	59,2	14,5	59,8	13,3
m'	32,1	12,4	32,0	8,2	21,4	11,7	23,7	12,2
$c'(-a')$	8,9	8,0	-4,8	14,3	-11,0	21,2	-10,1	19,5
n	81,0	9,0	76,8	10,8	68,2	9,9	72,9	10,1
φ	16,3	4,3	14,3	7,9	11,8	6,7	11,7	5,9
t	1,0	0,5	0,5	0,2	-0,2	0,1	0,4	0,3
Q	+13,5	6,7	+23,7	4,9	+34,2	4,6	+30,5	7,7
d	0,5	0,1	0,5	0,1	0,8	0,1	0,6	0,1
F	64,1	13,0	63,4	9,7	74,0	13,2	71,7	13,4

Примечание. 1 — лейкодиориты, $n=15$; 2 — мелагранитоиды, $n=25$; 3 — лейкогранитоиды, $n=40$; 4 — гранитоидная группа, $n=75$ ([Шубин, 1961; Шелковников, 1964; Шохина и др., 1967; Федосеев, 1969]; 10 анализов из неопубликованных выборок А. Д. Шелковникова, Г. А. Гречесова, Ю. И. Шеломова).

Таблица 37
Петрохимические статистики базитов Шиндинского ареала

Петрохим. показат.	1		2		3		4		5	
	\bar{X}	s	\bar{X}	s	\bar{X}	s	\bar{X}	s	\bar{X}	s
SiO_2	51,68	11,60	46,67	2,96	50,35	1,32	56,27	4,43	53,08	5,67
TiO_2	0,65	0,28	1,69	0,76	1,31	0,53	0,89	0,35	1,17	0,65
Al_2O_3	16,29	2,49	17,16	1,10	17,63	0,86	17,01	1,86	17,17	1,66
Fe_2O_3	2,41	1,08	4,75	2,18	4,18	1,55	2,90	1,59	3,55	1,84
FeO	8,34	0,93	6,87	0,93	6,35	0,68	5,72	1,82	6,61	1,45
MnO	0,20	0,04	0,13	0,05	0,10	0,03	0,12	0,07	0,14	0,07
MgO	10,17	2,00	6,36	0,88	4,75	0,87	3,57	1,21	5,24	2,67
CaO	11,22	1,46	10,19	1,48	8,14	1,09	6,97	1,09	8,42	2,28
Na_2O	1,48	0,42	2,73	0,41	3,92	0,54	3,37	1,04	3,20	1,05
K_2O	0,33	0,06	1,03	0,55	1,25	0,34	1,40	0,98	1,16	0,74
P_2O_5	0,02	0,01	0,32	0,42	0,36	0,16	0,25	0,19	0,26	0,27
П. и. п. (ΣFeO)	0,48	0,75	1,82	1,22	1,53	0,94	0,97	0,77	(9,80)	2,22
a	3,6	1,1	7,8	1,2	10,7	1,5	9,7	2,1	8,9	2,8
c	8,8	2,1	8,1	1,2	6,8	1,0	6,9	2,1	7,2	1,8
b'	31,1	4,4	27,3	1,4	21,7	1,2	16,5	2,9	21,7	6,5
f'	32,0	5,3	40,9	7,9	46,2	7,0	50,3	9,5	46,3	11,7
m'	53,6	7,2	41,2	5,7	38,1	6,2	37,9	10,1	39,6	10,5
$c'(-a')$	14,3	2,8	17,9	5,9	15,7	3,3	11,8	7,2	13,8	7,1
n	86,8	1,6	80,6	8,4	82,9	3,9	78,6	15,2	81,4	9,6
φ	6,6	3,1	15,5	7,0	17,0	6,3	16,2	8,8	15,0	7,2
t	0,9	0,3	2,7	1,3	1,9	0,8	1,2	0,5	1,7	1,1
Q	-3,1	11,6	-10,1	4,4	-6,8	3,4	+7,3	9,0	-0,6	10,8
d	0,2	0,1	0,3	0,1	0,4	0,1	0,4	0,1	0,4	0,1
F	37,1	7,2	49,3	7,5	54,5	7,6	56,7	10,8	53,4	12,3

Примечание. 1 — мелагаббро, $n=16$; 2 — мезогаббро, $n=13$; 3 — лейкогаббро, $n=8$; 4 — диориты, $n=13$; 5 — базитовая группа, $n=48$ ([Шубин, 1961; Шелковников, 1964; Шохина и др., 1967; Федосеев, 1969]; 5 анализов из неопубликованной выборки А. Д. Шелковникова).

Таблица 38

Петрохимические статистики базитов и гранитоидов сумусунурского комплекса

Петрохим. показат.	1		2		Петрохим. показат.	1		2	
	\bar{X}	s	\bar{X}	s		\bar{X}	s	\bar{X}	s
SiO_2	68,98	3,43	55,15	5,39	a	9,7	2,0	8,0	2,4
TiO_2	0,42	0,13	0,77	0,24	c	4,6	0,9	7,1	1,1
Al_2O_3	15,27	1,39	16,65	1,06	b'	6,9	1,7	21,0	8,3
Fe_2O_3	1,83	0,92	2,67	0,95	f'	52,9	11,3	45,0	8,5
FeO	2,86	0,95	6,96	2,00	m'	30,9	6,5	41,4	2,5
MnO	0,05	0,02	0,09	0,05	$c'(-a')$	-11,9	19,4	11,3	10,8
MgO	1,50	0,39	5,23	2,26	n	75,5	8,8	76,4	8,7
CaO	3,95	0,72	8,39	3,10	φ	19,5	9,2	12,0	4,4
Na_2O	3,35	0,60	2,76	0,94	t	0,5	0,2	1,0	0,3
K_2O	1,74	0,72	1,29	0,56	Q	+31,0	8,1	+4,2	9,3
P_2O_5	0,07	0,07	0,04	0,06	d	0,5	0,1	0,3	0,1
ΣFeO	4,51	1,08	9,36	2,39	F	62,7	4,5	51,4	6,3

Примечание. 1 — гранитоидная группа, $n=20$; 2 — базитовая группа, $n=8$ [Авдонцев, 1967].

Таблица 39

Петрохимические статистики базитов и гранитоидов тохтогенишльского комплекса

Петрохим. показат.	1		2		3		4		5	
	\bar{X}	s								
SiO_2	62,15	2,26	64,69	2,16	72,13	2,28	68,14	4,49	54,93	3,74
TiO_2	0,71	0,16	0,57	0,16	0,33	0,12	0,50	0,21	1,21	0,31
Al_2O_3	15,98	1,54	17,05	1,35	13,97	1,26	15,55	1,84	17,99	1,10
Fe_2O_3	2,01	0,67	1,74	0,85	1,27	0,39	1,64	0,72	3,80	1,57
FeO	4,09	0,55	2,67	0,67	1,50	0,44	2,53	1,14	4,92	1,13
MnO	0,46	1,11	0,10	0,12	0,07	0,04	0,20	0,61	0,13	0,03
MgO	2,83	1,19	1,74	0,34	0,83	0,29	1,64	1,05	3,96	1,13
CaO	4,73	0,87	3,89	0,75	2,02	0,67	3,33	1,34	7,10	1,62
Na_2O	3,30	0,73	3,74	0,65	3,75	0,73	3,65	0,71	3,69	0,68
K_2O	2,27	0,90	2,55	0,71	3,02	0,86	2,69	0,89	1,90	0,89
P_2O_5	0,20	0,09	0,18	0,07	0,09	0,06	0,14	0,08	0,36	0,27
П. и. п. (ΣFeO)	1,24	0,60	0,79	0,55	0,55	0,39	(4,00)	1,41	(8,34)	1,81
a	10,7	1,6	12,0</							

Таблица 40

Пetroхим. показат.	1		2		Пetroхим. показат.	1		2	
	\bar{X}	s	\bar{X}	s		\bar{X}	s	\bar{X}	s
SiO_2	69,41	4,92	50,86	4,01	<i>a</i>	13,1	1,7	7,6	2,9
TiO_2	0,39	0,24	0,98	0,63	<i>c</i>	3,2	2,0	8,6	1,6
Al_2O_3	15,23	1,79	18,22	2,26	<i>b'</i>	5,7	3,1	24,1	5,5
Fe_2O_3	1,94	1,00	3,18	1,74	<i>f'</i>	52,6	12,3	35,9	7,9
FeO	1,49	0,90	5,85	2,50	<i>m'</i>	29,4	10,5	50,1	6,1
MnO	0,08	0,06	0,15	0,05	<i>c'(-a')</i>	-0,3	21,8	14,0	4,1
MgO	1,19	0,91	7,05	2,00	<i>n</i>	72,5	12,4	75,9	10,5
CaO	3,17	1,75	9,74	2,08	<i>φ</i>	28,6	13,0	12,5	9,8
Na_2O	4,38	0,88	2,59	0,92	<i>t</i>	0,4	0,3	1,4	0,9
K_2O	2,57	1,21	1,23	0,76	<i>Q</i>	+25,7	6,8	-4,6	8,5
P_2O_5	0,16	0,09	0,15	0,17	<i>d</i>	0,7	0,2	0,3	0,1
ΣFeO	3,23	1,42	8,71	2,42	<i>F</i>	63,4	13,6	41,1	7,9

Примечание. 1 — гранитоидная группа, $n=10$; 2 — базитовая группа, $n=9$ [Геология МНР, т. 2, 1973].

Таблица 41

Пetroхим. показат.	1		2		Пetroхим. показат.	1		2	
	\bar{X}	s	\bar{X}	s		\bar{X}	s	\bar{X}	s
SiO_2	66,74	2,03	60,01	1,29	<i>a</i>	14,3	1,5	13,0	1,0
TiO_2	0,54	0,13	0,76	0,12	<i>c</i>	3,3	1,1	4,9	0,8
Al_2O_3	15,82	0,94	17,08	0,92	<i>b'</i>	7,1	1,8	13,8	1,2
Fe_2O_3	1,25	0,48	1,75	0,44	<i>f'</i>	50,1	7,8	35,6	5,0
FeO	2,59	0,59	3,61	0,86	<i>m'</i>	39,1	10,8	48,7	7,1
MnO	0,05	0,02	0,08	0,03	<i>c'(-a')</i>	6,4	11,1	15,7	4,6
MgO	1,75	0,76	3,97	0,33	<i>n</i>	62,7	5,1	70,0	4,6
CaO	3,25	0,86	5,84	0,34	<i>φ</i>	15,0	6,0	10,7	2,5
Na_2O	4,10	0,37	4,14	0,27	<i>t</i>	0,6	0,1	0,9	0,2
K_2O	3,79	0,87	2,71	0,55	<i>Q</i>	+18,8	4,4	+5,9	3,4
P_2O_5	0,12	0,09	0,05	0,12	<i>d</i>	0,7	0,1	0,6	0,1
ΣFeO	3,71	0,59	5,18	1,01	<i>F</i>	56,2	10,3	42,02	6,2

Примечание. 1 — гранитоидная группа, $n=18$; 2 — базитовая группа, $n=8$ (выборки В. К. Путищева).

Таблица 42

Пetroхим. показат.	3		4		5		6	
	\bar{X}	s	\bar{X}	s	\bar{X}	s	\bar{X}	s
SiO_2	71,28	1,86	75,16	1,82	69,48	3,89	57,41	3,95
TiO_2	0,30	0,20	0,18	0,12	0,42	0,22	1,02	0,32
Al_2O_3	14,63	1,29	13,08	1,21	15,21	1,44	16,46	1,67
Fe_2O_3	0,69	0,44	0,58	0,20	0,91	0,58	1,46	1,49
FeO	0,70	1,71	0,63	1,11	0,54	2,43	1,09	6,25
MnO	0,02	0,03	0,02	0,02	0,07	0,03	0,15	0,04
MgO	0,94	0,25	0,48	0,27	1,54	0,86	4,64	1,94
CaO	3,54	2,27	0,47	1,19	0,63	3,09	1,28	7,42
Na_2O	0,66	3,79	0,58	3,37	0,71	3,70	0,61	3,09
K_2O	0,92	2,88	0,57	3,27	0,59	4,20	0,66	3,07
P_2O_5	0,42	0,12	0,42	0,07	0,06	0,31	0,26	0,09
П. п. (ΣFeO)	0,75	0,84	0,47	0,74	0,62	0,05	0,06	(3,25)
<i>a</i>	10,8	1,3	12,1	1,3	12,8	1,4	12,3	1,4
<i>c</i>	5,6	0,8	3,9	0,8	2,6	0,6	1,4	1,3
<i>b'</i>	11,9	1,2	7,2	1,4	3,8	0,7	2,3	0,1
<i>f'</i>	46,7	6,4	48,4	7,8	46,8	11,9	49,4	20,2
<i>m'</i>	42,9	6,2	40,0	6,8	32,6	8,9	22,1	6,0
<i>c'(-a')</i>	9,3	6,9	-1,8	14,7	-16,9	19,6	-28,5	15,2
<i>n</i>	72,7	10,6	65,4	7,2	63,6	6,7	54,6	8,4
<i>φ</i>	9,2	5,9	0,3	0,6	0,2	0,3	0,2	0,1
<i>t</i>	0,9	3,9	+23,9	4,8	+30,9	4,2	+37,4	4,4
<i>Q</i>	+16,0	3,9	0,1	0,6	0,1	0,7	0,8	0,1
<i>d</i>	0,5	6,3	54,2	6,6	58,2	9,0	65,9	9,5
<i>F</i>	51,6							

Причесание. 1 — лейкодиорита, $n=15$; 2 — мелагранитода, $n=32$; 3, 4 — лейкограниты, $n=32$; 5 — гранитоидная группа, $n=79$; 6 — базитовая группа, $n=17$ (выборки В. Н. Мусатова).

Таблица 43

Петрохимические статистики гранитоидов удского комплекса

Петрохим. показат.	1		2		3	
	\bar{X}	s	\bar{X}	s	\bar{X}	s
SiO ₂	65,50	1,73	68,92	1,40	66,87	3,04
TiO ₂	0,51	0,12	0,26	0,17	0,45	0,22
Al ₂ O ₃	16,51	0,98	16,31	1,00	16,37	1,06
Fe ₂ O ₃	1,72	0,50	1,00	0,41	1,57	0,64
FeO	2,14	0,24	1,40	0,41	2,21	0,99
MnO	0,07	0,03	0,04	0,02	0,07	0,03
MgO	2,15	0,43	0,82	0,29	1,83	0,82
CaO	4,45	0,54	2,46	0,56	3,93	1,22
Na ₂ O	3,50	0,85	4,83	1,28	3,92	1,05
K ₂ O	2,46	0,62	3,08	0,35	2,68	0,61
P ₂ O ₅	0,12	0,05	0,08	0,07	0,11	0,07
П. п. п. (Σ FeO)	0,65	0,41	0,78	0,55	(3,63)	1,35
<i>a</i>	11,3	1,7	14,9	2,7	12,4	2,4
<i>c</i>	5,1	0,9	2,8	0,8	4,3	1,4
<i>b'</i>	7,6	1,0	3,7	1,0	7,0	2,9
<i>f'</i>	44,2	6,9	49,0	6,9	46,0	7,1
<i>m'</i>	44,6	6,1	30,2	4,4	39,0	8,6
<i>c'(-a')</i>	-3,4	13,8	-11,5	21,6	-4,7	18,1
<i>n</i>	67,8	9,3	69,6	6,6	68,3	7,6
<i>φ</i>	18,2	5,5	18,2	3,0	17,7	4,8
<i>t</i>	0,6	0,1	0,3	0,2	0,5	0,3
<i>Q</i>	+22,8	5,0	+22,5	6,3	+22,2	6,0
<i>d</i>	0,5	0,1	0,7	0,1	0,6	0,1
<i>F</i>	49,2	5,6	61,4	2,6	53,9	6,9

Примечание. 1 — мелагранитоиды, $n=12$; 2 — лейкогранитоиды, $n=6$; 3 — гранитоидная группа, $n=23$ (данные В. И. Сухова).

Таблица 44

Петрохимические статистики базитов и гранитоидов нижнеамурской серии

Петрохим. показат.	1		2		Петрохим. показат.	1		2	
	\bar{X}	s	\bar{X}	s		\bar{X}	s	\bar{X}	s
SiO ₂	71,08	4,74	59,25	4,07	<i>a</i>	12,5	1,5	9,82	2,17
TiO ₂	0,30	0,22	0,78	0,32	<i>c</i>	2,6	1,8	6,59	1,90

Окончание табл. 44

Петрохим. показат.	1		2		Петрохим. показат.	1		2	
	\bar{X}	s	\bar{X}	s		\bar{X}	s	\bar{X}	s
Al ₂ O ₃	15,06	1,71	16,97	1,33	<i>b'</i>	4,8	3,2	14,93	3,29
Fe ₂ O ₃	0,96	0,98	2,14	1,04	<i>f'</i>	43,10	10,8	46,48	7,20
FeO	2,02	1,18	5,13	1,99	<i>m'</i>	26,2	14,6	41,10	7,53
MnO	0,06	0,03	0,14	0,07	<i>c'(-a')</i>	-28,4	23,0	12,43	3,77
MgO	1,19	1,06	3,61	1,02	<i>n</i>	65,6	11,4	73,25	5,54
CaO	2,27	1,59	6,80	1,51	<i>φ</i>	12,8	9,7	12,96	7,39
Na ₂ O	3,84	0,72	3,23	0,80	<i>t</i>	0,3	0,2	1,00	0,48
K ₂ O	3,12	1,21	1,81	0,54	<i>Q</i>	+28,9	7,7	+11,09	5,91
P ₂ O ₅	0,10	0,10	0,13	0,11	<i>d</i>	0,7	0,1	0,43	0,11
Σ FeO	2,88	1,44	7,06	1,85	<i>F</i>	63,9	12,8	52,62	8,23

Примечание. 1 — гранитоидная группа, $n=47$; 2 — базитовая группа, $n=10$ [Инструктивные серии..., 1967].

Таблица 45

Петрохимические статистики гранитоидов басугунинского комплекса

Петрохим. показат.	\bar{X}	s	Петрохим. показат.	\bar{X}	s
SiO ₂	69,77	2,66	<i>a</i>	12,2	1,2
TiO ₂	0,45	0,25	<i>c</i>	3,1	0,9
Al ₂ O ₃	15,53	1,00	<i>b'</i>	5,0	1,6
Fe ₂ O ₃	1,18	1,05	<i>f'</i>	50,0	12,6
FeO	2,48	1,27	<i>m'</i>	23,8	8,3
MnO	0,06	0,03	<i>c'(-a')</i>	-25,2	19,6
MgO	0,99	0,42	<i>n</i>	61,6	8,8
CaO	2,64	0,81	<i>φ</i>	13,9	11,0
Na ₂ O	3,50	0,59	<i>t</i>	0,5	0,3
K ₂ O	3,32	0,81	<i>Q</i>	+27,9	4,9
P ₂ O ₅	0,09	0,06	<i>d</i>	0,6	0,1
Σ FeO	3,54	1,09	<i>F</i>	67,6	10,2

Примечание. Число анализов $n=41$ (выборка И. А. Загрудиной по данным разных авторов).

Таблица 46

Петрохимические статистики базитов и гранитоидов уральского комплекса

Петрохим. показат.	1		2		3		4		5		6	
	\bar{X}	s										
SiO ₂	60,38	2,16	67,60	2,64	70,19	3,22	48,20	3,45	56,36	1,94	57,39	5,28
TiO ₂	0,59	0,13	0,54	0,14	0,52	0,15	0,72	0,17	0,76	0,20	0,70	0,18
Al ₂ O ₃	16,26	1,40	14,52	1,18	14,61	1,21	17,48	1,08	16,51	1,40	17,11	1,45
Fe ₂ O ₃	3,46	0,63	2,14	0,56	4,95	0,68	4,21	1,08	4,41	0,59	4,06	0,86
FeO	4,02	0,63	2,50	0,67	2,45	0,75	6,55	1,84	4,77	1,24	5,01	1,61
MnO	0,12	0,07	0,08	0,05	0,11	0,43	0,15	0,07	0,13	0,08	0,13	0,08
MgO	3,34	0,81	1,73	0,68	1,64	0,76	6,20	0,60	4,00	0,66	4,40	1,44
CaO	5,59	1,94	3,40	0,91	3,06	1,28	9,96	2,07	7,60	0,91	7,51	2,52
Na ₂ O	3,01	0,73	3,95	1,08	4,05	0,96	2,38	0,72	2,54	0,32	2,76	0,79
K ₂ O	0,81	0,43	1,40	1,04	1,28	1,02	0,46	0,22	0,91	0,44	0,78	0,43
P ₂ O ₅	1,53	1,09	0,16	0,07	0,45	0,08	0,16	0,09	0,49	0,10	0,16	0,09
П.п.п. (Σ FeO)	0,43	0,08	1,23	0,74	4,21	1,03	2,28	1,55	4,62	1,28	8,66	4,68
a	8,0	1,5	10,7	1,8	9,8	1,2	6,3	2,0	7,1	1,2	7,29	1,6
c	6,4	2,4	3,7	1,0	1,8	1,4	9,3	1,0	7,7	1,3	7,5	2,2
b'	13,4	1,2	7,6	1,4	4,4	1,0	25,4	2,9	17,7	1,4	17,8	5,1
f'	49,1	10,8	50,6	12,0	34,6	10,1	41,9	3,7	48,4	6,4	46,9	8,7
m'	38,6	3,9	32,6	6,6	19,4	9,0	44,5	6,4	38,7	4,9	40,0	5,4
c'(-a')	-3,2	17,0	-6,9	19,2	-46,0	14,6	13,6	6,0	8,9	12,0	4,7	15,4
n	84,7	8,6	80,7	15,0	88,1	8,8	88,6	4,6	81,7	7,2	84,6	7,7
Ф	21,3	6,3	22,1	8,2	11,0	2,6	15,4	4,6	21,7	3,4	20,0	5,7
t	0,7	0,2	0,6	0,2	0,5	0,1	1,1	0,3	1,0	0,3	0,9	0,3
Q	+19,0	4,7	+28,6	6,2	+38,4	4,0	-4,1	6,8	+12,1	2,5	+10,9	10,3
d	0,4	0,1	0,6	0,1	0,6	0,1	0,2	0,1	0,3	0,1	0,3	0,1
F	55,0	6,5	59,8	9,0	63,7	15,8	48,3	4,7	55,1	5,0	53,3	6,3

Примечание. 1 — лейкогранитоиды, $n=17$; 2 — метагранитоиды, $n=22$; 3 — гранитоидная группа, $n=32$; 4 — габбро различной меланократности, $n=9$; 5 — диориты, $n=11$; 6 — базитовая группа, $n=37$ [Сергеев, 1976].

Таблица 47

Петрохимические статистики гранитоидов батолита Айдахо

Петрохим. показат.	X	s	Петрохим. показат.	X	s
SiO ₂	70,86	3,80	a	13,3	1,2
TiO ₂	0,40	0,27	c	2,9	1,6
Al ₂ O ₃	15,14	1,67	b'	4,0	2,2
Fe ₂ O ₃	0,79	0,41	f'	55,8	9,7
FeO	1,99	0,92	m'	24,8	10,7
MnO	0,09	0,40	c'(-a')	-17,6	15,2
MgO	0,80	0,59	n	65,8	9,4
CaO	2,49	1,36	φ	14,2	6,5
Na ₂ O	4,06	0,64	t	0,4	0,3
K ₂ O	3,24	1,03	Q	+28,5	5,9
P ₂ O ₅	0,14	0,10	d	0,7	0,1
ΣFeO	2,71	1,09	F	69,1	11,3

Примечание. Число анализов $n=11$ [Larsen, Schmidt, 1958; Heltanen, 1963].

Таблица 48

Петрохимические статистики гранитоидов батолита Сьерра-Невада

Петрохим. показат.	1		2		Петрохим. показат.	1		2	
	X	s	X	s		X	s	X	s
SiO ₂	69,47	4,09	68,55	3,09	a	12,0	1,1	12,8	1,0
TiO ₂	0,43	0,22	0,45	0,16	c	3,8	1,7	3,8	1,2
Al ₂ O ₃	15,59	1,10	15,74	0,63	b'	5,2	2,9	5,4	2,4
Fe ₂ O ₃	1,42	0,47	1,45	0,58	f'	48,0	6,6	54,3	5,3
FeO	1,90	1,04	1,96	0,86	m'	29,4	11,2	33,0	9,4
MnO	0,04	0,03	0,16	0,28	c'(-a')	-19,6	20,1	-9,2	15,7
MgO	1,19	0,78	1,23	0,66	n	63,4	8,9	61,0	4,1
CaO	3,25	1,43	3,22	1,04	φ	20,1	4,0	21,1	8,6
Na ₂ O	3,49	0,36	3,59	0,29	t	0,5	0,3	0,5	0,2
K ₂ O	3,14	1,01	3,51	0,55	Q	+28,2	6,2	+25,4	4,3
P ₂ O ₅	0,09	0,05	0,14	0,05	d	0,6	0,1	0,6	0,1
ΣFeO	3,18	1,36	3,26	1,15	F	63,0	7,3	61,8	6,7

Примечание. 1 — нижнемеловые гранитоиды, $n=20$; 2 — верхнемеловые гранитоиды, $n=14$ [Lockwood, 1975; Batman, Lockwood, 1976].

Таблица 49

Петрохимические статистики верхнемеловой — третичной (1,2) и третичной (3) гранитоидодорикающих ассоциаций Алеутского-

Петрохим. показат.	1		2		3		Петрохим. показат.	\bar{X}	s	\bar{X}	s	\bar{X}	s	\bar{X}	s	\bar{X}	s
	\bar{X}	s	\bar{X}	s	\bar{X}	s											
SiO ₂	67,61	3,99	56,59	1,52	73,52	3,88	<i>a</i>	12,5	1,2	10,6	0,4	12,9	1,2				
TiO ₂	0,47	0,19	1,04	0,29	0,27	0,16	<i>c</i>	4,4	1,5	7,4	0,6	2,2	1,6				
Al ₂ O ₃	16,46	1,35	18,49	0,50	14,06	1,14	<i>b'</i>	5,7	3,0	15,0	1,3	3,2	2,7				
Fe ₂ O ₃	1,47	0,67	2,30	0,73	1,00	0,58	<i>f'</i>	52,4	10,8	49,3	8,2	48,6	8,6				
FeO	2,06	1,06	5,31	1,78	1,22	0,85	<i>m'</i>	30,8	13,0	42,1	6,8	20,2	13,5				
MnO	0,43	0,24	0,45	0,05	0,09	0,05	<i>c'(-a')</i>	-13,4	18,4	8,6	3,2	-28,6	22,1				
MgO	1,32	1,03	3,62	0,66	0,66	0,86	<i>n</i>	71,1	10,9	80,6	4,9	63,3	6,1				
CaO	3,70	1,35	6,99	0,46	1,87	1,39	<i>φ</i>	20,8	8,8	13,5	3,8	20,4	9,3				
Na ₂ O	4,07	0,75	3,77	0,33	3,82	0,31	<i>t</i>	0,5	0,2	1,4	0,4	0,3	0,2				
K ₂ O	2,52	1,01	1,37	0,34	3,43	0,82	<i>Q</i>	+24,0	6,5	+5,4	3,3	+33,6	5,3				
P ₂ O ₅	0,19	0,09	0,36	0,16	0,06	0,05	<i>d</i>	0,6	0,1	0,4	0,03	0,7	0,4				
ΣFeO	3,38	1,29	7,38	1,26	2,42	1,17	<i>F</i>	63,4	11,1	53,3	7,7	72,3	12,4				

Приложение. 1 — гранитоидная группа, $n=37$; 2 — базитовая группа, $n=6$; 3 — гранитоидная группа, $n=23$ [Reed, Lanphere, 1974, 1979].

Таблица 50

Петрохимические статистики золотоносной базит-гранитоидной ассоциации Китаками

Петрохим. показат.	1		2		3		4	
	\bar{X}	s	\bar{X}	s	\bar{X}	s	\bar{X}	s
SiO ₂	60,67	1,53	65,07	1,12	63,85	2,39	55,12	4,43
TiO ₂	0,64	0,10	0,50	0,14	0,57	0,14	0,93	0,20
Al ₂ O ₃	16,70	0,63	15,99	0,52	16,55	0,76	17,76	1,44
Fe ₂ O ₃	1,62	0,69	1,55	0,57	1,60	0,62	2,56	0,81
FeO	4,05	0,48	2,53	0,59	3,30	0,97	5,45	1,12
MnO	0,06	0,03	0,06	0,03	0,06	0,03	0,14	0,04
MgO	2,68	0,38	1,89	0,25	2,30	0,53	4,15	1,03
CaO	5,74	0,64	4,86	1,00	5,35	0,96	7,86	1,85
Na ₂ O	3,45	0,33	3,30	0,53	3,42	0,44	3,28	0,40
K ₂ O	2,59	0,81	3,07	0,46	2,88	0,68	2,43	1,10
P ₂ O ₅	0,11	0,09	0,12	0,07	0,12	0,08	0,32	0,17
П. п. п. (ΣFeO)	1,43	0,55	0,82	0,37	(4,74)	(0,98)	7,76	1,53
<i>a</i>	11,6	1,6	11,8	1,2	11,7	1,4	10,9	2,0
<i>c</i>	5,7	1,4	4,9	1,0	5,3	1,2	6,7	2,1
<i>b'</i>	11,6	1,1	8,1	1,4	9,8	2,1	17,9	4,2
<i>f'</i>	47,1	5,6	47,8	6,9	47,4	6,2	42,9	3,3
<i>m'</i>	40,2	4,6	40,1	3,9	40,2	4,1	39,9	2,4
<i>c'(-a')</i>	12,7	8,6	12,0	10,7	12,3	9,5	17,2	5,0
<i>n</i>	67,7	6,2	61,8	5,4	64,6	6,4	69,0	11,1
<i>φ</i>	12,3	5,2	17,2	7,9	14,9	7,0	12,4	3,0
<i>t</i>	0,8	0,1	0,6	0,2	0,7	0,2	1,3	0,3
<i>Q</i>	+13,5	3,0	+21,7	3,3	+17,8	5,2	+0,5	7,5
<i>d</i>	0,5	0,1	0,6	0,1	0,5	0,1	0,5	0,1
<i>F</i>	53,6	3,2	53,8	1,9	53,7	2,6	51,3	1,7

Примечание. 1 — лейкодиориты, $n=9$; 2 — мелагранитоиды, $n=10$; 3 — гранитоидная группа, $n=19$; 4 — базитовая группа, $n=22$ [Ichihara, 1971].

Таблица 51

Петрохимические статистики базитов и гранитоидов комплекса Дъен-Бисн-Фу

Петрохим. показат.	1		2		Петрохим. показат.	1		2	
	\bar{X}	s	\bar{X}	s		\bar{X}	s	\bar{X}	s
SiO ₂	69,95	4,61	55,44	4,58	<i>a</i>	13,1	1,7	10,5	2,3
TiO ₂	0,39	0,23	0,96	0,33	<i>c</i>	2,9	1,8	6,9	1,6

Окончание табл. 51

Петрохим. показат.	1		2		Петрохим. показат.	1		2	
	\bar{X}	s	\bar{X}	s		\bar{X}	s	\bar{X}	s
Al_2O_3	15,41	1,53	17,83	1,79	b'	4,9	3,1	18,0	6,6
Fe_2O_3	1,07	0,57	2,22	0,93	f'	49,6	13,6	47,1	12,5
FeO	2,11	1,07	6,15	1,65	m'	26,7	13,8	42,8	10,3
MnO	0,04	0,03	0,08	0,05	$c'(-a')$	-20,9	22,4	10,1	4,8
MgO	1,16	0,96	4,83	3,08	n	63,9	10,4	77,1	7,2
CaO	2,52	1,54	7,14	1,55	Φ	15,3	6,0	11,2	5,8
Na_2O	3,89	0,70	3,63	0,86	t	0,4	0,3	1,3	0,5
K_2O	3,41	1,22	1,63	0,67	Q	+26,4	7,4	+1,3	9,3
P_2O_5	0,06	0,05	0,10	0,06	d	0,7	0,1	0,4	0,1
ΣFeO	3,07	1,44	8,15	1,50	F	66,0	13,4	51,9	12,6

Примечание. 1 — гранитоидная группа, $n=30$; 2 — базитовая группа, $n=6$ [Геология..., 1965].

Таблица 52

Петрохимические статистики гранитоидов с золотым оруденением (по литературным данным)

Петрохим. показат.	1		2		3		4	
	\bar{X}	s	\bar{X}	s	\bar{X}	s	\bar{X}	s
SiO_2	59,75	1,26	66,01	1,30	70,78	1,57	69,15	1,95
TiO_2	0,73	0,18	0,46	0,09	0,27	0,05	0,38	0,09
Al_2O_3	16,89	0,86	15,77	0,69	14,95	1,18	15,16	1,77
Fe_2O_3	2,39	0,65	1,61	0,49	1,12	0,28	1,41	0,43
FeO	4,26	0,59	2,76	0,61	1,71	0,33	2,41	0,59
MnO	0,11	0,02	0,08	0,02	0,05	0,01	0,07	0,02
MgO	2,83	0,28	1,68	0,32	0,70	0,10	1,28	0,45
CaO	5,56	0,28	3,57	0,51	2,21	0,48	3,02	0,77
Na_2O	3,75	0,34	3,98	0,47	4,30	0,41	4,11	0,44
K_2O	1,85	0,71	2,41	0,63	2,66	0,63	2,60	0,76
P_2O_5	0,24	0,10	0,11	0,04	0,08	0,03	0,09	0,04
П. п. и. (ΣFeO)	1,32	0,44	1,08	0,51	0,76	0,21	(3,60)	(0,88)

Примечание. Статистики подсчитаны по средним: 1 — лейкодиориты (10 выборок); 2 — мелагранитоиды (20 выборок); 3 — лейкогранитоиды (15 выборок); 4 — гранитоидная группа (38 выборок).

(24—49%) ассоциациях. По общей щелочности золотоносные гранитоиды варьируют от умеренно низкощелочных до умеренно щелочных. Первые встречаются в 13 (19—40%), вторые — в 17 (24—49%) случаях на совокупность. Примерно так же часто встречаются ассоциации, где выше отмеченные градации щелочности наблюдаются без заметного преобладания одной из них. Щелочные гранитоиды развиты ограниченно лишь в составе некоторых редко встречающихся щелочных в основе своей ассоциаций, в том числе и повышению калиевых. Примером могут служить калиевые щелочные золотоносные ассоциации Алданского щита (по данным Е. П. Максимова). Щелочной золотоносной является ассоциация района месторождения Крип-Крик [Шер, 1972]. В целом эти ассоциации не являются гранитоидными. Они достаточно специфичны, редки и поэтому здесь детально не рассматриваются.

Остановимся далее на некоторых других особенностях химизма гранитоидов с золотым оруденением. Для них обычна пониженная титанность (весьма низкотитанистый уклон), фиксируемая в 34 из 48 (58—81%) случаев, т. е. в явном большинстве. При этом крайне низкотитанистые разности устанавливаются в 13 (19—40%) случаях на совокупность. Характерен в целом высокоглиноземистый уклон, отмеченный в 42 (77—94%) случаях, причем в 6 (6—26%) ассоциациях зафиксирована весьма высокоглиноземистый уклон. Последнее относится к ассоциациям, где повышенная глиноземистость отражена и в составе минеральных парагенезисов: кунушский комплекс Западно-Калбинской и Калба-Нарымской зон, золотоносные гранитоиды Китаками (Япония), удский комплекс и некоторые другие, среди которых повышенной частотой встречаемости обладают биотитовые гранитоиды. В какой-то мере повышенная глиноземистость золотоносных гранитоидов может объясняться и тем, что среди них, как правило, преобладают меланократовые разности гранитоидов — мелагранитоиды (гранодиориты, тоналиты, трондемиты, граносиениты). По показателю с преобладающим уклон определяется как низкоанортитовый, встреченный в 43 (83—98%) ассоциациях. Во всех изученных ассоциациях отмечен ведущий железистый уклон, при этом умеренно железистый зафиксирован в 26 (41—67%) случаях на совокупность. Специально рассмотрена окисленность железа в гранитоидах золотоносных ассоциаций. По оценкам средних показателя φ были построены гистограммы распределения этого показателя (рис. 22). Оказалось, что гранитоиды с золотым оруденением обладают повышенной окисленностью железа. Показатель φ варьирует от 7—10 до 30—35 с максимальной частотой встречаемости в интервале $\varphi = 15—25$. Эти значения выше таковых оловянно-вольфрамоносных гранитоидов (см. рис. 22).

Повышенная окисленность железа, фиксируемая по показателю φ в золотоносных гранитоидах, находится в соответствии с существенно магнетитовым составом рудных акцессорных минералов в них и пониженной железистостью биотита (см. табл. 3). Наиболее низкими значениями показателя $\varphi = 7—9$ обладают ассоциации с повышенной глиноземистостью — биотитовые и двуслюдянные гранитоиды кунушского и пластовского комплексов, имеющие ильменитовый состав акцессорных рудных минералов. Но такие ассоциации среди золотоносных находятся в явном меньшинстве и развиты ограниченно. В случае кунушского комплекса эту черту можно объяснить особенностями региона, поскольку более поздние калбинские гранитоиды (в Калба-Нарымской зоне) также характеризуются широким развитием биотитовых гранитоидов и гранитоидов с высокоглиноземистыми минералами и с акцессорным ильменитом. Интересно отметить здесь, что биотиты кунушского комплекса, против ожидания, оказались достаточно низкожелезистыми. Последнее можно истолковать, вероятно, просто общим дефицитом железа, отражающимся, в частности, на пониженном в данном случае количестве акцессориев.

БАЗИТОВАЯ ГРУППА

Петрохимия пород базитовой группы рассмотрена на основании 25 ассоциаций, где они достаточно развиты и охарактеризованы аналитическим материалом. Во всех базитовых породах фиксируется натриевое соотношение щелочей, причем со значительным превышением натрия над калием. Превалирующими оказываются ассоциации, в которых преобладают разности с $n > 75$, отмеченные в 18 из 25 (54–86%) ассоциаций. По показателю a в 13 (34–70%) случаях установлен низкощелочной уклон, в 1 (0,2–17,6%) — умеренно щелочной, а в 11 (27–62%) случаях вышенназначенные градации по щелочности встречаются без заметного преобладания одной над другой. В 24 из 25 ассоциаций (82–99,8%) установлен низкотитанистый уклон, в чем базиты близки к гранитоидам, характеризующимся также низким содержанием титана. Высокоглиноземистый уклон встречен в 13 из 25 (34–70%) случаев на совокупность. В 11 ассоциациях разности с низкоглиноземистым и умеренно глиноземистым уклоном развиты без заметного преобладания одних над другими. Характерна известковистость в рамках общего высокоанортитового уклона, отмеченного в 22 (72–97%) случаях на совокупность. Лишь в 5 (1,6–26%) случаях зафиксирован весьма высокоанортитовый уклон. По соотношению железа и магния общая тенденция определяется как магнезиально-железистая, встречающаяся в 17 (49,6–83%) ассоциациях. В 2 (1,5–23%) случаях установлен магнезиальный и в 6 (11–42%) случаях на совокупность — железистый уклоны. Как и в гранитоидах, была изучена окисленность железа. Значения показателя φ распределены в тех же пределах, что и в гранитоидах, с повышенной частотой встречаемости в интервале значений $\varphi = 15–25$, что указывает на сходный окислительный режим формирования базитов и гранитоидов в сложных ассоциациях с золотым оруденением.

ГЛАВА II

МАГМАТИЧЕСКИЕ АССОЦИАЦИИ С ЗОЛОТО-СЕРЕБРЯНЫМ ОРУДЕНЕНИЕМ

Магматические ассоциации, сопровождающиеся золото-серебряным оруденением, относятся в основном к сложным вулкано-плутоническим ассоциациям, распространены в мезозое — кайнозое, реже — в палеозое, приурочиваясь к различным вулканическим поясам и зонам этапа тектально-магматической активизации [Шер, 1972, 1974; Шило и др., 1972; Рудные формации..., 1976]. В пределах этих зон золото-серебряные проявления развиваются во всякого рода кольцевых структурах, куполах, вулкано-тектонических кальдерах, вулканических аппаратах центрального типа и т. п. [Хомич, 1979; и др.]. В последнее время установлен разнотемпературный режим образования золото-серебряных месторождений [Гончаров, Сидоров, 1979; Рудные формации..., 1976] в отличие от бытовавшего ранее представления об их эпимермальном, низкотемпературном характере. Золото-серебряное оруденение передко ассоциирует с молибдено-полиметаллическими, олово-полиметаллическими, колчеданными и другими рудными проявлениями [Сидоров, Югай, 1972; Шило и др., 1972]. Как будет показано в главе V, эти особенности оруденения вполне увязываются с главными чертами состава вулкано-плутонических ассоциаций, прежде всего с изменчивостью по содержанию калия.

КРАТКАЯ ГЕОЛОГИЧЕСКАЯ ХАРАКТЕРИСТИКА

Джуңгаро-Балхашская складчатая система

Горы Архарлы

Вулканическая ассоциация (P_2-T). Верхнепермские вулканиты, представленные в пизах разреза в основном породами липарито-дацитового ряда, сменяются в верхних его частях породами существенно андезито-базальтового состава. Лавы, экструзивы, субвулканические образования. Более поздние пермо-триасовые вулканиты в аналогичных фациях имеют существенно дацито-липаритовый состав при неизначительном участии андезитов. К жерловым фациям вулканов приурочены зоны измененных пород и золото-серебряная минерализация [Ткаченко, 1966; данные А. П. Пономаревой].

Верхояно-Чукотская складчатая область Омолонский массив

Коркодонская зона (Рассошинский, Кедонский блоки)

Вулканическая ассоциация кедонской серии (D_2-C_1). Андезиты, андезито-базальты, дациты, липарито-дациты, трахилипараты, игнимбриты, туфы и туфобрекции с прослоями вулканомиктовых конгломератов, гравелитов, песчаников. Поля и зоны пропиллитов с сериями рудоносных жил. Штокверки и штокверкоподобные минерализованные зоны, приуроченные к экструзиям липаритов. Оруденение золото-серебряной (мало-глубинной) формации [Симаков, Шевченко, 1974; Шило, Лычагин и др., 1975].

Нижнемеловая вулканическая ассоциация. В пределах Верхнекедонской, Карбасчанской, Хуличанской и других впадин — вулканиты конгинской, чагачанской свит, проточинской, малоэльгахчанской толщи. В конгинской свите — андезиты, андезито-базальты, трахиандезито-базальты и трахиандезиты, реже трахиты. В верхах свиты — липариты, липарито-дациты. Среди пород чагачанской свиты преобладают лавы, туфы и игнимбриты липаритов и липарито-дацитов, реже дацитов. Близки по составу породы других нижнемеловых толщ. С пропилитизированными эфузивами северной части массива ассоциируют рудопроявления золота и серебра с медью, молибденом и вольфрамом, а с вулканитами центральной части — золото-серебряное и свинцово-цинковое оруденение в зонах вторичных кварцитов [Дылевский, 1977].

Горный хребет Сарычева

Средне-верхнеюрская вулканическая ассоциация. Поля липаритов, фельзолипаритов, их туфов, реже андезитов, андезито-дацитов. Спорадически отмечаются туфоловы липаритового и трахилипаритового состава. Субвулканические массивы представлены преимущественно гиперстеновыми, реже биотитовыми дацитами. Позднее сформировались штоки и дайки микропегматитовых гранодиорит-порфиров. Низкотемпературные рудопроявления серебра, золота, цинка, свинца приурочены к телам гранодиорит-порфиров [Рудич, 1959].

Верхнетуромчинская вулканоструктура

Туромчинский комплекс (K_2). Включает два подкомплекса: центральный и кольцевой. Первый представлен интрузивными, субвулканическими и эфузивными образованиями. Доктомычанский и Джольский массивы адамеллитов обрамляются выходами субвулканических липарито-да-

цитов, граенофиров и адамеллит-порфиров. Кольцевой подкомплекс сложен многочисленными субвулканическими и экструзивными телами липаритов, трахитов, трахиандезитов и автомагматическими брекчиями. Изометричные штоки, дайки, силлы, лакколитоподобные залежи. Проявления золото-серебряного и молибденового оруденения [Ващилов и др., 1980].

Охотско-Чукотский вулканический пояс

Ульинский прогиб

Анdezito-базальт-лиparитовая формация (магейский комплекс) альб-сеноманского возраста. Распространена в пределах осевой зоны прогиба, включает вулканиты магейской, амкинской, хетанинской и уракской свит, а также их субвулканические аналоги. Амкинская свита (лавы и туфы липаритов, дацитов, реже туфогенно-осадочные породы) развита почти на всей территории прогиба. Базальты, анdezito-базальты, трахибазальты, трахиандезиты хетанинской свиты согласно перекрывают амкинскую. Липариты, трахилипариты, дациты, их агломератовые лавы, туфы, игнимбриты уракской свиты развиты лишь в центральных частях вулканотектонических впадин, с несогласием залегают на вулканитах амкинской и хетанинской свит. Встречающиеся в районе золото-серебряные рудопроявления отвечают малоглубинной формации, приурочены к зонам нарушений, вулканоструктурам, kontaktовым зонам экструзивов [Агентов, Рейтлингер, 1976; Бахарев, 1976; Минц, 1974; Минц, Самозванцева, 1976; Ярмолюк, 1973].

Уениминская кальдера

Вулканическая ассоциация хаканджинской толщи. Стратифицированные игнимбриты липаритов, дацитов, развитые на площади 120 км², штоки трещинные интрузии, дайки, силлы, лакколитообразные залежи липаритов. Зоны гидротермально измененных пород типа вторичных кварцитов [Ярмолюк, 1973]. По последним данным, все магматиты района объединяются в амкинский магматический комплекс в составе эфузивной, экструзивно-субвулканической и интрузивной фаций [Шишков, 1980].

Центрально-Охотский район

Позднемеловая липаритовая формация (сенон — дат). Вулканическая толща мощностью 1000—1300 м существенно кислого состава с потоками лав среднего состава в основании. Преобладающие типы пород: липариты, игнимбриты, перлиты, реже туфы липарита, а также гиперстеновые и двупироксеновые анdezиты и анdezito-базальты. Поля вторичных кварцитов и проявления золото-серебряной минерализации [Сперанская, 1963].

Вулканическая ассоциация Арманской кальдеры (сеноман). Представлена отложениями ольской свиты (игнимбриты, витрофиры, тонкослойные туфы, межпластовые тела анdezитов), а также субвулканическими и гипабиссальными интрузиями соответственно липаритов и гранитов. Интрузии развиты по разломам, ограничивающим кальдеру, прорывают вулканиты вплоть до верхов ольской свиты. Зоны прошиллитов и проявления золото-серебряного типа. Абсолютный возраст покровного игнимбрита от 58—61 до 73—77 (три определения), интрузивного липарита 69—74, гранитов, гранодиоритов — от 61—65 до 76—80 (три определения) млн. лет. Абсолютный возраст метасоматитов от 65—68 до 70—74 (три определения) млн. лет [Белый, 1978; Еремин, 1974; Ярмолюк, 1973].

Центрально-Чукотский сектор

Липарит-андезито-базальтовая формация (альб — сеноман). Включает вулканиты коэкуньюской и куветской свит, относимых к игнимбрит-андезитовой субформации, различные субвулканические аналоги лав. Сложена преимущественно пироксеновыми, двупироксеновыми, пироксен-роговообманковыми анdezитами, реже анdezito-базальтами, базальтами, анdezito-дацитами, дацитами, пирокластами различного состава. Характерно присутствие в разрезах горизонтов игнимбритов кислого, дацитового и среднего состава. Субвулканиты (дайки, штоки, силлы) представлены анdezito-базальтами, диоритами, сиенито-диоритами, их порфировыми разностями, липаритами, монцонитами, гранодиорит-порфирами, гранит-порфирами. Оруденение золото-серебряного типа ассоциирует с различного рода субвулканическими образованиями. Абсолютный возраст субвулканических липаритов, гранит-порфиров 75 млн. лет, околоврудных метасоматитов — 61—63 млн. лет [Белый, 1969; 1978; Сидоров, 1966].

Средне-Анадырский район

(Пеледено-Мечкеревская вулкано-тектоническая структура)

Липарит-андезитовая (контрастная) формация альб-сеноманского возраста. Включает вулканиты еропольской толщи и их субвулканические аналоги. Нижняя часть еропольской толщи сложена туфами и игнимбритами кислого состава, верхняя — лавами и туфами анdezito-базальтов, базальтов, анdezito-дацитов. Субвулканиты представлены анdezитами, диоритовыми порфиритами, липаритами, гранит-порфирами. Золото-серебряные проявления среди зон прошиллитов тяготеют к прионтактовым частям субвулканических интрузий, реже — к экструзивам [Котляр, 1975].

Камчатка

Вулканическая ассоциация аиавгайской серии (Р₃ — N₁²). Лавы, туфы и туфобрекции авгитовых и двупироксеновых анdezитов, базальтов, анdezito-базальтов, сменяющиеся в верхах разреза серии анdezito-дацитами, дацитами, липаритами, их туфобрекциями и игнимбритами. Экструзии, субвулканические интрузивы, дайки, силлы аналогичного состава. Схема формирования гомодромная. Зоны прошиллитов с кварцевыми и кварц-карбонатными жилами с золотом, медью, полиметаллами [Бондаренко, Хотин, 1963; Ротман, 1963].

Закарпатье

Неогеновая вулканическая ассоциация. Четыре фазы вулканизма. Первая фаза представлена анdezитами и более поздними дацитами; вторая — анdezитами, анdezito-дацитами, туфами и экструзивными липаритами; третья — анdezito-базальтами, анdezитами, дацитами (экструзивы, купола и потоки, реже интрузивы); четвертая — базальтами, анdezito-базальтами, туфами и лавами анdezитов, дацитами, липаритами, в том числе интрузивными. Схема формирования каждой фазы гомодромная. С каждой из фаз связаны месторождения или рудопроявления свинца, цинка, меди, золота, серебра, ртути и др. [Малеев, 1960; 1964; Скаржинский и др., 1974].

Позднемиоценово(?) -плиоценовая низкощелочная риолитоидно-андезитоидная ассоциация советской части Выгорлат-Гутинской зоны. Ртутное оруденение и проявления свинца, цинка в Дубринич-Оленево-Выш-

ковской (внешней) подзоне, ртутьно-теллуро-висмутовое оруденение и проявления золота, свинца, цинка в Синяковской (внутренней) подзоне Выгорлат-Гутинской металлогенической зоны [Белоусов и др., 1981; Малеев, 1960; и др.].

Миоценовая риолито-андезитовая ассоциация Центральной и Восточной Словакии. Свинцовые месторождения полиметаллической формации (Банска-Штявница и др.), месторождения и рудопроявления золото-серебряной формации [Белоусов и др., 1981; Лазаренко и др., 1968].

Неогеновая лейкоандезитоидно-риолитовая ассоциация гор Токай, Венгрия. Месторождения полиметаллической (Телькибания, Шаторалья-Ухей, золото-серебро-кварцево-сульфидной (Телькибания) формаций [Белоусов и др., 1981; Лазаренко, 1966; Лазаренко и др., 1968].

США. Штат Колорадо

Базит-гранитоидная ассоциация (третичный возраст) гор Сан-Мигель. Небольшие гипабиссальные штоки, представленные микрогорано-габбро, биотит-пироксен-роговообманковыми гранодиоритами, порфирированными адамеллитами. Штоки и дайки латитов, лампрофиров. Вмещающие породы — вулканогенно-осадочные отложения мела, олигоцена. Золото-серебряные жильные месторождения [Bromfield, 1967].

Из этого описания видно, что ассоциации, сопровождающиеся золото-серебряным оруденением, могут быть как существенно базальтоидными, так и существенно кислыми с гомодромной, антидромной и сложной последовательностью формирования. Золото-серебряное оруденение формируется на заключительных этапах образования ассоциаций, тяготея к экструзивам, дайкам, субвулканическим интрузивам и накладываясь на них.

МИНЕРАЛЬНЫЙ СОСТАВ ВКРАПЛЕНИКОВ ЛАВОВЫХ, ЭКСТРУЗИВНЫХ И СУБВУЛКАНИЧЕСКИХ ОБРАЗОВАНИЙ

КИСЛАЯ ГРУППА

Дациты, липариты, липарито-дациты, трахидациты. Охарактеризованы на примере туромчинского комплекса [Ващилов и др., 1980], ассоциаций Охотско-Чукотского вулканического пояса [Белый и др., 1972; Еремин, 1974], меловых вулканитов Омолонского массива [Дылевский, 1977], неогенового вулканизма Закарпатья [Малеев, 1964], пермо-триасовой ассоциации гор Архарлы (всего 21 ассоциация).

Вкраепленники в породах кислой группы в количественном отношении могут варьировать в широких пределах: от 10–15 до 35–40%, редко более. Набор их достаточно широк — это практически всегда преобладающий плагиоклаз, уступающий ему калинатровый полевой шпат (в одной ассоциации из 21 зафиксировано в отдельных лавовых потоках преобладание калинатрового полевого шпата над плагиоклазом), кварц, моноклинный, ромбический (гиперстен) пироксены, роговая обманка, биотит. Темноцветные минералы в целом резко уступают в объеме светлым. В разных комплексах может преобладать биотит или роговая обманка. Аксессории представлены апатитом, цирконом, ортитом, магнетитом, сфеином. Состав плагиоклаза в породах дацитового состава варьирует от наиболее часто встречающегося андезина до кислого лабрадора. Нередок и олигоклаз-андезин. В породах липаритового состава обычен альбит, альбит-олигоклаз, хотя есть указания и на андезин и даже на кислый лабрадор (II, III фазы неогенового вулканизма Закарпатья) [Малеев, 1964]. Калиевый полевой шпат описывается как апортоклаз, санидин, калинатровый полевой шпат.

ПЕТРОХИМИЯ

Петрохимия рассмотрена на примере 18 ассоциаций кислой группы и 13 ассоциаций базальтоидной группы. Петрохимические статистики даны в табл. 53–69.

КИСЛАЯ ГРУППА

Кислая группа изученных ассоциаций с золото-серебряным оруденением имеет существенно риолитоидный (9 случаев из 18, или 29–71% на совокупность), реже дацитовый (3 случая из 18, или 5–38%) и риолитоидно-дацитовый (6 ассоциаций из 18, или 15–53% на совокупность) состав. В отличие от золотоносных гранитоидов здесь нет устойчивой патриевой тенденции, и ассоциации с ведущим калиевым соотношением щелочей ($K_2O > Na_2O$) встречаются не менее часто, если не более, чем ассоциации с преобладающим патриевым ($Na_2O \leq K_2O$) уклоном. По имеющейся выборке калиевое соотношение встречено в 10 (34–75,6%) ассоциациях, тогда как патриевое всего лишь в 2 (2–31%). В 6 (15,6–55%) ассоциациях разности с указанными соотношениями развиты без существенного преобладания одного над другим. В половине ассоциаций устанавливается преобладание значений $K_2O > 3,5$ и $Na_2O \leq 4$. В 2 случаях зафиксировано ведущее значение $Na_2O > 4$. Выявленные вариации в содержаниях натрия и калия отражаются и в оценках средних (см. табл. 53–69). Относительно медиан распределений Na_2O и K_2O [Налетов, 1978; Пономарева, Налетов, 1979] кислая группа ассоциаций с золото-серебряным оруденением может классифицироваться как преимущественно умеренно патриевая и преимущественно умеренно калиевая. По шкале n [Белоусов и др., 1981] она отвечает в значительной мере умеренно патриевому уклону (11 из 18 ассоциаций, или 39–80% случаев на совокупность). В 13 (50–88%) случаях фиксируется преобладание значений показателя $n \leq 65$, в 7 (20–61%) ассоциациях преобладает $n \leq 60$. Общая щелочность варьирует от низкощелочного до умеренно щелочного уклона. Последний встречен в 7, а первый в 3 ассоциациях, что может составить соответственно 20–61% и 5–38% случаев на совокупность. Нередки и такие ассоциации, где низкощелочные и умеренно щелочные разности встречаются одинаково часто. Характерен общий весьма низкотитанистый уклон. В половине ассоциаций установлен преобладающий крайне низкотитанистый уклон. В значительном числе ассоциаций (12 из 18, или 44–84%) установлен ведущий высокоглиноземистый уклон (в одном случае весьма высокоглиноземистый). Реже отмечен среднеглиноземистый (5 из 18, или 12–50%) и еще реже (один случай) — низкоглиноземистый. Плюмазитовой тенденции отвечает 9 ассоциаций. Во всех ассоциациях обнаруживается общий железистый уклон с вариациями от умеренно железистого (3 случая) до высокожелезистого (3 случая) и весьма высокожелезистого (2 случая). Чаще же отмеченные градации развиты без заметного превалирования одной над другой. Окисленность железа (показатель Φ) сопоставима с таковой гранитоидов с золотым оруденением и согласуется с широким развитием среди рудных аксессориев магнетита.

БАЗАЛЬТОИДНАЯ ГРУППА

Химизм группы описан на основе изучения 13 ассоциаций. В целом базальтоиды отвечают лейкобазальтоидному уклону, причем в 4 (11–57%) ассоциациях устанавливаются преобладающие андезитоидные разности. В полном соответствии с повышенной калиевостью пород кислой группы находится относительно повышенная калиевость пород базальтоидной группы. Лишь в одной ассоциации (анаутгайская серия Камчатки) фикси-

Таблица 53

Петрохимические статистики вулканической ассоциации гор Архары

Петрохим. показат.	1				2				Петрохим. показат.	1				2				
	a		s		\bar{x}		s			\bar{x}		s		\bar{x}		s		
	\bar{x}	s	\bar{x}	s	\bar{x}	s	\bar{x}	s		\bar{x}	s	\bar{x}	s	\bar{x}	s	\bar{x}	s	
SiO ₂	57,93	3,48	72,68	4,10	72,77	4,45	a	—	11,7	2,8	14,6	2,4	14,4	1,9	—	—	—	
TiO ₂	0,75	0,14	0,29	0,20	0,24	0,20	c	—	5,8	2,1	1,1	1,1	1,1	1,7	—	—	—	
Al ₂ O ₃	17,21	1,22	13,71	1,69	13,27	1,69	b'	—	15,4	4,7	3,6	1,6	4,1	2,2	—	—	—	
Fe ₂ O ₃	5,58	0,99	2,03	0,81	2,03	1,29	f'	—	46,3	9,7	53,9	15,9	44,8	33,9	—	—	—	
FeO	1,99	1,50	0,56	0,45	0,87	0,59	m'	—	40,8	7,1	19,3	14,2	23,9	13,2	—	—	—	
MnO	0,10	0,04	0,06	0,07	0,06	0,04	c'(-a')	—	12,3	6,7	-1,5	32,7	9,7	29,0	—	—	—	
MgO	3,82	1,69	0,58	0,56	0,74	0,66	n	—	73,9	11,5	53,0	19,7	54,8	18,4	—	—	—	
CaO	6,40	2,27	1,37	0,89	1,57	0,99	Φ	—	34,0	12,4	40,6	15,3	30,2	17,2	—	—	—	
Na ₂ O	3,83	1,02	3,71	1,45	3,88	1,53	t	—	1,0	0,2	0,3	0,2	0,2	0,2	—	—	—	
K ₂ O	2,19	1,40	4,87	2,04	4,47	1,50	Q	—	+5,0	4,8	+29,1	10,2	-29,8	9,0	—	—	—	
P ₂ O ₅	0,21	0,08	0,13	0,23	0,10	0,12	d	—	0,5	0,4	0,8	0,1	0,9	0,2	—	—	—	
Σ FeO	7,02	1,32	2,39	0,78	2,69	1,52	F	—	52,6	9,2	74,6	17,3	70,7	17,3	—	—	—	

П р и м е ч а н и е. 1 — базальтоидная группа, 2 — кислая и субвулканическая, $n=12$; 2 — кислая группа (a — вулканиты, $n=30$; b — субвулканиты, $n=21$). (II₃) неопубликованной выборки К. Н. Ткаченко.)

Таблица 54

Петрохимические статистики вулканитов кедонской серии Коркодонской зоны

Петрохим. показат.	1		2		Петрохим. показат.	1		2	
	\bar{x}	s	\bar{x}	s		\bar{x}	s	\bar{x}	s
SiO ₂	57,03	3,38	69,40	3,30	a	13,1	2,9	14,0	1,3
TiO ₂	1,00	0,33	0,35	0,14	c	5,3	1,4	2,0	1,5
Al ₂ O ₃	17,53	0,96	15,58	1,12	b'	14,7	2,9	5,0	1,7
Fe ₂ O ₃	5,64	1,46	2,02	0,89	f'	54,5	5,2	47,1	9,8
FeO	3,02	1,54	1,74	0,29	m'	34,5	8,0	19,6	10,0
MnO	0,20	0,06	0,18	0,33	c'(-a')	8,9	8,6	28,9	24,9
MgO	3,04	1,07	0,88	0,51	n	72,4	10,8	58,1	2,8
CaO	5,45	1,12	1,76	1,37	φ	33,9	10,2	22,6	8,5
Na ₂ O	4,22	1,05	3,80	0,40	t	1,3	0,5	0,4	0,2
K ₂ O	2,50	1,29	4,18	0,53	Q	+1,9	8,6	+23,5	6,3
P ₂ O ₅	0,38	0,26	0,12	0,04	d	0,5	0,1	0,7	0,1
Σ FeO	8,10	1,24	3,56	0,83	F	60,9	7,5	71,1	8,2

П р и м е ч а н и е. 1 — базальтоидная группа, $n=8$; 2 — кислая группа, $n=12$ (по усредненным анализам [Симаков, Шевченко, 1974]).

Таблица 55

Петрохимические статистики вулканитов шунгемеловой ассоциации Омоловского массива

Петрохим. показат.	1		2		Петрохим. показат.	1		2	
	\bar{x}	s	\bar{x}	s		\bar{x}	s	\bar{x}	s
SiO ₂	53,51	3,86	68,97	6,32	a	11,8	2,8	13,8	1,7
TiO ₂	1,25	0,47	0,48	0,33	c	6,6	1,3	2,7	2,0
Al ₂ O ₃	18,26	0,64	15,29	2,51	b'	17,8	5,2	5,3	2,7
Fe ₂ O ₃	5,17	1,39	2,32	1,46	f'	51,0	7,8	59,0	12,2
FeO	4,12	1,70	1,87	1,13	m'	35,6	5,0	20,9	10,0
MnO	0,20	0,06	0,10	0,06	c'(-a')	11,7	8,7	-19,0	20,1
MgO	3,74	1,48	0,85	0,56	n	75,5	4,9	60,7	11,6
CaO	7,24	1,99	2,26	1,64	φ	27,1	8,8	30,9	14,7
Na ₂ O	3,92	0,89	3,90	0,91	t	1,8	0,8	0,5	0,4
K ₂ O	1,97	0,67	3,76	0,93	Q	-2,9	7,0	+24,1	12,3
P ₂ O ₅	0,60	0,67	0,20	0,13	d	0,5	0,1	0,7	0,1
Σ FeO	8,77	1,47	3,95	1,86	F	58,2	6,3	74,6	9,3

П р и м е ч а н и е. 1 — базальтоидная группа, $n=13$; 2 — кислая группа, $n=10$ [Дылевский, 1977].

Таблица 56

Петрохимические статистики ацидитов вулканической ассоциации хр. Сарычева

Петрохим. показат.	1		2		Петрохим. показат.	1		2	
	\bar{x}	s	\bar{x}	s		\bar{x}	s	\bar{x}	s
SiO ₂	66,90	3,69	a	12,4		3,2	4,1		0,6
TiO ₂	0,61	0,22	b'	7,2					2,0
Al ₂ O ₃	15,88	1,40	f'	53,3					12,1
Fe ₂ O ₃	1,16	0,98	m'	23,6					6,5
FeO	4,13	1,10	c'(-a')	-22,1					17,3
MnO	0,06	0,03	n	58,5					4,5
MgO	1,36	0,61	φ	10,7					9,0
CaO	2,71	0,96	t	0,7					0,2
Na ₂ O	3,35	0,29	Q	+22,2					6,7
K ₂ O	3,62	0,41	d	0,6					0,1
P ₂ O ₅	0,22	0,07	F	69,3					6,7
Σ FeO	5,17	1,30							

П р и м е ч а н и е. Число анализов $n=11$ [Рудич, 1959].

Таблица 57

Петрохимические статистики вулкано-плутонического комплекса Верхнетуромской структуры

Петрохим. показат.	1		2		3		4		5		6		7	
	\bar{X}	s												
SiO ₂	68,50	0,86	69,08	0,94	67,60	1,21	68,40	1,28	73,44	3,32	69,29	1,39	66,21	1,20
TiO ₂	0,30	0,04	0,32	0,05	0,39	0,08	0,38	0,09	0,20	0,11	0,37	0,09	0,43	0,11
Al ₂ O ₃	14,87	0,42	15,24	0,45	15,46	0,33	15,33	0,47	13,84	1,06	15,35	0,77	15,48	1,14
Fe ₂ O ₃	1,72	0,21	1,58	0,53	1,69	0,54	2,06	0,78	1,43	0,76	2,07	0,56	1,69	0,70
FeO	1,36	0,20	1,54	0,50	2,02	0,54	1,40	0,65	0,89	0,77	0,73	0,51	0,25	0,77
MnO	0,06	0,02	0,07	0,02	0,07	0,02	0,09	0,02	0,05	0,03	0,05	0,05	0,09	0,03
MgO	0,79	0,13	0,83	0,31	1,03	0,35	0,96	0,30	0,35	0,23	0,43	0,23	0,14	0,44
CaO	2,20	0,6	2,17	0,51	2,30	0,94	2,17	0,49	1,01	1,1	1,21	0,61	0,96	0,91
Na ₂ O	4,09	0,31	3,85	0,29	3,97	0,37	4,18	0,51	3,18	0,70	2,99	0,78	3,44	0,86
K ₂ O	4,08	0,42	3,85	0,28	3,83	0,43	3,98	0,42	3,96	0,92	4,51	1,18	4,48	1,42
P ₂ O ₅	0,03	0,04	0,04	0,04	0,04	1,6	1,6	2,1	1,95	1,95	3,00	6,8		
П. п. п.	2,10													

Петрохим. показат. 1 2 3 4 5 6 7

Петрохим. показат.	1	2	3	4	5	6	7
a	14,9	13,9	14,3	14,3	15,0	12,3	14,5
b	2,6	2,6	2,8	2,8	2,4	4,2	1,2
c	4,3	4,2	5,2	4,8	2,4	2,1	
f'	65,8	53,8	57,3	62,6	32,1	32,8	27,9
m'	31,2	26,2	29,1	32,0	10,2	9,5	3,7
c'(-a')	2,9	-20,0	-13,6	-5,4	-57,6	-57,7	-68,3
n	60,1	60,3	61,2	61,5	55,0	50,2	53,8
Ф	34,3	25,2	24,1	34,7	16,7	23,1	22,8
t	0,33	0,3	0,4	0,4	0,2	0,4	0,5
Q	+24,3	+25,8	+25,8	+21,7	+35,9	+28,6	+25,5
d	0,7	0,7	0,7	0,7	0,7	0,6	0,7
F	67,4	66,7	66,7	65,5	75,3	77,2	87,6

Петрохим. показат. 1 2 3 4 5 6 7
Окончание табл. 57
1 — альмандиниты; 2 — липариты-дациты; 3 — экструзионные липариты-дациты; 4 — эффиузионные липариты-дациты; 5 — липариты, 6 — липариты-дациты, 7 — дациты (по Чуркинам [Вашапов и др., 1980]).Таблица 58
Петрохимические статистики альб-сеноманских вулканитов Ульинского прогиба

Петрохим. показат.	1		2		Петрохим. показат.	1		2	
	\bar{X}	s	\bar{X}	s		\bar{X}	s	\bar{X}	s
SiO ₂	55,68	4,30	70,98	4,33	a	12,0	2,6	13,8	3,6
TiO ₂	0,79	0,26	0,26	0,25	c	5,5	1,8	2,2	2,4
Al ₂ O ₃	16,94	1,06	15,59	1,78	b'	17,7	5,2	4,4	1,9
Fe ₂ O ₃	5,25	2,07	2,07	1,01	f'	49,3	8,4	56,0	15,9
FeO	4,11	4,26	1,07	0,60	m'	33,0	6,8	22,0	11,4
MnO	0,17	0,04	0,07	0,03	c'(-a')	17,8	5,8	-3,5	27,1
MgO	3,35	1,15	0,73	0,54	n	69,0	3,1	57,5	11,4
CaO	7,04	2,20	2,24	1,89	φ	27,3	10,3	32,9	14,0
Na ₂ O	3,71	0,82	3,79	1,30	t	1,1	0,4	0,3	0,3
K ₂ O	2,55	0,74	4,11	1,47	Q	+0,2	5,7	+27,5	10,2
P ₂ O ₅	0,41	0,18	0,09	0,07	d	0,5	0,1	0,7	0,2
ΣFeO	8,84	3,50	2,93	1,13	F	59,3	8,0	71,4	14,4

Примечание. 1 — базальтоидная группа, $n=14$; 2 — кислая группа, $n=25$ [Бахарев, 1976].Таблица 59
Петрохимические статистики кислых вулканитов Арманской (1) и Усминской (2) кальдер

Петрохим. показат.	1		2		Петрохим. показат.	1		2	
	\bar{X}	s	\bar{X}	s		\bar{X}	s	\bar{X}	s
SiO ₂	74,29	1,66	70,26	2,23	a	12,6	1,3	15,9	1,1
TiO ₂	0,20	0,07	0,25	0,07	c	11,8	0,8	1,3	0,5
Al ₂ O ₃	14,40	0,98	15,92	1,00	b'	2,3	0,7	3,3	1,2
Fe ₂ O ₃	1,36	0,57	1,30	0,42	f'	40,1	13,5	48,2	16,4
FeO	0,61	0,42	1,41	0,55	m'	13,7	9,4	13,3	8,5
MnO	0,03	0,03	0,10	0,05	c'(-a')	-43,6	23,9	-36,7	23,2
MgO	0,37	0,23	0,48	0,47	n	63,1	13,0	55,3	5,4
CaO	1,60	0,67	1,09	0,43	φ	27,0	13,0	20,8	8,0
Na ₂ O	3,81	0,96	4,44	0,58	t	0,2	0,1	0,3	0,1
K ₂ O	3,31	1,08	5,03	0,44	Q	+35,0	4,4	+21,8	5,6
P ₂ O ₅	—	—	—	—	d	0,7	0,1	0,8	0,1
ΣFeO	1,83	0,50	2,59	0,63	F	74,6	11,9	78,9	13,1

Примечание. 1 — $n=24$; 2 — $n=40$ [Прмолок, 1973].

Таблица 60

Петрохимические статистики подщеметовой ассоциации Центрально-Охотского района

Петрохим. показат.	1				2				Петрохим. показат.	1				2				
	\bar{x}		s		\bar{x}		s			\bar{x}		s		\bar{x}		s		
	a	b	a	s	a	b	a	s		a	b	a	s	a	b	a	s	
SiO ₂	57,68	2,27	74,25	3,90	67,94	3,02	a		10,3	4,0	42,5	1,6		13,1	4,0			
TiO ₂	0,90	0,39	0,20	0,15	0,50	0,18	e		7,7	1,8	1,6	1,1		3,2	1,3			
Al ₂ O ₃	19,31	1,93	13,83	1,30	15,45	1,32	b'		12,3	3,7	2,0	1,8		6,4	2,8			
Fe ₂ O ₃	2,91	1,85	4,49	1,71	1,76	1,56	f'		51,4	9,3	41,1	20,0		59,7	9,4			
FeO	4,26	1,73	0,91	0,70	3,00	1,11	m'		34,4	10,3	10,2	5,3		23,0	8,4			
MnO	0,11	0,06	0,03	0,03	0,06	0,04	c'(-a')		-4,7	10,2	-42,2	31,3		-11,7	18,8			
MgO	2,75	1,16	0,29	0,48	0,96	0,37	n		74,1	14,4	53,2	11,4		63,7	6,2			
CaO	6,61	1,40	1,53	1,06	2,93	0,88	φ		20,1	12,5	24,0	20,2		18,4	13,5			
Na ₂ O	3,39	0,91	3,21	0,89	3,87	0,60	t		1,2	0,5	0,2	0,2		0,5	0,2			
K ₂ O	1,76	0,81	4,13	0,88	3,32	0,44	Q		+8,7	4,8	+36,1	8,2		+23,4	7,8			
P ₂ O ₅	0,32	0,30	0,13	0,36	0,13	0,07	d		0,4	0,1	0,7	0,1		0,6	0,1			
ΣFeO	6,88	1,73	2,25	1,59	4,07	2,01	F		59,9	9,5	77,2	12,5		72,3	8,0			

Примечание. 1 — базальтоидная группа, n=12; 2 — кислая группа (a — вулканиты, n=22; б — субвулканиты, n=9) [Сперанская, 1969].

Таблица 61

Петрохимические статистики линнит-андезито-базальтовой формации Центрально-Чукотского сектора вулканического пояса

Петрохим. показат.	1		2		Петрохим. показат.	1		2	
	\bar{x}	s	\bar{x}	s		\bar{x}	s	\bar{x}	s
SiO ₂	57,32	3,75	66,53	4,88	a	10,2	2,0	12,4	1,9
TiO ₂	0,93	0,24	0,58	0,25	c	6,9	1,3	3,9	2,2
Al ₂ O ₃	17,61	0,89	16,10	1,45	b'	15,6	4,7	6,9	3,0
Fe ₂ O ₃	2,99	1,02	2,83	1,22	f'	46,1	8,2	52,8	14,5
FeO	4,35	1,14	1,85	1,18	m'	42,6	7,4	25,7	12,0
MnO	0,12	0,04	0,08	0,04	c'(-a')	9,9	8,5	-14,5	24,5
MgO	3,96	1,60	1,38	0,78	n	63,5	8,8	57,4	6,7
CaO	7,02	1,89	3,47	1,91	φ	17,3	5,7	31,2	12,2
Na ₂ O	2,84	0,48	3,23	0,46	t	1,2	0,4	0,7	0,3
K ₂ O	2,57	0,96	3,72	1,06	Q	+7,2	6,8	+22,3	7,3
P ₂ O ₅	0,28	0,20	0,23	0,14	d	0,4	0,1	0,6	0,1
ΣFeO	7,05	1,29	4,40	1,70	F	51,5	8,0	67,1	15,2

Примечание. 1 — базальтоидная группа, n=20; 2 — кислая группа, n=12 [Велый, 1969] (17 анализов из неопубликованной выборки И. Н. Котляра).

Таблица 62

Петрохимические статистики альб-сеноманской контрастной формации Пеледено-Мечкеревской структуры

Петрохим. показат.	1				2			
	a		б		a		б	
	\bar{x}	s	\bar{x}	s	\bar{x}	s	\bar{x}	s
SiO ₂	59,36	5,70	57,62	3,40	72,14	3,52	70,92	2,61
TiO ₂	0,88	0,28	0,84	0,29	0,27	0,14	0,32	0,20
Al ₂ O ₃	18,20	1,83	18,58	2,14	14,87	1,47	15,24	0,96
Fe ₂ O ₃	1,93	1,09	3,28	1,28	1,68	1,91	1,44	0,67
FeO	4,85	1,28	3,79	0,97	1,34	1,03	1,63	0,57
MnO	0,13	0,05	0,14	0,04	0,06	0,04	0,07	0,03
MgO	2,85	1,16	3,30	1,75	0,52	0,67	0,46	0,32
CaO	6,07	2,37	6,57	1,90	0,91	1,42	1,10	0,74
Na ₂ O	3,65	0,41	3,25	0,97	3,79	1,25	3,89	1,27
K ₂ O	1,86	0,99	2,33	0,85	0,23	0,82	0,08	0,05
P ₂ O ₅	0,22	0,08	0,30	0,11	2,84	2,02	2,93	0,76
ΣFeO	6,59	1,59	6,74	1,18	14,0	2,5	15,7	1,2
a	10,9	1,2	10,8	1,7	1,0	1,8	1,3	0,8
b	6,6	2,6	7,5	2,6	3,5	2,6	3,6	1,2
b'	13,6	4,0	13,3	1,7	3,5	2,6	3,6	1,2
f'	48,8	8,4	52,0	12,1	41,5	12,0	55,8	11,6
m'	35,6	13,4	41,4	14,5	11,6	10,0	14,3	7,4
c'(-a')	-2,3	25,4	6,6	5,9	-44,1	22,3	-28,8	16,1
n	75,7	10,1	67,3	14,0	62,7	10,8	64,8	12,1
φ	12,5	8,0	22,9	10,6	21,3	13,7	23,7	8,8
t	1,1	0,4	1,1	0,4	0,3	0,2	0,3	0,2
Q	+10,1	8,5	+7,5	3,0	27,8	5,9	23,3	5,6
d	0,4	0,1	0,4	0,1	0,7	0,2	0,8	0,1
F	59,6	12,5	55,6	13,8	79,4	13,5	79,6	10,3

Примечание. 1 — базальтоидная группа (a — вулканиты, n=9; б — субвулканиты, n=9); 2 — кислая группа (a — вулканиты, n=22, б — субвулканиты, n=10). (Из неопубликованной выборки И. Н. Котляра).

Таблица 63

Петрохимические статистики вулканитов ашавгайской серии

Петрохим. показат.	1		2		Петрохим. показат.	1		2	
	\bar{X}	s	\bar{X}	s		\bar{X}	s	\bar{X}	s
SiO_2	54,99	4,37	66,84	5,01	<i>a</i>	9,3	2,4	11,6	3,3
TiO_2	0,81	0,25	0,54	0,22	<i>c</i>	7,2	2,6	4,3	2,3
Al_2O_3	17,64	2,27	16,28	1,71	<i>b'</i>	19,0	5,4	7,3	3,6
Fe_2O_3	4,47	2,59	2,36	1,44	<i>f'</i>	42,4	10,0	50,2	13,6
FeO	3,98	2,33	2,13	1,52	<i>m'</i>	38,8	10,5	30,8	10,7
MnO	0,16	0,09	0,10	0,05	<i>c'(-a')</i>	15,6	19,3	-9,9	24,0
MgO	4,29	1,71	1,66	1,01	<i>n</i>	75,8	12,5	71,5	10,0
CaO	8,80	4,27	3,84	2,09	<i>φ</i>	21,4	11,2	24,6	11,3
Na_2O	3,13	0,83	3,77	1,14	<i>t</i>	1,1	0,4	0,6	0,3
K_2O	1,62	1,11	2,35	1,14	<i>Q</i>	+2,4	7,0	+23,4	8,8
P_2O_5	0,12	0,19	0,15	0,23	<i>d</i>	0,4	0,1	0,5	0,2
ΣFeO	8,0	2,35	4,25	2,01	<i>F</i>	51,8	7,8	61,1	12,4

Примечание. 1 — базальтоидная группа, $n=37$; 2 — кислая группа, $n=23$ [Бондаренко, Хотин, 1963; Ротман, 1963].

Таблица 64

Петрохимические статистики ассоциации третьей фазы вулканизма Закарпатья

Петрохим. показат.	1				2			
	<i>a</i>		<i>b</i>		<i>a</i>		<i>b</i>	
	\bar{X}	s	\bar{X}	s	\bar{X}	s	\bar{X}	s
SiO_2	55,50	2,89	56,42	2,38	65,28	3,22	63,69	2,83
TiO_2	1,18	0,48	0,87	0,14	0,76	0,44	0,66	0,29
Al_2O_3	18,56	1,95	17,13	1,60	17,58	1,64	16,90	1,36
Fe_2O_3	5,91	3,33	2,80	1,01	3,12	1,71	3,04	1,47
FeO	3,44	2,31	6,29	1,70	2,08	1,77	3,24	1,43
MnO	0,11	0,07	0,21	0,16	0,09	0,12	0,21	0,47
MgO	3,10	1,21	4,37	1,29	1,15	0,71	2,22	0,99
CaO	8,50	1,67	7,97	1,24	4,69	1,26	5,73	1,08
Na_2O	2,12	0,48	2,15	0,53	2,63	0,57	2,37	0,77
K_2O	1,53	0,38	1,61	0,59	2,54	0,79	1,86	0,57
P_2O_5	0,05	0,06	0,17	0,07	0,09	0,27	0,08	0,06
ΣFeO	8,76	1,79	8,81	1,44	4,88	1,96	5,98	1,61
<i>a</i>	7,2	1,3	7,2	1,9	9,5	1,9	8,0	2,0
<i>c</i>	9,1	1,4	7,9	1,7	5,7	1,6	6,8	1,4
<i>b'</i>	16,0	3,0	18,3	2,8	6,8	2,5	10,1	3,4
<i>f'</i>	53,1	10,1	47,3	9,1	50,6	19,8	53,7	12,0
<i>m'</i>	32,1	10,6	39,6	6,9	20,4	10,7	31,8	10,7
<i>c'(-a')</i>	6,5	15,2	8,0	12,3	-28,1	24,5	-9,6	20,2
<i>n</i>	67,4	8,1	67,3	5,8	61,4	6,7	65,1	8,5
<i>φ</i>	31,9	18,4	13,3	5,4	28,8	15,9	23,0	11,1
<i>t</i>	1,6	0,6	1,2	0,2	0,9	0,5	0,8	0,3
<i>Q</i>	+10,5	7,2	+10,0	5,0	+25,8	4,6	+24,8	5,6
<i>d</i>	0,3	0,1	0,3	0,1	0,4	0,1	0,3	0,1
<i>F</i>	62,2	11,6	53,6	8,6	70,3	12,6	62,2	9,6

Примечание. 1 — базальтоидная группа (*a* — вулканиты, $n=18$; *b* — субвулканиты, $n=10$); 2 — кислая группа (*a* — вулканиты, $n=20$; *b* — субвулканиты, $n=17$) [Малеев, 1964].

Таблица 63

Петрохимические статистики вулканитов ашавгайской серии

Петрохим. показат.	1		2		Петрохим. показат.	1		2	
	\bar{X}	s	\bar{X}	s		\bar{X}	s	\bar{X}	s
SiO_2	56,83	2,19	69,08	4,41	<i>a</i>	7,0	1,6	10,3	3,4
TiO_2	0,80	0,34	0,36	0,26	<i>c</i>	8,9	1,4	4,0	2,6
Al_2O_3	17,94	1,28	16,39	1,80	<i>b'</i>	16,5	3,1	5,2	2,7
Fe_2O_3	3,16	1,85	1,75	1,42	<i>f'</i>	49,3	9,9	45,7	23,0
FeO	5,01	1,70	2,07	1,81	<i>m'</i>	41,8	8,5	17,3	12,2
MnO	0,38	1,54	0,09	0,18	<i>c'(-a')</i>	7,0	7,0	-28,7	36,1
MgO	4,03	1,18	0,84	0,69	<i>n</i>	65,7	9,9	56,7	14,6
CaO	8,45	1,32	3,51	1,87	<i>φ</i>	17,5	11,2	19,6	18,4
Na_2O	2,00	0,49	2,77	1,29	<i>t</i>	1,0	0,4	0,4	0,3
K_2O	1,63	0,65	3,08	1,32	<i>Q</i>	+12,1	4,7	+29,8	8,2
P_2O_5	0,08	0,06	0,06	0,03	<i>d</i>	0,3	0,1	0,5	0,2
ΣFeO	7,85	1,26	3,65	1,97	<i>F</i>	52,9	9,9	71,6	16,2

Примечание. 1 — базальтоидная группа, $n=29$; 2 — кислая группа, $n=31$ [Малеев, 1964].

Таблица 65

Петрохимические статистики вулканитов четвертой фазы вулканизма Закарпатья

Петрохим. показат.	1		2		Петрохим. показат.	1		2	
	\bar{X}	s	\bar{X}	s		\bar{X}	s	\bar{X}	s
SiO_2	7,0	1,6	10,3	3,4	<i>a</i>	8,9	1,4	4,0	2,6
TiO_2	16,5	3,1	5,2	2,7	<i>c</i>	49,3	9,9	45,7	23,0
Al_2O_3	41,8	8,5	17,3	12,2	<i>b'</i>	41,8	8,5	17,3	12,2
FeO	7,0	7,0	-28,7	36,1	<i>f'</i>	65,7	9,9	56,7	14,6
MnO	7,0	7,0	-28,7	36,1	<i>m'</i>	17,5	11,2	19,6	18,4
MgO	1,0	0,4	0,4	0,3	<i>c'(-a')</i>	1,0	0,4	0,4	0,3
CaO	1,42	1,42	0,36	0,36	<i>n</i>	0,29	0,32	3,26	1,26
Na_2O	3,05	0,76	2,54	0,44	<i>φ</i>	1,42	0,92	6,24	1,52
K_2O	4,47	1,35	2,02	0,79	<i>t</i>	3,05	0,76	2,54	0,44
P_2O_5	0,04	—	0,12	—	<i>Q</i>	1,47	1,35	2,02	0,79
ΣFeO	1,85	0,73	5,59	0,99	<i>d</i>	12,7	1,6	8,6	1,5
<i>a</i>	1,6	1,1	7,1	1,7	<i>c(c)</i>	2,2	1,2	11,6	3,0
<i>b'</i>	51,1	11,1	66,2	9,0	<i>n</i>	51,1	11,1	66,2	9,0
<i>Q</i>	+36,2	5,1	+18,7	5,3	<i>Q</i>	+13,2	6,2	+38,3	8,2
<i>F</i>	82,9	13,8	50,9	11,5	<i>F</i>	69,5	4,9	53,5	10,7

Примечание. 1 — базальтоидная группа, $n=63$; 2 — кислая группа, $n=25$.

Таблица 68

Петрохимические статистики базит-гранитоидной ассоциации гор Сан-Мигель

Петрохим. показат.	1		2		Петрохим. показат.	1		2	
	\bar{X}	s	\bar{X}	s		\bar{X}	s	\bar{X}	s
SiO_2	63,21	3,25	58,01	1,49	<i>a</i>	13,0	1,3	12,4	1,3
TiO_2	0,61	0,11	0,83	0,08	<i>c</i>	4,4	1,5	5,1	1,1
Al_2O_3	16,31	1,09	16,74	0,73	<i>b'</i>	9,9	2,5	15,2	2,2
Fe_2O_3	2,80	0,52	3,10	0,55	<i>f'</i>	55,2	5,2	49,6	3,7
FeO	3,01	0,90	4,87	0,48	<i>m'</i>	33,9	2,6	36,6	2,2
MnO	0,13	0,05	0,17	0,03	<i>c'(-a')</i>	10,9	5,0	13,9	5,4
MgO	2,00	0,58	3,26	0,48	<i>n</i>	62,5	6,4	63,8	5,7
CaO	4,54	1,39	5,93	0,71	φ	25,2	6,0	17,5	1,2
Na_2O	3,66	0,25	3,54	0,19	<i>t</i>	0,7	0,2	1,1	0,1
K_2O	3,41	0,89	3,12	0,83	<i>Q</i>	+14,6	4,3	+4,5	3,3
P_2O_5	0,30	0,04	0,43	0,13	<i>d</i>	0,6	0,1	0,6	0,1
ΣFeO	5,54	1,09	7,66	0,83	<i>F</i>	61,3	3,3	57,0	1,4

Примечание. 1 — гранитоидная группа, $n=8$; 2 — базитовая группа, $n=8$ [Bromfield, 1967].

Таблица 69

Петрохимические статистики базальтоидных и кислых пород ассоциаций с золото-серебряным оруденением

Петрохим. показат.	1		2			1		2	
	<i>a</i>	<i>b</i>	<i>a</i>	<i>b</i>		\bar{X}	s	\bar{X}	s
SiO_2	68,74	4,00	68,27	5,31	56,35	3,82	57,29	2,45	
TiO_2	0,35	0,21	0,44	0,28	0,91	0,36	0,85	0,19	
Al_2O_3	14,92	1,46	15,20	2,01	17,86	1,67	17,50	1,75	
Fe_2O_3	1,91	0,94	2,27	1,34	4,25	2,36	3,05	0,99	
FeO	1,36	0,87	2,16	1,42	4,01	2,22	5,04	1,58	
MnO	0,07	0,05	0,11	0,25	0,18	0,64	0,17	0,10	
MgO	0,75	0,54	1,28	0,99	3,67	1,47	3,68	1,37	
CaO	2,25	1,44	3,14	2,13	7,53	2,68	6,90	1,59	
Na_2O	3,48	0,91	3,60	1,36	3,06	1,01	2,93	0,88	
K_2O	3,66	1,16	3,41	1,48	1,95	0,97	2,30	0,96	
P_2O_5	0,11	0,11	0,12	0,11	0,22	0,29	0,29	0,15	
ΣFeO	2,18	1,30	(4,20)	2,04	(7,83)	2,00	(7,78)	1,45	
<i>a</i>	12,9	3,00	12,5	3,3	9,7	2,8	10,0	2,8	
<i>c</i>	2,6	2,3	3,3	2,8	7,3	2,2	6,9	2,2	
<i>b'</i>	4,5	2,7	6,6	3,8	16,4	4,7	15,7	3,1	
<i>f'</i>	48,4	17,2	52,1	21,5	48,1	9,7	49,5	9,0	
<i>m'</i>	18,4	12,0	25,6	11,9	37,8	9,6	39,3	9,3	
<i>c'(-a')</i>	-24,9	31,1	-4,0	25,6	9,5	14,9	9,3	9,3	
<i>n</i>	59,0	12,8	61,2	13,3	70,8	10,9	66,3	9,1	
φ	27,0	15,5	25,2	13,3	23,2	12,9	17,8	7,8	
<i>t</i>	0,4	0,3	0,5	0,3	1,2	0,5	1,1	0,3	
<i>Q</i>	+27,8	8,9	+24,8	8,3	+5,9	7,9	+7,6	4,4	
<i>d</i>	0,7	0,2	0,7	0,2	0,4	0,1	0,4	0,1	
<i>F</i>	72,8	14,3	68,8	13,5	55,6	9,7	55,3	9,3	

Примечание. 1 — кислая группа (*a* — вулканиты, $n=259$; *b* — субвулканиты, $n=64$); 2 — базальтоидная группа (*a* — вулканиты, $n=170$; *b* — субвулканиты, $n=27$).

руются базальтоиды с ведущим показателем $n > 75$. В 8 (35—83%) ассоциациях установлен ведущий умеренно патриевый ($50 < n \leq 75$) уклон. В 4 ассоциациях высоконатриевые и умеренно патриевые разности встречаются без заметного превалирования одних над другими. Общая щелочность — в рамках низкощелочного и умеренно щелочного уклонов. Титанистость отвечает низкотитанистому уклону. В 2 (3—41%) случаях отмечен весьма низкотитанистый уклон. По содержанию Al_2O_3 ассоциации с высокоглиноземистым уклоном встречаются не чаще, чем ассоциации со среднеглиноземистым уклоном. В 6 случаях (22—71%) зафиксирован умеренно железистый, в 5 (17—64%) — магниево-железистый уклон. Оксисленность железа базальтоидов ассоциаций с золото-серебряным оруденением в рамках таковой базитов из золотоносных базит-граитоидных ассоциаций. Известковистость отвечает высокоизвестковистому уклону (по показателю *c*).

ГЛАВА III

МАГМАТИЧЕСКИЕ АССОЦИАЦИИ С КОЛЧЕДАННЫМ ОРУДЕНЕНИЕМ

ГЛАВНЫЕ ГЕОЛОГИЧЕСКИЕ ОСОБЕННОСТИ

ВУЛКАНО-ПЛУТОНИЧЕСКИЕ РЯДЫ МАГМАТИЧЕСКИХ АССОЦИАЦИЙ С КОЛЧЕДАННЫМ ОРУДЕНЕНИЕМ РЕГИОНОВ С ПОЛНЫМ МАГМАТИЧЕСКИМ МЕГАРИТМОМ

Вопросы типизации провинций с колчеданным оруденением решались во многих работах [Типы..., 1973; Колчеданные месторождения..., 1979; Кривцов, 1979]. При этом типам складчатых зон с разными особенностями их развития присваивались географические названия: Кипрский, Уральский, Рудноалтайский и др. [Колчеданные месторождения..., 1979]. Нами при описании геологии ассоциаций выделены отдельно зоны с полным и неполным магматическими мегаритмами в представлении Э. П. Изоха (1978), поскольку они резко различаются как по набору магматических комплексов, так и по проявившемуся в них колчеданному и следующему за ним железному оруденению. Ниже рассмотрены складчатые зоны с полным магматическим мегаритмом.

Уральская складчатая область

Западно-Магнитогорская эвгеосинклиналь

Приводимая ниже краткая характеристика рудоносных вулканитов различных зон дается по работе А. И. Кривцова (1979).

Вулканогенные образования эвгеосинклинали входят в состав сакмарской (лландовери — нижний венлок); баймак-бурибайской (венлок — лудлов — нижний девон?), ирендыкской (позднелудловско-жединский на севере мегасинклиниория, раннедевонско-раннеэйфельский — на юге), карамалыташской (лландовери — эйфель) свит. Базальтовая формация по времени близка к сакмарской свите и отвечает ее нижней вулканогенной части. Липарит-базальтовая (контрастная) формация составляет часть разреза низов баймак-бурибайской свиты, базальт-андезит-дацит-липаратовая (непрерывная) формация отвечает верхам этой же свиты, базальт-андезито-базальтовая формация — ирендыкской свите [Кривцов, 1979].

Важно отметить, что все перечисленные формации относятся к так называемой натриевой серии базальтоидного магматизма, верхний предел становления которой ограничивается верхами лудловского яруса — нижами D_1 (Присакмарская зона), серединой живетского яруса (Тубинская, Ирендыкская зоны). Более поздний вулканизм, проявившийся в некоторых зонах, имеет повышенный щелочной, трахибазальтоидный состав.

Присакмарская зона

Вулканиты базальтовой формации ($S_{1ln} - w$) с прослойками кремнисто-глинистых пород. В отдельных блоках фиксируются проявления липарито-базальтовой формации (S_{2ld}). Интрузивные образования представлены гипербазитами и гипабиссальными габбро, габбро-поритами, пироксенитами. Последние относятся к аккермановскому комплексу и рассматриваются как комагматы базальтовой формации. Более поздние трахибазальты в составе вулканогенно-терригенной толщи датируются D_1 . Медное оруденение с примесью кобальта и никеля жильного и прожилково-вкрашенного типов находится в пространственной и временной связи с базитовыми интрузиями, завершающими становление базальтовой формации [Кривцов, 1979; и др.].

Ирендыкская зона

Базальтовая (S_{1w}), базальт-андезито-базальтовая ($S_{2ld} - De$) формации с подчинено развитой в отдельных блоках послелудловской базальт-андезит-дацит-липаритовой формацией. Месторождение прожилково-вкрашенных медных руд ассоциирует с интрузиями кварцевых габбро, габбро-диоритов, формирующихся на последних этапах становления базальт-андезито-базальтовой формации. В Южно-Ирендыкской подзоне на базальтоиды этой формации с размывом ложатся вулканогенные молассониды [Кривцов, 1979; и др.].

Тубинско-Гайская зона

Продуктивные вулканогенные формации этой зоны формируются после вулканитов базальтовой формации ($S_{1ln} - w$).

Акъяр-Бурибайская подзона

Липарит-базальтовая формация. Диабазовая нижняя (S_{1w_2}) и вариолитовая верхняя (S_{2ld}) толщи. Подчинено развитые лавы и туфы андезито-дацитов, дацитов и липарито-дацитов фиксируются внутри разреза вариолитов, тяготея к реликтам палеовулканических сооружений. Дайки, силлы базальтоидов и кислых пород распространены среди полей вулканитов соответствующего состава. Колчеданное оруденение наложено на верхнюю половину разреза контрастной формации. В районе месторождения Юбилейного спилито-вариолитовая толща погребена под пирокластическими образованиями базальт-андезито-базальтовой формации ($D_1 - D_{2e}$) [Кривцов, 1979; и др.].

Макан-Гайская подзона

В Маканском рудном районе вулканиты непрерывной формации перекрыты пирокластами базальт-андезито-базальтовой формации и более поздними накоплениями улутауской свиты (D_{2gv}). Поздние стадии колчеданной минерализации наложены на позднюю липарито-дацитовую тол-

щу непрерывной формации. Возраст заключительной барит-полиметаллической минерализации на основании геологических соотношений определяется как раннекиветский [Кривцов, 1979; и др.].

Тубинско-Баймакская подзона

В районе Тубинской группы месторождений развита непрерывная формация (базальтовая и более поздняя дацитовая толщи). Последняя перекрывается вулканитами обломочных фаций ирендыкской свиты. Наиболее поздние стратиграфические подразделения здесь представлены мукасовским горизонтом (D_{3fr}) и зилаирской свитой ($D_{3fm} - C_{1t}$). Оруденение накладывается на разные горизонты непрерывной формации, а также на субвулканические тела кислого состава. Для оруденения этой зоны в отличие от других характерно широкое развитие барит-полиметаллической минерализации, наличие молибденовых проявлений [Бородаевская и др., 1973; Кривцов, 1979; и др.].

Восточно-Магнитогорская эвгесинклиналь

Верхнеуральская подзона

Формации натриевой базальтоидной серии: базальтовая ($S_{2ld} - D_1$), липарит-базальтовая (D_{2e}), базальт-андезит-дацит-липаритовая (D_{2gv}), базальт-андезито-базальтовая (D_{3fr}). Колчеданное оруденение проявлено преимущественно в связи с вулканитами контрастной формации. Позднее (конец франского века) формируется трахилипарат-базальтовая формация, в связи с которой колчеданное оруденение не обнаружено [Ширай, Агеева, 1970; Бородаевская и др., 1973; Кривцов, 1979].

Колчеданные месторождения, приуроченные к девонским контрастной или непрерывной формациям, есть и в других зонах Восточно-Магнитогорской эвгесинклинали: Домбаровской, Ащебутакской, Джусинской и др. [Кривцов, 1979]. Здесь также, за исключением случаев выщадения отдельных частей разреза, сохраняется общая последовательность базальтоидов натриевой серии. Начиная с франского времени в Магнитогорском мегасинклиниории формируются колтубанская (D_{3fr}), зилаирская ($D_{3fm} - C_{1t}$), березовская ($C_{1t} - v_1$) и другие свиты [Прокин, 1977]. Вулканиты березовской свиты относятся к трахилипарат-базальтовой формации и распространены в восточных частях мегасинклиниория. Близкие к ним по возрасту (C_1) и по составу интрузии магнитогорского комплекса несут промышленное железное оруденение скариевого типа [Ферштатер, 1966].

В тектоническом плане верхнедевонско-нижнекарбоновые образования Магнитогорского прогиба классифицируются либо как позднегеосинклинальные [Сергиевский, 1971], либо как орогенные [Червяковский, 1972].

Таким образом, в пределах Магнитогорского мегасинклиниория, исходя из соотношений вулканитизма и оруденения, а также с общих геологических позиций можно выделить в целом два этапа (рис. 5). Первый этап — этап формирования натриевой серии базальтоидного вулканитизма с идеальной последовательностью формаций: базальтовая → контрастная → непрерывная → базальт-андезито-базальтовая [Кривцов, 1979], причем колчеданоносными являются контрастная и непрерывная. Второй этап соответствует образованию безрудной андезито-базальтовой (с подчиненным развитием трахитовых и трахидацитовых порфиров) формации (D_{3fr}) [Прокин, 1977], а также более поздней трахилипарат-базальтовой формации и по последним данным $C_{1t} - v_1$ [Червяковский, 1978] железоносному магнитогорскому комплексу (C_1). Ни вулканиты верхнего девона, ни тем более

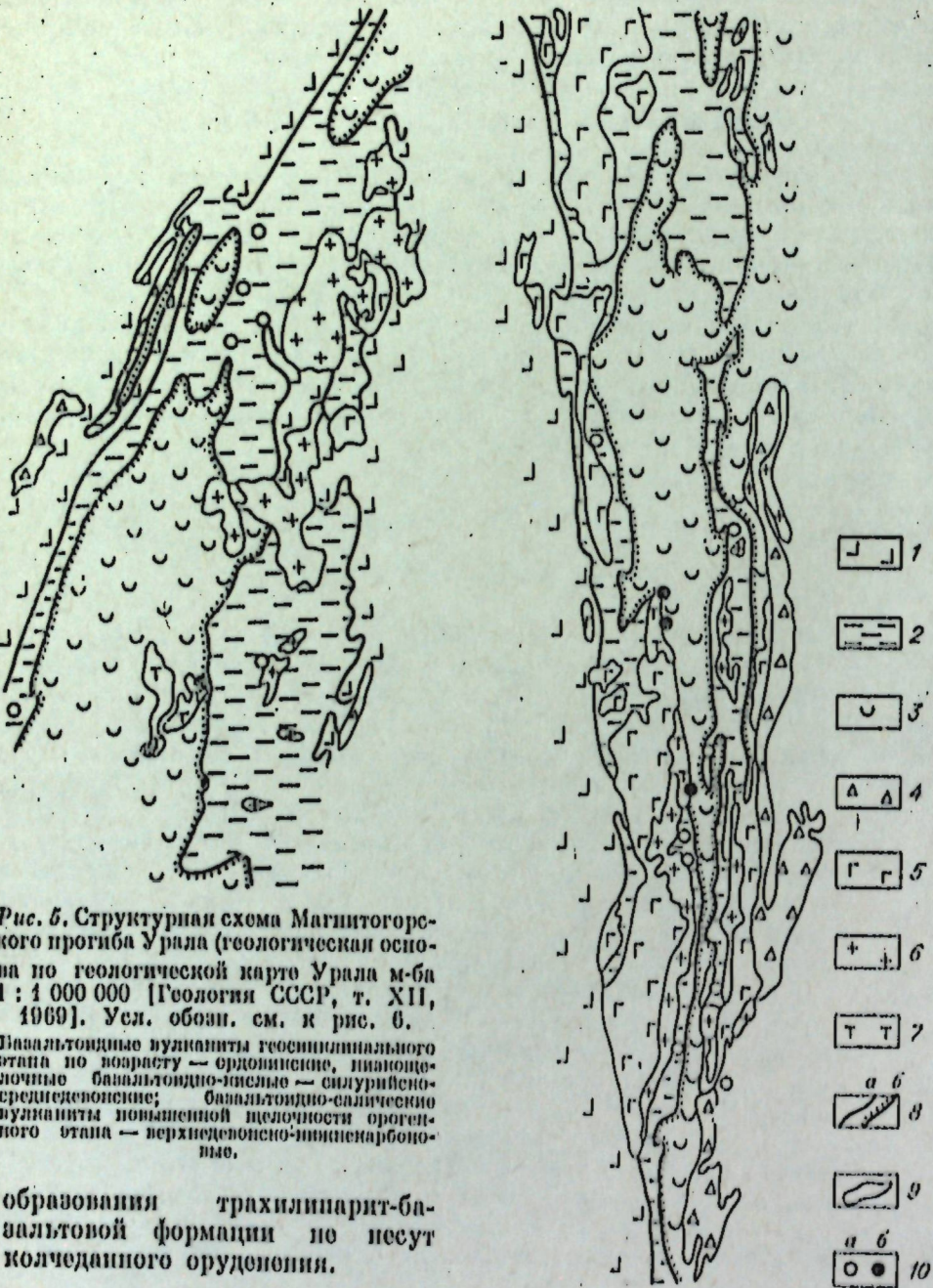


Рис. 5. Структурная схема Магнитогорского прогиба Урала (геологическая основа по геологической карте Урала м-ба 1 : 1 000 000 [Геология СССР, т. XII, 1969]. Усл. обозн. см. к рис. 6.

Базальтоидные вулканиты геосинклинального этапа по возрасту — ордовикские, инаконочночные базальтоидно-щелочные — силурйско-среднедевонские; базальтоидно-калиевые вулканиты повышенной щелочности орогенного этапа — верхнедевонско-нижнекарбоновые.

образования трахиапарит-базальтовой формации несут колчеданного оруденения.

Тагильский мегасинклиниорий

В период с ордовика по лландоверийский ярус нижнего силура происходило накопление песчано-сланцевых и вулканогенных толщ базальтоидного состава (тельинская, польинская, выйская, билимбаевская и другие свиты). Формируется безрудная базальтовая формация. В венлоко-нижнем лудлове, а в Красноуральской зоне с верхней половиной

Рис. 6. Структурная схема Тагильского прогиба Урала (геологическая основа по геологической карте Урала [Геология СССР, т. XII, 1969].

1-2 — отложения геосинклинального этапа: 1 — ордовикские вулканиты базальтоидного состава, 2 — ордовик-силурские в инаконочночными вулканитами базальтоидно-калиевого состава; 3 — отложения орогенного этапа в верхнесилурийско-девонских базальтоидно-калиевых вулканитами повышенной щелочности; 4 — гипербазиты; 5 — габброиды; 6 — гранитоиды; 7 — синеклиты; 8, 9 — границы между отложениями в геосинклинальными вулканитами базальтоидного и базальтоидно-кальевого состава, 8, 9 — то же, геосинклинального и орогенного этапов; 10 — прочие геологические границы; 10 — месторождения колчеданных (8) и магнетитовых (9) руд.

ландревери отложилась мощная толща осадочных и вулканогенно-осадочных пород (красноуральская, кабанская, гольянская, именовская свиты). Вулканиты отвечают вначале колчеданоносной непрерывной (S_1In_2 — S_2Id), а затем безрудной базальт-андезито-базальтовой формации (S_1W_2 — S_2Id_1). В связи с непрерывной формацией известен целый ряд колчеданных и колчедано-полиметаллических месторождений (Кабанские, Красноуральские, им. III Интернационала, Валентровское, Волковское, Медиорудинское и др.).

Наконец, с верхнего лудлова по нижний девон включительно (а в Краснотурьинском районе — до эйфеля) накапливались осадочно-вулканогенные толщи, эфузивные породы в которых представлены базальтоидами повышенной щелочности (ряда трахибазальт — трахиандезит) и трахитами (турьинская, краснотурьинская, вавозная, бандейская, лайская свиты). Последние образования рассматриваются как орогенные или позднегеосинклинальные. С плутоническими породами этого этапа, имеющими возраст S_2 — D_1 или D_2 , связаны скариово-железорудные месторождения Тагило-Кушвинской группы. Колчеданные месторождения неизвестны [Соболев, 1963; Геология СССР, т. XII, 1969; Черняковский, 1972; Каретина, 1978; Кривцов, 1979; Магматические формации..., 1979]. Таким образом, в данной структуре выделяются два соответствующих этапа с разнотипным оруденением и также в раннем этапе сложным колчеданоносным формацией предшествуют простые базальтоидные безрудные (рис. 6).

Мугоджары

В Мугоджарах наблюдаются такая же последовательность магматической деятельности. Наиболее древними из каледонских здесь являются силурские толщи силикатов и диабазов (актогайская, мугоджарская и куркудузская свиты). Общая мощность этих свит достигает 7 км, они практически нацело сложены лавами базальтоидов; значительно меньше развиты пирокластолиты указанных пород. Выше по разрезу выделяются силуро-нижнедевонские толщи порфиритов, диабазов, туфов и кварцевых альбитофиров (мийгаштынская свита) и среднедевонская андезит-дацитовая толща (мийская свита). Состав указанных свит более неструйный, чем предыдущих: в них, кроме лавовых образований, картируются в значительных объемах пирокластолиты, вулканогенно-осадочные породы, кремнисты, и другие сланцы. Мощность описанных отложений достигает 2000 м. В связи с силуро-девонскими вулканитами известны месторождения медно-колчеданного типа, а также побольшие скариевые магнетитоколчеданные месторождения, сходные по особенностям сульфидной минерализации с меднокаледонскими.

Следующий этап магматической деятельности в Мугоджарах отвечает по времени нижнему карбону (турне — памюр). В это время формировались диабаз-альбитофировая и диабаз-порfirитовая вулканогенные ассоциации, толщи терригенно-обломочных пород, известняков, угленосных отложений. Рудоносность магматических пород этого времени, с которыми в Магнитогорском прогибе известны богатейшие концентрации железа, в Мугоджарах понижена. Как и в предыдущих структурах, накопления второго этапа почти совместно отделены от раннего крутым стратиграфическим несогласием [Шилибина, 1963; Гречишор, 1963; Абдулин, 1969].

Тургайский прогиб

Каледонский вулканиты начали здесь в поздненеоклонско-лудловое время, когда происходили накопления силикито-диабазовых лав и частично кератофиров. Мощность вулканогенных образований указанных

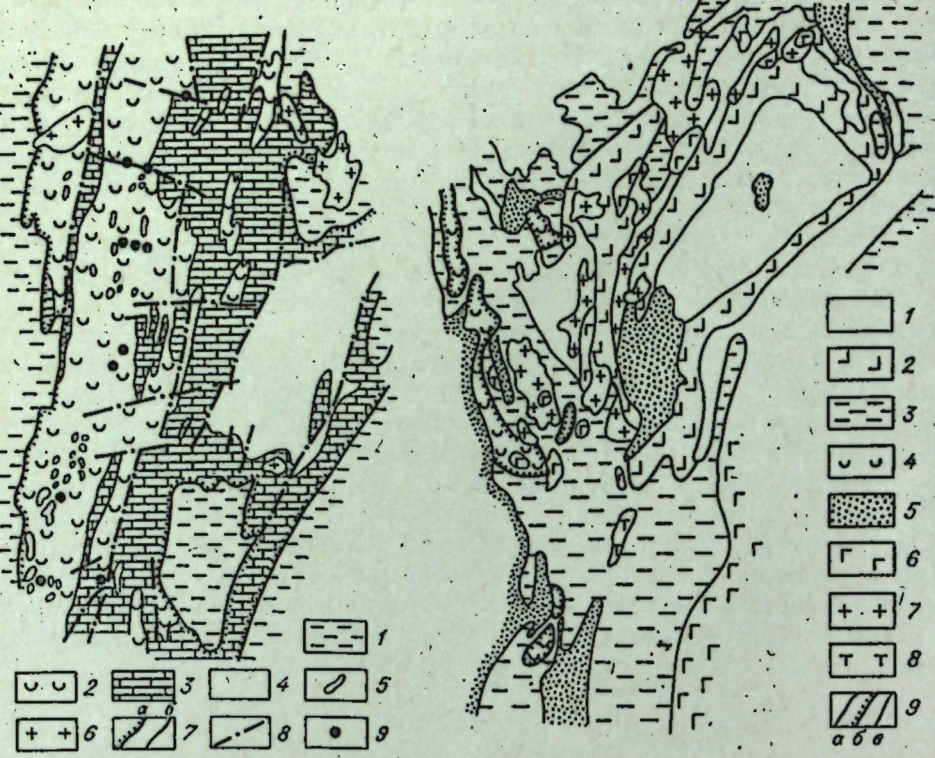


Рис. 7. Структурная схема Тургайского прогиба (геологическая основа по геологической карте Тургайского прогиба [Геология СССР, т. 34, 1971]).
1 — силурийско-среднедевонские отложения с вулканитами геосинклинального этапа (базальтоидными и низкощелочными базальтоидно-кислыми); 2 — верхнедевонско-нижнекарбоновые отложения орогенического этапа с базальтоидно-калийскими вулканитами повышенной щелочности; 3 — нижнекарбоновые карбонатные породы; 4 — мезозойские вулканиты; 5 — габбройды; 6 — гранитоиды; 7, а — граница между отложениями геосинклинального и орогенического этапов; 7, б — прочие границы; 8 — разрывные нарушения; 9 — месторождения магнетитовых руд.

Рис. 8. Структурная схема Севера Урала (по Б. А. Голдину и др. [Вулканические комплексы..., 1973]).

1 — протерозойско-нижне-среднерифейский метаморфический комплекс; 2—3 — отложения геосинклинального этапа; 2 — верхнерифейские с вулканитами базальтоидного состава, 3 — верхнерифейско-нижнекембрийские с низкощелочными вулканитами базальтоидно-кислого состава; 4 — отложения орогенического этапа с венц-кембрийскими базальтоидно-калийскими вулканитами повышенной щелочности; 5 — отложения ордовика; 6 — габбройды; 7 — гранитоиды; 8 — сиениты; 9, а — граница между отложениями с геосинклинальными вулканитами базальтоидного и базальтоидно-кислого состава, 9, б — то же, геосинклинального и орогенического этапов, 9, в — прочие границы.

времени 900—1200 м. Вулканиты относятся к «диабазо-спилитовой формации».

Далее, в лудлове и раннем — среднем девоне ведущая роль в осадкоакоплении принадлежит осадочному литогенезу; происходит отложение известняков, терригенных, вулкано-терригенных пород. В это же время шло накопление эфузивов: в позднем лудлове — базальтоидов, в раннем девоне — пород кислого состава, в эйфеле — вновь базальтоидов. Мощность вулканогенных толщ достигает 2000 м. С силурийскими вулканитами связаны небольшие колчеданные месторождения.

Следующий этап вулканической деятельности в регионе начинается в конце позднего девона (фаменский ярус) и продолжается до конца раннего карбона (намиюра). К этому времени приурочено формирование так называемой валериановской серии, в составе которой, кроме вулканитов, значительные мощности приходятся на долю карбонатных и вулканогенно-осадочных пород. Эфузивы здесь представлены лавами и пирокластолитами лейкократовых базальтоидов и реже — альбитофиров и кварцевых порфиров. Мощность валериановской серии 2500 м. С вулкано-плутоническим комплексом раннекарбонового возраста (II этап) связаны крупнейшие из

геосинклинальных скарново-магнетитовые месторождения Валериановской зоны (Соколовское, Сарбайское, Давыдовское, Алешинское и др., рис. 7) [Геология СССР, 1971; Дымкин, 1962, 1966, 1970; Мазина, Ксенопонтов, 1963].

Прополярный Урал

Начальная стадия развития эвгеосинклинального прогиба датируется ранним — средним риффом. В это время был сформирован верхнекиммерийский метадиабазовый комплекс. Эфузивы комплекса участвуют в сложении пуйвинской и шокурынской свит, где они ассоциируют с метаморфизованными аргиллитами, карбонатными породами, конгломератами. Мощность свит составляет 1200 м, на долю вулканитов приходится менее половины мощности (рис. 8).

На следующем этапе, в позднерифейско-раннекембрийское время произошло накопление вулканитов манарагского метадиабазового и талдинского липаритового комплексов. Эфузивы картируются в составе манынской свиты, которая содержит кроме эфузивов и их туфов также доломиты, кварц-карбонатные породы, метаморфические сланцы. Мощность свиты 800—1500 м, вулканиты в ней преобладают. С вулканогенными образованиями риффа связаны проявления барит-галенитовой, сфалерит-галенитовой, галенит-сфалерит-флюоритовой и пирит-пирротин-сфалеритовой и других минеральных ассоциаций (истоки р. Манараги, руч. Канкан-Вож; Ханды-Шорское, Лапча-Вожское и другие рудообразования).

На заключительном, орогенном, этапе после значительного перерыва (венд — ранний кембрий) магматической деятельности был образован лордемпейский трахиандезит-базальтовый комплекс (рис. 8). Время его формирования раннекембрийское либо ранне-среднекембрийское. Толщи, включающие вулканиты, представляют сложную ассоциацию лаво- и пирокластических пород, различных сланцев, песчаников конгломератов. Вулканиты в составе толщи мощностью 1000 м резко преобладают. С магматическими породами кембраия связаны гидротермально-метасоматические проявления гематит-магнетитовых руд [Вулканические комплексы..., 1973].

Складчатая область Малого Кавказа

Сомхето-Карабахская зона

Начало вулканической деятельности альпийского цикла относится к нижней юре (тоар, лейас). На фоне общего погружения региона и накопления толщ песчаников, конгломератов и алевролитов происходят излияния базальтоидов.

Мощная вулканическая деятельность фиксируется в среднеюрское время, когда сформировались базальт-андезит-дацитовая (аален-раннебайосская) и позднебайосская андезит-базальт-липаритовая, а также батская андезит-базальтовая формации (рис. 9). С позднебайосской формацией связывается основное колчеданное и колчедано-полиметаллическое орудение (Алавердское, Шамлугское, Ахтальское, Кафанское месторождения и др.). Вулканиты участвуют в сложении дебечайской, кошабертской русланской и шихтахской свит. Кроме лав, пирокластолитов и вулканогенно-осадочных пород в составе свит картируются аркозы, полимиктовые терригенные породы, глинистые сланцы, известняки. Однако они составляют незначительную долю почти в трехкилометровой толще отложений (см. рис. 9).

Кондомский прогиб Кузнецкого Алатау

Формирование вулканогенных толщ в Кондомском прогибе Кузнецкого Алатау началось в верхнерифейско-вендское время. В этот период образовалась мощная толща базальтоидов повышенной щелочности, участвующих в сложении спасской и мункинской свит. В обеих свитах базальты ассоциируют с кремнисто-карбонатными осадками. Однако если в спасской резко преобладают осадочные породы, то в мункинской — наоборот, вулканогенные. Мощность эфузивных отложений в свитах достигает 2000 м, среди них лавы резко преобладают над пирокластами и вулканогенно-осадочными породами. В венде — начале нижнего кембрия в районе накапливались вулканиты липарит-базальтоидного комплекса, участвующие в сложении усть-аизасской свиты. Кроме эфузивных образований, картируются маломощные тела карбонатных пород и сланцев. Мощность свиты достигает 3 км. Среди венд-нижнекембрийских вулканитов известны незначительные медные рудопроявления.

В ранне-среднекембрийское время формируется трахит-трахибазальтоидный комплекс таштагольской и шалымской свит. Состав последних весьма пестрый: в них картируются разнообразные осадочные породы (в том числе карбонатные и терригенные), вулканогенно-осадочные (туфо-алевролиты, туфоконгломераты, туфопесчаники), пирокластолиты и лавы. Часты пачки переотложенных вулканитов (граувакки, аркозы). Мощность свит достигает 3 км, причем на долю вулканитов и их производных приходится не менее 75%. С нижне-среднекембрийскими магматическими образованиями связаны скарново-железорудные месторождения (Шалым, Шерегеш, Таштагол и др., рис. 10) [Белоусов и др., 1969].

Восточный Салаир

В венд-раннекембрийское время сформировалась мощная толща базальтов, известная под названием «аламбайской свиты». Мощность свиты достигает 3200—3500 м. На долю базальтоидов и их обломочных производных (граувакк, туфов) приходится 50—60% мощности разреза; остальная его часть сложена известняками, различными сланцами, микрекварцитами, изредка — доломитами. Далее проявления вулканизма приходятся на раннекембрийское время, когда произошло накопление терригенно-эфузивного комплекса пород пещеркинской свиты. Почти половина 2-километрового разреза этой свиты сложена вулканитами, остальная часть — преимущественно терригенными породами. Эфузивные образования представлены основными и кислыми разностями. Доля участия тех и других в сложении пещеркинской свиты примерно одинакова. При этом в нижних частях разрезов картируются преимущественно базальтоиды, а в верхних — эфузивы кислого состава. Обычной формой находления базальтоидов является лавовая, а кислых пород — пирокластическая и в виде аркозов. С нижнекембрийской пещеркинской свитой связаны колчеданные месторождения и рудопроявления Северо-Восточного рудного поля (рис. 11).

Следующий этап эфузивной деятельности в регионе охватывал средне-верхнекембрийское время. В этот период накапливался мощный (3000 м) и сложный комплекс морских отложений, представленных в основном моллюсковыми и флишоидными отложениями, среди которых встречаются пачки вулканитов (бачатская, орлиногорская свиты). Насыщенность разрезов вулканитами в общем невелика, хотя встречаются пачки, на 40% сложенные лавами базальтоидов. Шире развиты граувакки, туфобрекции и туфы

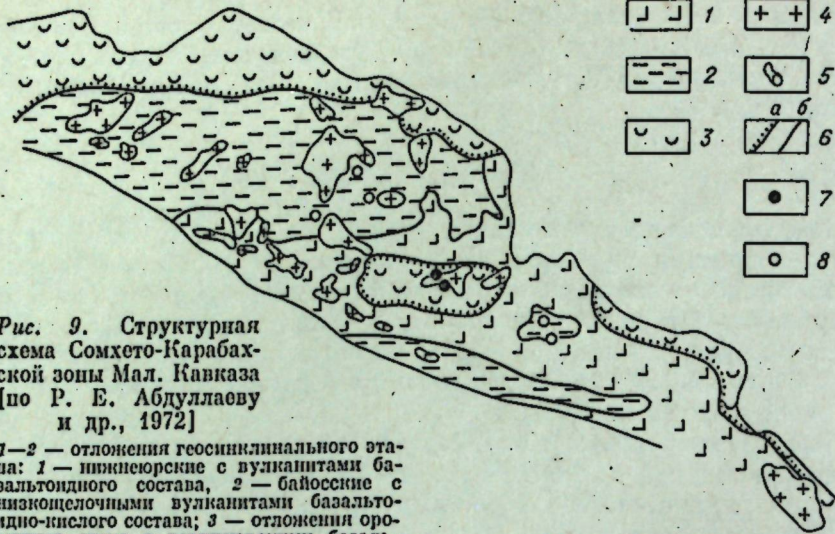


Рис. 9. Структурная схема Сомкето-Карабахской зоны Мал. Кавказа [по Р. Е. Абдуллаеву и др., 1972]

1—2 — отложения геосинклинального этапа: 1 — нижнеюрские с вулканитами базальтоидного состава, 2 — байосские с низкощелочными вулканитами базальтоидного и базальтоидно-кислого состава; 3 — отложения орогенного этапа с верхнеюрскими базальтоидно-калическими вулканитами повышенной щелочности; 4 — гранитоиды; 5 — габброниты; 6, a — граница между отложениями геосинклинального и орогенного этапов, с геосинклинальными вулканитами базальтоидного и базальтоидно-кислого состава; 6, b — то же, с геосинклинальными вулканитами базальтоидного и базальтоидно-кислого состава; 7 — железорудные; 8 — колчеданно-полиметаллические месторождения.

Следующий этап вулканической деятельности приходится на верхнюю юру, когда в районе произошло накопление полукилометровой толщи пород, представленных арковыми и полимиктовыми песчаниками, конгломератами, порфиритами, их туфами и брекчиями, дацитовыми порфирами и их производными. Вулканиты относятся к базальт-андезит-дацитовой формации. Отмечается повышенная щелочность базальтоидов. Позднее, в нижнем мелу формируются интрузивы дашкесанского комплекса с одноименным скарново-магнетитовым месторождением [Кашкай, 1965, 1976; Мкртчян и др., 1968; Шишулин, 1968; Сопко, 1971; Абдуллаев и др., 1972, 1977; Багдасарян, 1972, 1976; Колчеданные месторождения..., 1979]. Следовательно, и здесь устанавливается четкое двухэтапное развитие процессов магматизма определенного состава и соответствующего оруднения (см. рис. 9).

Севано-Акеринская зона

Собственно геосинклинальная стадия развития в Ширако-Севано-Акеринской зоне Мал. Кавказа начинается в верхнем мелу (сантон) формированием спилито-диабазовой формации. В это время произошло накопление 1,2—1,3-километровой мощности базальтоидов (в том числе и повышенно щелочных), а также их туфобрекций и туфоконгломератов. В палеоцене, а также в нижнем и среднем эоцене накапливались мощные толщи (до 3 км) андезитов, андезито-дацитов, липаритов преимущественно в виде пирокластолитов с подчиненными лавами и экструзиями. В нижне-среднеэоценовых вулканитах сосредоточены колчеданно-полиметаллические месторождения Таңзут, Анкодзор, Антониевское, Сисимаданское и др.

В верхнем эоцене, олигоцене и миоцене («в раннеорогенную стадию») в Лорийском и Тамбакском прогибах зоны формируются различные по составу толщи вулканитов: в первом случае — базальт-андезит-дацит-липаратового ряда, во втором — вулканиты щелочной серии (трахиан-андезит-фонолитовые эфузивы). Мощность вулканогенных толщ (они сложены лавами и пирокластолитами) достигает 1,5 км. С верхнеэоценово-миоценовыми магматическими породами связаны Разданское, Ахавнадзорское скарново-магнетитовые месторождения [Мкртчян, 1958; Багдасарян и др., 1972, 1976; Абдуллаев и др., 1972].

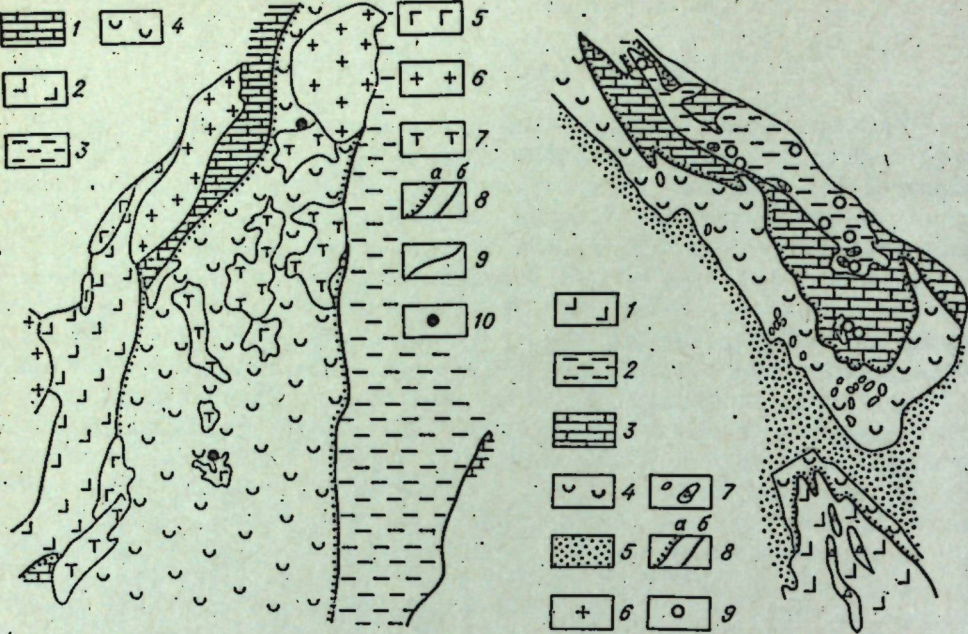


Рис. 10. Структурная схема Кондомского прогиба Кузнецкого Алатау (составил О. И. Никонов по материалам ЗСГУ).
 1 — рифейские карбонатные образования; 2—3 — отложения геосинклинального этапа; 2 — верхнерифейско-вендские с вулканитами базальтоидного состава, 3 — венд-нижнекембрийские с низкотектоническими вулканитами базальтоидно-кислого состава; 4 — отложения орогенического этапа с нижне-среднекембрийскими базальтоидно-салическими вулканитами повышенной щелочности; 5 — габброиды; 6 — граница между отложениями геосинклинального и орогенического этапов; 8, 6 — то же, с геосинклинальными вулканитами базальтоидного и базальтоидно-кислого состава; 9 — прочие границы; 10 — железорудные месторождения.

Рис. 11. Структурная схема северо-востока Салайра (по Н. И. Овсянникову).
 1—2 — отложения геосинклинального этапа: 1 — верхнерифейско-вендские с вулканитами базальтоидного состава, 2 — нижнекембрийские с низкотектоническими вулканитами базальтоидно-кислого состава; 3 — нижнекембрийские известняки; 4 — отложения орогенического этапа с базальтоидно-салическими вулканитами повышенной щелочности; 5 — средневерхнекембрийские вулканогенно-осадочные породы; 6 — гранитоиды; 7, а — габброиды; 7, б — гипербазиты; 8, а — граница между отложениями орогенического и геосинклинального этапов, 8, б — прочие границы; 9 — месторождения и проявления колчедано-полиметаллических руд.

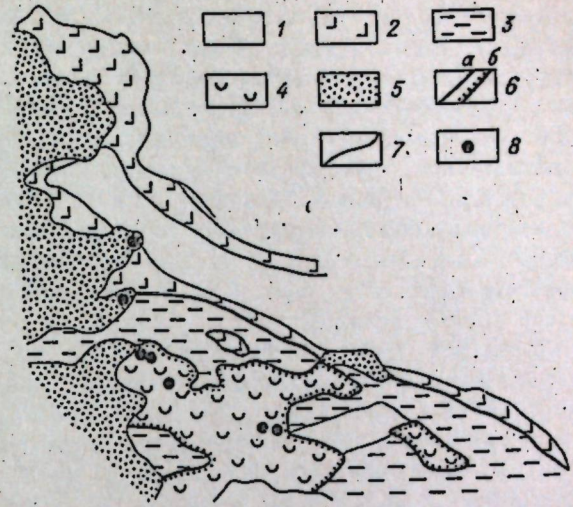
тех же пород. Кислые вулканиты встречаются в виде внутриформационных обломков. С подстилающей нижнекембрийской серией фиксируется стратиграфическое несогласие. Скарново-магнетитовое оруденение здесь не известно, хотя с вулканитами последнего этапа установлены многочисленные магнитные аномалии [Белоусов и др., 1969; данные В. В. Бессоненко, Н. И. Овсянникова].

Сисим-Казырский синклиниорий Восточного Саяна

Как и во всех предыдущих случаях, в Сисим-Казырском, или Кизир-Казырском, синклиниории Восточного Саяна выделяются два крупных этапа вулканической деятельности, когда сформировались различные по составу вулканогенные комплексы. На первом этапе, в верхнем рифе, произошло становление диабазовой формации, образования которой представлены исключительно эфузивами основного состава. Рассматриваемые породы включаются обычно в состав кувайской свиты. В этом стратиграфическом подразделении, мощность которого достигает 3 км, вулканиты чередуются с метаморфическими (хлорит-эпидот-актинолитовыми и другими) сланцами. В нижнем кембрии накапливались эфузивы спилито-альбитофировой формации (спилиты, кварцевые, бескварцевые альбитофирды, диабазовые порфиры). Эти породы залегают среди очень пестрых по составу отложений (колпинская, тарбатская свиты). Они ассоциируют с различными сланцами, а также с алевролитами, песчаниками, конгломера-

Рис. 12. Структурная схема Сисим-Казырского прогиба Вост. Саяна [по А. Д. Шелковникову, 1965].

1 — метаморфические образования протерозоя; 2—3 — отложения геосинклинального этапа: 2 — рифейские с вулканитами базальтоидного состава, 3 — венд-нижнекембрийские с низкотектоническими вулканитами базальтоидно-кислого состава; 4 — отложения орогенического этапа со средне-верхнекембрийскими базальтоидно-салическими вулканитами повышенной щелочности; 5 — девонские вулканиты; 6, а — граница между отложениями с геосинклинальными вулканитами базальтоидного и базальтоидно-кислого состава, б — то же, геосинклинального и орогенического этапов; 7 — прочие границы; 8 — железорудные месторождения.



ратами, карбонатными породами. Мощность осадочно-вулканогенных накоплений достигает 5 км. Колчеданоносных проявлений в указанных вулканитах не отмечено.

В нижнем — среднем кембрии (а по некоторым данным и в верхнем) в регионе сформировалась андезит-дацитовая формация. Эфузивы этой формации входят в состав осиповской, казырской, витебковской свит. Кроме вулканитов, в свитах картируются молассовые и флишеподобные отложения, известняки. С плутоническими образованиями, близкими по составу и возрасту к вулканитам этого этапа, связаны магнетитовые месторождения (рис. 12) Таят-Табратской, Ирбисской и Краснокаменской групп [Шелковников, 1965; Зубкус, Шнейдер, 1964; Дымкин, Мазуров, 1975; Мазуров, 1979].

Достаточно подробную характеристику отдельных типовых районов колчеданного и железного оруденения мы приводим с целью показать определенную закономерность в локализации магматических образований в процессе развития эвгеосинклинальных зон. Отчетливо фиксируются прежде всего два крупных этапа проявления магматизма и сопряженного оруденения, грубо соответствующих, вероятно, раннегеосинклинальной и более поздней — раннеорогенной, орогенной стадиям становления эвгеосинклиналей. В первый этап формируются существенно натриевые и низкотектонические формации, во второй — формации повышенной калиевости (хотя в основе своей также натриевые) и щелочности. С первыми связано мощное колчеданное оруденение, со вторыми — железное, преимущественно скарново-магнетитовое. При этом в распределении оруденения имеются свои особенности. Как следует из описания конкретных районов, первый этап начинается всегда простой базальтовой ассоциацией. Проявления колчеданного оруденения отсутствуют. Позднее без существенного перерыва формируются сложные липарит-базальтовая («контрастная») и липарит-дацит-андезит-базальтовая («непрерывная») вулканические ассоциации, с которыми и связывается основная масса колчеданного оруденения. Оруденение накладывается на вулканогенные напластования, тяготея к зонам максимального развития субвулканических образований. Важно подчеркнуть, что в отдельных регионах устанавливаются отчетливые петрохимические различия (по TiO_2 , K_2O) базальтоидов простой базальтовой ассоциации и базальтоидов более поздних сложных ассоциаций [Язева и др., 1978]. С проявлениями собственно плутонических фаций ассоциирует слабая жильная или вкрашенная сульфидная минерализация. Заканчивает первый этап базальт-андезито-базальтовая формация без колчеданного оруденения в некоторых зонах. В описанных регионах только наиболее ранняя базальтовая ассоциация

присутствует всегда, из колчеданоносных может проявиться какая-нибудь одна, а базальт-андезито-базальтовая ассоциация также нередко отсутствует. Рассмотренная схема представляется достаточно генерализованной. В детально изученных регионах в рамках этой общей схемы выделяются ритмы нескольких порядков, синхронные и несинхронные в разных зонах региона [Рундквист и др., 1978]. При этом с выявленной ритмикой и ее спецификой увязываются особенности металлогенеза. Рудоносному вулкано-плутоническому ряду второго этапа в некоторых случаях может предшествовать отдельная «слабо дифференцированная» базальтоидная формация с несколько повышенной щелочностью, обычно же она отсутствует. Вулканиты и субвулканиты с повышенной калиевостью и щелочностью, отвечающие обычно по составу трахилипаратам — трахибазальтам или трахиадцитам — трахиандезитам, сами по себе не несут скариово-магнетитового оруденения. Последнее формируется в связи с близкими по возрасту и составу плутоническими ассоциациями, явившимися более поздними по отношению к субщелочным вулканитам и субвулканитам. Более детально железоносные плутонические ассоциации рассмотрены в следующей главе, а пока остановимся на некоторых иных случаях локализации колчеданного оруденения.

ДРУГИЕ ПРИМЕРЫ АССОЦИАЦИЙ И ЛОКАЛИЗАЦИИ КОЛЧЕДАННОГО И КОЛЧЕДАНИ-ПОЛИМЕТАЛЛИЧЕСКОГО ОРУДЕНЕНИЯ

Выше шла речь о структурно-формационных зонах с определенной последовательностью развития магматизма и о связи колчеданно-полиметаллического и скариово-магнетитового оруденения с определенными по времени проявления и составу магматическими образованиями. Однако далеко не все известные месторождения указанных генетических типов располагаются в пределах структурно-формационных зон с полным магматическим мегариттом; многие из них приурочены к структурным единицам, в пределах которых проявлены не все из выделенных ранее этапов магматической деятельности. Ниже рассматриваются примеры месторождений в зонах с неполным магматическим мегариттом.

Вулканическая ассоциация (E₁) Еравнинского рудного поля (Саяно-Байкальская горная область, Удино-Витимская геосинклинальная подзона салаирской консолидации). В период салаирского цикла тектогенеза в пределах подзоны проявился обычный средний и кислый вулканизм, сформировалась андезит-дацитовая формация в составе олдындинской свиты нижнего кембра. Предшествующих этой формации и следующих за ней вулканитов салаирского времени в пределах рассматриваемой структуры не известно. Полиметаллические месторождения рудного поля (Озерное и др.) приурочены к так называемому Еравнинскому ксенолиту вулканогенно-осадочных пород олдындинской свиты, залегающему среди гранитоидов среднепалеозойского интрузивного комплекса. Рудоносными являются вулканиты олдындинской свиты, имеющей мощность 1500—1700 м и состоящей на 70% из вулканитов, 10% вулканогенно-осадочных пород и 20% осадочных образований — преимущественно карбонатных [Васильев, 1977; Гордиенко и др., 1978].

Риолит-дацит-базальтовый комплекс (E₁) северо-востока Тувы (Улагайский, Ондумский прогибы) включает вулканиты туматтайгинской и согласно залегающей на ней тапсинской свите нижнего кембра. Туматтайгинская свита на 85—95% сложена вулканогенными породами. На значительной части Улагайской зоны она имеет трехчленное строение. Нижняя толща (1500—2000 м) повсеместно представлена базальтовыми порфиритами с подчиненным количеством вулканитов кислого состава (7—15%). Средняя и верхняя толщи (1000—1500 м) характеризуются ши-

роким по основности — кремниекислотности набором вулканогенных пород. В тапсинской свите, имеющей мощность 1500—3000 м, вулканиты занимают около 50% объема. Среди осадочных и вулканогенно-осадочных пород в этих свитах присутствуют известняки, известковистые туффиты, агломератовые и псевфитовые туфы, яшмоиды, кремнистые сланцы, аргиллиты, алевролиты, песчаники. Широко развиты различные по составу субвулканиты. Колчеданно-полиметаллическое оруденение (месторождения Дальнее, Казыл-Таш, Кызыл-Таштыг) парагенетически связано с нижнекембрийскими вулканитами Улагайского прогиба [Агентов, Кудрявцев, 1964; Лапин, 1968, 1970; Волков, Лапин, 1970; Бухаров, 1974; Зайков, 1976].

Вулкано-плутоническая ассоциация (O₃) Акбастау-Кусмурунского района (Центр. Казахстан). Колчеданные месторождения (Акбастау и Кусмурун) локализованы среди верхнеордовикских пород, собранных в антиклинальную складку, на крыльях которой выходят силурийские осадочные образования. Промышленное оруденение приурочено к нижним двум третям разреза вулканогенно-осадочных отложений (к нижней порфиритовой и средней эфузивно-пирокластической толщам). Первая из этих толщ представлена частым переслаиванием лав кислого состава и базальтоидов; в верхних частях ее преобладают пирокластолиты и вулканогенно-осадочные породы. Средняя толща сложена преимущественно пирокластолитами и маломощными горизонтами базальтоидов. Рудные тела локализованы по всему разрезу толщ и приурочены к пачкам пирокластолов и вулканогенно-осадочных пород. Рудоносными магматическими породами Акбастау-Кусмурунского рудного поля считаются отмеченные выше вулканиты и образования Кусмурунского массива кварцевых диоритов [Каппов, Каупов, 1971; Царев, 1978].

Базальт-липаритовая (эйфельско-нижнекиветская), базальт-трахилипаратовая (верхнекиветско-французская), андезит-дацитовая (фаменская) формации Рудно-Алтайской структурно-формационной зоны. Рудно-Алтайская структурно-формационная зона в среднем-палеозое (во время образования руд и рудоносных толщ) представляла собой вторичную геосинклинальную систему, заложенную на допалеозойском и раннепалеозойском складчатом основании. Главные рудоносные магматические породы в районе датируются эйфельско-франским временем и относились обычно к кварц-кератофировой формации. По последним данным разделяются на базальт-липаритовую и базальт-трахилипаратовую формации. С этими формациями связано колчеданно-полиметаллическое оруденение рудных узлов: Зыряновского, Лениногорского, Змеиногорского, Рубцовско-Таловского и др. Оруденение разнообразно по типам минерализации. Так, в Змеиногорском районе выделяются барит-полиметаллическая, полиметаллическая и колчеданно-полиметаллическая подформации колчеданно-полиметаллической рудной формации (рис. 13).

Эфузивные образования расчленяются на ряд свит, причем для каждого рудного узла существует, как правило, свою стратиграфическую схему. В Алейском антиклиниории выделяются (снизу вверх) березовская, шицуновская (таловская), давыдовская (локтевская), каменевская и снегиревская свиты. В сводных стратиграфических колонках они укладываются во временной интервал от эйфеля до франа. Суммарная мощность их достигает 3—4 км. Главная роль в кварц-кератофировой формации принадлежит лавам и пирокластолитам кислого состава, достигающим 70—80% объема вулканических пород. Подчиненное значение имеют базальтоиды и их туфы. По всему разрезу наблюдаются прослои вулканогенно-осадочных пород, известковистых и углистых алевролитов. Широко развиты различные субвулканические образования.

Андезит-дацитовая формация фамена (шихтовская свита) сформирована

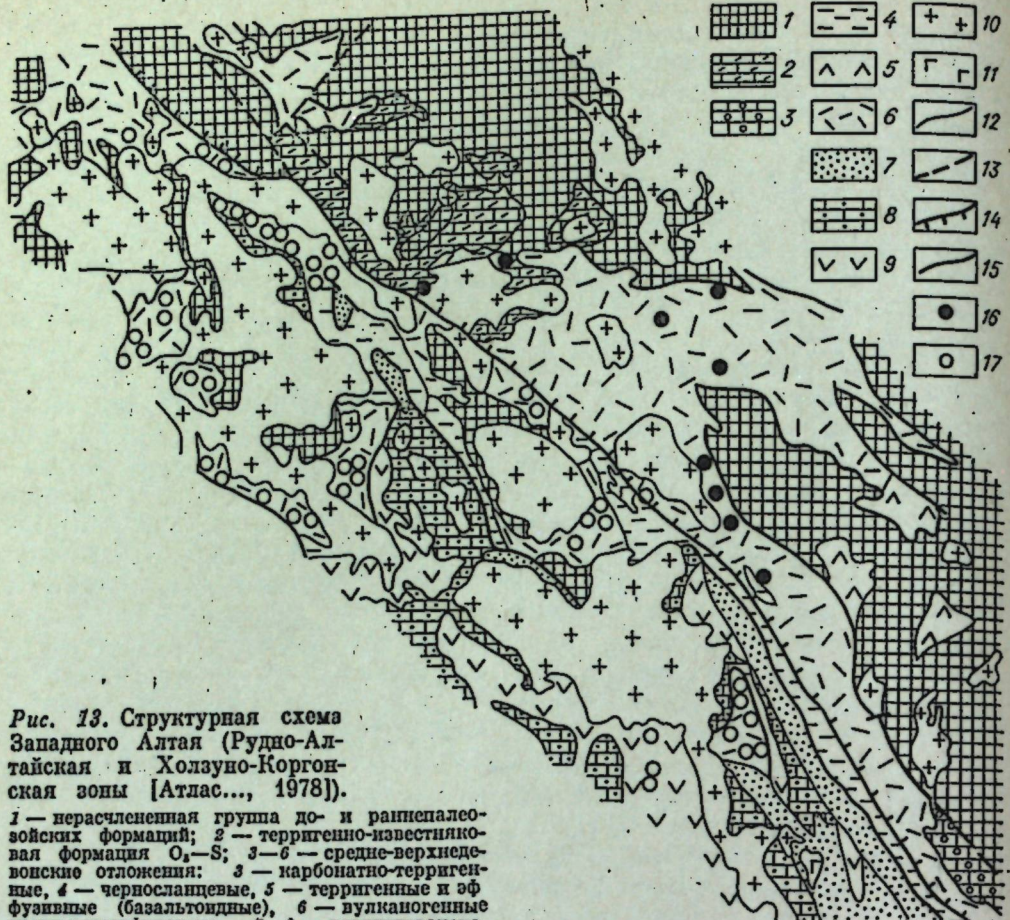


Рис. 13. Структурная схема Западного Алтая (Рудно-Алтайская и Холзунско-Коргонская зоны [Атлас..., 1978]).

1 — переселенная группа до- и раннепалеозойских формаций; 2 — терригенно-известняковая формация О₁-С₁; 3—6 — средне-верхнедевонские отложения; 3 — карбонатно-терригенные, 4 — черносланцевые, 5 — терригенные и эфузивные (базальтоидные), 6 — вулканогенные кварц-кератофировые; 7—9 — верхнедевонско-нижнекарбоновые отложения; 7 — флишоидные, 8 — карбонатно-терригенные, 9 — вулканогенные (андезито-дацитовые и базальтоидные); 10 — гранитоиды; 11 — габброниды; 12 — геологические границы; 13 — разрывные нарушения; 14 — граница Рудно-Алтайской и Коргоно-Холзунской зон; 15 — граница между средне-верхнедевонскими и верхнедевонско-нижнекарбоновыми отложениями; 16 — железорудные; 17 — колчеданно-полиметаллические месторождения.

лась в позднегеосинклинальную стадию и от нижележащих отделена размывом, т. е. в рассматриваемом регионе фиксируются образования первого и второго этапов. Однако, как будет показано ниже, эта формация оказалась низкощелочной, что соответствует и типу ассоциированного оруденения, которое является колчеданно-полиметаллическим, хотя и не очень мощным. Кроме нее в это же время в регионе накапливались известняково-терригенные и флишоидные формации (бухтарминская, ульбинская, тургусурская и другие свиты) [Атлас..., 1978; Вулканогенные..., 1978; Кузнецов, 1964; Чернов, 1974; Кузебый, 1975; Филатов и др., 1979].

Вулканическая ассоциация (D₂₋₃) Северного Кавказа в составе колчеданоносных смирновской, кизилькольской (месторождения Худес, Бескес, Быковское) и картджюрской (Депутатское, Урупское, Скалистое и другие месторождения) свит. Вулканиты кислого и основного состава, с пирокластами, а также сланцами и филлитами [Демин и др., 1965; Скрипченко, 1966; Жамгожев, 1969; Резников, 1980].

Вулканическая ассоциация (нижний — средний эоцен) Базумского хребта (Севано-Ширакская зона Кавказа) включает вулканический, субвулканический и интрузивный комплексы. Переслаивание основных, средних и кислых пород. Субвулканиты в виде даск, штоков, силлов, куполов представлены преимущественно липаритами, дацитами и их переходными разностями. Медноколчеданное, серноколчеданное, реже колчеданно-полиметаллическое оруденение (Тандзут, Анкадзор) наклады-

вается на вулканиты и субвулканиты. На основании данных калий-аргогорловых датировок (42—49 млн. лет) устанавливается близость по возрасту субвулканических пород и колчеданного оруденения [Мурдяян, 1969, 1971; Джрбашян, 1966].

Кроме перечисленных вулканических ассоциаций при характеристике химизма были использованы данные по другим регионам СССР, а также зарубежным объектам. А именно — колчеданоносные ассоциации вулканических поясов Канадского щита: архейская низкощелочная риолитоидно-субмелапиритоидно-мелабазальтоидная метавулканическая ассоциация пояса Абитиби [Колчеданные месторождения..., 1979; Белоусов и др., 1981; Spence, Rosen-Spence, 1975; Riverin, Hodgson, 1980]; архейская низкощелочная риолитоидно-лейкобазальтоидная метавулканическая ассоциация группы Блэк-Ривер пояса Абитиби [Белоусов и др., 1981; Колчеданные месторождения..., 1979]; архейская низкощелочная риолитоидно-базальтовая (мелейкобазальтоидная) метавулканическая ассоциация района Матагами, Квебек [Roberts, 1975; Белоусов и др., 1981]; архейская низкощелочная риолитоидно-базальтовая (мелейкобазальтоидная) метавулканическая ассоциация поясов Йеллоуайнф и Камерок, Канада [Белоусов и др., 1981]; архейско-раннепротерозойская риолитоидно-базальтовая метавулканическая ассоциация группы Камилик, район Спи-Лейк, Киватин [Белоусов и др., 1981]. Использованы также данные по архейской риолитоидно-мелапирито-субмелапиритоидно-мелобазальтовой метавулканической ассоциации района Барбертон, ЮАР [Колчеданные месторождения..., 1979; Белоусов и др., 1981]; по раннемезозойской низкощелочной риолитоидно-субмелапиритоидно-базальтовой (мелейкобазальтоидной) метавулканической ассоциации комплекса Троодос, Кипр [Колчеданные месторождения..., 1979; Белоусов и др., 1981]; эоцен-миоценовой риолитоидно-лейкобазальтоидной ассоциации островов Вити-Леву, Фиджи [Colley, Greenbaum, 1980; Белоусов и др., 1981]; раннепротерозойской дацито-лейкоандезитоидной метавулканической ассоциации хаутаваарской серии, Южная Карелия [Робонен, Светова, 1975; Серноколчеданные месторождения..., 1978; Белоусов и др., 1981]; миоценовому парамуширскому, миоцен-плиоценовому кунаширскому комплексам Курил [Сергеев, 1976].

При характеристике минералогии и химизма плутонических ассоциаций, сходных по составу и близких по времени формирования вулканическим колчеданоносным ассоциациям, использовались данные по нижнекембрийскому майнскому комплексу Западного Саяна [Смыслиев, 1963; Поляков и др., 1978; данные Б. Ф. Налетова], нижне-среднедевонской габбро-плагиогранитной ассоциации Западных Мугоджар [Тельгузиев, 1969], нижнекембрийскому Тылинскому массиву Кузнецкого Алатау [Никонов и др., 1972], среднекембрийскому габбро-плагиогранитному канчигизскому и верхнеордовикскому диорит-плагиогранитному комплексам Чингиз-Тарбагатайского мегантиклиниория, иртышской габбродиорит-плагиогранит-гранитовой интрузивной серии намюрского возраста [Кузебый, 1975; Конников и др., 1977], орогенным тоналитам, плагиогранитам о-ва Фиджи [Colley, Greenbaum, 1980], плагиогранитам офиолитового комплекса Троодос на Кипре [Колман, 1979].

МИНЕРАЛЬНЫЙ СОСТАВ ВКРАПЛЕННИКОВ ЛАВОВЫХ, ЭКСТРУЗИВНЫХ И СУБВУЛКАНИЧЕСКИХ ОБРАЗОВАНИЙ

Характеристика минерального состава вкрашенников дается по данным их изучения в карналиташской свите [Белянина, 1975; Фролова, Бурикова, 1977] баймак-бурибаевской, улутауской формаций [Фролова, Бурикова, 1977]

лова, Бурикова, 1977], кремнистых вулканитах спилито-кератофировой формации северной части Тагильского погружения [Каретина, 1978], субвулканических образованиях района месторождения им. III Интернационала [Гордеева, 1975], субвулканических образованиях района месторождений Анкадзор, Тандзут в Базумском хребте Кавказа [Мурадян, 1971; 1972], ордовикских колчеданоносных вулканитах Казахстана [Каипов, Каюпов, 1971], улугайском риолит-дацит-базальтовом комплексе Тувы [Зайков, 1976], кембрийской спилит-кератофировой формации Западного Саяна [Велинский, 1968], кварц-кератофировой формации Рудного Алтая [Кузебий, 1975].

БАЗАЛЬТОИДНАЯ ГРУППА

Наиболее распространеными вкраплениниками являются плагиоклаз, клинопироксен, реже оливин, ромбический пироксен. В андезитах обычны выделения роговой обманки, реже биотита. Общее количество выделений в эфузивной фации до 30%, чаще 10–15%. Плагиоклаз в целом преобладает над пироксенами и другими выделениями. По составу отвечает № 40–60, реже № 65–80 в базальтах, № 32–55 — в андезито-базальтах, № 28–30, 34–36 — в андезитах. Выделяется несколько поколений вкраплениников, есть и зональные. Обычна альбитизация плагиоклаза. Клинопироксен: диопсид, авгит, геденбергит, пиконит. Аксессорные минералы представлены магнетитом (нередко в выделениях), сфером, апатитом, реже титаномагнетитом. Субвулканические образования сходны с вулканитами по набору и составу выделений с тенденцией их увеличения в количественном отношении.

КИСЛАЯ ГРУППА

Характерны преобладающий плагиоклаз и уступающий ему по количеству кварц. Последний может и отсутствовать. Незначительно присутствуют пироксены, роговая обманка, биотит. Следует подчеркнуть практическое полное отсутствие выделений калишпата. Последний иногда может появляться в субвулканитах, реже в лавах ассоциаций, сопровождающихся наряду с колчеданным и цинковым оруденением. Общее количество выделений до 30%, обычно до 15%, с тенденцией к увеличению в субвулканитах, где оно может достигать 45–50%, реже более. Плагиоклаз-альбит, олигоклаз-альбит, олигоклаз и андезин. Пироксен моноклинный и ромбический. По составу выделений между лавами и субвулканитами отмечается сходство. Аксессорные минералы: магнетит (нередко в выделениях) вместе с титаномагнетитом (достигающий концентраций кг/т — субвулканиты Базумского хребта), апатит, сфей, реже ильменит, рутил, анатаз.

Статистических данных по петрографии ассоциаций с полиметаллическим жильным и другим оруденением недостаточно, поэтому характеристика их вкраплениников не приводится.

МИНЕРАЛЬНЫЙ СОСТАВ ГРАНИТОИДОВ

Минеральный состав гранитоидов, сходных с колчеданоносными вулканитами и завершающих сложные вулкано-плутонические ряды, рассмотрен на примере ассоциаций, уже ранее отмеченных (маинский комплекс, иртышская серия и др.). За основу принята характеристика минерального состава гранитоидов Енисейского plutона и даны минералогические отличия от указанных выше комплексов. В гранитоидах plutона [Поляков и др., 1978] плагиоклаза присутствует до 20–70%, с по-

вышенной частотой встречаемости в интервале 40–60%, содержание кварца отмечено до 65%, с максимальной встречаемостью в пределах 25–50%. Для роговой обманки и биотита обычны содержания до 20% и 15% соответственно. По составу плагиоклаза гранитоиды делятся на три группы: 1) до № 15–20, 2) от № 15–20 до № 35–40, 3) с содержанием аортита от 35–40 до 60%. По описанию В. Н. Смыслова (1963), в наиболее распространенных плагиогранитах кварца содержится до 45–60%, плагиоклаза (№ 33–36 в выделениях, № 8–22 — в основной массе) — 47–48%, зеленой роговой обманки — 4%, биотита — 1%. В гранодиоритах в незначительном количестве появляется ортоклаз-перит. Кроме биотит-роговообманковых разностей в заключительных фазах известны ограниченно развитые биотитовые плагиограниты. Аксессорные минералы представлены сфером. Из двух образцов биотит-роговообманковых плагиогранитов нами были выделены биотиты на силикатный анализ (см. Приложение, табл. 2). Характерны средний уровень железистости биотита, устанавливающийся в пределах $F_{общ} = 75–76\%$, низкое содержание глиноzemса (12,5–13%), фтора (0,34%), сравнительно высокое содержание титана (3,54–3,58%). Практическим отсутствием биотита отличаются гранитоиды Тылинского массива [Никонов и др., 1972], а также гранитоиды нижне-среднедевонской плагиогранит-габбровой ассоциации Западных Мугоджар [Тельгузиев, 1969] от описанных выше гранитоидов Енисейского plutона. Особенностью мугоджарской ассоциации является рутил-гранат-ильменитовая (со сфером, турмалином, лейкоксеном) ассоциация аксессорных минералов в амфиболовых плагиогранитоидах, а также наличие ортопироксен-амфиболовых плагиогранитоидов с аксессорным магнетитом (до 8%), апатитом, цирконом, сфером. Гранитоиды иртышской серии [Копников и др., 1977; Марьин, 1979] отличаются от описанных биотитовым составом темноцветных минералов, присутствием незначительного количества калишпата, разнообразным составом аксессорных минералов, среди которых встречаются: галенит, сфалерит, халькопирит, пирит, арсенопирит, рутил, флюорит, турмалин, реже — ксенопитом, анатаз, шеелит, кассiterит, ортит, торит. Биотит гранодиоритов отличается низкой железистостью ($F_{общ} = 12\%$).

ПЕТРОХИМИЯ АССОЦИАЦИЙ С КОЛЧЕДАННЫМ, МЕДНО-КОЛЧЕДАННЫМ И МЕДНО-ЦИНКОВЫМ ОРУДЕНЕНИЕМ

Петрохимические статистики приведены в табл. 70–94. Общей характерной особенностью этих образований является понижение щелочность при наиболее резко пониженном содержании калия во всем ряду пород сложных ассоциаций.

БАЗАЛЬТОИДНАЯ ГРУППА

В преобладающих по сравнению с кислыми породами базальтоидах часто встречается низкощелочной уклон, зафиксированный в 15 из 24 ассоциаций, или 44–79% на совокупность, причем в 9 (21–56%) случаях отмечен умеренно низкощелочной уклон. В 3 (3,5–29%) ассоциациях проявился умеренно щелочной и в 1 (0,2–18%) — субщелочной. Последний относится к ассоциации района Барбертон. Базальтоиды всех ассоциаций принадлежат высоконатриевому (преобладают разности с $n > 75$) уклону, причем в 6 из них, или 11–43% на совокупность, ведущий уклон оказывается весьма высоконатриевым (преобладают разности с $n > 87,5$). По оценкам средних (см. таблицы) фиксируются весьма низкие (не более 1%) содержания калия. Характерен низкоглиноzemистый уклон (18 случаев

Таблица 70

Средний химический состав вулканогенных пород Западно-Магнитогорской эвгесин-клинали [по А. И. Кривцову, 1979; и др.]

Породообра- зующие окис- лы	I			IIA			IIB		
	1	2	3	4	5	6	7	8	9
SiO ₂	50,83	55,64	71,27	57,61	65,20	69,77	70,00	72,50	51,60
TiO ₂	1,56	0,57	0,36	0,57	0,58	0,39	0,40	0,40	0,73
Al ₂ O ₃	14,24	14,85	12,61	15,13	14,66	13,41	13,75	13,30	15,50
Fe ₂ O ₃	5,70	2,75	1,50	1,37	1,48	1,23	1,00	2,00	2,50
FeO	5,95	6,24	3,06	5,26	4,66	2,06	2,50	6,99	7,04
MgO	6,13	7,67	1,79	7,94	3,64	2,36	2,50	1,00	6,86
CaO	6,80	4,64	1,49	2,95	1,81	1,84	1,50	1,50	4,76
Na ₂ O	3,45	4,08	4,79	3,10	4,20	4,23	4,50	4,00	3,49
K ₂ O	0,70	0,41	0,61	0,71	0,76	1,10	1,00	1,50	0,87

Окончание табл. 70

Породообра- зующие окис- лы	IIB						III				
	10	11	12	13	14	15	16	17	18	19	20
SiO ₂	52,79	58,75	64,52	68,10	70,81	70,44	55,93	55,07	63,09	70,03	61,50
TiO ₂	0,46	0,50	0,37	0,31	0,26	0,25	0,67	0,55	0,45	0,33	0,35
Al ₂ O ₃	13,38	14,58	14,57	13,09	12,78	13,04	15,38	15,19	14,98	13,86	14,38
Fe ₂ O ₃	2,03	3,25	1,72	1,79	1,49	1,42	2,12	2,28	2,35	1,27	2,02
FeO	5,62	6,26	5,06	7,79	3,92	6,54	3,79	6,54	3,00	2,16	6,77
MgO	8,90	5,10	2,77	1,17	1,39	1,36	5,46	7,14	3,08	0,73	3,83
CaO	6,21	3,41	1,99	2,02	1,46	1,50	4,37	6,17	3,36	1,34	4,88
Na ₂ O	3,52	3,96	4,49	6,30	5,39	4,92	4,65	3,66	4,02	3,40	3,00
K ₂ O	0,52	0,21	0,93	0,58	0,90	1,52	0,49	0,55	1,83	5,88	0,59

Примечание. I — Присакмарская зона: 1 — базальтовая формация, $n=10$; II — Тубынско-Гайская зона; IIIA — Акъяр-Бурбайская подзона, контрастная формация: 2 — базальты, $n=95$; 3 — липариты, $n=33$; IIB — Макан-Гайская подзона, непрерывная формация, эфузивные фации: 4 — андезито-базальты, $n=20$; 5 — андезито-дациты, $n=39$; 6 — дациты и липарито-дациты, $n=219$; интрузивные фации: 7 — дацитовых порфиритов, $n=22$; 8 — липаритовых порфиритов, $n=26$; 9 — базальтовых порфиритов, $n=22$; IIIB — Тубынско-Баймакская подзона, непрерывная формация, эфузивные фации: 10 — базальты, $n=19$; 11 — андезито-базальты, $n=38$; 12 — андезито-дациты, $n=45$; 13 — дациты и липарито-дациты, $n=42$; интрузивные фации: 14 — липарито-дацитовых и липаритовых порфиритов, $n=32$; 15 — липаритовых порфиритов, $n=41$; 16 — базальтовых порфиритов, $n=12$; III — Ирендынская зона: 17 — базальт-андезито-базальтовая формация, эфузивные и пирокластические фации, $n=62$; 18 — субвуликанические тела, $n=22$; 19 — субщелочные субвуликанические тела, $n=6$; 20 — субвуликанические тела кварц-пироксеновых порфиритов, $n=13$.

Таблица 71

Петрохимический состав базальт-липаритовых ассоциаций Верхнеуральского района (I) и Блявинского рудного поля (II) [по А. И. Кривцову, 1975]

Петрохим. показат.	I		II		Петрохим. показат.	I		II	
	В	Д+Л	В	Д+Л		В	Д+Л	В	Д+Л
SiO ₂	47,0	75,0	49,0	73,0	a	8,6	11,0	9,6	11,4
TiO ₂	0,75	0,3	1,5	0,25	c	8,1	0,9	5,7	1,2
Al ₂ O ₃	16,5	12,5	15,0	12,0	b'	22,4	5,6	25,7	5,2
Fe ₂ O ₃	3,5	1,5	4,0	1,0	f'	43,6	16,8	36,6	50,5
FeO	6,0	2,45	6,0	2,0	m'	46,7	17,0	41,0	23,4
MgO	5,5	0,8	6,0	1,0	c'(-a')	9,6	-39,0	22,35	-26,2
CaO	7,5	0,8	9,0	1,0	n	85,7	94,2	96,3	94,2
Na ₂ O	3,0	5,0	4,0	5,0	t	1,3	0,3	2,3	0,2
K ₂ O	0,3	0,5	0,25	0,5	Q	-3,4	38,1	-5,5	+36,9

Примечание. В — базальты, $n=55,73$; Д+Л — дациты и липариты, $n=32$, 83.

Таблица 72

Петрохимические статистики вулканической ассоциации бурибаевской свиты

Петрохим. показат.	1		2		Петрохим. показат.	1		2	
	\bar{X}	s	\bar{X}	s		\bar{X}	s	\bar{X}	s
SiO ₂	56,91	3,55	73,85	2,97	a	7,8	2,1	10,3	2,7
TiO ₂	0,55	0,29	0,30	0,14	c	4,3	2,5	2,0	1,3
Al ₂ O ₃	16,47	1,68	12,71	1,36	b'	21,8	3,9	6,3	2,6
Fe ₂ O ₃	2,89	1,80	1,78	1,45	f'	35,4	10,3	49,1	14,1
FeO	7,19	1,43	2,49	1,06	m'	47,4	12,5	26,4	11,9
MnO	0,17	0,11	0,07	0,05	c'(-a')	-12,0	19,1	-12,9	26,8
MgO	7,66	2,35	1,32	0,73	n	88,3	13,2	86,3	10,7
CaO	4,20	2,55	2,14	1,80	φ	9,7	6,8	17,9	12,8
Na ₂ O	3,32	1,04	4,33	1,30	t	0,7	0,4	0,3	0,1
K ₂ O	0,61	0,61	0,92	0,62	Q	+3,3	7,1	+36,6	7,0
P ₂ O ₅	0,04	0,04	0,09	0,11	d	0,4	0,1	0,6	0,2
ΣFeO	9,78	1,99	4,09	1,46	F	42,6	9,8	64,7	12,1

Примечание. 1 — базальтоидная группа, $n=19$; 2 — кислая группа, $n=22$ [Нестоянова, 1963; Морковкина, 1964; Аржавитин, 1969; Фролова, 1973].

Таблица 73

Петрохимические статистики вулканитов карамалыташской свиты

Петрохим. показат.	1		2		Петрохим. показат.	1		2	
	\bar{X}	s	\bar{X}	s		\bar{X}	s	\bar{X}	s
SiO ₂	54,06	3,86	72,81	3,25	a	8,4	2,6	11,0	2,5
TiO ₂	0,78	0,34	0,46	0,31	c	6,1	2,1	1,8	1,2
Al ₂ O ₃	16,52	1,66	13,28	1,38	b'	22,7	4,2	5,9	2,5
Fe ₂ O ₃	4,49	1,65	2,08	0,72	f'	45,4	8,6	54,1	17,1
FeO	7,07	1,53	2,68	1,29	m'	41,7	9,2	19,6	11,0
MnO	0,16	0,07	0,07	0,05	c'(-a')	4,0	15,2	-21,0	18,0
MgO	6,09	2,28	1,11	0,79	n	90,6	7,7	88,4	17,6
CaO	6,67	2,66	1,59	1,02	φ	16,4	6,4	23,6	12,2
Na ₂ O	3,54	1,22	4,99	0,89	t	1,1	0,5	0,5	0,3
K ₂ O	0,52	0,44	0,69	0,60	Q	-0,1	9,0	+32,4	9,1
P ₂ O ₅	0,10	0,11	0,24	0,40	d	0,4	0,1	0,7	0,2
ΣFeO	11,11	1,89	4,55	1,31	F	51,8	9,7	71,1	17,8

Примечание. 1 — базальтоидная группа, $n=61$; 2 — кислая группа, $n=33$ [Нестоянова, 1963; Аржавитин, 1969; Штейнберг, 1969; Фролова, 1973; Белянина, 1975; Хворова, Ильинская, 1963; Нечеухин, 1963].

Таблица 74

Петрохимические статистики субвулканитов района месторождений им. III Интернационала (1) и субвулканитов района Валенторского месторождения (2)

Петрохим. показат.	1		2		Петрохим. показат.	1		2	
	\bar{X}	s	\bar{X}	s		\bar{X}	s	\bar{X}	s
SiO ₂	69,93	3,15	73,20	1,86	a	12,3	1,9	12,8	1,6
TiO ₂	0,43	0,07	0,43	0,08	c	2,4	1,3	1,3	0,8
Al ₂ O ₃	14,34	0,93	13,89	1,04	b'	7,6	2,5	4,8	1,3
Fe ₂ O ₃	1,66	0,47	1,47	0,75	f'	47,6	9,5	49,3	15,3
FeO	2,90	1,03	2,07	0,91	m'	35,5	13,2	22,2	6,4
MnO	0,05	0,02	0,06	0,04	c'(-a')	-10,2	18,9	-23,6	24,0
MgO	2,01	1,10	0,99	0,57	n	82,7	8,2	87,0	11,4
CaO	2,25	1,15	1,18	0,74	φ	17,0	7,6	19,2	11,3
Na ₂ O	4,86	0,98	5,33	0,75	t	0,5	0,1	0,4	0,1
K ₂ O	1,51	0,69	1,27	1,17	Q	+25,8	7,6	+30,9	4,4
P ₂ O ₅	0,06	0,02	0,11	0,15	d	0,7	0,1	0,7	0,1
ΣFeO	4,40	1,12	3,39	0,74	F	57,7	11,8	67,7	9,6

Примечание. 1 — кислая группа, $n=11$; 2 — кислая группа, $n=20$ [Гордеева, 1975; Каретина, 1978].

Таблица 75

Петрохимические статистики вулканической ассоциации Акбастау-Кусмуринского района

Петрохим. показат.	1		2		Петрохим. показат.	1		2	
	\bar{X}	s	\bar{X}	s		\bar{X}	s	\bar{X}	s
SiO ₂	60,30	4,23	69,37	3,86	a	10,2	3,1	11,2	2,3
TiO ₂	1,08	0,84	0,70	0,41	c	4,1	2,3	2,7	1,2
Al ₂ O ₃	14,57	2,07	14,09	2,03	b'	17,6	5,0	8,1	3,0
Fe ₂ O ₃	3,51	1,35	2,04	1,16	f'	45,5	9,6	54,4	14,4
FeO	5,46	1,39	3,55	1,64	m'	39,6	10,5	26,9	9,8
MnO	0,07	0,04	0,05	0,03	c'(-a')	6,9	16,6	-9,4	21,0
MgO	4,51	1,79	1,67	1,01	n	89,3	8,7	86,4	9,6
CaO	5,24	2,33	2,71	1,29	φ	16,9	7,1	18,5	11,5
Na ₂ O	4,26	1,38	4,59	1,16	t	1,3	1,0	0,8	0,5
K ₂ O	0,80	0,74	1,06	0,77	Q	+10,5	9,8	+27,7	9,4
P ₂ O ₅	0,21	0,10	0,17	0,10	d	0,6	0,2	0,6	0,1
ΣFeO	8,62	1,95	5,39	1,84	F	53,4	10,6	66,0	11,8

Примечание. 1 — базальтоидная группа, $n=30$; 2 — кислая группа, $n=28$ [Ким, Каипов, 1966; Каипов, Каипов, 1971].

Таблица 76

Петрохимические статистики вулканитов района месторождений Уруп, Худес, Бескесе

Петрохим. показат.	1		2		Петрохим. показат.	1		2	
	\bar{X}	s	\bar{X}	s		\bar{X}	s	\bar{X}	s
SiO ₂	55,13	4,70	71,16	3,58	a	9,6	3,2	9,7	4,4
TiO ₂	0,57	0,38	0,40	0,18	c	2,9	2,1	1,9	1,5
Al ₂ O ₃	12,99	3,55	12,71	1,28	b'	26,1	8,8	8,6	2,3
Fe ₂ O ₃	8,07	3,74	3,50	2,00	f'	47,4	16,1	57,9	21,5
FeO	5,89	2,35	3,60	1,92	m'	35,6	18,4	17,5	9,4
MnO	0,09	0,23	0,11	0,23	c'(-a')	9,7	18,0	-14,7	28,3
MgO	6,69	4,94	1,30	0,94	n	95,0	3,7	79,0	17,8
CaO	5,77	3,14	2,07	1,17	φ	25,3	11,4	26,2	17,1
Na ₂ O	4,40	1,41	3,83	2,16	t	0,8	0,5	0,4	0,2
K ₂ O	0,33	0,28	1,26	1,06	Q	-2,0	10,1	+32,7	11,5
P ₂ O ₅	0,07	0,04	0,07	0,02	d	0,6	0,2	0,6	0,3
ΣFeO	13,15	3,24	6,75	2,61	F	57,9	20,0	75,0	15,8

Примечание. 1 — базальтоидная группа, $n=25$; 2 — кислая группа, $n=16$ [Скрипченко, 1966].

Таблица 77

Петрохимические статистики юрской вулканической ассоциации района месторождения Кафана

Петрохим. показат.	1		2		Петрохим. показат.	1		2	
	\bar{X}	s	\bar{X}	s		\bar{X}	s	\bar{X}	s
SiO ₂	54,94	4,11	66,67	4,05	a	8,2	2,5	8,4	2,0
TiO ₂	1,09	0,82	0,51	0,35	c	6,1	3,1	5,0	2,7
Al ₂ O ₃	18,44	3,94	16,35	2,68	b'	18,9	5,6	8,8	2,3
Fe ₂ O ₃	5,41	3,04	3,79	1,70	f'	40,0	13,3	48,3	16,3
FeO	4,23	2,56	1,89	1,20	m'	35,3	13,8	28,3	13,0
MnO	0,21	0,19	0,12	0,10	c'(-a')	-4,7	29,4	-11,2	32,0
MgO	4,86	2,32	1,83	0,81	n	85,9	7,1	88,0	8,6
CaO	6,74	3,14	4,63	2,39	φ	22,0	13,3	30,1	14,1
Na ₂ O	3,26	1,10	3,47	0,99	t	1,5	1,1	0,6	0,4
K ₂ O	0,75	0,39	0,66	0,33	Q	+2,8	10,2	+27,6	7,1
P ₂ O ₅	0,06	0,03	0,07	0,02	d	0,3	0,1	0,4	0,1
ΣFeO	9,10	3,20	5,30	1,17	F	52,7	15,0	63,0	11,0

Примечание. 1 — базальтоидная группа, $n=38$; 2 — кислая группа, $n=11$ [Химический составы..., 1962].

Таблица 80

Средний химический состав пород игнольского (1—4), чалкинского (5—6) комплексов и Койкарского участка (7—8) Хаутаваарской зоны Карелии

Пetroхим. показат.	1	2	3	4	5	6	7	8	
	\bar{x}	s	\bar{x}	s	\bar{x}	s	\bar{x}	s	
SiO ₂	55,88	3,12	71,79	3,89	a	9,4	2,2	8,0	3,2
TiO ₂	0,64	0,21	0,28	0,11	c	6,2	1,9	2,6	1,5
Al ₂ O ₃	18,03	1,74	14,50	2,08	b'	18,3	2,4	6,9	3,3
Fe ₂ O ₃	5,56	2,40	3,22	1,56	f'	44,4	8,0	41,9	18,6
FeO	4,30	2,53	1,83	1,32	m'	42,0	6,8	20,6	8,6
MnO	0,13	0,15	0,09	0,11	c'(-a')	-5,0	16,5	-36,5	21,0
MgO	5,06	1,07	1,59	1,25	n	83,6	14,1	69,9	21,9
CaO	5,76	1,91	2,29	1,27	φ	23,2	0,9	26,5	16,9
Na ₂ O	3,64	1,14	2,85	1,64	t	0,9	0,3	0,3	0,1
K ₂ O	0,94	0,57	1,49	1,00	Q	+2,7	8,0	+36,1	10,3
P ₂ O ₅	0,05	0,02	0,06	0,02	d	0,4	0,1	0,4	0,1
ΣFeO	9,30	1,51	4,73	1,97	F	51,0	6,4	65,3	12,6

Примечание. 1 — базальтоидная группа, n=15; 2 — кислая группа, n=24 [Сопко, 1971; Абдуллаев и др., 1977; Химические составы..., 1962; Дзоценидзе, 1976].

Таблица 79

Петрохимические статистики раннеантилорозойской дацито-лейкоандезитоидной метавулканической ассоциации хаутаварской серии, Южная Карелия [по А. Ф. Белоусову и др., 1982; и др.]

Пetroхим. показат.	1	2	Пetroхим. показат.	1	2
SiO ₂	63,25	69,17	P ₂ O ₅	—	—
TiO ₂	0,70	0,56	ΣFeO	5,36	3,51
Al ₂ O ₃	16,47	16,06	a	11,1	10,6
Fe ₂ O ₃	1,81	1,28	c(c)	5,4	3,6
FeO	3,73	2,36	b'	11,6	6,3
MgO	3,66	1,86	n	79,9	75,7
CaO	4,70	3,05	Q	+16,4	+28,1
Na ₂ O	4,05	3,76	F	45,1	51,4
K ₂ O	1,55	1,84			

Примечание. 1 — базальтоидная группа, n=26; 2 — кислая группа, n=79;

Примечание. 1 — лавы андезитов и андезито-дацитов, n=14; 2 — агломератовые туфы андезито-дацитовых порфиритов, n=24; 3 — субвулканические андезито-дацитовые порфиры, n=14; 4 — субвулканические дацитовые и липарито-дацитовые порфириты, n=7; 5 — лавы подушечных и массивных андезитов, n=21; 6 — лавы дацитовых порфиритов, n=8; 7 — андезито-дациты, n=1; 8 — субвулканические дацитовые порфириты, n=3 [Серноколчеданные месторождения..., 1978].

Таблица 81

Петрохимические статистики архейской низкощелочной риолитоидно-базальтовой (-мелолейкобазальтоидной) метавулканической ассоциации поясов Пеллонуайф и Камерок, Канада [по А. Ф. Белоусову и др., 1982; и др.]

Пetroхим. показат.	1	2
SiO ₂	53,91	69,73
TiO ₂	1,07	0,50
Al ₂ O ₃	14,99	15,89
Fe ₂ O ₃	2,54	1,20
FeO	9,45	2,84
MgO	5,32	0,82
CaO	3,90	2,96
Na ₂ O	3,26	3,71
K ₂ O	0,33	2,14
P ₂ O ₅	—	—
ΣFeO	11,74	3,92
a	7,6	11,0
c(c)	6,1	3,5
b'	24,7	5,2
n	92,9	72,5
Q	+1,7	+29,7
F	55,3	72,8

Примечание. 1 — базальтоидная группа, n=99; 2 — кислая группа, n=10.

Таблица 82

Петрохимические статистики архейской низкощелочной риолитоидно-базальтовой (-мелолейкобазальтоидной) метавулканической ассоциации района Матагами, Квебек, Канада [по А. Ф. Белоусову и др., 1982; и др.]

Пetroхим. показат.	1	2
SiO ₂	53,26	74,81
TiO ₂	1,82	0,52
Al ₂ O ₃	14,08	11,47
Fe ₂ O ₃	3,57	4,33
FeO	11,24	3,98
MgO	4,56	1,00
CaO	7,79	1,78
Na ₂ O	3,02	3,58
K ₂ O	0,33	1,46
P ₂ O ₅	0,34	0,06
ΣFeO	14,45	5,48
a	7,1	9,5
c(c)	5,8	2,1
b'	25,0	6,3
n	93,0	78,5
Q	+3,9	+41,3
F	63,7	74,6

Примечание. 1 — базальтоидная группа, n=34; 2 — кислая группа, n=8.

Таблица 83

Петрохимические статистики архейской низкоцелочай риолитоидно-субмелапиритоидно-мелапирито-мелабазальтоидной метавулканической ассоциации пояса Абитиби, Канада [по А. Ф. Белоусову и др., 1982; и др.]

Петрохим. показат.	1	2		3		4	
		\bar{X}	s	\bar{X}	s	\bar{X}	s
SiO ₂	49,26	45,29	1,29	48,70	2,26	74,88	2,80
TiO ₂	0,93	0,28	0,13	0,54	0,12	0,34	0,17
Al ₂ O ₃	13,30	5,56	2,15	9,16	1,99	12,16	1,06
Fe ₂ O ₃	—	4,61	1,85	—	—	4,14	1,47
FeO	—	4,87	1,98	—	—	—	—
MgO	10,89	32,48	6,30	-17,73	3,30	0,96	0,64
CaO	10,60	5,15	2,57	-11,14	1,94	1,37	1,02
Na ₂ O	1,46	0,29	0,26	-1,06	0,72	4,74	1,04
K ₂ O	0,09	0,07	0,05	-0,05	—	1,41	0,88
P ₂ O ₅	0,09	—	—	—	—	0,06	0,04
Σ FeO	13,15	10,11	1,71	11,01	2,1	—	—
a	3,2	0,6	0,5	2,1	1,5	12,1	—
c(c)	6,9	2,8	1,3	4,4	1,2	—	—
b'	35,3	54,6	4,0	43,8	4,1	—	—
n	96,1	79,2	15,8	98,2	2,2	—	—
Q	-4,3	-19,6	4,0	-9,3	4,2	—	—
F	40,4	15,4	4,2	26,3	4,7	—	—

Таблица 84

Петрохимические статистики архейской риолитоидно-мелапирито-субмелапиритоидно-мелобазальтовой метавулканической ассоциации района Барбертон, IOAP [по А. Ф. Белоусову и др., 1982; и др.]

Петрохим. показат.	1	2		3		4		
		\bar{X}	s	\bar{X}	s	\bar{X}	s	
SiO ₂	52,84	1,84	52,53	2,14	46,60	1,49	72,23	2,87
TiO ₂	1,01	0,36	0,71	0,26	0,35	0,36	0,31	0,15
Al ₂ O ₃	14,16	0,93	8,14	2,28	3,11	0,96	14,86	1,44
Fe ₂ O ₃	2,57	1,09	1,99	2,13	3,76	—	0,57	0,30
FeO	9,05	1,74	9,31	2,27	5,68	—	1,93	0,68
MgO	6,92	1,26	14,45	4,37	33,33	3,50	1,57	0,73
CaO	9,84	1,38	10,48	1,89	4,81	1,08	1,18	1,25
Na ₂ O	2,84	0,78	1,73	1,06	0,20	0,26	6,02	1,58
K ₂ O	0,35	0,30	0,24	0,34	0,05	0,05	1,16	0,83
P ₂ O ₅	0,11	0,04	0,08	0,03	0,06	0,02	0,12	0,06
Σ FeO	11,33	2,04	11,03	1,60	10,32	1,51	2,45	0,7
a	6,6	1,6	3,7	2,2	0,4	0,5	14,1	3,4
c(c)	6,0	1,0	3,0	1,2	1,4	0,4	1,3	1,4
b'	27,9	2,1	39,5	5,1	55,9	2,3	4,8	1,5
n	92,7	7,1	91,0	9,6	59,5	37,5	88,5	7,1
Q	-0,1	4,9	-3,0	4,4	-17,7	3,3	+25,7	7,5
F	47,9	7,9	31,2	7,7	15,0	2,9	47,3	7,7

Таблица 85

Петрохимические статистики раннемезозойской низкоцелочай риолитоидно-базальтовой (мелойкобазальтоидной) метавулканической ассоциации комплекса Троодос, Кипр [по А. Ф. Белоусову и др. 1982; и др.]

Петрохим. показат.	1	2		3		4		
		\bar{X}	s	\bar{X}	s	\bar{X}	s	
SiO ₂	54,39	3,08	46,62	1,13	50,46	3,37	74,06	5,69
TiO ₂	0,68	0,39	0,25	0,09	0,54	0,43	0,35	0,16
Al ₂ O ₃	15,03	1,47	6,28	2,08	11,86	1,32	12,40	1,22
Fe ₂ O ₃	5,06	4,66	3,03	0,74	3,04	1,42	2,01	0,71
FeO	2,52	1,95	6,34	0,67	5,73	1,39	2,40	2,30
MgO	8,18	3,12	31,26	3,06	16,15	3,26	0,68	0,08
CaO	8,80	2,55	5,41	1,15	10,47	1,99	2,49	1,35
Na ₂ O	2,44	1,11	0,40	0,22	0,97	0,38	4,64	0,23
K ₂ O	0,87	1,16	0,09	0,05	0,27	0,23	0,76	0,66
P ₂ O ₅	0,09	0,03	0,07	—	0,06	0,03	0,10	0,07
Σ FeO	8,73	1,42	8,98	0,56	8,52	0,68	4,22	2,69
a	6,5	2,5	0,8	0,4	2,3	1,0	10,8	0,7
c(c)	6,5	1,3	3,0	1,1	6,2	1,0	2,3	1,0
b'	25,7	5,3	52,6	3,1	38,3	4,5	5,7	3,4
n	81,9	18,8	79,1	25,8	84,8	8,9	90,5	7,8
Q	+2,6	9,2	-17,7	2,8	-4,3	7,6	+37,4	10,5
F	39,9	12,7	13,9	1,0	84,8	8,9	73,1	12,1

Примечание. 1 — базальтоидная группа, n=33 (P₂O₅, Fe₂O₃, FeO — n=20); 2 — мелапиритоидная группа, n=12 (Fe₂O₃, FeO — n=8); 3 — субмелапиритоидная группа, n=8 (P₂O₅, Fe₂O₃, FeO — n=5); 4 — кислая группа, n=4.

Таблица 86

Петрохимические статистики эоцен-миоценовой риолитоидно-лейкобазальтоидной ассоциации островов Вити-Леву, Фиджи [по А. Ф. Белоусову и др., 1982; и др.]

Петрохим. показат.	1		2		Петрохим. показат.	1		3	
	\bar{X}	s	\bar{X}	s		\bar{X}	s	\bar{X}	s
SiO ₂	53,99	4,05	72,05	4,74	K ₂ O	1,60	1,28	0,93	0,51
TiO ₂	0,87	0,37	0,44	0,14	P ₂ O ₅	0,29	0,17	0,13	0,09
Al ₂ O ₃	17,41	2,07	13,87	1,82	Σ FeO	8,34	1,73	3,11	1,03
Fe ₂ O ₃	4,94	1,85	2,30	1,34	a	10,2	2,8	11,8	0,6
FeO	3,90	1,66	1,05	1,04	c(c)	6,8	1,9	3,2	1,3
MgO	4,75	2,25	0,87	0,50	b'	20,1	6,3	5,3	2,2
CaO	8,58	1,86	3,39	1,36	n	78,4	13,6	88,8	6,2
Na ₂ O	3,49	0,95	4,89	0,54	Q	-1,1	10,2	+32,9	8,6
					F	51,5	7,9	67,7	7,3

Примечание. 1 — базальтоидная группа, n=25; 2 — кислая группа, n=4.

Таблица 89

Петрохимические статистики базитов и гранитоидов припрышской серии

Петрохим. показат.	1		2		Петрохим. показат.	1		2	
	\bar{X}	s	\bar{X}	s		\bar{X}	s	\bar{X}	s
SiO ₂	53,41	3,88	70,94	4,09	a	7,2	2,2	11,4	1,6
TiO ₂	1,04	0,54	0,42	0,30	c	7,3	2,5	3,0	1,3
Al ₂ O ₃	16,47	2,88	14,06	1,15	b'	23,9	5,6	6,7	3,4
Fe ₂ O ₃	2,79	2,07	1,02	0,72	f'	35,2	10,4	41,8	8,8
FeO	6,08	2,00	2,43	1,17	m'	46,7	9,7	36,1	11,8
MnO	0,09	0,07	0,05	0,03	c'(-a')	17,1	11,2	-0,9	26,1
MgO	6,78	2,49	1,63	0,84	n	83,0	9,4	76,2	12,4
CaO	9,62	2,55	3,30	1,53	φ	10,1	6,8	11,0	5,1
Na ₂ O	2,71	0,79	4,04	0,70	t	1,4	0,8	0,5	0,4
K ₂ O	0,91	0,60	2,01	1,18	Q	+0,8	7,4	+30,5	7,4
P ₂ O ₅	0,11	0,10	0,09	0,08	d	0,3	0,1	0,6	0,1
ΣFeO	8,58	2,34	3,35	1,69	F	42,6	10,7	53,9	10,6

Примечание. 1 — базитовая группа, n=117; 2 — гранитоидная группа, n=63 (выборка А. М. Марьина).

Таблица 90

Петрохимические статистики базитов и гранитоидов кан-чингизского комплекса

Петрохим. показат.	1		2		3		4	
	\bar{X}	s	\bar{X}	s	\bar{X}	s	\bar{X}	s
SiO ₂	68,03	3,32	73,73	1,22	71,97	3,88	54,95	4,42
TiO ₂	0,38	0,15	0,25	0,08	0,31	0,14	0,69	0,12
Al ₂ O ₃	14,63	0,81	13,09	1,35	14,00	1,33	19,43	1,49
Fe ₂ O ₃	1,74	0,69	1,68	0,65	1,67	0,68	3,83	0,85
FeO	2,96	0,67	1,51	0,47	2,24	1,00	3,96	0,82
MnO	0,07	0,03	0,05	0,03	0,06	0,03	0,19	0,03
MgO	1,98	0,57	0,63	0,76	2,43	1,25	7,49	1,65
CaO	3,23	1,16	1,58	0,76	4,13	0,56	3,81	0,59
Na ₂ O	3,82	0,54	4,35	0,50	4,13	0,56	2,21	0,14
K ₂ O	1,45	0,99	1,72	1,10	1,53	1,04	0,27	0,06
P ₂ O ₅	0,09	0,05	0,04	0,02	0,07	0,05	(2,41)	0,96
П. п. п. (ΣFeO)	1,42	0,59	0,99	0,27	(3,74)	1,14	12,0	1,9
a	10,4	1,1	11,6	1,5	10,8	1,4	7,5	1,5
c	3,7	1,3	1,7	0,8	2,7	1,4	15,1	2,8
b'	7,8	1,6	4,0	0,9	6,2	3,0	50,3	5,7
f'	46,8	11,3	49,4	8,4	46,2	11,7	37,1	5,4
m'	36,0	11,4	16,0	9,8	27,9	16,6	12,3	9,4
c'(-a')	-13,0	20,2	-27,4	23,6	-20,9	21,7	11,0	11,0
n	80,4	11,9	80,2	11,3	81,0	11,5	73,3	4,0
φ	16,1	6,4	24,8	10,8	20,0	10,5	22,7	4,0
t	0,4	0,2	0,2	0,1	0,3	0,2	0,9	0,2
Q	+28,6	5,8	+36,8	4,3	+32,7	7,4	-0,8	10,5
d	0,5	0,1	0,7	0,1	0,6	0,1	0,4	0,1
F	56,3	9,5	73,4	6,4	62,8	15,5	57,0	4,1

Примечание. 1 — мелагранитоиды, n=9; 2 — лейкогранитоиды, n=8; 3 — гранитоидная группа, n=19; 4 — базитовая группа, n=6 (выборка Н. В. Полинского).

Таблица 87

Состав доорогенной (1,2) и посторогеной (3,4) вулканических ассоциаций островов Фиджи

Петрохим. показат.	1		2		Петрохим. показат.	1		2	
	\bar{X}	s	\bar{X}	s		\bar{X}	s	\bar{X}	s
SiO ₂	53,50	72,34	52,50	72,71	a	9,7	14,6	7,5	11,4
TiO ₂	1,09	0,42	0,83	0,50	c	7,3	1,7	8,6	3,3
Al ₂ O ₃	17,18	13,88	17,78	14,09	b'	18,0	3,9	21,3	4,2
Fe ₂ O ₃	3,82	1,38	3,51	2,43	f'	48,1	69,3	40,0	67,8
FeO	4,95	1,59	5,29	1,11	m'	40,2	29,3	42,4	21,9
MnO	0,25	0,08	0,18	0,06	c'(-a')	11,7	1,3	17,6	-10,4
MgO	4,05	0,69	5,14	0,61	n	90,5	91,6	87,8	90,8
CaO	7,33	1,49	9,78	2,75	φ	19,1	29,6	14,6	44,1
Na ₂ O	3,77	6,27	2,88	4,82	t	1,5	0,4	1,2	0,5
K ₂ O	0,60	0,87	0,61	0,74	Q	+3,5	+28,9	+1,6	+35,4
P ₂ O ₅	0,24	0,10	0,16	0,11	d	0,4	0,8	0,3	0,6
П. п. п.	2,85	1,02	1,41	0,86	F	53,7	69,7	48,0	75,2

Примечание. По усредненным данным: 1 — андезит; 2 — дацит; 3 — андезит; 4 — дацит [Colley, Greenbaum, 1980].

Таблица 88

Петрохимические статистики плагиогранит-габбровой ассоциации Западных Мугоджар

Петрохим. показат.	1		2		Петрохим. показат.	3		4	
	\bar{X}	s	\bar{X}	s		\bar{X}	s	\bar{X}	s
SiO ₂	71,57	3,06	75,59	1,26	70,42	5,32	50,32	4,28	
TiO ₂	0,36	0,11	0,27	0,10	0,45	0,30	0,78	0,55	
Al ₂ O ₃	12,70	1,17	12,24	0,75	13,38	1,63	16,90	2,85	
Fe ₂ O ₃	2,71	1,33	1,58	0,75	2,90	1,73	3,40	2,34	
FeO	3,09	1,20	1,66	0,64	3,36	1,85	5,77	3,05	
MnO	0,03	0,03	0,03	0,03	0,05	0,06	0,01	0,08	
MgO	0,86	0,53	0,62	0,35	1,09	0,81	7,81	3,07	
CaO	4,32	1,14	3,29	1,08	4,49	1,55	12,76	3,99	
Na ₂ O	3,26	1,13	3,57	0,83	3,32	1,25	1,82	1,27	
K ₂ O	0,35	0,31	0,25	0,23	0,35	0,29	0,24	0,26	
P ₂ O ₅	0,18	0,21	0,14	0,12	0,19	0,19	0,10	0,12	
П. п. п. (ΣFeO)	0,70	0,49	0,53	0,44	5,98	2,61	8,83	3,60	
a	7,5	2,4	8,0	1,6	7,6	2,6	4,3	2,9	
c	4,3	1,3	3,6	1,1	4,6	1,8	9,2	3,3	
b'	7,5	1,5	4,1	0,9	8,3	3,5	28,2	6,1	
f'	64,8	12,4	61,3	16,9	62,9	13,0	31,9	16,2	
m'	17,4	9,9	20,7	9,2	19,6	10,3	45,4	12,2	
c'(-a')	5,1	20,2	-6,0	21,9	19,6	10,3	-27,4	23,6	
n	92,4	9,8	95,3	5,6	92,7	7,8	91,2	6,7	
φ	28,6	12,7	28,7	14,5	27,8	12,7	11,5	9,5	
t	0,4	0,1	0,3	0,1	0,5	0,4	1,1	0,8	
Q	+40,8	7,5	+47,6	3,6	+37,6	11,2	-1,6	7,9	
d	0,4	0,1	0,5	0,1	0,4	0,2	0,2	0,2	
F	78,7	12,4	73,5	13,7	75,9	13,1	39,9	17,4	

Таблица 91

Петрохимические статистики базитов и гранитоидов кусмуринского комплекса

Петрохим. показат.	1		2		Петрохим. показат.	1		2	
	\bar{X}	s	\bar{X}	s		\bar{X}	s	\bar{X}	s
SiO_2	66,37	2,60	58,64	3,22	<i>a</i>	11,9	1,8	11,3	2,8
TiO_2	0,57	0,09	0,70	0,60	<i>c</i>	3,2	1,4	4,3	3,0
Al_2O_3	15,51	1,20	15,52	2,85	<i>b'</i>	9,6	1,5	16,9	3,8
Fe_2O_3	2,41	0,83	5,62	4,36	<i>f'</i>	46,0	10,2	50,0	7,3
FeO	3,27	0,91	4,24	1,51	<i>m'</i>	34,7	9,7	36,5	12,0
MnO	0,09	0,02	0,13	0,17	<i>c'(-a')</i>	-7,3	23,3	10,1	13,6
MgO	2,37	0,67	3,66	1,42	<i>n</i>	84,3	10,5	82,9	10,8
CaO	3,21	1,22	5,47	1,22	φ	18,4	6,7	25,3	11,6
Na_2O	4,68	0,88	4,37	1,04	<i>t</i>	0,6	0,1	0,9	0,9
K_2O	1,35	0,92	1,43	0,98	<i>Q</i>	+20,0	6,2	+6,0	5,4
P_2O_5	0,17	0,05	0,21	0,09	<i>d</i>	0,6	0,1	0,6	0,3
ΣFeO	5,44	0,95	9,30	3,66	<i>F</i>	56,8	8,9	58,3	12,0

Примечание. 1 — гранитоидная группа, $n=19$; 2 — базитовая группа, $n=22$ (данные Н. В. Полинского).

Таблица 92

Петрохимические статистики гранитоидов Тыллинского массива

Петрохим. показат.	\bar{X}	s	Петрохим. показат.	\bar{X}	s
SiO_2	67,72	5,20	<i>a</i>	9,09	2,41
TiO_2	0,42	0,11	<i>c</i>	4,53	1,3
Al_2O_3	15,56	2,09	<i>b'</i>	8,1	3,0
Fe_2O_3	1,81	1,00	<i>f'</i>	57,7	17,0
FeO	4,30	1,05	<i>m'</i>	22,0	10,7
MnO	0,10	0,04	<i>c'(-a')</i>	-17,3	19,2
MgO	1,60	0,92	<i>n</i>	87,3	5,2
CaO	3,97	1,09	φ	14,8	8,7
Na_2O	3,62	0,87	<i>t</i>	0,4	0,1
K_2O	0,86	0,58	<i>Q</i>	+29,5	12,0
P_2O_5	0,05	0,07			
ΣFeO	5,93	1,25			

Примечание. Число анализов $n=20$ (выборка О. И. Никонова).

Таблица 93

Петрохимические статистики базитов и гранитоидов майнского комплекса

Петрохим. показат.	1		2		Петрохим. показат.	3		4	
	\bar{X}	s	\bar{X}	s		\bar{X}	s	\bar{X}	s
SiO_2	68,85	3,14	73,77	2,50	<i>a</i>	73,40	3,39	50,59	3,93
TiO_2	0,41	0,09	0,30	0,11	<i>c</i>	0,33	0,12	0,55	0,19
Al_2O_3	13,92	2,01	13,11	1,36	<i>b'</i>	13,48	1,58	17,75	1,29
Fe_2O_3	1,84	0,64	1,38	0,45	<i>f'</i>	1,51	0,54	3,16	1,33
FeO	3,67	1,31	2,04	0,61	<i>m'</i>	2,49	1,11	6,69	1,20
MnO	0,10	0,04	0,08	0,03	<i>n</i>	0,09	0,03	0,27	0,07
MgO	1,16	0,70	0,44	0,26	<i>t</i>	0,63	0,53	6,88	2,26
CaO	3,85	1,87	2,68	1,21	φ	3,02	1,49	12,59	2,38
Na_2O	3,97	1,16	4,01	0,66	<i>Q</i>	4,05	0,81	1,32	0,52
K_2O	0,78	0,79	0,94	0,61	<i>d</i>	0,91	0,66	0,13	0,15
P_2O_5	0,10	0,10	0,08	0,09	<i>F</i>	0,08	0,09	0,08	0,07
ΣFeO	1,53	0,52	1,11	0,45	ΣFeO	3,86	1,27	9,53	2,06
<i>a</i>	9,8	3,1	9,9	15,5	<i>a</i>	9,9	2,0	3,5	1,4
<i>c</i>	4,2	2,2	3,1	1,5	<i>c</i>	3,3	1,8	10,5	1,3
<i>b'</i>	7,6	2,4	4,0	0,8	<i>b'</i>	4,8	2,2	26,5	5,5
<i>f'</i>	64,9	4,3	65,2	15,4	<i>f'</i>	63,5	14,7	38,0	11,4
<i>m'</i>	23,0	9,5	14,6	8,4	<i>m'</i>	16,4	9,2	43,4	7,0
<i>c'(-a')</i>	2,3	15,2	-14,5	21,3	<i>c'(-a')</i>	-10,0	23,9	18,6	6,2
<i>n</i>	89,3	7,3	86,9	7,8	<i>n</i>	87,6	7,7	94,9	5,8
φ	20,5	7,4	24,0	8,6	φ	22,3	9,3	11,1	4,9
<i>t</i>	0,4	0,1	0,3	0,1	<i>t</i>	0,3	0,2	0,8	0,3
<i>Q</i>	+32,3	7,5	+41,0	4,8	<i>Q</i>	+38,5	7,1	+1,6	8,6
<i>d</i>	0,5	0,2	0,6	0,1	<i>d</i>	79,5	79,9	45,4	11,6
<i>F</i>	74,1	9,6	81,2	10,5	<i>F</i>	—	—	—	—

Примечание. 1 — мелагранитоиды, $n=9$; 2 — лейкогранитоиды, $n=26$; 3 — гранитоидные гранитоиды, $n=35$; 4 — базитовая группа, $n=30$ [Смычилев, 1963; данные П. С. Антонова, А. П. Кривенко; коллекция Б. Ф. Налетова, Приложение, табл. 1, № 110—125].

Таблица 94

Состав орогений базит-гранитоидной ассоциации островов Фиджи

Петрохим. показат.	1		2		Петрохим. показат.	3		4	
	\bar{X}	s	\bar{X}	s		\bar{X}	s	\bar{X}	s
SiO_2	47,09	71,68	<i>a</i>		<i>a</i>	3,5		11,5	
TiO_2	0,72	0,35	<i>c</i>		<i>c</i>	11,6		3,4	
Al_2O_3	18,97	13,90	<i>b'</i>		<i>b'</i>	27,8		4,7	
Fe_2O_3	3,44	1,25	<i>f'</i>		<i>f'</i>	33,7		59,6	
FeO	6,09	1,83	<i>m'</i>		<i>m'</i>	48,1		35,0	
MnO	0,19	0,08	<i>c'</i>		<i>c'</i>	18,2		5,4	
MgO	7,51	1,00	<i>n</i>		<i>n</i>	93,4		90,1	
CaO	13,02	3,07	φ		φ	11,1		22,1	
Na_2O	1,40	4,77	<i>t</i>		<i>t</i>	1,1		0,4	
K_2O	0,15	0,80	<i>Q</i>		<i>Q</i>	-4,5		+34,5	
P_2O_5	0,07	0,08	<i>d</i>		<i>d</i>	0,1		0,6	
ΣFeO	1,37	1,19	<i>F</i>		<i>F</i>	40,7		62,4	

Примечание. По усредненным данным: 1 — габбро; 2 — тоналиты [Colley, Greenbaum, 1980].

Таблица 95

Петрохимические статистики вулканитов колчеданоносной формации Тагильского прогиба

Петрохим. показат.	1		2		Петрохим. показат.	1		2	
	\bar{x}	s	\bar{x}	s		\bar{x}	s	\bar{x}	s
SiO_2	52,47	3,39	72,33	4,02	<i>a</i>	9,4	3,2	10,8	2,4
TiO_2	0,86	0,30	0,47	0,16	<i>c</i>	6,3	2,1	1,6	1,3
Al_2O_3	17,84	2,32	14,09	1,85	<i>b'</i>	22,2	5,4	5,4	2,6
Fe_2O_3	3,67	1,79	1,80	0,83	<i>f'</i>	41,1	9,8	39,2	13,1
FeO	6,52	2,10	2,00	1,06	<i>m'</i>	40,5	8,2	21,3	9,6
MnO	0,16	0,11	0,06	0,04	<i>c'(-a')</i>	6,9	20,9	-34,9	25,9
MgO	5,84	2,39	1,27	0,96	<i>n</i>	75,1	27,0	51,6	35,8
CaO	7,62	3,24	1,50	1,11	<i>φ</i>	14,1	6,7	18,1	10,1
Na_2O	3,33	1,68	2,98	2,32	<i>t</i>	1,2	0,4	0,5	0,2
K_2O	1,45	1,43	3,39	2,24	<i>Q</i>	-4,8	7,6	+33,2	9,7
P_2O_5	0,25	0,20	0,10	0,21	<i>d</i>	0,4	0,1	0,6	0,2
ΣFeO	9,82	1,99	3,62	1,25	<i>F</i>	49,8	8,3	65,1	12,4

Примечание. 1 — базальтоидная группа, $n=36$; 2 — кислая группа, $n=56$ [Морковин, 1964; Каретник, 1969; Черняковский, 1972].

Таблица 96

Петрохимические статистики вулканитов ассоциации района месторождений Академия, Таңдаут

Петрохим. показат.	1		2		Петрохим. показат.	1		2	
	\bar{x}	s	\bar{x}	s		\bar{x}	s	\bar{x}	s
SiO_2	53,50	5,04	69,17	5,03	<i>a</i>	8,4	3,1	11,6	2,5
TiO_2	0,81	0,28	0,48	0,25	<i>c</i>	8,0	2,7	3,0	2,1
Al_2O_3	18,08	2,63	14,89	2,38	<i>b'</i>	20,0	6,3	6,6	2,8
Fe_2O_3	4,17	2,04	2,97	1,80	<i>f'</i>	46,3	8,3	49,3	19,5
FeO	5,60	2,06	1,66	1,07	<i>m'</i>	39,8	10,7	22,8	13,8
MnO	0,20	0,30	0,11	0,18	<i>c'(-a')</i>	8,2	15,2	-17,2	31,2
MgO	4,75	2,08	1,19	0,84	<i>n</i>	66,4	20,6	60,8	14,1
CaO	8,33	2,60	2,84	1,94	<i>φ</i>	18,6	10,2	28,8	16,1
Na_2O	2,56	1,20	3,34	1,14	<i>t</i>	1,1	0,4	0,5	0,3
K_2O	1,79	1,04	3,18	1,10	<i>Q</i>	+1,2	9,1	+27,5	10,2
P_2O_5	0,49	0,06	0,16	0,08	<i>d</i>	0,3	0,2	0,6	0,2
ΣFeO	9,35	2,30	4,33	1,99	<i>F</i>	53,6	10,6	67,1	19,3

Примечание. 1 — базальтоидная группа, $n=17$; 2 — кислая группа, $n=24$ [Химический состав..., 1962].

из 24, или 56—88%). Высокоглиноземистые разности преобладают среди базальтоидов Курил и ассоциаций района Кафанско-Балыкского месторождения. Еще более характерной тенденцией является понижение титанистости. Низкотитанистый уклон ($\text{TiO}_2 \leq 1,5\%$) встречен в 23 (71—96,5%) ассоциациях, т. е. в явном большинстве. По соотношению железа и магния заметно часто фиксирующимся уклоном оказался железомагниевый (15 из 24, или 44—56%). Умеренно магниевый уклон отмечен в 8 (18—52%) случаях, магниевый — в 1 (0,2—18%) случае на совокупность.

КИСЛАЯ ГРУППА

Близкими к отмеченным особенностям химизма обладают и кислая группа. Она обычно меньше распространена в сложных ассоциациях, чем базальтоидная. Общая щелочность в рамках низкощелочного ($a \leq 12,5$) уклона встречена в 19 из 26 (55—87%) ассоциаций, причем примерно в половине из них установлен умеренно низкощелочной уклон. В одной ассоциации отмечен умеренно щелочной уклон, в 4 (5—32%) случаях какой-либо преобладающей тенденции не зафиксировано. Как и в базальтоидах, типична понижение калиевистость пород. Содержания K_2O по оценкам средних (см. таблицы) не поднимаются выше 1,5%, обычно же они ниже 1%. Последнее находит выражение в высоких значениях показателя n . Преобладающим уклоном по этому показателю являются высоконатриевые, встречающиеся в 19 ассоциациях, причем в 2 (1,4—22%) отмечен весьма высоконатриевый уклон. В целом же общий натриевый уклон фиксируются в 25 (76—99,7%) ассоциациях. Низко- и высокоглиноземистая тенденции равниты без заметного преобладания одной над другой. Для всех изученных ассоциаций типичен низкотитанистый уклон, в 6 (10,6—40,6%) ассоциациях отмечен весьма низкотитанистый уклон. По соотношению железа и магния несколько чаще встречается железистая тенденция. Железомагниевая зафиксирована в 11 из 26 (26—60%) случаев на совокупность. Исходя из середины распределений кислых ассоциаций по натрию ($\text{Na}_2\text{O} = 4\%$) и калию ($\text{K}_2\text{O} = 3,5\%$), описываемые кислые вулканиты могут типизироваться как преимущественно высоконатриевые и преимущественно низкокалиевые с уклонением в сторону низких (до 1,5%) содержаний калия (см. рис. 21).

Что касается плутонических габбро-плагиогранитных или плагиогранит-габбровых ассоциаций, формирующихся обычно позже собственно колчеданоносных, следует отметить близость их по химизму к последним. Из табл. 88—94 можно заключить, что они так же, как и сложные вулканические ассоциации, характеризуются во всем ряду пород низкой общей щелочностью, никаким содержанием K_2O , а следовательно, и высокими значениями показателя n . Последний укладывается в рамках высоконатриевого и весьма высоконатриевого уклонов.

ПЕТРОХИМИЯ АССОЦИАЦИЙ С КОЛЧЕДАНИО-ПОЛИМЕТАЛЛИЧЕСКИМ И КОЛЧЕДАНИО-СВИНЦОВО-ЦИНКОВЫМ ОРУДЕНЕНИЕМ

Петрохимические статистики кислых и базальтоидных вулканитов, субвуликанитов даны в табл. 95—107. Примечательным для данной группы ассоциаций является понижение общая щелочность, нередко при повышенной калиевистости.

КИСЛАЯ ГРУППА

Обычно преобладающая в ассоциациях этого типа кислая группа, как и в ассоциациях с колчеданным оруденением, оказывается низкощелочная. Низкий уклон фиксируется в 12 из 16 (51,6—91%) случаев на со-

Таблица 97

Петрохимические статистики субвулканитов Базумского хребта

Петрохим. показат.	\bar{x}	s	Петрохим. показат.	\bar{x}	s
SiO_2	72,95	2,16	a	11,2	4,0
TiO_2	0,26	0,08	c	2,0	1,3
Al_2O_3	14,63	1,34	b'	4,4	1,4
Fe_2O_3	1,82	1,12	f'	43,1	20,1
FeO	0,99	0,49	m'	26,1	9,6
MnO	0,09	0,05	c'(-a')	-25,0	31,1
MgO	1,13	0,72	n	67,5	12,3
CaO	1,86	1,15	φ	24,6	12,4
Na_2O	3,59	1,35	t	0,3	0,1
K_2O	2,61	1,47	Q	+33,5	6,0
P_2O_5	0,08	0,13	d	0,6	0,2
ΣFeO	2,63	0,93	F	58,7	15,1

Примечание. Число анализов $n=20$ [Мурадли, 1972].

Таблица 98

Петрохимические статистики вулканической ассоциации Западного Саяна

Петрохим. показат.	1		2		Петрохим. показат.	1		2	
	\bar{x}	s	\bar{x}	s		\bar{x}	s	\bar{x}	s
SiO_2	51,94	4,31	72,55	3,53	a	9,1	2,9	10,8	1,7
TiO_2	1,40	0,83	0,40	0,18	c	5,6	2,0	1,6	1,0
Al_2O_3	15,66	1,85	12,56	1,41	b'	25,3	5,7	7,7	2,3
Fe_2O_3	4,04	2,48	1,92	1,54	f'	45,8	10,9	56,0	13,0
FeO	8,25	2,26	3,99	1,52	m'	38,7	9,4	23,0	8,0
MnO	0,19	0,06	0,09	0,04	c'(-a')	12,9	12,6	-16,0	18,8
MgO	6,07	2,65	1,39	0,69	n	90,9	9,0	91,3	8,0
CaO	7,89	3,02	1,58	1,09	φ	14,2	9,9	16,9	13,4
Na_2O	3,85	1,37	4,73	0,89	t	2,0	1,2	0,4	0,2
K_2O	0,54	0,54	0,67	0,62	Q	-4,8	9,1	-32,8	8,1
P_2O_5	0,16	0,17	0,12	0,05	d	0,4	0,1	0,7	0,1
ΣFeO	11,89	2,26	5,72	1,57	F	53,7	10,6	70,3	10,4

Примечание. 1 — базальтоидная группа, $n=89$; 2 — кислая группа, $n=42$ [Велинский, 1968].

Таблица 99

Петрохимические статистики вулканитов пещеринской и гавриловской свит Салаира

Петрохим. показат.	1		2		Петрохим. показат.	1		2	
	\bar{x}	s	\bar{x}	s		\bar{x}	s	\bar{x}	s
SiO_2	57,76	5,46	74,25	5,36	a	9,8	3,6	9,6	2,3
TiO_2	0,71	0,34	0,30	0,18	c	4,5	2,7	1,6	1,5
Al_2O_3	16,88	1,93	12,80	2,28	b'	18,1	4,9	6,3	2,9
Fe_2O_3	3,17	1,23	1,54	1,19	f'	46,8	11,8	45,7	19,1
FeO	7,15	1,70	3,19	1,78	m'	34,8	8,5	21,9	11,6
MnO	0,20	0,09	0,07	0,06	c'(-a')	-8,0	21,4	-29,1	28,4
MgO	4,60	1,85	1,31	0,80	n	88,6	8,9	85,3	15,9
CaO	4,61	3,02	1,52	1,35	φ	13,1	6,8	12,7	8,4
Na_2O	4,10	1,62	4,07	1,37	t	0,9	0,5	0,3	0,2
K_2O	0,72	0,65	0,89	0,87	Q	+4,6	12,7	+37,5	11,7
P_2O_5	0,11	0,12	0,05	0,08	d	0,4	0,2	0,6	0,2
ΣFeO	10,00	1,94	4,58	2,08	F	56,5	9,9	66,6	12,8

Примечание. 1 — базальтоидная группа, $n=29$; 2 — кислая группа, $n=55$ [Вепоус и др., 1969; данные В. В. Бессоненко, ЗСГУ].

Таблица 100

Петрохимические статистики вулканической ассоциации каменевской свиты

Петрохим. показат.	1		2		Петрохим. показат.	1		2	
	\bar{x}	s	\bar{x}	s		\bar{x}	s	\bar{x}	s
SiO_2	52,22	4,47	75,41	4,38	a	8,2	3,7	10,3	3,0
TiO_2	0,75	0,38	0,51	1,70	c	6,1	2,6	1,0	1,3
Al_2O_3	16,11	1,24	12,54	2,64	b'	25,8	5,3	4,9	2,5
Fe_2O_3	4,50	3,21	1,38	1,03	f'	40,0	5,8	38,1	18,7
FeO	7,00	3,19	1,93	1,19	m'	44,2	9,0	19,5	10,0
MnO	0,20	0,14	0,12	0,25	c'(-a')	7,5	16,9	-35,0	29,0
MgO	7,12	1,81	1,15	1,09	n	90,0	9,8	68,1	22,0
CaO	7,87	3,50	1,08	1,05	φ	15,1	13,0	14,1	10,8
Na_2O	3,47	1,72	3,55	1,37	t	1,1	0,6	0,5	1,5
K_2O	0,51	0,50	2,25	1,48	Q	-4,4	12,7	+39,1	10,5
P_2O_5	0,25	0,67	0,08	0,08	d	0,4	0,2	0,8	0,9
ΣFeO	11,05	1,14	3,17	1,39	F	47,3	7,7	65,5	18,1

Примечание. 1 — базальтоидная группа, $n=12$; 2 — кислая группа, $n=46$ (неопубликованные коллекции И. Г. Чинакова, Л. Д. Усольцева и др., ЗСГУ).

Таблица 101

Петрохимические статистики вулканитов таловской (1) и пихтовской (2) свит Рудного Алтая

Петрохим. показат.	1		2		Петрохим. показат.	1		2	
	\bar{x}	s	\bar{x}	s		\bar{x}	s	\bar{x}	s
SiO_2	77,44	4,15	72,32	6,41	a	7,6	2,9	10,0	1,6
TiO_2	0,12	0,12	0,39	0,33	c	0,9	1,1	2,4	1,6
Al_2O_3	11,69	2,20	12,64	2,05	b'	5,8	2,6	7,7	3,2
Fe_2O_3	1,12	1,01	2,48	1,42	f'	25,8	18,5	48,8	9,1
FeO	1,80	1,13	2,66	1,52	m'	28,6	11,0	27,6	7,2
MnO	0,08	0,20	0,08	0,07	c'(-a')	-41,9	22,2	-11,9	22,3
MgO	2,05	1,36	1,60	0,85	n	45,5	30,7	82,6	12,6
CaO	0,90	0,96	2,48	1,83	φ	9,2	8,2	21,8	8,3
Na_2O	1,87	1,49	3,96	1,32	t	0,1	0,1	0,4	0,3
K_2O	2,88	1,81	1,26	1,32	Q	+45,5	10,6	+34,5	11,0
P_2O_5	0,04	0,04	0,13	0,23	d	0,5	0,3	0,6	0,1
ΣFeO	2,81	1,32	4,89	2,13	F	46,8	17,9	63,6	6,6

Примечание. 1 — кислая группа, $n=63$; 2 — кислая группа, $n=30$ [Кузебий и др., 1967].

Таблица 102

Петрохимические статистики вулканитов шипуновской свиты

Петрохим. показат.	1		2		Петрохим. показат.	1		2	
	\bar{X}	s	\bar{X}	s		\bar{X}	s	\bar{X}	s
SiO_2	51,67	4,90	74,16	5,33	<i>a</i>	8,9	3,1	10,7	2,8
TiO_2	1,27	0,47	0,25	0,26	<i>c</i>	6,0	2,4	1,1	1,7
Al_2O_3	16,28	1,82	12,19	2,11	<i>b'</i>	24,4	5,4	6,4	2,8
Fe_2O_3	3,46	2,59	0,80	0,80	<i>f'</i>	41,1	8,6	50,7	18,8
FeO	7,85	2,18	3,83	1,40	<i>m'</i>	46,6	9,9	23,0	12,8
MnO	0,15	0,06	0,07	0,04	<i>c'(-a')</i>	7,1	12,0	-23,8	20,1
MgO	7,46	2,73	1,38	1,05	<i>n</i>	80,2	16,6	59,9	23,2
CaO	7,11	3,10	1,06	1,51	<i>\varphi</i>	11,7	9,1	7,1	6,0
Na_2O	3,30	1,35	3,16	1,37	<i>t</i>	1,8	0,7	0,3	0,3
K_2O	1,22	1,39	3,04	2,05	<i>Q</i>	-5,7	9,9	+36,1	10,9
P_2O_5	0,23	0,23	0,06	0,08	<i>d</i>	0,4	0,2	0,7	0,2
ΣFeO	10,96	1,85	4,55	1,79	<i>F</i>	46,7	9,8	67,9	17,5

Примечание. 1 — базальтоидная группа, $n=36$; 2 — кислая группа, $n=54$ (данные В. И. Горшечникова, В. Ф. Михайлова и др., ЗСГУ).

Таблица 103

Петрохимические статистики вулканитов туматтайгинской и тапсинской свит Тувы

Петрохим. показат.	1		2		Петрохим. показат.	1		2	
	\bar{X}	s	\bar{X}	s		\bar{X}	s	\bar{X}	s
SiO_2	51,67	3,55	73,03	4,08	<i>a</i>	8,5	3,1	11,7	1,9
TiO_2	0,97	0,74	0,29	0,16	<i>c</i>	6,4	2,1	1,7	1,1
Al_2O_3	16,10	1,90	12,89	1,54	<i>b'</i>	25,4	5,2	6,7	2,9
Fe_2O_3	3,93	1,51	1,32	1,08	<i>f'</i>	44,2	9,8	52,8	16,5
FeO	7,91	1,82	3,23	1,64	<i>m'</i>	39,5	9,9	25,1	12,2
MnO	0,17	0,09	0,10	0,08	<i>c'(-a')</i>	14,3	11,9	-10,3	25,2
MgO	6,18	2,49	1,32	0,91	<i>n</i>	81,1	23,1	91,2	8,1
CaO	8,59	2,39	1,89	1,55	<i>\varphi</i>	13,7	6,5	14,3	11,9
Na_2O	3,24	1,60	5,10	0,87	<i>t</i>	1,4	1,0	0,3	0,2
K_2O	0,97	1,18	0,76	0,75	<i>Q</i>	-4,6	8,4	+32,2	8,3
P_2O_5	0,27	0,24	0,08	0,06	<i>d</i>	0,4	0,2	0,7	0,1
ΣFeO	11,44	1,73	4,42	1,80	<i>F</i>	52,5	10,4	67,2	16,1

Примечание. 1 — базальтоидная группа, $n=26$; 2 — кислая группа, $n=26$ [Японин, 1970].

Таблица 104

Петрохимические статистики субвулканитов улугойского комплекса

Петрохим. показат.	1		2		Петрохим. показат.	1		2	
	\bar{X}	s	\bar{X}	s		\bar{X}	s	\bar{X}	s
SiO_2	50,63	3,03	74,41	3,12	<i>a</i>	6,7	2,9	10,6	1,9
TiO_2	1,17	0,47	0,31	0,13	<i>c</i>	7,6	1,7	1,8	1,6
Al_2O_3	16,27	2,71	13,02	1,35	<i>b'</i>	27,0	7,5	5,2	2,2
Fe_2O_3	4,58	1,16	1,35	0,89	<i>f'</i>	41,7	11,1	48,1	20,2
FeO	6,84	1,68	2,64	1,27	<i>m'</i>	46,2	10,0	22,0	10,7
MnO	0,18	0,06	0,07	0,05	<i>c'(-a')</i>	11,7	7,5	-15,7	31,8
MgO	7,78	3,89	0,98	0,69	<i>n</i>	90,0	9,9	95,8	5,9
CaO	9,14	2,52	1,88	0,94	<i>\varphi</i>	16,2	7,7	15,0	13,8
Na_2O	2,75	1,27	4,96	1,07	<i>t</i>	1,7	0,7	0,3	0,1
K_2O	0,43	0,46	0,32	0,47	<i>Q</i>	-3,8	7,1	+36,9	4,6
P_2O_5	0,25	0,14	0,06	0,05	<i>d</i>	0,3	0,1	0,7	0,2
ΣFeO	10,95	1,69	3,86	1,62	<i>F</i>	46,9	11,5	70,2	14,2

Примечание. 1 — базальтоидная группа, $n=30$; 2 — кислая группа, $n=9$ [Зайков, 1976].

Таблица 105

Петрохимические статистики вулканитов тунгусской серии

Петрохим. показат.	1		2		Петрохим. показат.	1		2	
	\bar{X}	s	\bar{X}	s		\bar{X}	s	\bar{X}	s
SiO_2	50,93	2,83	73,92	3,70	<i>a</i>	7,1	2,1	10,7	2,5
TiO_2	1,80	0,48	0,35	0,18	<i>c</i>	7,4	1,1	1,3	1,1
Al_2O_3	16,38	0,92	13,60	1,43	<i>b'</i>	25,3	4,6	4,4	1,9
Fe_2O_3	3,89	1,81	1,78	0,66	<i>f'</i>	44,9	6,6	38,3	14,5
FeO	8,09	1,76	1,60	1,06	<i>m'</i>	42,3	6,2	17,8	11,1
MnO	0,21	0,05	0,12	0,17	<i>c'(-a')</i>	10,2	9,7	-43,1	24,2
MgO	6,38	1,69	0,85	0,54	<i>n</i>	83,6	7,8	44,0	24,3
CaO	8,52	1,92	1,18	0,95	<i>\varphi</i>	13,6	7,0	18,1	4,1
Na_2O	2,67	0,89	2,44	1,64	<i>t</i>	2,6	0,7	0,4	0,2
K_2O	0,79	0,44	4,12	1,53	<i>Q</i>	-1,6	5,4	+36,6	9,6
P_2O_5	0,36	0,04	0,05	0,07	<i>d</i>	0,3	0,1	0,6	0,1
ΣFeO	11,58	1,86	3,19	1,38	<i>F</i>	51,0	6,9	68,7	9,2

Примечание. 1 — базальтоидная группа, $n=28$; 2 — кислая группа, $n=12$ [Корнек и др., 1974; Ножкин, Болдырев, 1979].

Таблица 106

Петрохимические статистики вулканитов ассоциации месторождения Озерного

Петрохим. показат.	1		2		Петрохим. показат.	1		2	
	\bar{x}	s	\bar{x}	s		\bar{x}	s	\bar{x}	s
SiO_2	59,35	3,41	69,99	0,83	<i>a</i>	11,3	2,1	10,7	2,2
TiO_2	0,82	0,25	0,46	0,73	<i>c</i>	4,5	1,7	2,8	1,6
Al_2O_3	16,95	3,01	13,70	0,80	<i>b'</i>	14,0	3,7	7,7	3,4
Fe_2O_3	3,18	1,75	1,63	0,75	<i>f'</i>	48,5	13,6	45,4	17,8
FeO	4,92	1,88	3,02	0,67	<i>m'</i>	25,8	9,3	30,0	15,4
MnO	0,27	0,17	0,20	0,57	<i>c'(-a')</i>	2,4	32,2	2,7	31,7
MgO	2,43	0,93	1,52	0,64	<i>n</i>	54,2	24,3	59,8	20,0
CaO	5,44	2,64	3,29	0,79	<i>\phi</i>	16,8	8,8	16,2	8,6
Na_2O	2,76	1,27	3,08	0,78	<i>t</i>	1,0	0,3	0,5	0,4
K_2O	3,63	2,16	3,01	0,80	<i>Q</i>	+8,7	8,7	+30,2	9,0
P_2O_5	0,25	0,12	0,10	0,69	<i>d</i>	0,5	0,1	0,6	0,2
ΣFeO	7,79	1,96	4,48	0,76	<i>F</i>	64,5	9,0	61,0	15,9

Примечание. 1 — базальтоидная группа, $n=18$; 2 — кислая группа, $n=27$ [Васильев, 1977].

Таблица 107

Петрохимические статистики купаширского комплекса

Петрохим. показат.	1		2		Петрохим. показат.	1		2	
	\bar{x}	s	\bar{x}	s		\bar{x}	s	\bar{x}	s
SiO_2	72,89	5,88	54,74	2,00	<i>a</i>	10,1	1,8	6,8	1,2
TiO_2	0,20	0,24	0,66	0,12	<i>c</i>	3,5	2,1	9,8	1,4
Al_2O_3	14,04	1,96	18,75	1,46	<i>b'</i>	4,8	3,7	17,6	3,8
Fe_2O_3	1,82	1,31	4,47	1,35	<i>f'</i>	51,5	17,2	51,9	10,1
FeO	1,34	0,80	4,77	1,61	<i>m'</i>	24,2	12,2	36,6	16,4
MnO	0,04	0,05	0,18	0,11	<i>c'(-a')</i>	-16,0	28,7	11,5	7,6
MgO	1,01	0,99	3,81	2,10	<i>n</i>	74,9	13,7	90,0	5,8
CaO	3,19	1,91	9,18	1,73	<i>\phi</i>	26,3	10,0	23,5	7,8
Na_2O	3,48	0,59	2,66	0,43	<i>t</i>	0,2	0,3	0,9	0,2
K_2O	1,91	1,18	0,47	0,31	<i>Q</i>	+37,2	9,3	+8,1	4,2
P_2O_5	0,08	0,10	0,31	0,50	<i>d</i>	0,6	0,2	0,3	0,1
ΣFeO	2,98	1,86	8,80	1,40	<i>F</i>	68,4	12,8	59,3	17,6

Примечание. 1 — кислая группа, $n=13$; 2 — базальтоидная группа, $n=6$ [Сергеев, 1976].

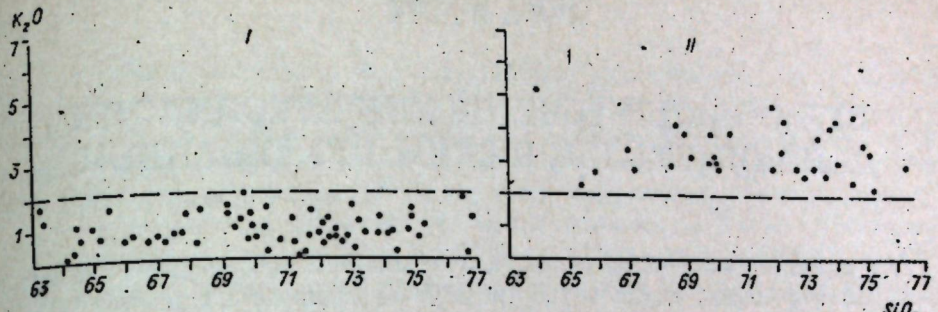


Рис. 14. Распределение кислых пород ассоциаций с колчеданным (I) и колчедано-полиметаллическим (II) оруденением в координатах $\text{SiO}_2-\text{K}_2\text{O}$. Нанесены средние составы по породным группам и типам пород ассоциаций, указанных на рис. 21.

вокупность, т. е. является ведущим. В 3 (5—42%) ассоциациях не установлено преобладания какого-либо уклона, и лишь в 1 (0,3—26%) случае отмечен умеренно щелочной уклон. По оценкам средних K_2O (см. таблицы) среди вулканитов с колчедано-полиметаллическим оруденением встречаются ассоциации с относительно высоким ($\text{K}_2\text{O} = 2\text{--}4\%$), а также и с относительно низким ($\text{K}_2\text{O} = 0,4\text{--}1,5\%$) его содержанием. Первые отмечены чаще: в 11 из 16, или 45—87% на совокупность, ассоциаций по сравнению со вторыми, которые встречены в 5 (13—55%) ассоциациях. Все это сказалось и на оценках натриевости — калиевости по показателю n . По названному показателю ассоциации с высоконатриевым и натриевым уклонами распределены примерно поровну, а в одном случае отмечен натрокалиевый уклон (ассоциация района месторождения Жайрем). Таким образом, по сравнению с кислыми вулканитами собственно колчеданоносных ассоциаций намечается повышение калиевости (рис. 14). Довольно распространенным (10 из 16 ассоциаций, или 39—82%) оказался низкоглиноземистый уклон, в 1 (3—26%) случае отмечен высокоглиноземистый уклон. В 5 (14—58%) ассоциациях выше отмеченные градации глиноземистости развиты без заметного преобладания одной над другой. Общий уклон по титану низкотитанистый, причем крайне низкотитанистые ассоциации отмечены в 9 (33—77%) случаях, весьма низкотитанистые — в 5 (13—55%) случаях на совокупность. С такой же частотой встречаемости фиксируются железомагниевый и магниевый уклоны соответственно.

БАЗАЛЬТОИДНАЯ ГРУППА

Обычно слабее развитые в ассоциациях данного типа базальтоиды встречаются в 13 объектах. В 6 из них, или 22—71% случаях на совокупность, отмечен преобладающий низкощелочной уклон. Также часто устанавливается отсутствие преобладания какого-либо уклона. В 2 (2,8—41%) ассоциациях зафиксирован умереннощелочной уклон. При общей натриевой специализации щелочей высоконатриевые породы преобладают в 6 (22—71%) ассоциациях, что заметно реже, чем в базальтоидах с колчеданным оруденением, где во всех ассоциациях преобладают высоконатриевые разности. Таким образом, и в базальтоидной группе наблюдается некоторое понижение натриевости (по показателю n). Ассоциации с низкоглиноземистым уклоном встречаются несколько чаще (6 из 13, или 22—71%) по сравнению с высокоглиноземистыми (1 из 13, или 4—31%). В 6 случаях какого-либо ведущего уклона по глинозему не обнаруживается. Характерна пониженная титанистость (в 21 из 13, или 59—77% случаях на совокупность, устанавливается низкотитанистый уклон с вариациями до весьма низкотитанистого уклона). По соотношению железа и магния ассоциации с магниевым и железомагниевым уклонами встречаются приблизительно поровну, в 6 и 7 случаях соответственно.

ВУЛКАНО-ПЛУТОНИЧЕСКИЕ АССОЦИАЦИИ С ПОЛИМЕТАЛЛИЧЕСКИМ ОРУДЕНЕНИЕМ

Ассоциации, сопровождающиеся оруденением собственно полиметаллической формации, изучены на примере вулканических и субвулканических комплексов Закарпатья, Родопского массива и некоторых других районов: вулканические ассоциации различных фаз неогенового вулканизма Закарпатья [Малеев, 1964]; неогеновая базальтоидно-риолитовая ассоциация Советского Закарпатья [Белоусов и др., 1981; и др.]; миоценовая низкощелочная риолитоидно-андезитоидная ассоциация Чопской зоны Советского Закарпатья [Белоусов и др., 1981; и др.]; позднемиоценово(?)-плиоценовая низкощелочная риолитоидно-андезитоидная ассоциация советской части Выгорлат-Гутинской зоны; миоценовая риолито-андезитоидная ассоциация Центральной и Восточной Словакии; неогеновая лейкоандезитоидно-риолитовая ассоциация гор Токай, Венгрия [Лазаренко и др., 1968; Белоусов и др., 1981]; миоценовая риолитоидно-андезитовая ассоциация гор Бержени, Венгрия; неогеновая низкощелочная риолитоидно-лейкоандезитоидная ассоциация района Калимани — Гургиу — Харгита, Восточные Карпаты, Румыния [Лазаренко, 1966; Лазаренко и др., 1968; Белоусов и др., 1981]; эоцен-миоценовая базальтоидно-трахилипаратоидная ассоциация Осоговского района, запад Родопского массива, Болгария; эоцен-миоценовая умеренно щелочная андезитоидно-риолитовая ассоциация восточной части Родопского массива, Болгария; эоцен-миоценовая лейкобазальтоидно-риолитовая ассоциация юга Родопского массива [Твалчрелидзе, 1972; Стоянов, 1979; Белоусов и др., 1981]; неогеновая риолитоидно-андезитоидная ассоциация северной части Эгейского моря (Западная Тракия, острова Лемнос, Самотраки); неоген-четвертичная щелочная риолитоидно-андезитовая ассоциация юго-восточной части Эгейского моря (острова Кос, Псеримос, Патмос и п-ов Бодрум); неоген-четвертичная трахилипаратоидно-лейкобазальтоидная ассоциация западного фланга Южно-Эгейской островной вулканической цепи (район Кроммии на Пелопоннесе, п-ов Метана, острова Милос, Порос, Эгина, Санторини, Христиана, Антипарос) [Твалчрелидзе, 1972; Белоусов и др., 1981; и др.]. Названные ассоциации формируются на заключительных орогенных стадиях развития складчатых областей или в зонах тектономагматической активизации серединных массивов. Месторождения преимущественно жильного, реже вкрапленного типа локализуются вблизи развития субвулканических тел, экструзивов в пределах вулкано-тектонических структур и кальдер [Рудные формации..., 1976; Стоянов, 1979]. Кроме отмеченных ассоциаций, свинцово-цинковые месторождения жильного и скарнового типов встречаются с гранитоидами в связи с оловянным, вольфрамовым и медно-молибденовым оруденением [Изох, 1978; Налетов, 1981] или вне связи с названным оруденением. В последнем случае состав гранитоидов также близок к одному из рассмотренных ранее типов [Налетов, 1981]. Таким образом, для ассоциаций со свинцово-цинковым оруденением, и это нужно подчеркнуть особо, характерен повышенный уровень содержания в них калия при различной общей щелочности. Последняя обычно варьирует в рамках умеренно низкощелочного и умеренно щелочного уклонов, о чем подробнее будет сказано ниже.

Петрохимические статистики наиболее характерных и представительных ассоциаций даны в табл. 108—115. Изучение уклонов проведено по оценкам средних и дисперсиям петрохимических показателей. Всего изучено 13 объектов. Общим отличием ассоциаций с оруденением полиметаллической формации от ассоциаций, сопровождающихся колчедановым и колчеданно-полиметаллическим оруденением, является повышенная щелочность за счет более высокого содержания калия (2,5—4% и более) при пониженных концентрациях натрия (в среднем 1,5—3,5%).

КИСЛАЯ ГРУППА

Наиболее часто встречающимся по щелочности оказался умеренно-щелочная уклон, отмеченный в 7 из 13 (или 26—74%) случаев на совокупность. В 4 (11—57%) ассоциациях установлен умеренно низкощелочный уклон. Почти так же часто встречаются ассоциации с вариациями щелочности в рамках умеренно низкощелочного и умеренно щелочного уклонов без заметного превалирования одного над другим. Породы характеризуются, как уже сказано, повышенным содержанием K_2O и пониженным Na_2O , что обусловливает и соответствующий уклон по показателю p . Натрокалиевый уклон отмечен в 6 (22—71%) ассоциациях, умеренно натриевый — в 4 (11—57%) и лишь в 1 (0,4—32%) случае фиксируется высоконатриевая специализация щелочей. Но именно такие высоконатриевые, а также весьма высоконатриевые уклоны характерны для ранее рассматриваемых ассоциаций с колчеданным и колчеданно-полиметаллическим оруденением. Повышенное содержание калия сближает описываемые ассоциации с вулканитами и субвулканитами, несущими золото-серебряное оруденение. Поэтому нередко в рассматриваемых объектах совмещается полиметаллическое и золото-серебряное оруденение. Преобладающим уклоном по содержанию Al_2O_3 является высокоглиноземистый (в 11 из 13 ассоциаций, или 59—97%), а по содержанию титана — низкотитанистый, отмеченный во всех случаях. Для кислых вулканитов и субвулканитов описываемой группы ассоциаций характерна и повышенная железистость, варьирующая в рамках железистого, умеренно железистого, реже высокожелезистого и железомагниевого уклонов. Первый встречен в 11 ассоциациях, т. е. в явном большинстве.

БАЗАЛЬТОИДНАЯ ГРУППА

Базальтоиды ассоциаций с полиметаллическим оруденением имеют то же тенденции в петрохимии, что и породы кислой группы. Это прежде всего повышение общей щелочности и калиевости. Какого-либо устойчивого уклона не устанавливается. Общая щелочность колеблется от низкощелочного, умеренно низкощелочного до субщелочного и умеренно щелочного, встречающихся без заметного преобладания одного над другим. Специализация щелочей в целом — в рамках умеренно натриевого и натрокалиевого уклонов с несколько повышенной частотой встречаемости первого. Он отмечен в 8 ассоциациях из 13, или 35—83% случаев на совокупность. В 2 (2,8—41%) ассоциациях зафиксирован высоконатриевый уклон, в 9 (43—84%) высокоглиноземистый, противопоставляемый среднеглиноземистому, отмеченному в 4 (11—57%) случаях на совокупность. Превалирует как низкотитанистая тенденция, так и железомагниевая. Заканчивая главу, отметим, что материал по ассоциациям данного типа достаточно фрагментарен, поэтому выводы относительно петрохимических особенностей следует рассматривать в качестве предварительных.

Таблица 108

Петрохимические статистики неогеновой базальтоидно-риолитовой ассоциации советского Закарпатья [по А. Ф. Белоусову и др., 1982; и др.]

Петрохим. показат.	\bar{X}	s	1	\bar{X}	s	2	\bar{X}	s
SiO_2	72,76	3,47					56,68	3,31
TiO_2	0,31	0,15					0,93	0,26
Al_2O_3	14,82	1,59					18,11	1,09
Fe_2O_3	1,55	1,06					2,81	1,21
FeO	1,31	1,02					5,56	1,54
MgO	0,35	0,30					3,23	1,09
CaO	2,39	0,80					8,07	1,70
Na_2O	3,42	0,75					2,90	0,39
K_2O	2,93	0,59					1,43	0,65
P_2O_5	0,08	—					0,25	—
ΣFeO	2,71	1,32					8,09	1,56
a	11,4	1,9					8,7	1,5
c(c)	2,7	0,9					8,1	1,3
b'	3,3	1,8					15,8	3,6
n	63,5	7,5					76,4	8,1
Q	+34,9	7,4					+9,0	6,3
F	83,2	11,7					59,2	9,0

Примечание. Кислая группа, n=48 (P_2O_5 =29).

Таблица 110

Петрохимические статистики позднемиоценово (?)-миоценовой низкощелочной риолитоидно-андезитоидной ассоциации советской части Выгорлат-Гутинской зоны [по А. Ф. Белоусову и др., 1982; и др.]

Петрохим. показат.	1		2	
	\bar{X}	s	\bar{X}	s
SiO_2	57,79	3,62	69,97	2,95
TiO_2	0,92	0,36	0,33	0,22
Al_2O_3	18,17	1,72	16,19	1,72
Fe_2O_3	3,63	2,17	1,91	1,37
FeO	4,51	2,10	1,43	1,39
MgO	3,21	1,41	0,68	0,55
CaO	7,75	1,60	3,16	1,33
Na_2O	2,17	0,60	2,94	1,00
K_2O	1,68	0,63	3,21	1,03
P_2O_5	0,17	—	0,11	—
ΣFeO	7,78	1,78	3,15	1,59
a	7,4	1,8	10,9	2,8
c(c)	8,5	1,6	3,6	1,8
b'	14,6	4,2	4,4	2,1
n	66,2	8,9	57,5	10,6
Q	+13,9	7,5	+30,7	5,9
F	59,1	12,4	72,5	14,7

Примечание. 1 — базальтоидная группа, n=103 (P_2O_5 =27); 2 — кислая группа, n=53 (P_2O_5 =21).

Таблица 109

Петрохимические статистики миоценовой низкощелочной риолитоидно-андезитоидной ассоциации Чопской зоны, советское Закарпатье [по А. Ф. Белоусову и др., 1982; и др.]

Петрохим. показат.	1		2	
	\bar{X}	s	\bar{X}	s
SiO_2	56,68	3,31	70,88	3,86
TiO_2	0,93	0,26	0,37	0,25
Al_2O_3	18,11	1,09	15,12	1,33
Fe_2O_3	2,81	1,21	2,68	1,20
FeO	5,56	1,54	0,96	0,98
MgO	3,23	1,09	0,68	0,59
CaO	8,07	1,70	3,05	1,30
Na_2O	2,90	0,39	3,34	0,63
K_2O	1,43	0,65	2,77	0,51
P_2O_5	0,25	—	0,20	—
ΣFeO	8,09	1,56	3,37	1,45
a	8,7	1,5	11,2	1,5
c(c)	8,1	1,3	3,4	1,4
b'	15,8	3,6	4,6	2,5
n	76,4	8,1	64,8	6,3
Q	+9,0	6,3	+32,3	6,2
F	59,2	9,0	77,5	10,2

Примечание. 1 — базальтоидная группа, n=36 (P_2O_5 =12); 2 — кислая группа, n=29 (P_2O_5 =13).

Таблица 111

Петрохимические статистики миоценовой риолитоидно-андезитовой ассоциации гор Бережки, Венгрия [по А. Ф. Белоусову и др., 1982; и др.]

Петрохим. показат.	1		2	
	\bar{X}	s	\bar{X}	s
SiO_2	58,24	2,69	65,94	2,28
TiO_2	0,85	0,22	0,34	0,09
Al_2O_3	18,65	1,42	16,58	2,48
Fe_2O_3	3,16	1,93	2,86	1,71
FeO	4,30	1,56	2,81	3,18
MgO	2,05	0,95	0,42	0,08
CaO	6,83	1,00	4,81	2,12
Na_2O	2,27	0,68	3,18	0,43
K_2O	3,33	1,03	2,74	0,40
P_2O_5	0,17	0,11	0,21	0,10
ΣFeO	7,15	1,67	5,38	3,23
a	10,2	1,7	11,0	1,2
c(c)	7,6	1,5	4,7	1,5
b'	11,9	2,6	7,1	4,0
n	50,8	11,5	63,7	5,0
Q	+11,3	5,8	+24,0	7,0
F	67,0	11,5	85,4	7,0

Примечание. 1 — базальтоидная группа, n=58; 2 — кислая группа, n=5.

Таблица 112

Петрохимические статистики неогеновой низкощелочной риолитоидно-лейкоандезитоидной ассоциации района Калимани — Гургиу — Харгита, Восточные Карпаты, Румыния [по А. Ф. Белоусову и др., 1982; и др.]

Петрохим. показат.	1		2	
	\bar{X}	s	\bar{X}	s
SiO_2	57,78	3,42	67,17	2,34
TiO_2	0,80	0,28	0,48	0,29
Al_2O_3	18,83	1,47	17,12	1,30
Fe_2O_3	3,65	1,72	2,21	1,31
FeO	2,82	1,66	1,16	0,76
MgO	3,47	1,43	1,06	0,82
CaO	7,12	1,29	3,63	0,57
Na_2O	3,52	0,61	4,15	0,70
K_2O	1,68	0,64	2,81	0,99
P_2O_5	0,18	0,11	0,12	0,08
ΣFeO	6,11	1,63	3,15	0,87
a	10,4	1,8	13,1	2,1
c(c)	7,5	1,5	3,9	0,8
b'	13,5	4,3	5,3	2,1
n	76,5	6,6	69,6	9,8
Q	+7,7	6,9	+21,8	7,8
F	51,0	10,2	66,2	19,3

Примечание. 1 — базальтоидная группа, n=147; 2 — кислая группа, n=8.

Таблица 114

Петрохимические статистики эоцен-миоценовой базальтоидно-трахиличитоидной ассоциации Осоговского района, запад Родопского массива, Болгария [по А. Ф. Белоусову и др., 1982; и др.]

Петрохим. показат.	1		2	
	\bar{X}	s	\bar{X}	s
SiO_2	60,45	68,68	2,95	
TiO_2	0,92	0,44	0,10	
Al_2O_3	17,59	15,40	1,30	
Fe_2O_3	3,75	1,99	0,73	
FeO	3,21	0,98	0,53	
MgO	2,75	1,36	0,51	
CaO	5,05	3,08	1,05	
Na_2O	3,29	3,56	0,65	
K_2O	2,54	4,24	0,85	
P_2O_5	0,43	0,21	0,12	
ΣFeO	6,58	2,78	0,84	
a	11,2	13,8	1,2	
c(c)	6,3	3,1	1,1	
b'	11,2	5,5	1,7	
n	66,3	56,0	8,9	
Q	13,5	23,8	6,0	
F	57,5	54,3	8,0	

Примечание. 1 — базальтоидная группа, n=48; 2 — кислая группа, n=42.

Таблица 113

Петрохимические статистики эоцен-миоценовой умеренно щелочной андезитоидно-риолитовой ассоциации восточной части Родопского массива, Болгария [по А. Ф. Белоусову и др., 1982; и др.]

Петрохим. показат.	1		2	
	\bar{X}	s	\bar{X}	s
SiO_2	57,72	72,01		
TiO_2	0,85	0,29		
Al_2O_3	17,36	14,70		
Fe_2O_3	3,71	1,38		
FeO	2,98	0,74		
MgO	3,41	0,72		
CaO	6,84	1,84		
Na_2O	3,23	3,23		
K_2O	3,46	4,97		
$\text{P$				

ГЛАВА V

ПЛУТОНИЧЕСКИЕ АССОЦИАЦИИ С ЖЕЛЕЗНЫМ ОРУДЕНЕНИЕМ

ГЛАВНЫЕ ГЕОЛОГИЧЕСКИЕ ОСОБЕННОСТИ

Уральская складчатая область

Магнитогорский мегасинклиниорий

Магнитогорский комплекс (C_1V_2-3). Массивы: Магнитогорский, Моловский, Северные Борки, Кара-Булакский, Чекинский, Грязнушенский, Богдановский, Греховский. Штокообразные, силяообразные, гипабиссальные, слабо эродированные тела площадью до 150 км^2 . Вмещающие породы: вулканогенные, вулканогенно-осадочные колтубанской (D_3fr) и березовской ($C_1t_2 - n$) свит. Абсолютный возраст пород Магнитогорского массива 300—380 млн. лет (14 калий-argonовых определений) с наиболее часто встречающимися значениями 330 млн. лет, пород Моловского массива — 300, 315, 320, Кара-Булакского — 275 млн. лет. Схема формирования: 1) габбро, мелкозернистые пироксеновые габбро-диабазы; 2) роговообманковые, реже биотит-рогообманковые граносиениты, граниты (в отдельных массивах эгириновые граносиениты, граниты). Дайки первого этапа: лейкократовые амфиболовые граниты, микрограниты. Пос-Сегранитовые дайки граносиенит-порфиров, диабазов, лампрофиров. Лкарновые магнетитовые месторождения в приконтактовых зонах интрузивов [Ферштатер, 1966; Скопина, 1970, 1975; Струве, 1970; Чайко, Ферштатер, 1972; Прокиц, 1977].

Тагильский прогиб

Каледонская натровая формация (S_2-D_1). Западный пояс массивов: Тагильский, Верхне-Баранчинский, Кабанский, Павдинский, Исаковско-Башневский, Князьгинский. Залегает среди осадочно-вулканогенных толщ раннего и среднего палеозоя. Схема формирования: габбро, габбропорфиты, габбро-диориты, диориты, кварцевые диориты, гранодиориты, граносиениты, граниты, плагиограниты. Восточный пояс массивов: Тагило-Невьянский, Балакинский, Красноуральский, Караульская группа массивов, Верхне-Лобвинский, Восточно-Павдинский. Вмещающие — зеленокаменные толщи палеозоя. Состав пород: габбро, диориты, габбропорфиты, кварцевые диориты, гранодиориты, плагиограниты. Скарновые железорудные месторождения в приконтактовых зонах массивов [Малахова, Чурилин, 1972; Овчинников, 1960].

Кали-натровая (гранодиоритовая) формация (D_2-3). Массивы: Ауэрбаховский ($\approx 40 \text{ км}^2$), Барашинский, Взвозный, Васильевско-Москалевский и др. Залегают среди силурийских и среднедевонских вулканогенно-осадочных пород. Сложены габбро-сиенитами, габбро-диоритами, диоритами, кварцевыми диоритами, биотит-рогообманковыми гранодиоритами, гранитами. Дайки диабазов, диоритовых и габбро-диабазовых порфиритов, спессартитов, вогезитов и др. Скарновые магнетитовые месторождения в приконтактовых зонах массивов [Малахова, Чурилин, 1972; Рудные месторождения..., 1978].

Тургайский прогиб

Валерьяновский мегасинклиниорий (структурная фундамента)

Валерьяновский вулкано-плутонический комплекс ($C_1v - n$). Сарбай-соколовский интрузивный комплекс (C_1n). Массивы: Давыдовский, Ломоносовский, Алешинский, Сарбайский, Соколовский, Куржункульский, Елтайский, Адаевский, Бенкалинский, Каракольский и др. Прорывают вулканогенно-осадочные отложения среднего визе—намюра, перекрываются отложениями C_2 . Абсолютный возраст 290—320 млн. лет. Пластовые согласные, реже секущие штокообразные тела размером от 40 до 70, реже до 160 км^2 , гипабиссальные, слабо эродированные. Схема формирования: 1) габбро-порфиты, габбро оливиновое, габбро-диориты; 2) пироксеновые (гиерстеновые) и пироксен-рогообманковые диориты; 3) пироксен-рогообманковые кварцевые диориты, биотит-рогообманковые гранодиориты; 4) аляскитовые граниты. Дайки кварцевых и бескварцевых диорит-порфиритов, габбро-порфиритов, микрографит-порфиров, альбитофиров. Среди плутонических пород резко преобладают базитовые. Скарново-магнетитовые месторождения в экзо- и эндоконтактовых, надинтрузивных зонах массивов. Минеральные типы: скараполитовый (Качарское), скарново-скараполитовый (Соколовское, Сарбайское), скарповый (Адаевское), гидросиликатный (Куржункульское, Шагыркульское), тальково-серпентинитовый (Степное), железорудный. Из околоврудных изменений широко проявленна альбитизация вмещающих эфузивов, в меньшей степени — более поздний кремниевый и калиевый метасоматоз. С поздними фазами ассоциируют рудообразования кварц-молибденитовой рудной формации [Мазина, Ксенофонтов, 1961; Дымкин, 1962; Тетерев, Ксенофонтов, 1969; Бекмухаметов, 1970; Мазина, Райхлин, 1971; Каденская, Савич, 1973].

Зауральское поднятие, Троицко-Кенгуссайский мегасинклиниорий (структурные фундаменты)

Милютинско-Михайловский комплекс (C_1n). Массивы: Михайловский, Кулевчинско-Владимировский, Джетыгаринско-Милютинский, Барамбаевский, Блаковский и др. площадью от 100 до 500—600 км^2 . Прорывают сланцы Pz_1 , порфириты D_2 , аандезитовый комплекс среднего, верхнего визе—намюра. Гипабиссальные среднеэродированные батолитоподобные тела. Схема формирования: 1) габбро, габбро-диабазы, перидотиты; 2) диориты, кварцевые диориты, биотит-рогообманковые гранодиориты, трондемиты, адамеллиты; 3) биотитовые граниты, аляскиты, щелочные аплиты; 4) малые интрузивные граниты, гранит-порфиры, щелочные аплиты; 4) малые интрузии и дайки плагиогранит-порфиров, альбититов, плагиопорфиров, диорит-порфиритов, гранодиорит-порфиров, спессартитов, одинитов. Гранитоидные плутонические породы преобладают над базитовыми. Проявления золота золото-сульфидно-кварцевой рудной формации с минеральными типами: золото-кварцевый, золото-халькопирито-пирито-кварцевый, золото-галенито-блеклорудно-кварцевый. Оруденение скарново-магнетитовой, кварц-молибденитовой рудной формаций [Закономерности..., 1968; Ксенофонтов, Давыдов, 1971; Мазина, Райхлин, 1971; Ксенофонтов, Леонова, 1973].

Складчатая область Малого Кавказа Сомхето-Карабахская зона

Интрузивный комплекс Дашикесана (K_1). Дашикесанский, Зурнабадский и другие интрузивы. Схема формирования: 1) габбро, рогообманковые габбро, габбропорфиты, габбро-диориты, кварцевые диориты; 2)

диориты, тоналиты, базиты, граносиениты, гранодиориты, адамеллиты, граниты преимущественно роговообманковые, реже биотит-роговообманковые; 3) гранит-аплиты, алискиты, лейкограниты, аплиты. Дайки габбро-диабазов, диабазов, диабазовых порфиритов, микродиабазов и т. п. Прорывают вулканогенно-осадочные породы юры (J_{2-3}), перекрываются отложениями конька. Абсолютный возраст от 125 млн. лет (I фаза) до 120 млн. лет (II фаза) и 115 млн. лет (III фаза). Скарновые магнетитовые месторождения [Кашкай, 1965; Шипулин, 1968].

Алтас-Саянская складчатая область

Золотокитатская зона

Ольгинский pluton (O — S). Площадь эродированной части 150 км². Вмещающие — карбонатные отложения верхнего протерозоя, вулканогенные и вулканогенно-осадочные накопления граувакко-порфиритового состава среднего кембрия и нижнего ордовика. Схема формирования: 1) габбро, габбро-диориты, диориты, монцониты, сиенито-диориты; 2) кварцевые диориты, монцониты; 3) биотит-роговообманковые гранодиориты; 4) биотит-роговообманковые диориты, кварцевые диориты; 5) кварцевые диорито-сиениты, сиениты, граносиениты; 6) адамеллиты; 7) лейкократовые биотитовые граниты. Абсолютный возраст по биотиту биотитовых гранитов 444—454 млн. лет. Проявления скарновой магнетитовой, скарновой золоторудной формаций в эндо- и экзоконтактовых зонах [Корель, Кузнецова, 1961; Корель, 1972; Алабин, 1959; Раниепалеозойская..., 1971].

Тельбесский комплекс (S₂). Массивы: Тельбесский, Кайлюкольский, Чернотазский. Диориты, кварцевые диориты по периферии плутонов, биотит-роговообманковые гранодиориты, граниты — в ядре. Дайки диоритовых порфиритов, гранодиорит-порфиритов, гранит-порфиритов, реже аплитов, диабазов и диабазовых порфиритов. Вмещающие — вулканогенно-осадочные породы ϵ_1 и ϵ_2 , осадочные накопления нижнего — среднего, а также нерасчлененные отложения среднего — верхнего ордовика. Абсолютный возраст гранитов по биотиту 201—213 млн. лет, гранодиоритов — 205 млн. лет. Магнетитовые месторождения — Темир-Тау и др. [Богнибов, 1971; Синяков, 1975].

Тейский район Кузнецкого Алатау

Вулканическая ассоциация (D₁) района Тейской группы месторождений и более поздние субвулканиты. Преобладают эфузивы трахиалипаратовой группы, реже развиты базальтоидные и андезитоидные образования. Среди первых — две основные разновидности: кварцевые трахитовые порфиры с уклонением по составу до трахиандезитов и базокварцевые порфиры. Гипабиссальные и субвулканические интрузии представлены небольшими телами кварцевых сиенитов, граносиенитов, сиенит-порфиров. Железное оруденение скарнового и гидросиликатного типов [Поляков, 1971; Корель, 1972; Долгушин и др., 1979].

Сисим-Кызырский синклиниорий

Таят-Табратский ареал раниепалеозойской базит-гранитоидной ассоциации. Канатикский габбровый стратифицированный массив и сопряженная с оруденением габбро-диорит-гранодиоритовая интрузия в составе Хабалыкского и Ефимовского массивов. Вмещающие — терригенно-карбонатные и вулканогенные отложения ϵ_1 — ϵ_2 (балахтисонская и осиповская свиты) в низах и вулканогенные накопления кизирской свиты

(ϵ_2) — в верхах. Оливиновые и роговообманковые габбро, габбро-пориты, габбро-диориты, пироксеновые диориты Канатикского массива связаны взаимопереходами. Габбро-диоритовая интрузия представлена небольшими штокобразными телами и дайками, диоритовая — Хабалыкским массивом и группой небольших тел. Среди более поздних гранодиоритов, гранитов выделяются, с одной стороны, гранодиориты и тоналиты, с другой — лейкократовые граниты с уклоном к трондемитам, граносиенитам. Базитовые породы преобладают над гранитоидными. Завершающими образованиями являются дайковые тела диоритовых порфиритов и лампрофиров. Магнетитовые руды в приконтактовых зонах массивов [Поляков, 1971; Князев, 1975].

Габбро-диорит-гранодиоритовая интрузия (O) Ирбинского рудного поля. Площадь ≈ 25 км². Вмещающие — осадочные отложения ϵ_1 , вулканиты кизирской свиты (ϵ_3 — O). Перекрываются вулканогенной толщей быскарской серии (D₁). Габбро и габбро-пориты развиты в краевой части, монцониты, кварцевые монцониты, гранодиориты и адамеллиты — в эндоконтактовых зонах или слагают апофизы, габбро-диориты и кварцевые диориты, вскрываются скважинами на глубоких горизонтах. Жильные аплиты, микродиориты и диоритовые порфириты редко выходят за пределы интрузии. Магнетитовое оруденение в приконтактовых зонах [Дымкин и др., 1975].

Вулкано-плутонические ассоциации с железным оруденением

Коргонская зона Западного Алтая. Указанная структурно-формационная зона с запада граничит с Рудно-Алтайской, в пределах которой сосредоточены полиметаллические месторождения (см. выше). Металлогенический профиль Коргонской зоны резко отличается от Рудно-Алтайской: в рассматриваемой зоне сосредоточены крупные железорудные месторождения (Холзунское, Иńskое, Белорецкое, Коргонское и др.) и нет полиметаллических (за исключением рудопроявлений). Железо-рудное оруденение практически всеми исследователями связывается с вулканитами. В то же время возраст рудоносных пород в Рудно-Алтайской и Коргонской зонах один и тот же (среднедевонский) и, как говорилось выше, указанные породы рассматриваются в составе одной и той же кварц-кератофировой формации.

В последнее время производственным геологическим объединением «Запсибгеология» в пределах описываемой территории проведены крупномасштабные исследования, результаты которых обобщены Н. Н. Лихачевым и В. В. Мироновым (1979—1980 гг.). В результате этих исследований установлен рудоносный среднедевонский вулкано-плутонический комплекс существенно кислого состава: изучены разрезы вулканитов кварц-кератофировой формации. По данным Н. Н. Лихачева и сотрудников наиболее полным следует считать разрез Кумирско-Коргонской подзоны. Среднедевонские вулканиты здесь расчленяются на две свиты: холзунскую и коргонскую. Рассматриваемые образования залегают на размытой поверхности нижнесилурских известняков и несогласно перекрыты осадочными образованиями верхов эйфеля — живета (см. рис. 18).

Нижняя из упомянутых свит представлена двумя подсвитами: нижней — терригенно-карбонатной и верхней — существенно вулканогенной. Вулканиты относятся к базальтоидному ряду и залегают в виде лав и пирокластолитов. Мощность базальтоидных накоплений составляет 2300 м. Следует отметить, что холзунская свита (или ее стратиграфические аналоги — топчуганская и березовская свиты) в Коргонской зоне распространена не повсеместно.

Выше холзунской свиты в колонках помещается коргонская, состоящая из лав и пирокластолитов кислого состава (количество базальтоидов

Таблица 116

Схема эволюции парагенезисов гранитоидов с железным оруднением

№ п/п	Ассоциации (серии, комплексы, ареалы, плутонии, массивы)	Минеральные классы гранитоидов		
		$\text{SiO}_2=57-63\%$	$\text{SiO}_2=63-69\%$	$\text{SiO}_2=69-75\%$
1	Таят-Табратский комплекс [Поляков, 1971]	III	III	III
2	Тельбесский комплекс [Раниепапе-леозайская..., 1971]	III, IV	III	III
3	Гранитоиды Тейского месторождения [Поляков, 1971]	—	V	—
4	Богдановский массив магнитогорского комплекса [Скопина, 1970]	IV	IV	IV
5	Магнитогорский комплекс [Ферштатер, 1966]	IV	IV	IV

Примечание. III — биотит-рогообманковые гранитоиды; IV — биотит-рогообманковые гранитоиды повышенной щелочности; V — гранитоиды с щелочными темноцветными минералами [Пономарева, Налетов, 1979].

ПЕТРОХИМИЯ ГРАНИТОИДСОДЕРЖАЩИХ ПЛУТОНИЧЕСКИХ АССОЦИАЦИЙ

Петрохимические статистики базитов и гранитоидов приводятся в табл. 117—133.

БАЗИТОВАЯ ГРУППА

Базитовая группа железопосыщих ассоциаций передко преобладает над гранитоидной (магнитогорский, таят-табратский, соколовско-сарбайский и другие комплексы). Петрохимическое описание дается на материале 13 ассоциаций. Ассоциации с повышенной щелочностью в рамках умеренно щелочного и среднешелочного уклона встречаются наиболее часто и зафиксированы в 8 из них, или 35—83% на совокупность. В 1 (0,4—32%) случае отмечен умеренно низкощелочным уклоном. В 4 (11—57%) ассоциациях щелочность варьирует в рамках от умеренно низкощелочного до умеренно щелочного уклона без существенного преобладания какого-либо из них. Характерен общий натриевый уклон с ведущим развитием высокотриевых ($n > 75$) базитов. Последние преобладают в 10 (50,5—93%) ассоциациях, т. е. в большинстве. Низкотитанистые разности, так же как и высокоапортитовые, оказались определяющими в 11 (59—97%) ассоциациях. Содержание глипазема в рамках среднеглипаземистого и высокоглипаземистого уклонов отмечено в 8 ассоциациях, или 35—83% на совокупность, т. е. встречается достаточно часто. Без заметного преобладания встречаются ассоциации с железомагниевыми и умеренно железистыми базитами. Первые обнаружены в 6, а вторые — в 7 ассоциациях.

ГРАНИТОИДНАЯ ГРУППА

Передко менее развитая по сравнению с базитами гранитоидная группа в целом наследует петрохимические признаки базитовой группы. Гранитоиды всех ассоциаций обладают в той или иной мере повышенной щелочностью в интервале от субщелочного, умеренно щелочного до повышенного щелочного уклона шкалы по показателю a . Они зафиксированы соответственно в 6 (19—64%), 8 (30—76%) и 1 (0,3—28%) ассоциациях. При общем натриевом уклоне в отличие от базитов ведущим по соотношению щелочей оказался умеренно натриевый, отмеченный в 14 (72—99,7%) ассоциациях, т. е. в подавляющем большинстве. В его пределах наиболее

МИНЕРАЛЬНЫЙ СОСТАВ ГРАНИТОИДСОДЕРЖАЩИХ ПЛУТОНИЧЕСКИХ АССОЦИАЦИЙ

В табл. 116 представлены некоторые примеры минеральных классов гранитоидов с железным оруднением без учета их статистической распространенности. Обычными минеральными классами гранитоидов, вероятно, являются биотит-рогообманковый и биотит-рогообманковый повышенной щелочности. Встречаются гранитоиды и с щелочными темноцветными минералами. Повышенная щелочность гранитоидов, проявившаяся в минеральных парагенезисах, как будет показано в следующем разделе, согласуется с умеренно повышенной щелочностью по петрохимическим уклонам. Этот признак отличает ассоциации с железным оруднением от колчеданоносных. Статистического материала для характеристики количественно-минерального состава данного типа гранитоидов оказалось недостаточно, поэтому соответствующее описание не приводится. Однако следует отметить, что изученные железопосыщие гранитоиды по химизму весьма близки к золотоносным, что уже было отмечено ранее [Налетов, 1978в], а исходя из общих петрографических описаний выглядят сходным и их минеральный состав. Последнее позволяет в какой-то мере выводы, полученные при статистическом изучении минерального состава золотоносных гранитоидов, экстраполировать на минеральный состав гранитоидов с железным оруднением.

Таблица 117
Петрохимические статистики гранитоидов магнитогорского комплекса

Петрохим. показат.	1		2		3		4	
	\bar{x}	s	\bar{x}	s	\bar{x}	s	\bar{x}	s
SiO_2	60,35	2,44	67,60	2,48	70,59	1,72	69,73	3,00
TiO_2	1,13	0,52	0,66	0,26	0,41	0,14	0,55	0,26
Al_2O_3	15,77	1,48	14,26	1,36	14,21	1,26	14,45	1,31
Fe_2O_3	3,80	1,59	2,33	0,93	1,78	0,73	2,04	0,90
FeO	3,38	1,57	2,82	1,17	1,56	0,98	2,16	1,25
MnO	0,12	0,03	0,09	0,05	0,05	0,03	0,07	0,04
MgO	2,25	0,38	0,83	0,59	0,49	0,25	0,74	0,58
CaO	4,01	0,75	1,85	1,33	1,40	0,78	1,74	1,19
Na_2O	5,21	0,78	5,71	0,97	4,86	1,04	5,23	1,07
K_2O	2,21	0,67	2,80	1,12	3,57	0,94	3,26	1,09
P_2O_5	0,09	0,11	0,02	0,02	0,03	0,04	0,03	0,05
П. п. п. (ΣFeO)	1,16	0,79	0,47	0,53	0,55	0,48	(4,00)	1,59
a	14,7	1,7	16,1	1,7	15,3	1,4	15,5	1,5
c	3,2	1,4	1,1	1,6	1,1	1,2	1,2	1,4
b'	12,1	1,7	6,8	1,4	4,0	0,9	5,5	2,4
f'	54,2	3,7	65,5	16,5	61,2	15,4	61,5	15,7
m'	32,0	5,9	19,1	12,5	17,9	8,3	19,2	10,3
c'(-a')	13,6	6,9	12,7	12,6	-1,0	26,7	4,1	23,7
n	78,1	6,4	75,3	9,4	66,5	9,9	70,2	10,5
φ	27,0	11,2	25,1	11,0	28,5	16,7	26,3	14,1
t	1,4	0,7	0,7	0,3	0,4	0,2	0,6	0,3
Q	+7,0	6,0	+17,6	4,2	+25,1	4,9	+21,4	6,5
d	0,7	0,1	0,9	0,1	0,8	0,1	0,8	0,1
F	62,6	4,7	76,9	16,3	77,6	11,2	76,1	13,3

Примечание. 1 — лейкогранитоиды, n=13; 2 — мелагранитоиды, n=23; 3 — лейкогранитоиды, n=33; 4 — гранитоидная группа, n=63 [Ферштатер, 1966; Скопина, 1970; Струве, 1970; Чайко, Ферштатер, 1972; данные А. А. Холоднова].

Таблица 118
Петрохимические статистики базитов магнитогорского комплекса

Петрохим. показат.	1		2		3		4	
	\bar{x}	s	\bar{x}	s	\bar{x}	s	\bar{x}	s
SiO_2	48,34	1,64	51,19	2,48	54,94	1,70	52,54	4,24
TiO_2	1,66	0,64	1,67	0,74	1,84	0,62	1,61	0,71
Al_2O_3	16,21	1,85	15,85	1,83	15,41	0,85	16,14	1,80
Fe_2O_3	5,34	1,94	5,36	1,72	6,09	1,11	5,56	2,00
FeO	5,58	2,16	5,49	1,73	4,14	1,81	5,16	2,08
MnO	0,13	0,06	0,15	0,13	0,10	0,06	0,15	0,13
MgO	6,37	1,28	4,65	1,03	3,52	0,83	4,98	1,94
CaO	9,87	2,13	7,85	1,65	5,44	1,99	8,05	2,91
Na_2O	3,42	1,12	4,51	0,77	4,74	0,99	4,33	1,13
K_2O	1,03	0,53	1,36	0,50	1,51	0,29	1,39	0,59
P_2O_5	0,12	0,21	0,11	0,16	0,10	0,08	0,10	0,17
П. п. п. (ΣFeO)	1,37	0,91	1,24	0,80	1,33	0,74	(10,16)	2,35
a	9,1	2,3	12,0	1,8	12,8	2,3	11,4	2,8
c	6,5	2,6	4,8	2,2	4,0	1,6	5,0	2,4
b'	26,9	1,1	23,0	2,1	18,2	1,7	22,8	5,7
f'	37,6	8,2	43,8	7,0	51,3	5,0	44,0	9,5
m'	40,9	8,8	34,7	7,2	32,8	6,4	36,2	8,7
c'(-a')	21,5	4,5	21,5	4,0	14,1	9,7	19,6	7,7
n	82,6	10,9	83,4	5,0	82,5	2,7	82,5	7,1
φ	17,2	6,0	20,2	5,6	28,9	5,1	21,7	8,6
t	2,5	0,9	2,4	1,0	2,4	0,8	2,2	1,0
Q	-10,0	2,3	-8,2	4,9	+0,2	3,5	-6,5	7,1
d	0,4	0,2	0,6	0,1	0,6	0,1	0,6	0,2
F	47,6	10,5	55,5	8,7	60,9	6,5	54,5	10,4

Примечание. 1 — мезогаббро, n=17; 2 — лейкогаббро, n=20; 3 — диориты, n=6; 4 — базитовая группа, n=54 [Ферштатер, 1966; Скопина, 1970; Чайко, Ферштатер, 1972; данные А. А. Холоднова].

Таблица 119
Петрохимические статистики гранитоидов каледонской патровой формации Тагильского прогиба

Петрохим. показат.	1		2		Петрохим. показат.	1		2	
	\bar{x}	s	\bar{x}	s		\bar{x}	s	\bar{x}	s
SiO_2	71,23	1,82	69,08	5,67	a	11,4	1,5	11,1	1,7
TiO_2	0,30	0,24	0,40	0,26	c	3,1	1,3	3,9	2,0
Al_2O_3	14,16	0,73	15,38	1,80	b'	4,6	0,8	6,6	3,7
Fe_2O_3	1,35	0,62	1,62	0,83	f'	55,5	12,8	51,8	12,8
FeO	2,04	0,68	2,81	1,60	m'	25,5	5,7	25,4	10,2
MnO	0,03	0,02	0,05	0,05	c'(-a')	-15,6	21,4	-16,6	25,8
MgO	0,85	0,16	1,30	0,83	n	74,3	20,7	73,0	21,6
CaO	2,65	1,13	3,50	1,89	φ	21,0	10,0	19,1	10,3
Na_2O	3,81	0,66	3,82	1,33	t	0,3	0,2	0,4	0,3
K_2O	2,24	1,94	2,03	1,49	Q	+33,8	4,8	+28,1	9,2
P_2O_5	—	—	—	—	d	0,6	0,1	0,6	0,1
ΣFeO	1,25	0,26	4,27	1,91	F	68,2	3,5	67,8	9,4

Примечание. 1 — лейкогранитоиды, n=6; 2 — гранитоидная группа, n=15 [Овчинников, 1960; Знаменский, 1966].

Таблица 120
Петрохимические статистики базитов каледонской патровой формации Тагильского прогиба

Петрохим. показат.	1		2		Петрохим. показат.	3		4	
	\bar{x}	s	\bar{x}	s		\bar{x}	s	\bar{x}	s
SiO_2	45,54	3,68	50,64	3,81	51,01	4,90	48,60	4,84	4,46
TiO_2	0,65	0,53	0,64	0,38	0,54	0,28	0,65	0,46	3,91
Al_2O_3	16,05	3,83	18,09	2,81	20,97	3,73	17,50	2,67	2,62
Fe_2O_3	4,65	3,09	4,38	1,71	3,69	2,09	4,57	0,77	0,77
FeO	7,41	2,32	6,17	1,50	3,76	1,99	6,43	0,98	3,53
MnO	0,34	1,03	0,16	0,08	0,22	0,15	0,27	0,27	2,87
MgO	8,79	3,24	4,98	0,59	3,70	0,89	6,98	0,60	0,60
CaO	12,84	2,23	10,54	2,01	10,28	4,41	11,91	1,23	1,23
Na_2O	1,77	0,88	2,87	0,70	3,20	2,04	2,30	0,36	0,36
K_2O	0,54	0,46	0,58	0,32	0,95	0,79	0,69	0,69	0,69
P_2O_5	0,12	0,45	0,04	0,05	0,13	0,17	0,10	0,10	0,10
П. п. п. (ΣFeO)	1,34	0,84	0,79	0,47	1,18	1,08	10,55	2,94	3,3
a	4,7	2,1	7,4	1,7	10,9	6,1	9,0	3,8	3,8
c	8,7	3,7	9,0	3,1	17,2	1,6	28,1	8,6	8,6
b'	33,6	5,9	23,4	0,8	43,7	12,4	39,1	10,4	10,4
f'	35,1	10,4	43,4	3,7	10,0	41,0	9,9	9,9	9,9
m'	44,0	10,3	37,5	4,4	39,6	10,3	19,8	7,4	7,4
c'(-a')	20,8	7,3	19,1	3,3	16,7	19,7	82,9	11,2	11,2
n	82,7	11,0	88,7	5,1	76,7	19,7	82,9	9,7	9,7
φ	12,4	8,6	16,6	6,3	20,3	12,5	15,7	0,7	0,7
t	1,0	0,9	0,9	0,5	0,8	0,4	1,0	0,7	0,7
Q	-12,2	6,5	-3,2	6,2	-2,6				

Таблица 121

Петрохимические статистики базитов и гранитоидов гранодиоритовой формации Тагильского прогиба

Петрохим. показат.	1		2		Петрохим. показат.	1		2	
	\bar{X}	s	\bar{X}	s		\bar{X}	s	\bar{X}	s
SiO_2	53,85	3,86	64,45	4,41	a	9,3	3,4	13,1	2,7
TiO_2	0,55	0,26	0,25	0,20	c	7,3	2,8	4,8	2,2
Al_2O_3	18,00	1,71	17,01	1,73	b'	20,4	5,8	8,4	3,0
Fe_2O_3	4,19	1,86	2,54	0,99	f'	40,8	9,1	49,1	9,9
FeO	4,59	1,48	2,07	1,05	m'	39,5	6,2	34,5	9,1
MnO	0,13	0,06	0,13	0,24	$c'(-a')$	15,9	13,0	7,8	21,4
MgO	5,01	2,27	1,77	0,72	n	75,8	14,4	71,4	15,3
CaO	8,89	2,96	4,80	2,54	φ	18,1	7,6	25,3	8,7
Na_2O	3,12	1,40	4,16	1,01	t	0,8	0,4	0,3	0,2
K_2O	1,62	1,26	2,74	1,63	Q	-1,01	6,5	+15,9	7,9
P_2O_5	0,04	0,11	0,07	0,17	d	0,4	0,2	0,6	0,2
ΣFeO	8,37	1,90	4,36	1,57	F	50,1	9,5	58,3	6,6

Причина. 1 — базитовая группа, $n=12$; 2 — гранитоидная группа, $n=18$ [Овчинников, 1960; Знаменский, 1966].

Таблица 122

Петрохимические статистики гранитоидов гороблагодатского комплекса

Петрохим. показат.	1		2		3		4	
	\bar{X}	s	\bar{X}	s	\bar{X}	s	\bar{X}	s
SiO_2	66,96	3,01	71,19	1,81	74,21	1,69	68,91	4,51
TiO_2	0,45	0,16	0,29	0,12	0,24	0,20	0,42	0,19
Al_2O_3	15,63	1,54	14,47	1,34	15,00	1,10	15,70	1,67
Fe_2O_3	1,99	1,08	1,35	0,64	0,61	0,46	1,76	1,01
FeO	2,57	0,70	1,87	0,56	0,85	0,43	2,39	0,97
MnO	0,10	0,05	0,07	0,04	0,04	0,02	0,09	0,06
MgO	1,75	0,80	0,88	0,34	0,41	0,26	1,51	0,90
CaO	3,84	1,69	2,29	1,12	1,57	1,28	3,61	2,07
Na_2O	4,27	0,80	4,74	1,04	5,53	1,05	4,44	1,11
K_2O	1,21	0,82	1,22	1,25	0,46	0,30	1,14	0,97
P_2O_5	—	—	—	—	—	—	—	—
П. п. п. (ΣFeO)	1,25	0,62	1,04	0,68	0,68	0,43	(3,98)	1,54
a	11,1	1,8	11,91	2,02	12,3	2,4	11,1	2,2
c	4,3	1,9	2,68	1,33	1,8	1,5	4,0	2,2
b'	7,6	1,5	4,5	0,7	2,0	0,4	6,7	2,8
f'	49,2	12,7	48,9	12,3	32,3	20,5	47,6	13,4
m'	33,8	12,6	23,7	8,0	12,1	5,4	29,4	12,4
$c'(-a')$	-6,8	20,6	-21,3	23,4	-55,6	20,5	-13,7	25,7
n	84,6	9,3	85,6	13,3	95,0	2,9	85,6	10,7
φ	19,6	10,0	18,2	7,9	12,3	12,4	18,3	9,0
t	0,5	0,2	0,3	0,1	0,2	0,2	0,5	0,2
Q	+25,4	6,5	+31,9	5,9	+35,0	6,6	+27,1	7,9
d	0,5	0,1	0,6	0,1	0,6	0,1	0,6	0,1
F	59,0	13,4	66,8	10,1	65,9	22,6	61,5	13,1

Причина. 1 — мелагранитоиды, $n=34$; 2, 3 — лейкогранитоиды, $n=27$, $n=6$; 4 — гранитоидная группа, $n=81$ [Овчинников, 1960; Знаменский, 1966; выборка И. Н. Абрамовича].

Таблица 123

Петрохимические статистики базитов гороблагодатского комплекса

Петрохим. показат.	1		2		3		Петрохим. показат.	1		2		3	
	\bar{X}	s	\bar{X}	s	\bar{X}	s		\bar{X}	s	\bar{X}	s	\bar{X}	s
SiO_2	59,90	2,23	55,64	2,37	57,36	4,70	a	10,1	2,8	9,8	3,6	10,0	3,2
TiO_2	0,64	0,18	0,59	0,12	0,63	0,19	c	6,6	1,7	6,8	2,1	7,1	2,5
Al_2O_3	17,40	1,33	16,86	0,70	17,96	1,73	b'	12,0	1,6	17,3	1,5	15,8	4,6
Fe_2O_3	2,77	1,24	4,30	0,97	3,81	1,69	f'	47,4	9,4	48,5	3,6	47,0	7,0
FeO	3,48	0,97	4,54	1,24	4,21	1,32	m'	38,6	9,6	32,3	8,3	38,4	10,0
MnO	0,45	0,08	0,14	0,04	0,16	0,07	$c'(-a')$	4,1	17,1	19,4	8,3	10,1	13,4
MgO	2,80	0,71	3,49	0,80	3,59	1,31	n	82,8	8,7	88,1	7,8	83,2	9,3
CaO	6,17	1,52	8,00	1,87	7,35	2,40	φ	19,2	7,7	22,2	5,8	20,6	7,6
Na_2O	3,68	1,48	3,77	1,46	3,73	1,33	t	0,8	0,2	0,8	0,2	0,8	0,3
K_2O	1,17	0,69	0,83	0,72	1,17	0,72	Q	+14,5	7,3	+5,6	8,2	+6,4	10,7
P_2O_5	—	—	—	—	—	—	d	0,4	0,1	0,4	0,2	0,4	0,1
П. п. п. (ΣFeO)	1,37	0,69	1,07	(7,64)	2,08	F	54,6	8,9	60,0	6,3	54,8	8,8	

Причина. 1 — лейкограниты, $n=32$; 2 — диориты, $n=8$; 3 — базиты, $n=31$ [Овчинников, 1966; Знаменский, 1966; Ильинников, 1966; др.].

Таблица 124

Петрохимические статистики вулкано-плутонической ассоциации Турагайского прогиба

Петрохим. показат.	1		2		3	
	\bar{X}	s	\bar{X}	s	\bar{X}	s
SiO_2	53,93	3,00	54,49	4,69	65,81	4,86
TiO_2	0,90	0,30	1,29	3,83	0,53	0,20
Al_2O_3	18,41	1,26	17,68	1,58	16,45	2,09
Fe_2O_3	4,21	1,86	4,43	2,51	2,04	1,69
FeO	4,24	1,17	4,71	1,79	2,59	1,19
MnO	0,18	0,11	0,13	0,08	0,08	0,08
MgO	4,35	1,65	4,21	1,14	1,95	0,83
CaO	7,48	2,97	7,46	3,04	4,37	1,97
Na_2O	4,48	1,44	4,24	1,09	3,70	0,90
K_2O	1,68	1,13	1,26	0,78	2,40	1,37
P_2O_5	0,13	0,13	0,10	0,17	0,08	0,08
ΣFeO	8,03	2,02	8,70	2,96	4,42	1,90
a	12,4	3,2	11,2	2,6	11,5	2,4
c	6,0	2,1	6,1	2,6	4,6	2,2
b'	18,1	4,8	18,8	4,9	8,2	2,9
f'	43,1	12,4	43,9	9,3	46,9	12,8
m'	38,6	10,8	37,8	8,3	35,3	10,5
$c'(-a')$	12,4	17,9	14,0	15,9	0,04	22,6
n	79,8	13,3	84,3	8,4	71,0	14,2
Φ	20,1	9,6	19,7	8,9	18,0	10,8
t	1,2	0,5	1,7	4,6	0,6	0,2
Q	-4,6	9,2	-1,7	7,7	+21,4	10,3
d	0,5	0,1	0,5	0,1	0,5	0,1
F	52,0	12,4	53,2	9,0	56,5	11,8

Примечание. 1 — базальтоидная группа (лавы и дайки), $n=46$; 2 — базитовая группа гипабиссальных интрузий, $n=81$; кислая группа гипабиссальных интрузий, $n=26$ [Баклаев, 1978; Бекмухаметов, 1970; Геология СССР, 1971; Дымкин, Шербак, 1973; Дымкин, 1962, 1966; Закономерности..., 1968; Каденская, Савич, 1973; Морионкина, 1964].

Таблица 125

Петрохимические статистики гранитоидов дашкесанского комплекса

Петрохим. показат.	1		2		3	
	\bar{X}	s	\bar{X}	s	\bar{X}	s
SiO_2	64,44	3,18	72,96	3,50	66,48	5,40
TiO_2	0,39	0,29	0,29	0,29	0,29	0,28
Al_2O_3	16,42	1,72	13,27	1,48	16,20	2,36
Fe_2O_3	2,62	1,94	1,78	0,94	3,22	2,16
FeO	2,19	1,60	0,80	0,40	2,03	1,76
MnO	0,13	0,16	0,03	0,05	0,07	0,11
MgO	1,85	0,53	0,80	0,48	1,83	0,82
CaO	4,20	1,33	1,88	0,95	4,02	1,84
Na_2O	3,63	0,83	2,64	1,15	3,33	1,02
K_2O	2,29	1,10	4,04	0,52	2,35	1,46
P_2O_5	0,25	0,31	0,15	0,18	0,17	0,24
$\text{П. и. п. } (\Sigma \text{FeO})$	1,28	0,77	1,31	1,11	(4,93)	2,21
a	11,4	2,6	11,4	2,6	10,6	2,8
c	4,9	2,0	2,2	1,2	4,6	2,3
b'	8,0	1,4	3,6	0,8	8,1	3,3
f'	50,5	9,5	49,8	18,8	50,6	12,3
m'	35,8	8,9	29,7	18,3	33,3	11,7
$c'(-a')$	-4,5	17,0	-14,1	29,1	-8,1	21,8
n	71,5	10,1	47,6	14,7	69,6	18,1
Φ	23,8	13,6	32,6	18,0	29,2	15,5
t	0,5	0,3	0,3	0,3	0,3	0,3
Q	+21,3	6,5	+37,2	8,5	+24,0	10,2
d	0,54	0,1	0,7	0,1	0,5	0,2
F	57,8	8,1	63,1	18,7	60,3	11,0

Примечание. 1 — мелагранитоиды, $n=17$; 2 — лейкогранитоиды, $n=7$; 3 — гранитоиды, $n=27$ [Керимов, 1963; Кашикай, 1965].

Таблица 126

Петрохимические статистики базитов дашкесанского комплекса

Петрохим. показат.	1		2		3		4	
	\bar{X}	s	\bar{X}	s	\bar{X}	s	\bar{X}	s
SiO_2	53,03	4,72	53,74	3,25	57,78	3,87	54,89	3,93
TiO_2	0,22	0,27	0,79	0,45	0,33	0,33	0,55	0,43
Al_2O_3	17,59	3,28	18,76	2,61	18,83	2,51	19,29	2,75
Fe_2O_3	4,09	2,77	4,21	1,81	4,31	1,85	4,13	1,89
FeO	5,60	2,42	4,38	1,59	3,39	1,64	4,49	1,69
MnO	0,02	0,02	0,06	0,09	0,03	0,04	0,04	0,07
MgO	4,77	2,08	3,39	0,95	2,59	0,58	3,71	1,84
CaO	8,99	1,41	8,50	1,27	6,63	1,94	8,40	1,71
Na_2O	2,79	1,04	3,50	0,98	3,29	1,05	3,33	1,06
K_2O	1,09	1,16	1,15	0,88	1,08	1,09	1,10	1,05
P_2O_5	0,02	0,04	0,09	0,17	0,07	0,14	0,06	0,13
$\text{П. и. п. } (\Sigma \text{FeO})$	1,37	0,62	0,98	0,67	1,07	0,73	(8,21)	1,80
a	8,0	1,4	9,8	2,7	9,1	3,3	9,2	2,9
c	8,3	3,1	8,0	2,4	7,6	2,9	8,2	2,7
b'	20,8	0,9	17,1	1,7	12,7	1,3	17,2	4,9
f'	44,3	10,8	46,8	11,1	50,6	10,3	47,6	12,1
m'	40,4	17,2	33,7	7,8	32,3	8,7	34,9	11,7
$c'(-a')$	15,0	15,0	14,7	17,3	-3,4	21,8	8,6	19,2
n	79,1	21,8	82,9	11,1	84,5	13,2	83,4	13,8
Φ	17,4	11,6	21,1	8,3	27,7	14,5	21,0	11,1
t	0,3	0,4	1,1	0,6	0,4	0,4	0,7	0,6
Q	+1,4	8,8	+1,5	7,8	+11,3	6,9	+2,4	9,3
d	0,3	0,1	0,4	0,1	0,4	0,2	0,4	0,1
F	53,6	15,6	57,5	10,5	61,1	7,5	57,6	12,4

Примечание. 1 — лейкогаббро, $n=6$; 2 — диориты, $n=17$; 3 — лейкогранитоиды, $n=25$; 4 — базитовая группа, $n=42$ [Керимов, 1963; Кашикай, 1965].

Таблица 127

Петрохимические статистики базитов и гранитоидов Ольгинского ареала

Петрохим. показат.	1		2		Петрохим. показат.	1		2	
	\bar{X}	s	\bar{X}	s		\bar{X}	s	\bar{X}	s
SiO_2	69,24	3,06	54,30	3,70	a	14,6	1,32	12,4	2,0
TiO_2	0,38	0,17	0,90	0,33	c	2,3	0,8	5,3	1,7
Al_2O_3	14,98	1,25	17,20	1,56	b'	5,5	2,0	19,4	5,6
Fe_2O_3	1,28	1,37	2,73	1,38	f'	59,8	11,3	44,8	10,2
FeO	2,41	0,75	6,12	1,73	m'	22,9	9,0	33,7	7,5
MnO	0,11	0,17	0,12	0,08	$c'(-a')$	6,6	19,8	21,0	11,5
MgO	0,83	0,52	3,99	1,98	n	64,1	10,4	74,0	7,8
CaO	2,59	1,08	8,02	2,40	Φ	17,6	13,3	13,4	9,3
Na_2O	4,36	0,80	4,13	0,69	t	0,4	0,2	1,2	0,5
K_2O	3,71	1,15	2,25	0,89	Q	+22,8	7,0	-4,7	7,2
P_2O_5	0,13	0,07	0,24	0,13	d	0,7	0,1	0,5	0,1
ΣFeO	3,55	1,00	8,58	1,43	F	71,9	10,8	56,5	8,6

Примечание. 1 — гранитоидная группа, $n=12$; 2 — базитовая группа, $n=28$ [Гран-непалеозойская..., 1971; Корель, 1972; Корель, Кузнецова, 1961]; неопубликованные коллекции А. С. Калугина, Г. Ф. Горелова).

Таблица 128

Петрохимические статистики базитов и гранитоидов Тельбесского ареала

Петрохим. показат.	1		2		3		4	
	\bar{X}	s	\bar{X}	s	\bar{X}	s	\bar{X}	s
SiO_2	65,52	2,96	68,91	1,79	67,73	3,18	52,47	5,42
TiO_2	0,51	0,22	0,35	0,12	0,46	0,22	1,03	0,40
Al_2O_3	16,20	1,10	15,39	1,06	16,0	1,10	18,63	1,93
Fe_2O_3	1,61	0,66	1,13	0,44	1,44	0,68	3,38	1,78
FeO	3,13	0,75	2,12	0,62	2,72	0,88	6,59	2,24
MnO	0,10	0,05	0,06	0,03	0,08	0,05	0,16	0,07
MgO	1,54	0,65	0,73	0,35	1,29	0,81	4,43	1,39
CaO	3,65	1,09	2,12	1,05	3,05	1,36	8,60	3,01
Na_2O	3,92	0,67	4,05	0,61	4,01	0,63	3,20	0,83
K_2O	2,78	0,56	3,55	0,76	3,15	0,80	1,38	0,92
P_2O_5	0,08	0,09	0,07	0,05	0,08	0,08	0,12	0,17
ΣFeO	1,05	0,56	1,15	0,56	4,01	1,11	9,63	2,58
a	12,7	1,7	13,9	1,2	13,1	1,6	9,3	2,4
c	4,0	1,2	2,4	1,0	3,3	1,4	8,1	2,5
b'	7,5	1,7	4,4	1,3	6,4	2,5	20,1	5,3
f'	53,8	8,8	51,5	14,1	52,2	11,5	47,8	9,0
m'	31,0	10,7	21,2	11,9	27,7	12,8	38,2	7,3
$c'(-a')$	-4,4	19,9	-20,9	26,8	-11,0	24,4	11,5	10,8
n	68,0	5,6	63,4	7,2	66,2	6,7	79,0	11,1
φ	16,2	5,6	16,6	7,8	16,3	6,9	14,6	7,0
t	0,6	0,3	0,4	0,1	0,5	0,3	1,5	0,7
Q	+20,3	5,9	+25,1	4,0	+22,2	5,6	-2,2	8,8
d	0,6	0,1	0,7	0,1	0,6	0,1	0,4	0,1
F	63,6	9,4	71,8	12,2	66,3	12,1	55,0	8,2

Примечание. 1 — мелагранитоиды, $n=33$; 2 — лейкогранитоиды, $n=29$; 3 — гранитоидная группа, $n=66$; 4 — базитовая группа, $n=37$ (Богицков, 1971б; Раннепалеозойская..., 1971; Синяков, 1975); 30 химанализов из неопубликованной выборки В. С. Мурзина, ЗСГУ).

Таблица 129

Петрохимические статистики гранитоидов талт-табратского комплекса

Петрохим. показат.	1		2		3	
	\bar{X}	s	\bar{X}	s	\bar{X}	s
SiO_2	68,06	2,22	72,64	1,46	71,89	3,43
TiO_2	0,56	0,26	0,32	0,10	0,39	0,22
Al_2O_3	14,13	1,24	13,51	0,50	13,98	0,96
Fe_2O_3	2,00	0,70	0,83	0,40	1,17	0,77
FeO	3,49	1,47	2,43	0,71	2,66	1,21
MnO	0,06	0,04	0,04	0,02	0,05	0,03
MgO	0,28	0,52	0,67	0,41	0,75	0,57
CaO	3,21	0,80	1,49	0,55	2,49	1,84
Na_2O	3,99	0,63	3,99	0,74	3,88	0,72
K_2O	2,17	1,02	3,03	0,69	2,66	0,96
P_2O_5	0,05	0,06	0,08	0,08	0,06	0,07
ΣFeO	0,83	0,22	0,72	0,42	(3,72)	1,66
a	11,7	0,9	12,7	1,7	12,0	2,9
b	3,3	0,6	1,6	0,6	2,5	2,5
c	7,0	1,7	4,1	0,8	5,1	2,6
d	66,0	16,0	53,9	13,7	56,6	15,1
e	19,4	6,6	19,7	12,5	18,5	11,2
f	4,2	18,6	-21,9	22,4	-13,3	26,8
g	73,4	11,6	66,6	7,3	69,4	9,1
h	24,2	8,8	13,1	7,3	16,3	9,0
i	0,6	0,3	0,3	0,1	0,4	0,2
j	+28,3	5,2	+32,9	5,6	+32,1	6,3
k	0,6	0,1	0,7	0,1	0,7	0,1
l	76,1	10,5	73,7	12,0	75,4	12,8

Примечание. 1 — мелагранитоиды, $n=6$; 2 — лейкогранитоиды, $n=10$; 3 — гранитоидная группа, $n=19$ [Дифференцированные..., 1974; Поляков, 1971; Кузнецов, 1975]; 13 химанализов из неопубликованной выборки Ш. Д. Курцерайт.

Таблица 130

Петрохим. показат.	1		2		3		4		5		6	
	\bar{X}	s										
SiO_3	47,09	1,05	48,79	2,29	53,40	2,61	54,89	2,01	59,48	2,64	54,09	4,27
TiO_2	1,42	0,56	1,74	0,95	1,65	0,35	1,40	0,36	1,01	0,26	1,45	0,51
Al_2O_3	14,67	1,84	15,88	0,86	16,30	1,47	16,98	1,16	16,54	1,03	16,53	1,44
Fe_2O_3	4,20	1,82	3,43	1,47	2,70	0,84	2,47	1,26	1,87	0,81	2,81	1,38
FeO	8,90	1,96	8,53	2,02	7,82	1,99	6,55	0,97	5,45	1,03	7,27	1,85
MnO	0,18	0,05	0,16	0,02	0,15	0,07	0,14	0,06	0,16	0,17	0,16	0,09
MgO	8,84	2,61	6,61	1,43	4,34	0,99	3,75	0,73	2,29	0,84	4,70	2,42
CaO	10,99	1,62	9,95	1,75	8,73	1,94	7,06	1,25	6,85	1,81	8,26	2,48
Na_2O	1,97	0,35	2,52	0,39	3,92	0,71	3,85	0,57	3,58	0,78	3,47	0,93
K_2O	0,44	0,18	0,66	0,38	0,86	0,47	1,23	0,58	1,24	0,72	1,01	0,62
P_2O_5	0,20	0,22	0,30	0,27	0,24	0,14	0,28	0,22	0,21	0,17	0,26	0,20
ΣFeO	1,47	0,77	1,47	0,80	1,40	0,70	1,22	0,54	0,93	0,61	(9,80)	2,39
a	5,0	0,8	6,6	1,4	10,0	1,8	10,5	1,7	10,0	2,2	9,2	2,6
b	7,3	1,6	7,6	1,0	6,0	1,3	6,4	1,6	6,4	1,3	6,6	1,5
c	33,0	3,3	26,7	1,2	22,0	1,1	17,6	1,4	13,3	1,0	20,9	6,4
d	37,2	7,6	41,3	8,1	45,5	9,6	49,5	6,9	53,1	9,1	47,0	9,2
e	44,8	9,1	41,3	8,7	33,5	7,2	36,9	6,2	29,4	9,3	36,6	8,8
f	18,0	5,4	17,4	5,6	21,0	8,9	13,6	4,4	16,6	4,0	16,3	8,0
g	87,0	5,4	85,7	6,1	87,5	5,5	83,3	6,4	81,8	8,8	84,4	6,9
h	11,3	5,2	10,9	3,9	10,6	3,7	12,4	6,5	12,2	5,1	11,7	5,3
i	2,2	0,8	2,6	1,5	2,3	0,5	1,9	1,3	0,3	2,0	1,7	0,8
j	-8,0	3,8	-4,5	3,0	-1,8	5,5	+3,2	3,3	+14,3	7,5	+1,7	7,8
l	0,3	0,1	0,3	0,1	0,5	0,1	0,4	0,1	0,4	0,1	0,4	0,1
m	45,2	9,3	49,7	9,5	56,8	7,1	64,3	9,3	55,9	9,5	55,9	10,0

ПРИМЕЧАНИЯ. 1 — мелагранитоиды, $n=8$; 2 — мезогаббро, $n=7$; 3 — мезогаббро, $n=11$; 4 — лейкогаббро, $n=11$; 5 — диориты, $n=11$; 6 — базиты, $n=11$; 7 — лейкогранитоиды, $n=11$; 8 — лейкограниты, $n=11$; 9 — базиты, $n=11$; 10 — базиты, $n=11$; 11 — базиты, $n=11$; 12 — базиты, $n=11$; 13 — базиты, $n=11$; 14 — базиты, $n=11$; 15 — базиты, $n=11$; 16 — базиты, $n=11$; 17 — базиты, $n=11$; 18 — базиты, $n=11$; 19 — базиты, $n=11$; 20 — базиты, $n=11$; 21 — базиты, $n=11$; 22 — базиты, $n=11$; 23 — базиты, $n=11$; 24 — базиты, $n=11$; 25 — базиты, $n=11$; 26 — базиты, $n=11$; 27 — базиты, $n=11$; 28 — базиты, $n=11$; 29 — базиты, $n=11$; 30 — базиты, $n=11$; 31 — базиты, $n=11$; 32 — базиты, $n=11$; 33 — базиты, $n=11$; 34 — базиты, $n=11$; 35 — базиты, $n=11$; 36 — базиты, $n=11$; 37 — базиты, $n=11$; 38 — базиты, $n=11$; 39 — базиты, $n=11$; 40 — базиты, $n=11$; 41 — базиты, $n=11$; 42 — базиты, $n=11$; 43 — базиты, $n=11$; 44 — базиты, $n=11$; 45 — базиты, $n=11$; 46 — базиты, $n=11$; 47 — базиты, $n=11$; 48 — базиты, $n=11$; 49 — базиты, $n=11$; 50 — базиты, $n=11$; 51 — базиты, $n=11$; 52 — базиты, $n=11$; 53 — базиты, $n=11$; 54 — базиты, $n=11$; 55 — базиты, $n=11$; 56 — базиты, $n=11$; 57 — базиты, $n=11$; 58 — базиты, $n=11$; 59 — базиты, $n=11$; 60 — базиты, $n=11$; 61 — базиты, $n=11$; 62 — базиты, $n=11$; 63 — базиты, $n=11$; 64 — базиты, $n=11$; 65 — базиты, $n=11$; 66 — базиты, $n=11$; 67 — базиты, $n=11$; 68 —

Окончание табл. 132

Петрохим. показат.	1		2		3		4		5	
	\bar{X}	s	\bar{X}	s	\bar{X}	s	\bar{X}	s	\bar{X}	s
a	14,8	2,5	15,6	1,3	13,8	1,6	12,2	1,9	11,9	1,8
c	2,7	2,0	1,6	0,7	4,2	3,3	5,2	2,4	6,0	2,3
b'	9,9	3,6	8,2	3,1	12,2	1,8	17,9	1,3	17,7	3,2
f'	48,3	10,4	52,8	14,1	47,0	5,0	42,3	5,1	47,3	4,7
m'	35,4	9,3	28,2	9,1	32,2	5,8	33,4	3,9	34,9	3,8
$c'(-a')$	16,3	8,9	11,4	18,1	15,4	16,0	18,3	6,1	17,8	6,0
n	66,0	11,0	70,4	10,5	79,9	11,0	80,4	8,7	81,9	7,5
Φ	11,6	7,2	15,0	8,3	19,5	6,3	22,1	6,3	20,4	5,5
t	0,8	0,2	0,8	0,3	1,1	0,2	1,6	0,6	1,5	0,4
Q	+12,9	6,2	+15,8	5,7	+7,0	8,6	-0,3	4,8	-1,2	6,1
d	0,7	0,2	0,8	0,1	0,6	0,2	0,6	0,2	0,5	0,1
F	56,8	11,1	63,9	12,2	58,8	5,8	58,9	4,1	57,2	3,8

Примечание. 1 — мелагранитоиды, $n=6$; 2 — гранитоидная группа, $n=12$; 3 — лейкограниты, $n=10$; 4 — диориты, $n=9$; 5 — базитовая группа, $n=20$ [Дымкин и др., 1975; Поляков, 1971].

Таблица 133

Петрохимические статистики гранитоидов района Тейского месторождения

Петрохим. показат.	\bar{X}	s	Петрохим. показат.	\bar{X}	s
SiO_2	69,43	2,07	a	15,3	2,2
TiO_2	0,59	0,22	c	1,9	1,1
Al_2O_3	15,36	0,99	b'	4,9	1,3
Fe_2O_3	0,94	0,78	f'	53,4	13,8
FeO	2,31	0,70	m'	20,2	8,7
MnO	0,06	0,02	$c'(-a')$	2,2	31,5
MgO	0,72	0,37	n	70,2	14,5
CaO	2,28	0,99	Φ	13,7	10,0
Na_2O	5,08	1,23	t	0,6	0,2
K_2O	3,20	1,28	Q	+21,5	5,9
P_2O_5	0,05	0,07	d	0,8	0,1
ΣFeO	3,16	0,96	F	72,4	11,7

Примечание. Число анализов $n=39$ [Поляков, 1971].
данные Л. В. Алабина, С. С. Долгушкина.

Таблица 131

Петрохимические статистики базитов и гранитоидов Базыбайского ареала

Петрохим. показат.	1		2		Петрохим. показат.	1		2	
	\bar{X}	s	\bar{X}	s		\bar{X}	s	\bar{X}	s
SiO_2	70,14	4,27	52,28	3,71	a	14,23	2,6	10,5	2,4
TiO_2	0,38	0,16	1,16	0,53	c	2,0	2,9	6,5	1,6
Al_2O_3	14,57	2,38	17,32	1,83	b'	5,4	2,0	21,8	5,9
Fe_2O_3	1,39	0,66	3,94	1,28	f'	50,8	8,7	45,9	12,2
FeO	2,13	0,61	6,17	0,90	m'	33,5	8,9	37,4	9,5
MnO	0,04	0,01	0,09	0,04	$c'(-a')$	-0,5	19,3	16,7	5,9
MgO	1,24	0,62	5,02	2,62	n	68,7	14,7	77,4	14,3
CaO	2,06	2,04	8,42	2,25	Φ	16,0	8,9	16,8	7,1
Na_2O	4,55	0,75	3,68	1,09	t	0,4	0,2	1,7	0,8
K_2O	3,38	1,87	1,57	0,87	Q	+24,3	5,6	-5,2	5,8
P_2O_5	0,12	0,08	0,35	0,15	d	0,8	0,2	0,4	0,1
ΣFeO	3,38	1,00	9,72	1,60	F	62,0	9,8	54,4	12,8

Примечание. 1 — гранитоидная группа, $n=15$; 2 — базитовая группа, $n=18$ [Кумсев, 1973].

Таблица 132

Петрохимические статистики базит-гранитоидной ассоциации района Ирбинского месторождения

Петрохим. показат.	1		2		3		4		5	
	\bar{X}	s								
SiO_2	63,58	4,97	66,40	3,97	59,46	5,19	53,81	1,90	55,04	3,43
TiO_2	0,72	0,13	0,70	0,23	0,91	0,16	1,14	0,42	1,12	0,33
Al_2O_3	15,08	0,87	14,96	0,89	16,47	3,13	16,27	2,41	17,66	2,31
Fe_2O_3	1,45	1,27	1,75	1,27	2,84	1,02	4,50	1,45	4,23	1,44
FeO	3,68	1,67	3,29	1,34	3,40	0,55	4,59	1,81	4,70	1,56
MnO	0,15	0,06	0,14	0,07	0,14	0,07	0,10	0,09	0,14	0,08
MgO	2,09	0,93	1,71	0,98	2,36	0,55	3,41	0,58	3,59	0,75
CaO	3,41	1,34	2,84	1,59	5,20	2,73	6,70	1,55	7,52	1,92
Na_2O	4,41	1,02	5,05	1,07	4,92	0,91	4,33	1,09	4,46	1,00
K_2O	3,55	1,46	3,15	1,20	1,92	1,13	1,52	0,63	1,43	0,62
P_2O_5	—	—	—	—	—	0,17	0,20	0,11	0,16	—
П. п. п. (ΣFeO)	1,22	1,43	(4,87)	2,05	1,54	0,62	1,98	0,96	(8,51)	1,59

Таблица 134

Петрохимические статистики вулкано-плутонического палеоген-неогенового комплекса района месторождения Раздан

Петрохим. показат.	1		2		Петрохим. показат.	1		2	
	\bar{x}	s	\bar{x}	s		\bar{x}	s	\bar{x}	s
SiO ₂	60,20	2,47	63,41	1,70	a	13,9	1,8	14,1	0,50
TiO ₂	0,70	0,14	0,61	0,20	c	4,3	1,1	4,1	0,6
Al ₂ O ₃	16,83	0,54	16,68	0,71	b'	12,9	3,3	8,9	1,4
Fe ₂ O ₃	4,17	0,60	3,71	0,42	f'	42,5	6,0	52,1	8,3
FeO	1,79	0,87	1,28	0,48	m'	37,5	5,2	30,9	8,8
MnO	0,07	0,04	0,13	0,19	c'(-a')	20,0	4,8	17,0	3,6
MgO	2,93	1,17	1,68	0,56	n	70,5	5,0	67,8	3,6
CaO	5,72	0,73	4,62	0,52	φ	29,2	8,2	37,1	9,6
Na ₂ O	4,47	0,93	4,34	0,31	t	0,9	0,2	0,7	0,2
K ₂ O	2,79	0,44	3,13	0,34	Q	+5,8	8,1	+13,2	3,7
P ₂ O ₅	0,33	0,10	0,41	0,15	d	0,6	0,1	0,6	0,04
ΣFeO	5,54	0,80	4,62	0,37	F	52,7	6,4	62,2	10,4

Примечание. 1 — базальтоидная группа, n=18; 2 — кислая группа, n=14. [Остроумова, Станкевич, 1973].

Таблица 135

Петрохимические статистики базальтоидных вулканитов средне-верхнекембрийской ассоциации Салаира

Петрохим. показат.	\bar{x}	s	Петрохим. показат.	\bar{x}	s
SiO ₂	53,82	3,98	a	11,0	2,9
TiO ₂	1,13	0,35	c	5,6	2,1
Al ₂ O ₃	17,59	1,96	b'	20,0	4,0
Fe ₂ O ₃	4,74	1,75	f'	47,8	7,2
FeO	6,16	2,10	m'	37,4	7,4
MnO	0,16	0,10	c'(-a')	3,8	16,8
MgO	4,73	1,46	n	92,2	8,0
CaO	6,23	2,52	φ	19,7	8,3
Na ₂ O	4,64	1,35	t	1,6	0,5
K ₂ O	0,57	0,56	Q	-3,6	8,7
P ₂ O ₅	0,21	0,16	d	0,5	0,1
ΣFeO	10,43	2,05	F	55,8	7,2

Примечание. Число анализов n=47 (данные В. В. Бессоненко, Г. М. Куприка, ЗГГУ).

Таблица 136

Петрохимические статистики базальтоидных вулканитов (субвулканитов) юрцемпейского комплекса

Петрохим. показат.	\bar{x}	s	Петрохим. показат.	\bar{x}	s
SiO ₂	51,40	4,60	a	8,8	2,9
TiO ₂	2,15	1,56	c	6,0	2,6
Al ₂ O ₃	16,14	2,18	b'	22,9	6,8
Fe ₂ O ₃	5,16	2,68	f'	45,3	12,6
FeO	6,60	2,57	m'	36,4	12,4
MnO	0,18	0,05	c'(-a')	13,0	11,3
MgO	5,61	2,47	n	79,9	18,9
CaO	7,80	2,62	φ	18,7	10,2
Na ₂ O	3,45	1,17	t	3,0	2,0
K ₂ O	1,25	1,70	Q	-2,6	10,9
P ₂ O ₅	0,26	0,25	d	0,4	0,2
ΣFeO	11,24	2,35	F	53,7	15,1

Примечание. Число анализов n=64 (Вулканический комплекс..., 1973).

часто встречаются породы с $n > 65$, что отмечено в 11 из 15 случаев, или в 49–90% на общую совокупность. Характерен общий железистый уклон гранитоидов всех ассоциаций, причем в 9 (36–80%) из них превалирующим оказался умеренно железистый уклон. С одинаковой частотой встречаются устанавливаются высокоглиноземистый и весьма низкотитанистый уклоны, зафиксированные в 11 (49–90%) ассоциациях соответственно. В 2 (2,4–36%) ассоциациях устанавливаются низкоглиноземистый и крайне низкотитанистый уклоны, а также весьма низкоанортитовый. В 12 (56–94%) случаях фиксируется общий низкоанортитовый уклон.

ПЕТРОХИМИЯ ВУЛКАНИЧЕСКИХ АССОЦИАЦИЙ, ПРЕДШЕСТВУЮЩИХ ПЛУТОНИЧЕСКИМ АССОЦИАЦИЯМ С ЖЕЛЕЗООРУДЕНЕНИЕМ СКАРНОВОГО ТИПА

Названных ассоциаций у нас немного, поэтому ниже приводится самая общая характеристика их по данным табл. 134–136. Отметим, что они уже несут те характерные петрохимические черты, что сближает их, с одной стороны, с плутоническими железоносными ассоциациями и, с другой — отличает от более ранних колчеданоносных ассоциаций. Как можно судить по приведенным таблицам, эти особенности заключаются в следующем. Прежде всего отметим повышенную щелочность в рамках умеренно щелочного уклона и натриевую специализацию щелочей. Последняя в базальтоидах варьирует от умеренно натриевого до высоконатриевого уклона, в кислых вулканитах отвечает умеренно натриевому уклону. Содержания глинозема фиксируются ассоциации как с низкоглиноземистым, так и с высокоглиноземистым уклоном.

ПЕТРОХИМИЯ ВУЛКАНО-ПЛУТОНИЧЕСКИХ АССОЦИАЦИЙ С МАГНЕТИТ-ГЕМАТИТОВЫМ ОРУДЕНЕНИЕМ

Особенности химизма ассоциаций названного типа рассмотрены на примере магматитов Холзуно-Коргонской зоны Алтая и районов Киришавары, Луоссавары и др. (Северная Швеция). Для ассоциаций названных районов в отличие от ранее описанных железоносных ассоциаций характерно преобладание пород кислой группы над базальтоидной (рис. 15, а также обзор Л. Н. Формозовой (1965)). Состав оруденения магнетит-гематитовый, руды парагенетически связаны с вулканическими толщами. Для рудоносных вулканитов Северной Швеции Л. Н. Формозова отмечает общую высокую щелочность (сумма щелочей — 10–12%), изменчивое отношение натрия к калию как по простирианию, так и по падению в салических разностях вулканитов, натриевую специализацию щелочей в основных и средних вулканитах. Подчеркивается также изменчивость соотношения щелочей от района к району развития рудопосадной формации. В табл. 137–145 даны петрохимические статистики различных ареалов девонских рудоносных вулканитов Горного Алтая, а также вулканитов района Северной Швеции. В целом для кислых вулканитов Алтая характерна повышенная щелочность в рамках умеренно щелочного уклона, в некоторых ареалах фиксируется пониженная щелочность в пределах умеренно низкощелочного уклона (калиевые вулканиты района Калгутинского месторождения, вулканиты районов месторождений Рудный лог, Среднекедровского и Верхнекедровского). Здесь необходимо отметить, что в последних случаях, возможно, происходит смещение выборки в сторону низкощелочных разновидностей за счет их избыточного опробования. Как будет показано ниже (в главе VI) на примере изучения рудоносной

Таблица 137
Петрохимические статистики вулканитов района Холзунского месторождения

Петрохим. показат.	\bar{X}	s	Петрохим. показат.	\bar{X}	s
SiO_2	73,97	3,99	a	13,3	3,3
TiO_2	0,36	0,28	c	0,6	0,9
Al_2O_3	12,88	1,60	b'	3,7	1,8
Fe_2O_3	1,98	1,31	f'	55,7	23,5
FeO	1,27	0,66	m'	12,7	11,9
MnO	0,06	0,05	$c'(-a')$	-25,0	31,2
MgO	0,48	0,57	n	38,5	31,6
CaO	0,64	0,84	φ	30,7	20,1
Na_2O	2,52	2,20	t	0,4	0,3
K_2O	5,76	3,21	Q	+33,6	11,0
P_2O_5	0,09	0,12	d	0,8	0,2
ΣFeO	3,05	1,33	F	80,6	17,7

Примечание. Число анализов $n=67$ (данные Б. А. Снежко, ЗСГУ).

Таблица 138
Петрохимические статистики вулкано-плутонической ассоциации Кумиро-Коргонского района

Петрохим. показат.	1		2		3		4		5	
	\bar{X}	s								
SiO_2	70,54	4,05	74,69	1,89	74,88	2,21	56,87	3,98	50,74	3,01
TiO_2	0,49	0,24	0,25	0,16	0,29	0,10	0,80	0,18	1,93	0,62
Al_2O_3	13,76	1,75	12,33	1,28	13,02	0,88	18,14	2,22	15,95	1,62
Fe_2O_3	2,65	1,78	1,08	0,88	1,03	0,95	4,48	2,29	4,12	1,63
FeO	2,20	1,59	1,67	0,84	1,84	0,93	4,91	2,06	7,72	1,53
MnO	0,10	0,21	0,06	0,08	0,05	0,03	0,13	0,05	0,30	0,21
MgO	0,86	0,80	0,14	0,15	0,51	0,34	4,71	2,37	6,55	1,93
CaO	1,02	0,93	0,41	0,42	0,71	0,55	3,58	2,23	7,50	2,40
Na_2O	3,37	1,80	1,67	2,06	5,01	1,27	4,55	0,81	3,70	1,44
K_2O	4,89	2,82	7,66	3,14	2,59	2,24	1,60	0,74	1,10	1,62
P_2O_5	0,12	0,09	0,02	0,01	0,06	0,06	0,22	0,11	0,40	0,27
ΣFeO	4,58	1,91	2,64	1,11	2,77	1,07	8,94	1,20	11,42	1,80
a	13,9	2,3	14,1	2,8	13,7	1,2	12,0	1,9	9,7	2,5
c	0,9	0,9	0,1	0,4	0,7	0,7	3,6	2,4	5,8	2,3
b'	5,9	2,6	2,8	1,1	3,6	1,5	16,7	4,0	25,5	3,5
f'	58,9	17,0	64,9	19,6	52,6	29,8	41,6	9,9	44,2	9,4
m'	16,9	13,0	5,7	4,2	17,2	12,3	35,8	15,2	42,8	8,9
$c'(-a')$	-16,1	24,0	-10,9	34,1	-23,3	16,8	-15,0	22,6	12,4	7,5
n	51,3	25,8	23,8	27,2	74,3	20,8	81,3	8,4	83,7	21,4
φ	31,0	19,1	21,5	18,8	17,8	15,7	19,6	11,9	14,2	6,7
t	0,5	0,3	0,3	0,2	0,3	0,1	1,0	0,2	2,8	0,8
Q	+25,8	10,0	+34,4	6,1	+33,1	5,3	-0,9	8,9	-7,1	5,7
d	0,8	0,1	0,9	0,2	0,9	0,2	0,5	0,1	0,5	0,2
F	77,2	15,2	91,8	6,1	75,0	17,1	54,6	14,6	50,2	9,8

Примечание. Кислая группа: 1 — лавы, $n=54$; 2 — субвулканиты, $n=27$; 3 — гипабиссальные интрузии, $n=32$. Базальтоидная группа: 4 — лавы, $n=23$; 5 — субвулканические и гипабиссальные интрузии, $n=22$ (коллекция В. Г. Пономарева, выборка О. И. Никонова из коллекций разных авторов, ЗСГУ).

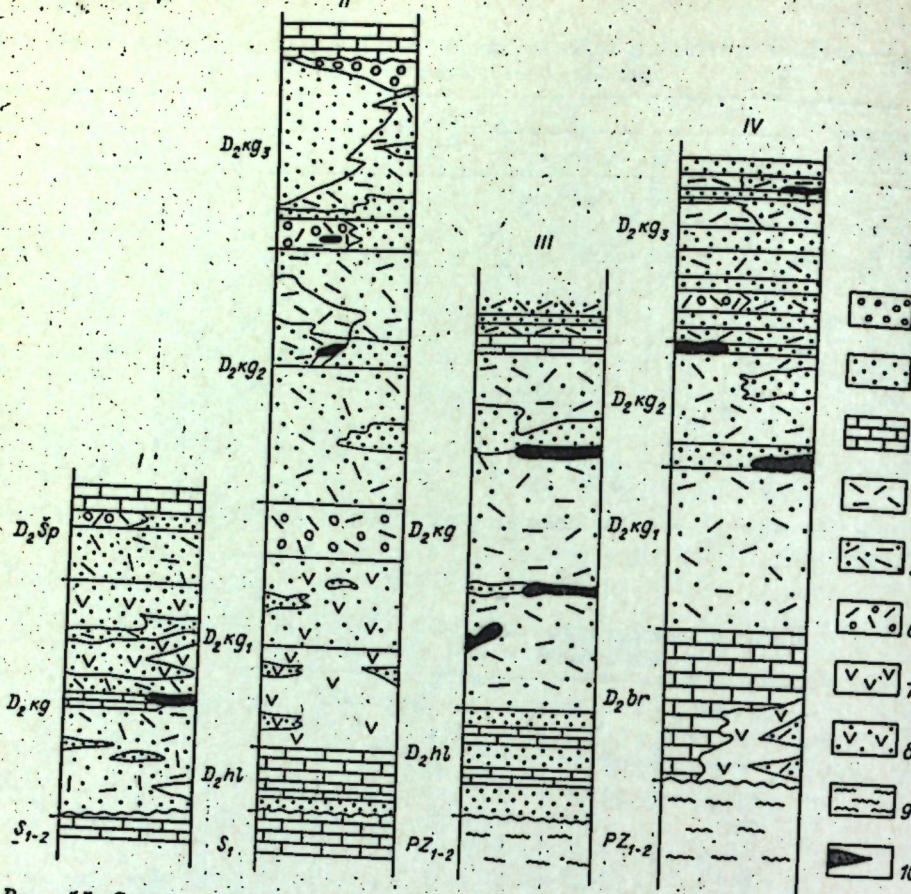


Рис. 15. Stratigraphic columns of Middle Devonian deposits of the Холзунско-Коргонской зоны Горного Алтая.
I — Ильинское месторождение, II — Кумиро-Коргонский район, III — Коксинский район, IV — Холзунское месторождение; kg_{1..3} — нижний, средний, верхний подсвиты коргонской свиты; sp — спикуловская, br — березовская, hl — холзунская свиты.
1 — конгломераты; 2 — песчаники; 3 — известники; 4 — лавы; 5 — туфы кислого состава; 6 — вулканогенно-осадочные породы; 7 — базальтоиды; 8 — их туфы; 9 — метаморфические сланцы; 10 — магнетитовые туфы.

вулканогенной толщи Холзунско-Коргонской зоны, последняя оказывается неоднородной по общей щелочности. При этом замечено, что оруденение локализуется в пределах средней и верхней подсвит коргонской свиты, породы которых обладают повышенной щелочностью и относительно повышенной глиноземистостью. К тому же вулканиты нижней подсвиты коргонской свиты характеризуются пониженной общей щелочностью, глиноzemистостью и не содержат железного оруденения. Как и в Северной Швеции, в разных ареалах железоносных девонских вулканитов Алтая наблюдаются вариации в соотношении щелочей в рамках от умеренно калиевого уклона (вулканиты и субвулканиты Кумиро-Коргонского района, вулканиты районов месторождений: Холзунского, Рудный лог, Среднекедровского и Верхнекедровского, калиевые вулканиты района Калгутинского месторождения) до умеренно натриевых (гипабиссальные интрузии Кумиро-Коргонского района) и высоконатриевых (вулканиты района Тимофеевского месторождения). Повышенную щелочность и калиевость имеют кислые вулканиты Северной Швеции (см. табл. 145). По содержанию глиноzemиста намечается устойчивая тенденция к его пониженным содержаниям по сравнению с ранее изученными железоносными ассоциациями. Общий уклон по соотношению железа и магния — железистый, по содержанию титана — низкотитанистый.

Таблица 139

Петрохимические статистики кислых вулканитов района месторождения Рудный лог

Петрохим. показат.	\bar{X}	s	Петрохим. показат.	\bar{X}	s
SiO_2	75,33	2,01	<i>a</i>	11,4	2,7
TiO_2	0,19	0,02	<i>c</i>	0,5	0,4
Al_2O_3	12,80	1,17	<i>b'</i>	3,5	0,7
Fe_2O_3	2,84	1,15	<i>f'</i>	38,6	8,2
FeO	0,53	0,45	<i>m'</i>	10,1	5,7
MnO	0,08	0,05	<i>c'(-a')</i>	-51,3	6,3
MgO	0,44	0,20	<i>n</i>	35,2	14,7
CaO	0,44	0,36	<i>φ</i>	30,9	10,6
Na_2O	2,02	1,24	<i>t</i>	0,2	0,01
K_2O	5,30	1,40	<i>Q</i>	+38,2	8,3
P_2O_5	0,02	0,02	<i>d</i>	0,7	0,1
ΣFeO	3,09	0,95	<i>F</i>	78,5	11,3

Примечание. Число анализов $n=5$ (данные В. Г. Пономарева).

Таблица 140

Петрохимические статистики кислых вулканитов района Среднекедровского и Верхнекедровского месторождений

Петрохим. показат.	\bar{X}	s	Петрохим. показат.	\bar{X}	s
SiO_2	72,97	2,03	<i>a</i>	12,1	2,9
TiO_2	0,29	0,09	<i>c</i>	0,6	0,3
Al_2O_3	14,06	2,04	<i>b'</i>	4,1	1,8
Fe_2O_3	1,61	1,15	<i>f'</i>	38,8	23,2
FeO	1,59	0,61	<i>m'</i>	15,1	8,1
MnO	0,20	0,50	<i>c'(-a')</i>	-46,1	26,5
MgO	0,75	0,46	<i>n</i>	26,0	18,5
CaO	0,53	0,28	<i>φ</i>	18,6	15,4
Na_2O	1,60	1,33	<i>t</i>	0,3	0,1
K_2O	6,36	1,51	<i>Q</i>	+32,6	7,5
P_2O_5	0,04	0,03	<i>d</i>	0,7	0,2
ΣFeO	3,04	1,45	<i>F</i>	68,1	15,6

Примечание. Число анализов $n=9$ (данные В. Г. Пономарева).

Таблица 141

Петрохимические статистики кислых вулканитов района Калгутинского месторождения

Петрохим. показат.	1		2		Петрохим. показат.	1		2	
	\bar{X}	s	\bar{X}	s		\bar{X}	s	\bar{X}	s
SiO_2	67,94	3,58	71,33	3,54	<i>a</i>	14,9	2,2	9,2	2,7
TiO_2	0,87	0,28	0,55	0,33	<i>c</i>	1,1	1,3	1,2	1,0
Al_2O_3	15,59	2,18	14,39	2,81	<i>b'</i>	6,4	2,6	6,2	1,8
Fe_2O_3	4,01	2,88	2,71	1,65	<i>f'</i>	55,1	25,4	37,2	14,0
FeO	1,62	1,20	2,51	1,13	<i>m'</i>	14,5	5,9	13,7	8,5
MnO	0,04	0,02	0,07	0,04	<i>c'(-a')</i>	-26,2	28,5	-47,0	21,9
MgO	0,90	0,53	1,04	0,59	<i>n</i>	79,8	14,5	18,6	13,8
CaO	1,09	1,14	1,06	0,82	<i>φ</i>	34,8	25,8	18,0	11,6
Na_2O	5,72	1,79	0,87	0,75	<i>t</i>	1,0	0,3	0,6	0,4
K_2O	2,06	1,51	5,36	1,66	<i>Q</i>	+18,4	6,8	+34,1	9,0
P_2O_5	0,16	0,13	0,41	0,12	<i>d</i>	0,8	0,2	0,5	0,2
ΣFeO	5,23	2,23	4,95	1,59	<i>F</i>	76,1	14,4	72,8	11,3

Примечание. 1 — породы натриевого типа, $n=6$; 2 — породы калиевого типа, $n=17$ (данные В. Г. Пономарева).

Таблица 142

Петрохимические статистики вулканитов района Тимофеевского месторождения

Петрохим. показат.	1		2		Петрохим. показат.	1		2	
	\bar{X}	s	\bar{X}	s		\bar{X}	s	\bar{X}	s
SiO_2	54,36	1,54	72,61	4,02	<i>a</i>	11,2	2,5	13,1	2,9
TiO_2	1,03	0,77	0,34	0,23	<i>c</i>	5,3	1,5	1,1	1,6
Al_2O_3	16,52	1,23	13,11	1,49	<i>b'</i>	21,4	2,3	5,0	2,5
Fe_2O_3	2,26	0,52	2,52	1,94	<i>f'</i>	40,4	12,1	52,4	18,7
FeO	6,96	3,22	1,59	1,39	<i>m'</i>	40,3	8,7	16,2	9,7
MnO	0,21	0,06	0,05	0,04	<i>c'(-a')</i>	17,6	13,7	-7,0	36,8
MgO	5,14	1,03	0,54	0,39	<i>n</i>	86,6	6,1	62,3	18,4
CaO	7,81	2,74	1,70	1,28	<i>φ</i>	8,9	1,7	28,7	18,1
Na_2O	4,44	0,94	4,02	1,65	<i>t</i>	1,4	1,0	0,4	0,2
K_2O	1,10	0,62	3,43	1,80	<i>Q</i>	-3,8	4,3	31,0	10,7
P_2O_5	0,18	0,05	0,09	0,05	<i>d</i>	0,5	0,1	0,8	0,2
ΣFeO	8,99	2,84	3,86	2,10	<i>F</i>	48,9	13,1	76,6	13,6

Примечание. 1 — базальтоидная группа, $n=7$; 2 — кислая группа, $n=20$ (данные Ю. В. Робертуса, ЗСГУ).

Таблица 143

Петрохимические статистики вулканитов района Ильского месторождения

Петрохим. показат.	1		2		Петрохим. показат.	1		2	
	\bar{X}	s	\bar{X}	s		\bar{X}	s	\bar{X}	s
SiO_2	54,81	5,04	72,59	4,64	<i>a</i>	10,8	3,1	12,9	2,1
TiO_2	1,43	0,47	0,54	0,40	<i>c</i>	4,1	2,0	1,5	0,6
Al_2O_3	15,11	1,13	13,10	1,40	<i>b'</i>	22,6	6,5	5,5	2,7
Fe_2O_3	3,85	1,57	1,36	1,18	<i>f'</i>	45,0	10,8	53,8	13,2
FeO	7,17	1,55	2,30	1,19	<i>m'</i>	38,9	9,9	22,7	11,0
MnO	0,20	0,06	0,10	0,13	<i>c'(-a')</i>	8,2	16,5	-5,0	24,0
MgO	5,74	2,75	0,99	0,89	<i>n</i>	85,7	15,2	67,8	23,2
CaO	6,04	3,71	1,81	0,96	<i>φ</i>	15,1	8,1	17,3	10,0
Na_2O	4,40	1,64	4,26	2,19	<i>t</i>	2,0	0,8	0,6	0,4
K_2O	0,95	0,94	2,81	2,60	<i>Q</i>	-2,0	7,8	+31,5	10,2
P_2O_5	0,31	0,24	0,13	0,12	<i>d</i>	0,6	0,2	0,8	0,01
ΣFeO	10,63	1,41	3,53	1,96	<i>F</i>	53,0	11,3	69,6	12,48

Примечание. 1 — базальтоидная группа, $n=14$; 2 — кислая группа, $n=34$ (данные Ю. В. Робертуса, ЗСГУ).

ГЛАВА VI

СРАВНИТЕЛЬНЫЙ АНАЛИЗ И ДИАГНОСТИКА МАГМАТИЧЕСКИХ ОБРАЗОВАНИЙ С РАЗНОЙ РУДОНОСНОСТЬЮ

В данной главе целесообразно подчеркнуть те из выявленных особенностей состава изученных ассоциаций, которые могли бы служить критериями их отличий друг от друга, а также от ассоциаций с оловянным, вольфрамовым и медно-молибденовым оруденением, описанных ранее [Налетов, 1981]. Как показало статистическое изучение минерального состава и химизма, гранитоиды с золотым оруденением характеризуются преобладающим биотит-рогообманковым минеральным классом [Пономарева, Налетов, 1979], реже встречаются биотит-рогообманковые гранитоиды повышенной щелочности. На заключительных этапах формирования ассоциаций появляется ограниченно развитый биотитовый минеральный класс. Еще позднее, при образовании мелких штоков и даек в некоторых ассоциациях могут встретиться гранитоиды с высокоглиноземистыми минералами. В редких случаях (их у нас всего 2 из 48, или 0,7–13% из совокупности) золотоносные ассоциации полностью сложены биотитовыми гранитоидами (кунушский комплекс) или гранитоидами с высокоглиноземистыми минералами (пластовский комплекс). Соотношение полевых шпатов плагиоклазовое ($\text{Пл} \geq \text{КПШ}$) во всех типах пород. Из акцессорных рудных минералов весьма характерен магнетит (кг/т). Биотиты обладают пониженной железистостью. Она колеблется по оценкам средних от $F_{\text{общ}}=61 \pm 2,1$ в кварцевых диоритах до $F_{\text{общ}}=63,5 \pm 1$ в мелагранитоидах и $F_{\text{общ}}=67,4 \pm 1,6$ — в лейкогранитоидах. Исходя из соответствующих гистограмм, наиболее часто встречающиеся значения железистости биотита укладываются в рамках $F_{\text{общ}}=60–65$ для мелагранитоидов. Кроме того, биотиты золотоносных гранитоидов отличаются низкими содержаниями фтора. Последние по оценкам средних составляют $F=0,34 \pm 0,1$ как в мелагранитоидах, так и в лейкогранитоидах. Из петрохимических признаков отметим прежде всего натриевую специализацию щелочей, устойчивую во всех типах пород. Натриевое соотношение щелочей ($\text{Na}_2\text{O} \geq \text{K}_2\text{O}$) типично для мелагранитоидов и лейкогранитоидов большинства ассоциаций. Кроме того, важно подчеркнуть, преобладание разностей с $\text{Na}_2\text{O} > 4$ и $\text{K}_2\text{O} \leq 3,5$, а также с показателем $n > 60–65$, причем нередки ассоциации, где преобладают породы с показателем $n > 75$. Для базитов, предшествующих золотоносным гранитоидам, в сложных ассоциациях следует отметить натриевую специализацию щелочей, причем преобладают разности с $n > 75$.

Все отмеченные минералогические и петрохимические признаки являются диагностическими по отношению к гранитоидсодержащим ассоциациям с оловянным, вольфрамовым и медно-молибденовым (в случае преобладания молибдена над медью) оруденением. Из перечисленных признаков в предшествующих работах лишь натриевое соотношение щелочей было признано определяющим. Этот признак действительно наиболее сильный, естественно, был замечен в первую очередь. Он прекрасно действует и в графическом представлении на так называемых статистико-петрохимических диаграммах [Изох, 1978]. Ранее нами в диагностике гранитоидов была особо подчеркнута роль калия, флюктуации которого наиболее сильно сопряжены с особенностями ассоциированного оруденения [Налетов, 1978б, в; 1981]. В связи с этим были определены статистически обоснованные количественные рубежи по Na_2O и K_2O , явившиеся в данном случае медианами общих распределений гранитоидов по этим окислам [Налетов, 1978а; Пономарева, Налетов, 1979]. Наряду

Таблица 144

Петрохимические статистики базитов и гранитоидов района Инского месторождения

Петрохим. показат.	1		2		Петрохим. показат.	1		2	
	\bar{x}	s	\bar{x}	s		\bar{x}	s	\bar{x}	s
SiO_2	74,76	3,95	54,93	3,44	<i>a</i>	13,0	1,1	9,5	1,8
TiO_2	0,30	0,28	1,34	0,54	<i>c</i>	1,3	0,9	6,3	2,1
Al_2O_3	13,07	1,04	16,40	1,76	<i>b'</i>	3,9	2,2	20,3	3,4
Fe_2O_3	1,15	0,79	4,31	0,79	<i>f'</i>	54,7	16,7	44,6	8,3
FeO	1,75	0,83	5,32	1,19	<i>m'</i>	21,6	14,1	38,0	10,5
MnO	0,08	0,11	0,10	0,03	<i>c'(-a')</i>	-19,5	19,8	17,4	7,1
MgO	0,68	0,59	4,63	1,59	<i>n</i>	80,7	16,6	75,8	9,6
CaO	1,29	0,98	8,06	1,89	<i>Ф</i>	19,0	9,4	18,7	4,7
Na_2O	5,02	1,14	3,22	0,60	<i>t</i>	0,3	0,3	1,8	0,7
K_2O	1,83	1,59	1,63	0,90	<i>Q</i>	+34,3	7,6	+2,5	5,6
P_2O_5	0,07	0,05	0,08	0,07	<i>d</i>	0,8	0,1	0,4	0,1
ΣFeO	2,79	1,36	9,19	1,25	<i>F</i>	70,6	20,9	54,0	10,5

Примечание. 1 — гранитоидная группа, $n=24$; 2 — базитовая группа, $n=13$ (по Ю. В. Индукаеву и др.).

Таблица 145

Петрохимические статистики магматической ассоциации района Кируновары

Петрохим. показат.	1		2		3	
	\bar{x}	s	\bar{x}	s	\bar{x}	s
SiO_2	52,17	6,79	70,88	2,88	62,68	5,05
TiO_2	1,36	0,50	0,48	0,22	1,25	0,52
Al_2O_3	15,17	1,91	13,71	1,26	16,43	0,94
Fe_2O_3	8,59	8,03	2,11	1,62	3,70	2,23
FeO	6,12	3,63	2,08	1,80	2,27	1,54
MnO	0,14	0,16	0,05	0,05	0,07	0,08
MgO	3,59	2,12	0,82	0,54	0,97	0,64
CaO	4,90	2,75	0,92	0,71	1,68	0,96
Na_2O	5,21	1,37	4,01	1,66	6,08	2,26
K_2O	2,45	2,04	4,79	2,28	4,72	3,17
P_2O_5	0,29	0,31	0,12	0,23	0,15	0,19
ΣFeO	13,85	9,47	3,99	1,82	5,60	3,40
<i>a</i>	14,9	3,8	15,2	2,6	19,9	0,9
<i>c</i>	2,6	2,3	0,9	0,7	0,9	0,5
<i>b'</i>	22,6	8,1	5,2	2,3	8,1	4,6
<i>f'</i>	55,6	19,2	64,8	12,7	66,3	14,3
<i>m'</i>	28,3	13,4	20,8	11,2	19,3	5,0
<i>c'(-a')</i>	16,2	8,7	-8,2	15,6	13,8	11,8
<i>n</i>	78,2	14,6	55,4	22,0	65,9	23,1
<i>Ф</i>	31,0	18,1	35,1	22,0	40,8	16,9
<i>t</i>	1,9	0,6	0,5	0,2	1,5	0,7
<i>Q</i>	-12,7	11,9	+24,7	7,8	+1,5	9,7
<i>d</i>	0,7	0,2	0,9	0,1	0,9	0,1
<i>F</i>	64,8	17,6	75,7	13,0	76,5	7,7

Примечание. 1 — базитовая группа, $n=20$; 2 — кислая группа, $n=20$; 3 — щелочно-салическая группа, $n=7$ (выборки Л. Н. Формозовой (1985), А. С. Калугина (1968)).

с петрохимическими полюдочными диагностическими роль могут выполнять и минералогические признаки: прежде всего плагиоклазовое соотношение полевых шпатов, а также состав и количество рудных аксессориев, железистость биотита, минеральный состав гранитоидов и его эволюция в процессе формирования ассоциаций.

Ассоциации, сопровождающиеся золото-серебряным оруденением, характеризуются следующими особенностями. В кислой группе среди вкрапленников следует отметить преобладающий плагиоклаз, уступающий ему в количественном отношении, и постоянно присутствующий калишпат. В некоторых случаях фиксируется преобладание калишпата над плагиоклазом. Среди рудных аксессориев обычен магнетит. В отличие от золотоносных гранитоидов в кислых породных группах этих ассоциаций нет устойчивой натриевой тенденции и ассоциации с ведущим калиевым соотношением ($K_2O > Na_2O$) встречаются часто. Нередки ассоциации с ведущим $K_2O > 3,5$ и $Na_2O \leq 4$. Последнее хорошо проявляется на рис. 21. Превалируют кислые разности с ведущим $n \leq 65$, нередки и такие, где чаще встречаются породы с $n \leq 60$. Преобладают высокоглиноземистый и общий железистый уклоны. В базальтоидах ассоциаций с золото-серебряным оруденением фиксируется ведущий умеренно натриевый уклон ($50 < n \leq 75$) в отличие от высоконатриевого ($n > 75$) уклона базитов золотоносных ассоциаций.

Эти особенности состава проявились и в оценках средних соответствующих петрохимических показателей. По отмеченным петрохимическим признакам названные ассоциации четко отличаются от гранитоидов, сопровождающихся золотым оруденением (рассмотрены выше) и сближаются, с одной стороны, с ассоциациями, несущими оловянное оруденение, а с другой — с медно-молибденосными ассоциациями.

Для пород кислой группы колчеданоносных ассоциаций среди вкрапленников преобладает плагиоклаз, обычен уступающий ему в количественном отношении кварц. Важно подчеркнуть практически полное отсутствие среди выделений калишпата. Последний в незначительном количестве появляется в субвулканитах, реже в лавах ассоциаций, сопровождающихся колчедано-полиметаллическим оруденением. Рудный аксессорный минерал — магнетит, реже титано-магнетит, ильменит. Для гранитоидов, сходных с колчеданоносными вулканитами и завершающих сложные вулкано-плутонические ряды, характерно практическое отсутствие калишпата, высокое (до 65%), обычно до 50%, содержание кварца. Калишпат может появляться в незначительных количествах в гранодиоритах. Ведущим минеральным парагенезисом является биотит-роговообманковый, причем биотит нередко отсутствует. Состав аксессорных минералов может быть весьма разнообразен: магнетит, галенит, сфalerит, халькопирит, пирит, арсенопирит, рутил, сфеен, флюорит, турмалин и др. Общая железистость биотита (по ограниченному данным) может варьировать от очень низкой (12% — в гранодиоритах иртышской серии) до достаточно высокой (75—76% — в гранитоидах Енисейского plutona). Общей диагностической петрохимической особенностью кислых пород ассоциаций с колчеданным и колчедано-полиметаллическим оруденением является общая повышенная щелочность, укладывающаяся преимущественно в рамках низкощелочного и умеренно низкощелочного уклонов ($a \leq 12,5$). Несколько чаще встречается низкоглиноземистый уклон в противоположность высокоглиноземистому, а также железомагниевый и магниевый уклоны — в противоположность железистому. По специализации щелочей общая выборка ассоциаций с колчеданным и колчедано-полиметаллическим оруденением оказалась неоднородной, что, впрочем, было уже замечено ранее [Колчеданные месторождения..., 1979]. На рис. 21, I отчетливо фиксируются повышенные значения калия (по оценкам средних от 1,5—2% K_2O), характерные для кислых вулканитов и субвулканитов ассоциаций с кол-

чеданным, медноколчеданным и медно-цинковым оруденением. Аналогичная тенденция устанавливается и для гранитоидов. Напротив, ассоциации с колчедано-полиметаллическим и колчедано-свинцово-цинковым оруденением отличаются повышенной калиевостью, оценки средних которых располагаются выше уровня 2%. Важно отметить, что повышается с повышенным или соответственно пониженным содержанием в рудах свинца. При значительном количественном сдвиге в рудах в сторону цинка ассоциации, сопровождающиеся свинцово-цинковым оруденением, имеют пониженные содержания калия по сравнению с теми ассоциациями, в рудах которых преобладает свинец. Примером первых могут служить рудоносные ассоциации Салаира, Туры, Западного Саяна [Дистанов, 1977], некоторые ассоциации Кавказа. Экстремально низкие содержания калия для вулканитов с колчеданным оруденением обусловливают преобладание высоконатриевого ($n > 75$) общего уклона в противоположность ассоциациям с колчедано-полиметаллическим и колчедано-свинцово-цинковым оруденением. В последних высоконатриевый и умеренно натриевый уклоны развиты без заметного преобладания, а в одном случае отмечен даже натрокалиевый уклон. Все сказанное в отношении специализации кислых пород можно отнести и к базальтоидным. Базальтоиды ассоциаций первого типа отличаются высоконатриевым уклоном от общего натриевого уклона базальтоидов ассоциаций второго типа. Общий уклон по щелочности базальтоидов обоих типов повышенный (низкощелочной и умеренно щелочной уклоны). Преобладают ассоциации с низкоглиноземистыми базальтоидами, а также с магниевым и железомагниевым уклонами.

Таким образом, диагностическим петрохимическим признаком ассоциаций с колчеданным, медноколчеданным, колчедано-полиметаллическим оруденением, отличающим их от всех других ассоциаций, в том числе и от золотоносных и собственно золотоносных, является устойчивая общая повышенная щелочность в рамках умеренно низкощелочного уклона ($n \leq 12,5$ для кислых пород), в меньшей степени — повышенная магнезиальность, пониженная глиноземистость. Ассоциации с колчеданным, медноколчеданным, медно-цинковым оруденением хорошо диагностируются также по устойчивой низкой калиевости ($K_2O \leq 1,5\text{--}2\%$) пород. Последнее определяет высокое значение показателя n в рамках выдержанного высоконатриевого уклона ($n > 75$). Диагностическим минералогическим признаком данных ассоциаций является практическое отсутствие в вулканитах выделений калишпата. Последний обнаруживается в незначительных количествах лишь в ассоциациях с колчедано-полиметаллическим оруденением преимущественно в субвулканитических разностях. Минеральный состав гранитоидов эволюционирует в пределах биотит-роговообманкового класса. В некоторых случаях на последних этапах появляется нехарактерный биотитовый минеральный класс. Обычна высокая аортитовость плагиоклаза при значительном избытке кремнезема.

Вулкано-плутонические ассоциации с полиметаллическим оруденением весьма близки к ассоциациям с колчедано-полиметаллическим и колчедано-свинцово-цинковым оруденением, т. е. также имеют повышенное содержание K_2O , но отличаются от них общей повышенной щелочностью. Среди них нередки ассоциации с преобладающим умеренно щелочным уклоном. Повышенные содержания калия и общая щелочность сближают эти ассоциации с вулканитами и субвулканитами, несущими золото-серебряное оруденение.

Приступая к разбору плутонических ассоциаций с железным орудением, следует сразу оговориться, что они по особенностям минерального состава и химизма весьма близки к золотоносным. Этот факт подчеркивался ранее [Изох, 1978; Налетов, 1978a]. В них несколько чаще, чем в зо-

золотоносных, может быть, встречается класс биотит-роговообмаковых гранитоидов повышенной щелочности наряду с широко развитым биотит-роговообмаковым. Неизвестны гранитоиды с высокоглиноzemистыми минералами. Ведущим рудным аксессорным минералом является магнетит. Железистость биотита, по ограниченным данным по магнитогорскому комплексу, Кедабекскому интрузиву, Кушвинскому массиву, находится в пределах, установленных для железистости биотита золотоносных гранитоидов. Гранитоиды ассоциаций с железным оруденением отличаются в целом повышенной общей щелочностью в интервале шкалы по показателю a от субщелочного, умеренно щелочного до повышенно щелочного уклона, при этом чаще встречается умеренно щелочной уклон. Специализация щелочей натриевая в рамках ведущего умеренно натриевого уклона. В пределах этого уклона часто встречаются породы с $n > 65$. Последнее зафиксировано в 11 из 15 ассоциаций, или 49–90% случаев на совокупность, т. е. достаточно часто. Обычным является общий железистый и высокоглиноzemистый уклон, причем в рамках первого передки ассоциации с преобладающим умеренно железистым уклоном. В базитовой группе при общей повышенной щелочности такого же примерно уровня, что и в гранитоидной, по соотношению щелочей ведущим оказывается высоконатриевый уклон с $n > 75$. Железомагниевые составы базитов и умеренно железистые распространены без заметного преобладания, часто встречаются ассоциации с повышенной глиноzemистостью. Вулканиты, предшествующие базит-гранитоидным ассоциациям, по не очень многочисленным данным, обладают сходными с последними петрохимическими особенностями. Они также имеют повышенную общую щелочность, высоконатриевый (в базальтоидах) и умеренно натриевый (в липаритах, дацитах) уклоны, повышенную глиноzemистость, повышенную частоту встречаемости железистого уклона над железомагниевым.

Совершенно иным петрохимическим типом являются вулкано-плутонические ассоциации с магнетит-гематитовым оруденением, рассмотренные на примере ассоциаций Северной Швеции и различных ареалов девонской вулкано-плутонической ассоциации Горного Алтая. Ранее [Калугин, 1968] показано сходство некоторых геологических данных и особенностей оруденения этих районов. В отличие от магматитов, сопровождающихся преимущественно скарновым магнетитовым оруденением, в названных ассоциациях преобладает кислая группа с менее развитой щелочно-саллической. Базальтоиды развиты ограниченно. Обычна повышенная щелочность. Характернейшей особенностью является изменчивость как по разрезу, так и по латерали прежде всего содержаний калия, а также общей щелочности. Соотношение натрия и калия меняется в различных ареалах от умеренно калиевого до высоконатриевого, причем как в лавах, так и в субвулканических и гипабиссальных интрузиях. Интересно отметить, что в породах с повышенной калиевостью отмечается аксессорный касситерит (до 5 г/т) [Попов, 1967]. Локализация железных руд находится в соответствии с изменениями общей щелочности и глиноzemистости. На рис. 17, где показаны соотношения по этим параметрам различных подсвит коргонской свиты, видно, что породы нижней подсвиты по сравнению со средней и верхней характеризуются низкой щелочностью и глиноzemистостью. Железных руд в нижней подсвите нигде не зафиксировано. Основное железооруденение локализуется в средней и верхней подсвитах, породы которых при меняющейся натриевости-калиевости имеют повышенную общую щелочность и глиноzemистость. По сравнению с ранее изученными золотоносными ассоциациями свойственно пониженное содержание глиноэма (низкоглиноzemистый уклон). По соотношению железа и магния преобладает железистый уклон.

Остановимся далее на детальном сравнительном анализе ассоциаций с железным и колчеданием, колчеданно-полиметаллическим оруденением.



Рис. 16. Ключ к расшифровке диаграмм.

I — уровень щелочности: 1, 2 — явное преобладание щелочных пород; 3 — преобладание щелочных пород; 4, 5 — заметное количество щелочных пород; 6 — незначительное количество щелочных пород. II — уровень глиноzemистости: 1 — возможно явное преобладание высокоглиноzemистых пород; 2 — невозможно преобладание высокоглиноzemистых пород; 3 — невозможно преобладание высокоглиноzemистых пород. III — уклоны по меланократовости: 1 — липаритовый; 2 — липарит-дацитовый; 3 — дацитовый; 4 — андезитовый; 5 — андезито-базальтовый; 6 — лейкобазальтоидный; 7 — базальтоидный; 8 — базальтовый.

Результаты сравнения по общей щелочности и глиноzemистости приведены на диаграммах (см. рис. 17–19). Методика их построения частично отражена в ключе для прочтения этих диаграмм (см. рис. 16).

Базальтоидная группа по меланократовости определялась как базальтовая — в случае преобладания на генеральную совокупность меланократовых и более основных составов; базальтоидная — при преобладании в выборке базальтовых составов (в том числе лейкократовых), но при отсутствии преобладания по отдельности лейкократовых и более основных разностей; лейкобазальтоидная — при совместном преобладании лейкобазальтовых и андезито-базальтовых составов; андезитоидная — если не устанавливалось суммарное преобладание андезито-базальтовых и андезитовых составов; андезитовая — при преобладании в выборке андезитовых составов.

Аналогичным образом в кислой группе выделялись дацитовый, липарит-дацитовый и липаритовый уклоны.

Кроме того, составы магматических пород анализировались в координатах щелочность — глиноzemистость. Основой системы этих координат также послужили разработки А. Ф. Белоусова (1969, 1974, 1976).

По щелочности породные группы классифицировались как низкощелочные (нижний предел — доли щелочных пород на генеральную совокупность менее 25%, на диаграммах не закрашены), заметнощелочные (нижний предел — более 25%, но менее 50%, на диаграммах закрашены на 1/4), щелочные (щелочные породы в выборке преобладают, закрашены на 3/4), явнощелочные (количество щелочных пород на генеральную совокупность $\geq 75\%$, закрашены полностью).

Высота столбиков на диаграммах отображает уровень глиноzemистости выборочных совокупностей. Минимальный размер столбиков означает, что в данном объекте преобладание высокоглиноzemистых составов на генеральную совокупность невозможно (верхний предел доверительного интервала не превышает 50%); при максимальном размере столбика возможно явное преобладание высокоглиноzemистых составов (верхний предел доверительного интервала $\geq 75\%$); при среднем размере столбика преобладание высокоглиноzemистых составов возможно (верхний предел доверительного интервала > 50 , но $\leq 75\%$).

Следует отметить, что не для всех рудных районов можно классифицировать породы по глиноэму: иногда в литературных источниках отсутствовали выборки анализов (но приводились диаграммы А. Н. Заварцкого), на основании которых можно классифицировать магматические образования по основности — щелочности.

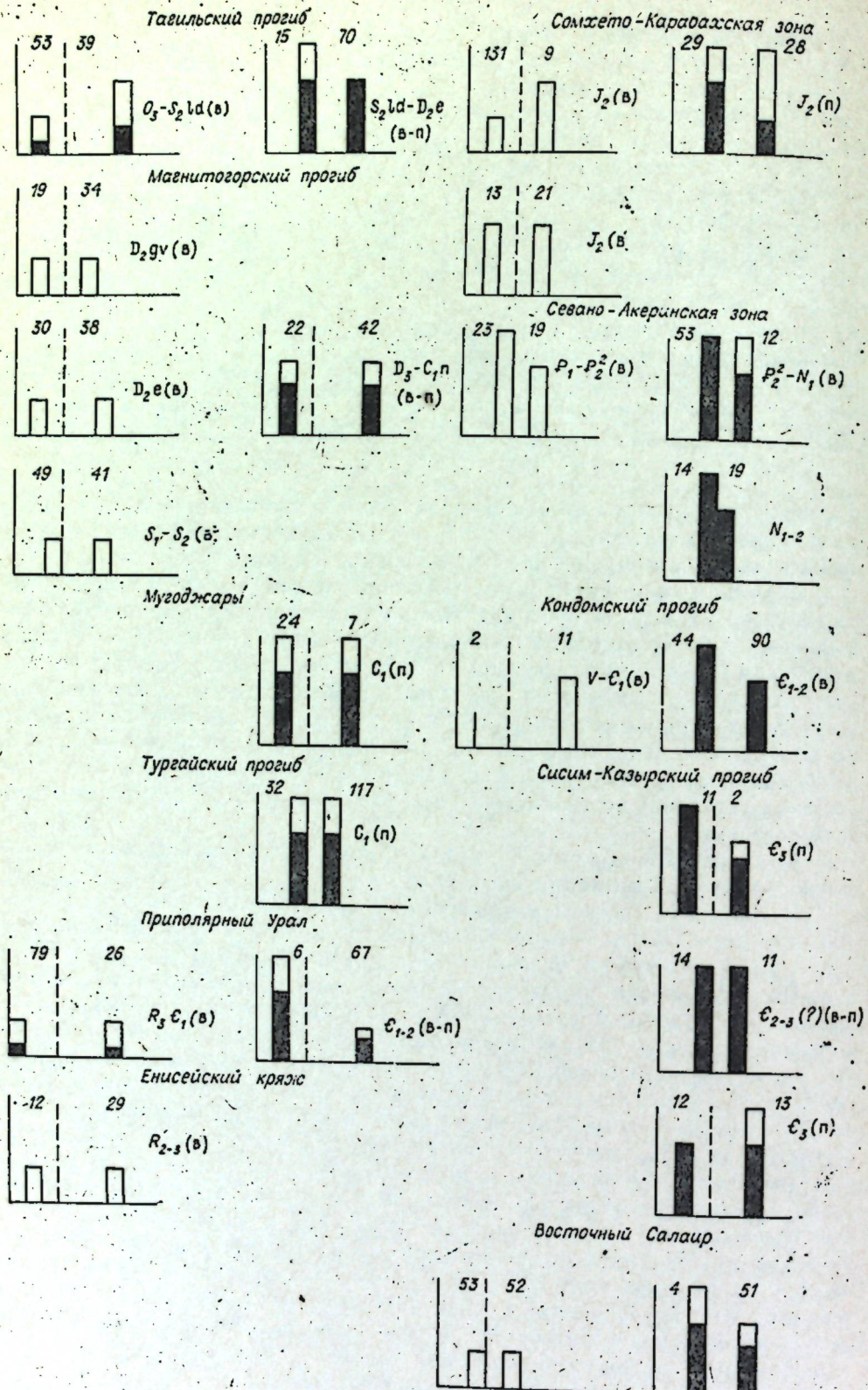


Рис. 17. Статистико-петрохимические диаграммы пород рудопосыщих ассоциаций в зонах с «типовым» развитием магматизма (слева — составы пород колчеданоносных, справа — железоносных ассоциаций). Цифры у столбцов — количество анализов (другие пояснения см. в тексте.)

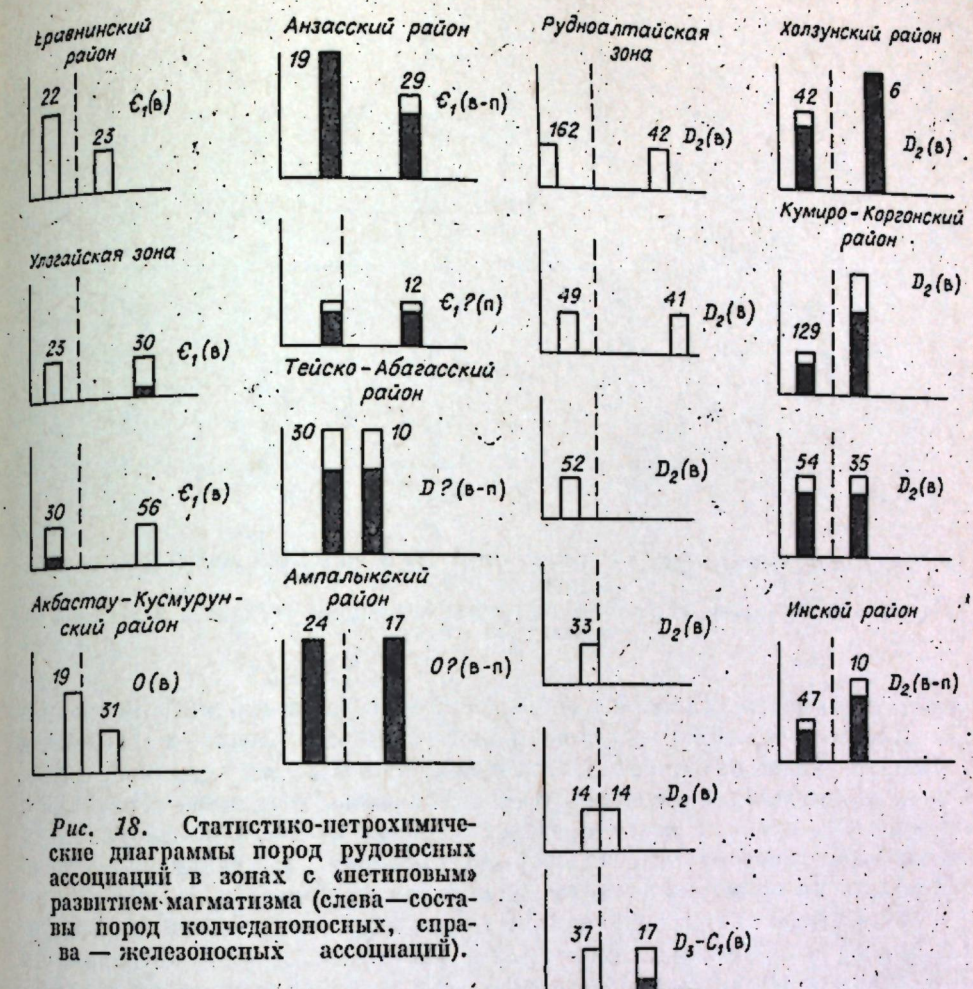


Рис. 18. Статистико-петрохимические диаграммы пород рудоносных ассоциаций в зонах с «типовым» развитием магматизма (слева — составы пород колчеданоносных, справа — железоносных ассоциаций).

По доступным литературным материалам в указанных выше координатах были проанализированы составы рудоносных пород из рудных районов Советского Союза. При этом отметим, что в колчеданоносных ассоциациях анализу подверглись вулканиты и субвулканиты (на диаграммах обозначены буквой « ϕ »), а в случае железного оруденения анализировался состав сложных вулкано-плутонических рядов, включая ранние вулканиты, субвулканиты и более поздние базит-гранитоидные плутонические ассоциации. Эти ряды обозначены буквами « v — n » (вулканиты — плутониты), а в случае выпадения отдельных членов ряда — « v » или « n ». На диаграммах показано соотношение общей щелочности, глипаземистости ассоциаций с колчеданным и железным оруденением в районах с «типовым» (рис. 17) и «нietиповым» (рис. 18) развитием магматизма. Как в одном, так и в другом случае (рис. 19) фиксируется пониженная общая щелочность и глипаземистость в ассоциациях с колчеданным оруденением, что является характерным отличием от железоносных ассоциаций. Обратные соотношения устанавливаются для ассоциаций с железным оруденением, что хорошо иллюстрируется и на рис. 20. Кроме того,

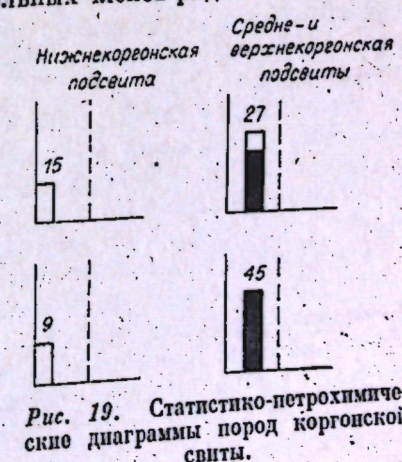


Рис. 19. Статистико-петрохимические диаграммы пород коргонской свиты.

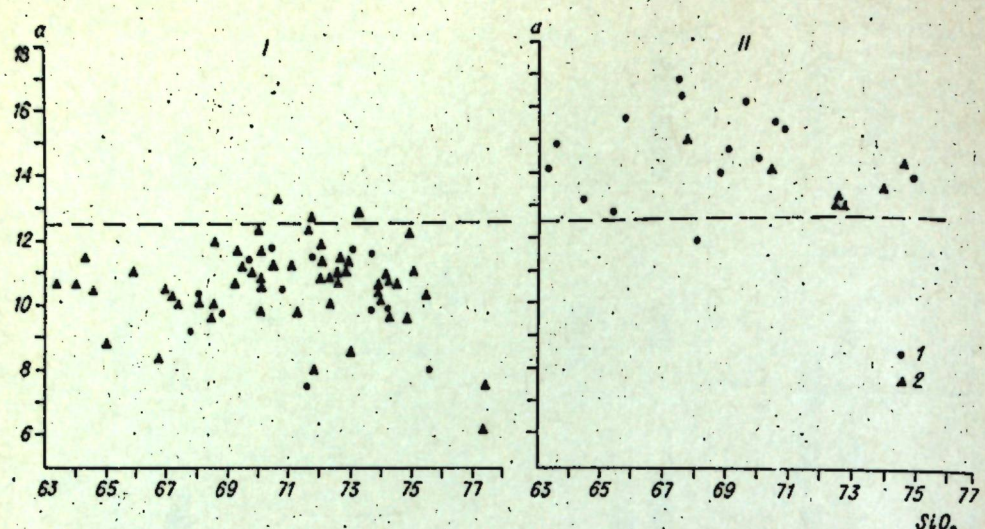


Рис. 20. Распределение пород колчеданоносных (I) и железоносных (II) ассоциаций в координатах $\text{SiO}_2 - a$.
1 — плутониты, 2 — вулканиты. Использованы средние по породным группам и типам пород ассоциаций — см. рис. 21.

фиксируются также различия в соотношении железа и магния. Для колчеданоносных ассоциаций характерны большей частью железо-магниевый и магниевый уклоны не только базальтоидных, но и кислых породных групп, в то время как для железоносных устанавливается отчетливая тенденция к железистому уклону. С целью проверки влияния на выявленные различия по железо-магниевому отношению было проведено раздельное изучение распределения суммарного железа (в оценках средних) и магния (также в оценках средних) в ассоциациях с железным и колчеданным оруденением. Анализ распределения содержания ΣFeO показал, что оно варьирует как в железоносных, так и колчеданоносных базитовых породах в пределах $\Sigma \text{FeO} = 7,5-14\%$ (по оценкам средних). В одном случае железоносных базитов отмечено содержание $\Sigma \text{FeO} = 5,6\%$ и в одном случае колчеданоносных — $\Sigma \text{FeO} = 2,4\%$. В кислых породах ΣFeO в ассоциациях обоих типов укладывается в целом в интервале $\Sigma \text{FeO} = 2,5-6\%$.

Иной характер распределения оказался у магния. В ассоциациях обоих типов содержания магния варьируют в интервале 2—9% (базитовые породы) и 0—3% (кислые породы). Различия заключаются в том, что в железоносных ассоциациях это распределение смещено в интервал содержаний $\text{MgO} = 2-5\%$ (для базитовых пород) и 0—1,5% (для кислых пород), т. е. в ассоциациях с железным оруденением наблюдается повышенная частота встречаемости пород с пониженным содержанием MgO , что и обусловило выявленные различия в характере железо-магниевого соотношения.

Ассоциации с колчеданным, медноколчеданным, медно-цинковым оруденением отличаются от ассоциаций с железным оруденением по степени натриевости. Для первых как для базитовой, так и для кислой породных групп ведущим оказывается высоконатриевый ($n > 75$) уклон. В железоносных ассоциациях этот уклон сохраняется лишь для базитовых пород, в то время как для кислых обычен умеренно натриевый ($50 < n \leq 75$). В ассоциациях с колчедано-полиметаллическим и колчедано-свинцово-цинковым оруденением в отличие от железоносных наблюдается повышенная калиевость, приводящая даже к появлению преобладающего натрекалиевого уклона. В данном случае из железоносных здесь не рассматривается группа вулкано-плутонических ассоциаций с магнетит-гематитовым оруденением, своеобразие которой вполне очевидно.

Особенности минерального и химического состава кислых породных групп ассоциаций с различным оруденением					
	Преобладающий тип оруденения (сопутствующее оруденение). Пребывающие типы рудных формаций	Предобладающий тип породной группы и ее состав	Характерный минеральный класс гранитоподобных (по А. П. Пономареву, Б. Ф. Налётову, 1979)	Соотношение полевых шпатов (то же, во вкраплениях лав и субвулканитов)	Рудные минералы в породах гранитоподобных (кислотной) группы
1. Sn(W, Mo, Pb, Zn). Кварц-касситеритовая, касситерит-сульфидная, касситерит-слаговая	Гранитоподобная. Лейкобазитовая	I, II, реже III	Преобладает в лейкогранитоидах соотношение $\text{КПШ} > \text{ПЛ}$	Ильменит (магнетит редок)	То же
2. W(Sn, Pb, Zn). Оловянно-полифрамовая, скарново-шелестовая	Гранитоподобная. Лейкогранитоиды	I, II, реже III	Нет преобладания	Ильменит, магнетит	Магнетит (ильменит редок)
3. W(Mo) или Mo(W). Молибдено-редкометально-вольфрамовая	Базитовая. Лейкобазиты, реже мелабазиты	II, III, IV	То же	То же	То же
4. Mo(Cu, W, Au). Молибденовая и медно-молибденовая субформации медно-молибденовой формации	Гранитоподобная. Мелагранитоиды, реже лейкогранитоиды	III, II, реже IV	Преобладает в лейкогранитоидах соотношение $\text{ПЛ} > \text{КПШ}$	Ильменит. В комплексах с высокоглиноземистыми минералами (купелистый, пластиинкий, ильменит, магнетит редок)	Магнетит (ильменит редок)
5. Cu(Mo, Au, W). Медная субформация медно-молибденовой формации	Базитовая пресмыкающаяся. Лейкобазиты, реже мелабазиты	III, реже I	То же	То же	Магнетит, апатит, касситерит, редко касситерит
6. Au(Fe, Cu, W). Золото-кварцевая, золото-сульфидно-кварцевая, золото-сульфидная	Гранитоподобная. Кислые. Лиоптиты, базальтоиды. Гранитоподобная. Сланцитоидная	III, IV, реже V	То же	То же	Магнетит, апатит, касситерит
7. Fe(Au, Cu, Mo). Скарновая магматитовая	Базитовая пресмыкающаяся. Кислые. Лиоптиты, базальтоиды. Гранитоподобная. Сланцитоидная	III, IV, V	Нет данных	То же	Магнетит, апатит, касситерит
8. Fe(P). Гематитовая					

Преобладающий тип оруденения (сопутствующее оруденение). Пребывающие типы рудных формаций	Преобладающий тип по родной группы и ее состав	Подчиненно разлитый тип по родной группы и ее состав
9. Cu, Zn, S(Pb, Au), Колтеджная, медноколчеданный, медно-цинковый	Базальтоидная. Базаллы, ацеллито-базаллы, ацеллиты. Базитовая. Лейкобазиты, реже метабазиты	Кислая. Дациты, липарито-дациты, реже липариты. Гранитоиды. Мелагранитоиды, лейкогранитоиды
10. Pb, Zn(Cu, Au, Ag), Колчеданно-полиметаллическая, колчеданно-спинелло-цирконовая	Кислая. Липариты, реже амфолиты. Гранитоиды	Базальтоидная. Базаллы, реже андезиты

Железистость биотита		Соотношение щелочей (уклон) по показателю n и преобладающее значение в рамках уклона		Общая щелочность по показателю a и преобладающее значение в рамках уклона		Окисленность железа (показатель Φ)	
Мелагранитоиды	Лейкогранитоиды						
1.	60—85 (60—90)	65—100 (60—100)	Натро-калиевый, умеренно натриевый. Преобладает $n \leq 60$	$K_2O > 3,5$	Умеренно щелочный. Преобладает $12,5 < a \leq 15$	Преобладает $\Phi = 5—15$	Данных недостаточно
2.	60—80 (55—85)	65—100 (55—100)	То же		То же	Преобладает $\Phi = 13—25$	То же
3.	Нет данных	55—80 (45—90)					
4.	45—70 (25—75)	45—65 (25—70)	Умеренно натриевый. Преобладает $n \leq 65$	$K_2O > 3,5$	Умеренно щелочный. Нет преобладания $a \leq 15$. Часто встречается $a > 15$	Преобладает $\Phi = 13—25$	То же

5. $45—64$ (30—75)	$45—65$ (25—75)	Умеренно щелочный. Преобладает $n > 65$	$K_2O \leq 3,5$	Умеренно щелочный. Нет преобладания $a \leq 12,5$. Часто встречается $a \geq 12,5$	$K_2O > 3,5$ или $K_2O \leq 3,5$	Умеренно щелочный. Углон. Нет преобладания $a \leq 12,5$	Преобладает $\Phi = 13—31$	То же
6. 60—65	65—70	То же						
7. 60—65	65—70							
8.	Нет данных							
9. В гранитоидах от 12 до 76		Высоконатриевый. Преобладает $n > 75$						
10.		Умеренно натриевый, натро-калиевый						

Следовательно, диагностическими признаками скарново-железоносных ассоциаций по отношению к колчеданоносным являются повышенная общая щелочность в рамках умеренно щелочного уклона ($a > 12,5$), повышенная глиниземистость, пониженнная магнезиальность, а также повышенная по отношению к колчеданоносным и пониженная по отношению к колчеданно-полиметаллоносным ассоциациям калиевость кислых пород.

Далее остановимся более детально на сравнении изученных в данной работе ассоциаций с магматитами, несущими оловянное, вольфрамовое и медно-молибденовое оруденение. Сравнение последних между собой было выполнено нами ранее [Налетов, 1981]. В табл. 146 сведены различные данные по минеральному составу и химизму различных рудно-ассоциаций, а на рис. 21 представлено распределение их в оценках средних для Na_2O и K_2O . При анализе таблицы и из рис. 21 становится очевидным отчетливое разделение всей гаммы ассоциаций на две группы. Это прежде всего магматиты с вольфрамовым и оловянным оруденением (типы V, VI, рис. 21) и, с другой стороны, все остальные магматические ассоциации (типы I—IV, рис. 21). Ассоциации типов V, VI отличаются широким участием в их составе гранитоидов биотитовых и гранитоидов с высокоглиноземистыми минералами, характеризуются калишпатовым соотношением полевых шпатов в лейкогранитоидах, преимущественным калиевым соотношением щелочей как в мелагранитоидах, так и лейкогранитоидах. Натриевое соотношение щелочей может превалировать лишь в мелагранитоидах некоторых ассоциаций с акцессорными минералами, неизменно их количество и высокая железистость биотита. В составе ассоциаций типов I—IV широко развиты биотит-роговообманковые граниоиды, в некоторых типах (II, IV) нередки биотит-роговообманковые гра-

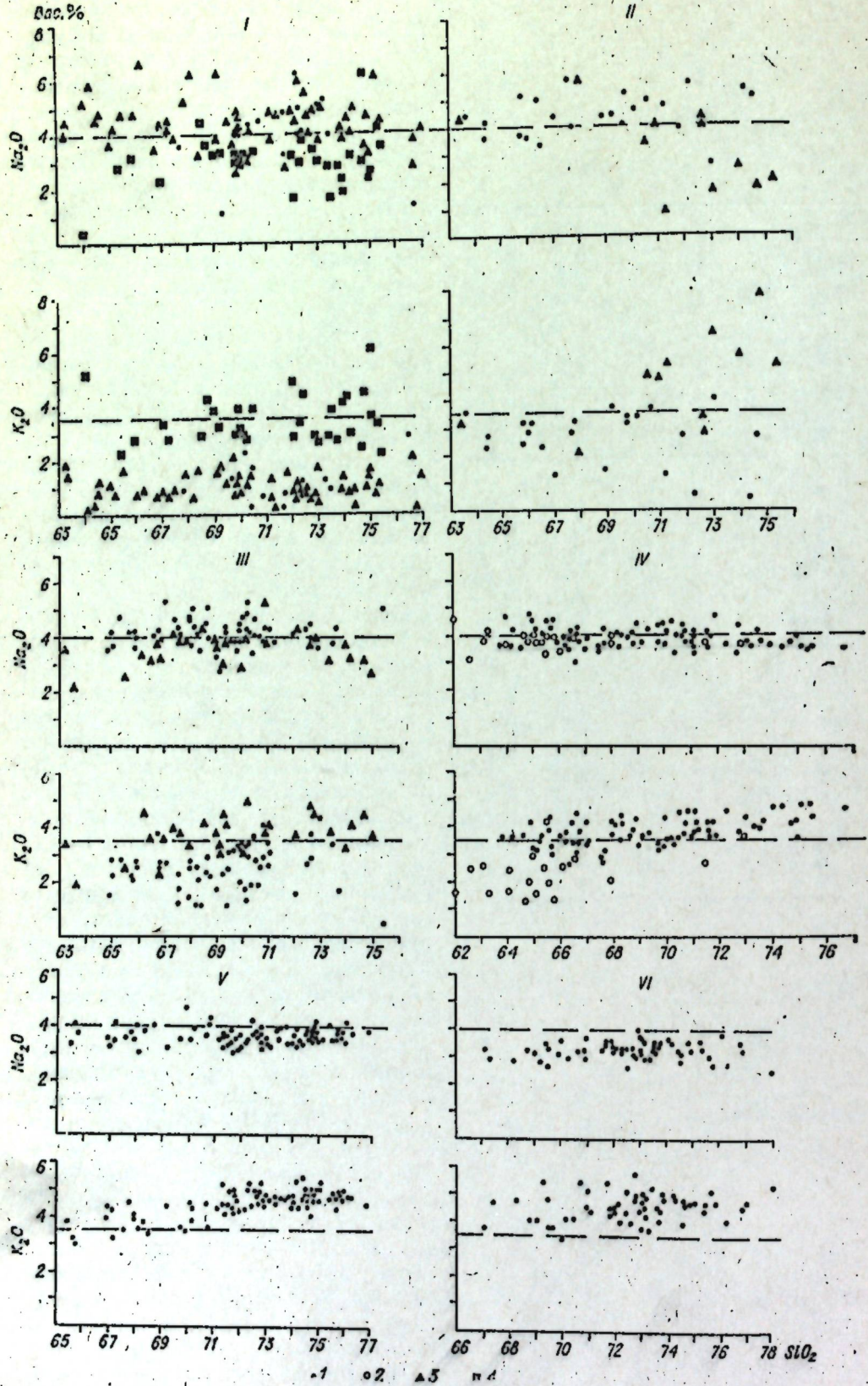


Рис. 21. Распределение кислых пород магматических ассоциаций с разным оруденением в координатах $\text{SiO}_2-\text{Na}_2\text{O}$, K_2O .

нитоиды повышенной щелочности. Биотитовые гранитоиды развиты слабо, появляются только на заключительных этапах развития сложных ассоциаций (за редкими исключениями, примером которых может служить кунушский комплекс). Гранитоиды с высокоглиноzemистыми минералами в них отсутствуют или фиксируются на самых последних этапах формирования гранитоидных ассоциаций. Названные гранитоиды показывают плагиоклазовое соотношение полевых шпатов молибденовым оруденением, где нет преобладания плагиоклазового или, наоборот, калишпатового соотношения полевых шпатов. Все сказанное о полевых шпатах применимо и к натриевому соотношению щелочей в гранитоидах этих типов. Рудные акцессории представлены преобладающим магнетитом, при этом количество последнего может достигать нескольких килограммов на тонну. Магнетитовый состав рудных акцессориев сопряжен с понижением железистостью биотита. Для вулканитов ассоциаций типов I—IV характерен акцессорный магнетит, пониженная железистость биотита (по ограничительным данным — некоторых ассоциаций с полиметаллическим оруденением [Далимов и др., 1977]), преимущественно натриевое соотношение щелочей, за исключением случаев, рассмотренных ниже. Остановимся далее на особенностях состава ассоциаций каждого типа, отличающих его от всех остальных. Наиболее удобно это сделать, опираясь на распределение содержаний калия (см. рис. 21).

В ассоциациях типа I вулканиты и субвулканиты с ассоциированным колчеданным, медноколчеданным и медно-цинковым (реже свинцово-цинковым, где цинк преобладает) оруденением обладают экстремально низкими содержаниями K_2O , колеблющимися в оценках средних от 0 до 2%. С верхними пределами концентраций K_2O (выше 1% K_2O) названных ассоциаций сопоставимы концентрации K_2O в некоторых гранитоидах ассоциаций типа IV, именно то, что сопровождается существенно медным оруденением. Для многих из них фиксируется также пониженная щелочность ($a \leq 12,5$), весьма характерная для магматитов типа I. Кроме того, низкие содержания K_2O сопоставимы с соответствующими пониженными концентрациями некоторых ассоциаций типов II и III. Следует отметить, что в каждом из рассматриваемых I—IV типов ассоциаций группа низко-калиевых магматитов соответствует своеобразный антипод — группа ассоциаций с повышенной калиевостью. В типе I — это магматиты с колчеданно-полиметаллическим, колчедано-свинцово-цинковым и полиметаллическим оруденением. Для них фиксируются содержания калия в оценках средних от 2 до 5% и более.

Примерно такой же уровень содержаний K_2O отмечается для части ассоциаций типа III (магматиты с золото-серебряным оруденением), а также для части ассоциаций типа IV (магматиты с существенно молибденовым оруденением). Однако в данном случае магматиты типа I (кроме ассоциаций с полиметаллическим оруденением) отличаются от указанных магматитов типов III и IV характерной пониженной общей щелочностью ($a \leq 12,5$). Пониженная щелочность здесь объясняется более низким по сравнению с типами III и IV содержаниями натрия, что хорошо видно на рис. 21.

В ассоциациях типа II гранитоиды с магнетитовым скарновым оруденением сопоставимы преимущественно по умеренно низкому содержанию

I — с колчеданным, колчеданно-полиметаллическим и свинцово-цинковым, II — с неплезианом, III — с золотом и золото-серебряным, IV — с существенно молибденовым (галитовый кружок) и существенно медным (незалитый кружок), V — с полифрамовым, VI — с оловянным. 1, 2 — плюшиты, 3, 4 — вулканиты; 3 — с колчеданным, железным и золото-серебряным, 4 — с колчеданно-полиметаллическим и свинцово-цинковым оруденением. Кроме материалов настоящей работы, использованы данные авторов [Осадкообразование..., 1968; Бахтиев и др., 1977; Налетов, 1981; Albers, Robertson, 1961; Moore, 1963; Gilmor, 1971; Roberts, 1975; Spence, Rosen - Spence, 1975; Ригано, 1979; Colley, Greenbaum, 1980].

нию K_2O с золотоносными гранитоидами типа III и существенно меденосными гранитоидами типа IV. Преимущественно высокие содержания натрия и соответственно повышенная общая щелочность являются характерными признаками гранитоидов типа II. В этом же типе ассоциаций находится группа вулкано-плутонических, достаточно редких ассоциаций, несущих магнетит-гематитовое оруденение. Они известны только в Северной Швеции и Горном Алтае, т. е. являются достаточно редкими. Свойственные им резкие колебания Na_2O и особенно K_2O также хорошо заметны на рис. 21.

Золотоносные гранитоиды ассоциаций типа III по содержаниям калия и натрия сопоставимы с существенно меденосными гранитоидами типа IV. Последние также являются нередко золотоносными. Интересно, что ассоциации типа III с повышенной калиевостью, несущие золото-серебряное оруденение, по содержанию K_2O и общей щелочности близки к повышению калиевым гранитоидам ассоциаций типа IV с существенно молибденовым оруденением. Следует подчеркнуть, что общая повышенная щелочность здесь обусловлена в отличие от гранитоидов ассоциаций типа II прежде всего именно повышенными концентрациями калия. Рассматривая особенности химизма и рудоносности ассоциаций типов I—IV, можно заметить, что все они несут золотое оруденение (кроме ассоциаций с магнетит-гематитовым оруденением), в том числе и промышленное, но формационные особенности этого оруденения меняются. Так, для низкокалиевых ассоциаций типа I, IV характерно золотое оруденение золото-сульфидной формации, а золото-кварцевые и золото-сульфидно-кварцевые типы встречаются реже. Для низкокалиевых гранитоидов ассоциаций типа II, III последние типы наиболее обычны, в то время как золото-сульфидный тип редок. Для повышения калиевым магматитов ассоциаций типов I, III характерны золоторудные формации с повышенными концентрациями серебра. Сказанное подтверждает отмеченную ранее широту геологических условий, в которых происходят концентрации золота. Рассмотренные данные показывают, что промышленные концентрации золота находятся в связи с магматическими ассоциациями широкого диапазона как общей щелочности, так и натриевости — калиевости. При этом прежде всего флюктуации в содержаниях калия сопряжены с теми или иными особенностями золотого оруденения, в то время как содержания Na_2O находятся на относительно постоянном высоком ($\approx 4\%$ в оценках средних) уровне.

В результате изучения минерального состава и химизма магматических ассоциаций были получены данные, косвенно проливающие свет на некоторые условия их формирования. Так, еще ранее пами [Налетов, 1978а] была установлена сопряженность между базитами и гранитоидами в сложных ассоциациях по содержанию Fe_2O_3 . В более поздней работе [Налетов, 1981] дополнительность окисленности железа была изучена статистически при анализе распределений показателя ϕ в гранитоидах с оловянным, вольфрамовым и медно-молибденовым оруденением. Были показаны, с одной стороны, сопряженность по этому показателю базитов и гранитоидов в изученных ассоциациях, а с другой — различия в окисленности железа гранитоидов с разным оруденением. Используя отмеченные данные, а также результаты исследований настоящей работы, мы построили гистограммы распределений показателя ϕ в ассоциациях с разным оруденением. На рис. 22 представлены гистограммы распределений показателя ϕ в кислых породных группах ассоциаций с оловянным, вольфрамовым (I), медно-молибденовым, золотым (II) и железным, колчеданным (III) оруденением. Совершенно отчетливо выступает тенденция пониженных значений ϕ в оловянных, вольфрамоносных ассоциациях и повышенных значений ϕ в ассоциациях с другим оруденением. Аналогичные соотношения видны и на рис. 23, где даны распределения показателя ϕ в оценках средних для базитовых пород ассоциаций с разным оруденением.

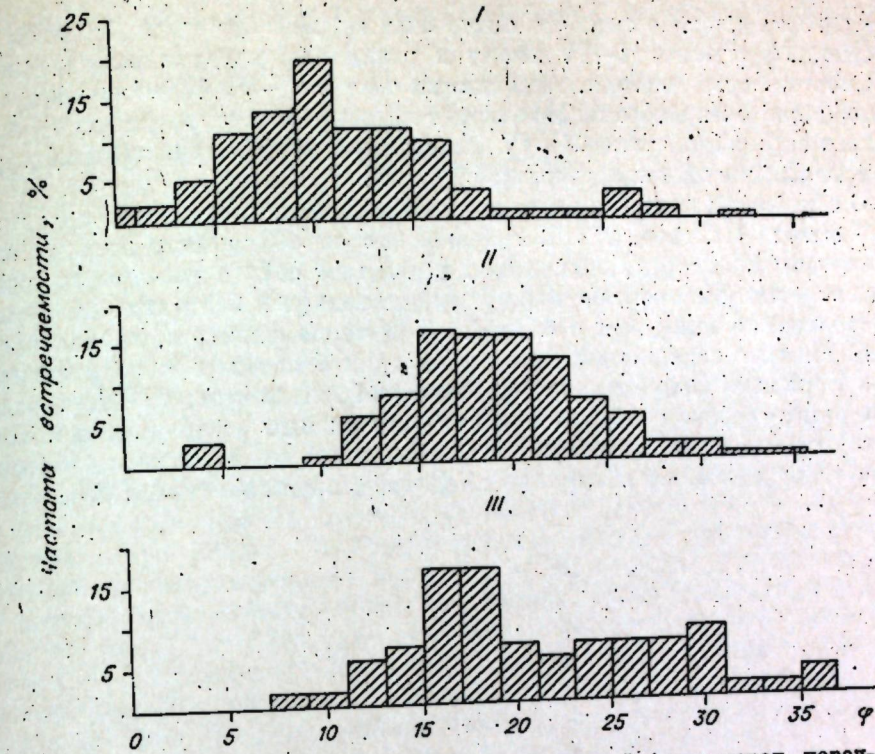


Рис. 22. Распределение магматических ассоциаций (типы пород, породные группы кислого состава) с разным оруденением по показателю ϕ : I — с оловянным, вольфрамовым, $n = 141$; II — с медно-молибденовым, золотым, $n = 134$; III — с железным, колчеданным, $n = 54$. Использованы данные настоящей работы, а также материалы по гранитоидам с оловянным, вольфрамовым и медно-молибденовым оруденением [Налетов, 1981].

Таким образом, еще раз подчеркивается сопряженность базитовых и кислых пород в сложных ассоциациях по окисленности железа. Пониженная окисленность железа свойственна базитам ассоциаций с оловянным, вольфрамовым оруденением и повышенная — с медно-молибденовым, золотым, железным и колчеданным оруденением. Необходимо подчеркнуть, что изменения окисленности железа (особенно кислых пород) сопряжены со спецификой рудных аксессорных минералов и железистостью биотита, что хорошо можно видеть из приведенной выше таблицы. Все это позво-

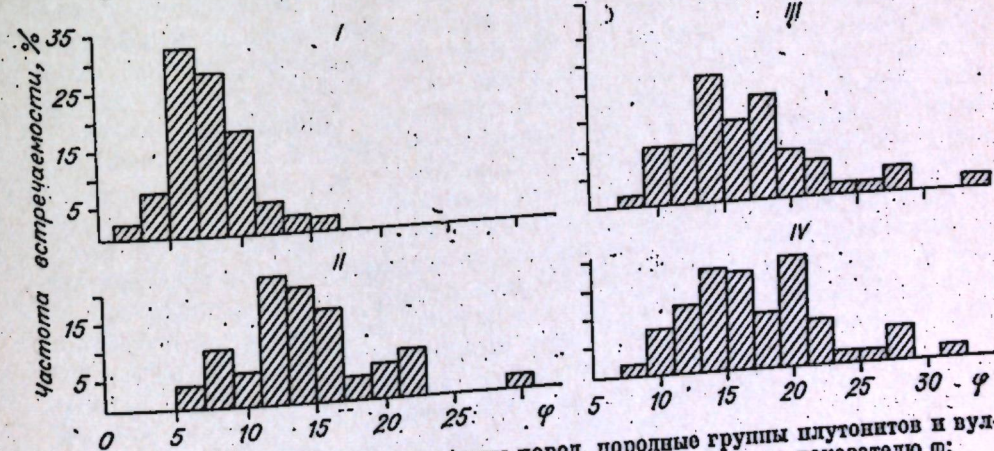


Рис. 23. Распределение базитовых (типы пород, породные группы плутонитов и вулкаников) магматических ассоциаций с разным оруденением по показателю ϕ : I — с оловянным, вольфрамовым, $n = 39$; II — с золотым, $n = 49$; III — с медно-молибденовым, $n = 49$; IV — с железным, колчеданным, $n = 52$. Использованы те же данные, что и на рис. 22.

ляет сделать вывод о том, что описанные группы ассоциаций: типов V—VI (рис. 21) и типов I—IV имеют и различные условия окислительной обстановки формирования. Ассоциации типов V—VI образовались в обстановке пониженного окислительного потенциала кислорода, для формирования ассоциаций типов I—IV (за редкими исключениями) был характерен повышенный окислительный режим.

В отношении природы этого режима можно, повторяя уже сделанный ранее вывод [Налетов, 1981], сказать, что он обусловлен прежде всего глубинными процессами, поскольку проявляется себя в сопряженности по определенным компонентам между гранитоидами и базитами. Этот вывод подтверждается выводами о мантийной природе флюидов, сделанных на основе анализа содержаний газов в породах базитовых и гранитоидных рядов формаций Забайкалья [Литвиновский, Летников, 1980], а различия в окислительном режиме магматитов с разным оруденением находят подтверждение в результатах изучения содержаний газов рудоносных гранитоидов также на материале по Забайкалью [Трошин, 1978].

ЗАКЛЮЧЕНИЕ

В работе на статистическом материале, включающем свыше 150 серий, комплексов, плутонов, представленных 7000 силикатных анализов, а также многочисленными количественно-минералогическими данными, преимущественно литературными, охарактеризован вещественный состав магматических ассоциаций, сопровождающихся золотым, железным и колчеданным оруденением. Выявлены диагностические минералогические и петрохимические признаки ассоциаций, отличающие их друг от друга, а также от ассоциаций с оловянным, вольфрамовым и медно-молибденовым оруденением. Последние детально были охарактеризованы ранее [Налетов, 1981]. Настоящим работам по детальному статистическому изучению минерального и химического состава магматитов с разным оруденением предшествовал геолого-статистический анализ гранитоидов с разным оруденением [Изох, 1978], где были разобраны и основные их диагностические признаки. При этом в качестве главного разделяющего петрохимического признака было принято соотношение натрия и калия во всем ряду сложных ассоциаций, как наиболее сильно коррелирующееся с типом оруденения гранитоидов. Кроме того, использовалась общая щелочность, выраженная в сумме весовых процентов Na_2O и K_2O и известковистость (CaO , %). По названным компонентам отстраивались статистико-петрохимические диаграммы, позволяющие быстро анализировать особенности состава разнотипных гранитоидов. Из минералогических признаков были использованы в диагностических целях лишь признак повышенной глиноzemистости (присутствие высокоглиноzemистых минералов: граната, кордиерита, силиманита, мусковита и др.).

В настоящем исследовании, а также в работе по гранитоидам с оловянным, вольфрамовым и медно-молибденовым оруденением на широком статистическом материале была показана действенность минералогических признаков для диагностики рудоносных ассоциаций. Для этого широко использовался минеральный состав гранитоидов [Пономарева, Налетов, 1979], его эволюция в процессе формирования сложных ассоциаций, количественное соотношение полевых шпатов, являющееся полным отражением соотношения натрия и калия в породах и поэтому не уступающее последнему по разрешающей способности при диагностике гранитоидов. Интересным для диагностических целей представляется состав и количество вкраепленников вулканитов, прежде всего наличие или отсутствие выделений плагиоклаза и калишпата, их количественное соотношение. Этот вопрос требует, однако, еще доработки и проверки на более обширном материале. Важными диагностическими признаками, имеющими к тому же петрологическое значение, оказался состав акцессорных рудных минералов и особенности состава биотита. Была, таким образом, показана большая возможность минералогических критерев диагностики магматитов с разной рудоносностью, которая ранее недооценивалась и еще далеко не использована. В некоторых случаях критерии, основанные на минеральном составе, являются более предпочтительными, чем петрохимические [Налетов, 1981]. Все

ПРИЛОЖЕНИЕ

Химический состав пород с различным оруденением

Таблица 1

№ анали- за	№ образца	SIO ₂	TIO ₂	Al ₂ O ₃	Fe ₂ O ₃	FeO	MnO	MgO	CaO	Na ₂ O	K ₂ O	P ₂ O ₅	П. п.	Сумма 2
		1	2	3	4	5	6	7	8	9	10	11	12	13
1	134/3	49,50	0,83	22,50	1,50	5,68	0,20	3,82	10,70	2,96	0,78	1,50	1,42	99,89
2	130	49,50	1,00	16,2	3,37	7,32	0,23	6,00	9,25	2,42	2,66	1,22	2,66	99,45
3	164	51,00	0,98	18,30	2,6	6,12	0,18	5,07	9,60	2,95	1,05	1,82	1,82	99,67
4	173	52,50	1,33	15,80	4,0	7,02	0,19	6,65	7,40	2,80	1,52	1,22	1,22	99,47
5	135/2	53,0	0,85	15,30	2,0	6,30	0,21	5,42	7,35	2,85	1,13	1,30	1,30	99,33
6	182	52,25	0,80	17,50	2,27	6,42	0,16	5,60	8,50	3,56	1,36	2,30	2,30	99,45
7	118	53,30	0,85	16,60	1,93	5,94	0,19	4,85	9,90	2,60	0,73	2,42	2,42	99,69
8	157/3	55,0	0,75	17,15	1,1	5,94	0,13	4,60	9,55	3,45	1,32	1,36	1,36	99,51
9	141/2	55,0	1,40	15,50	3,47	7,32	0,16	3,80	8,80	2,74	0,98	1,80	1,80	99,52
10	132/2	55,50	0,77	14,70	1,89	6,65	0,22	6,05	7,35	3,10	1,64	1,66	1,66	99,53
11	146/1	56,0	0,76	16,60	2,42	5,97	0,13	5,75	7,60	2,75	1,12	2,32	2,32	101,4
12	172	56,50	0,85	15,60	2,21	5,68	0,18	4,60	7,52	2,75	1,55	1,88	1,88	99,32
13	86/1	56,0	0,78	16,60	3,80	5,97	0,15	4,05	8,80	2,74	0,98	1,10	1,10	100,87
14	87	56,0	0,73	13,90	1,48	5,38	0,16	7,00	12,10	2,28	0,98	1,64	1,64	101,6
15	126/1	57,0	1,40	15,50	3,42	6,24	0,22	3,05	6,10	4,92	1,18	0,64	0,64	99,67
16	90/1	57,0	0,44	14,3	1,70	5,94	0,16	6,17	6,90	2,46	2,04	2,28	2,28	99,39
17	193	57,1	1,04	13,25	3,98	6,95	0,19	4,70	7,10	3,33	1,01	1,04	1,04	99,59
18	98/1	57,3	1,15	16,0	3,19	6,27	0,17	3,42	5,85	4,68	1,60	0,76	0,76	100,39
19	92	57,5	0,74	15,40	3,10	5,83	0,20	3,62	6,35	4,04	1,86	0,84	0,84	99,48
20	189	59,0	0,36	17,05	1,16	4,18	0,07	3,17	8,05	3,0	1,32	1,48	1,48	98,84
21	135	62,0	0,72	17,10	2,10	3,88	0,10	1,92	4,40	5,24	1,70	0,88	0,88	100,04
22	103	62,50	1,12	14,8	2,47	4,26	0,12	2,27	4,10	4,82	2,60	1,08	1,08	99,06
23	90/2	64,5	0,52	15,5	2,05	2,84	0,09	1,42	3,10	4,38	4,86	0,58	0,58	90,8
24	155	66,3	0,85	14,10	1,76	4,93	0,14	2,27	4,17	5,12	4,82	0,72	0,72	102,45
25	177	70,0	0,32	15,80	1,37	1,87	0,80	2,15	2,90	3,81	3,81	0,44	0,44	99,46
26	86/2	71,30	0,17	13,70	1,32	1,79	0,04	1,10	4,10	3,72	4,50	0,56	0,56	99,63
27	213	72,50	0,07	13,45	1,08	1,19	0,95	1,0	4,50	4,22	4,22	0,56	0,56	99,52

Интрузивные породы из ассоциаций с золотым оруденением

Кузнецкий Алатау

№ анали- за	№ образца	Федотовский плутоний												К. ия
		1	2	3	4	5	6	7	8	9	10	11	12	
1	134/3	49,50	0,83	22,50	1,50	5,68	0,20	3,82	10,70	2,96	0,78	1,50	1,42	99,89
2	130	49,50	1,00	16,2	3,37	7,32	0,23	6,00	9,25	2,42	2,66	1,22	1,22	99,45
3	164	51,00	0,98	18,30	2,6	6,12	0,18	5,07	9,60	2,95	1,05	1,82	1,82	99,67
4	173	52,50	1,33	15,80	4,0	7,02	0,19	6,65	7,40	2,80	1,52	1,22	1,22	99,47
5	135/2	53,0	0,85	15,30	2,0	6,30	0,21	5,42	7,35	2,85	1,13	1,30	1,30	99,33
6	182	52,25	0,80	17,50	2,27	6,42	0,16	5,60	8,50	3,56	1,36	2,42	2,42	99,69
7	118	53,30	0,85	16,60	1,93	5,94	0,19	4,85	9,90	2,60	0,73	2,32	2,32	101,4
8	157/3	55,0	0,75	17,15	1,1	5,94	0,13	4,60	9,55	3,45	1,32	1,88	1,88	99,51
9	141/2	55,0	1,40	15,50	3,47	7,32	0,16	3,80	8,80	2,74	0,98	1,10	1,10	100,87
10	132/2	55,50	0,77	14,70	1,89	6,65	0,22	6,05	7,35	3,10	1,64	1,64	1,64	100,53
11	146/1	56,0	0,76	16,60	2,42	5,97	0,13	5,75	7,60	2,75	1,12	2,32	2,32	101,4
12	172	56,50	0,85	15,60	2,21	5,68	0,18	4,60	7,52	2,75	1,55	2,32	2,32	101,4
13	86/1	56,0	0,78	16,60	3,80	5,97	0,15	4,05	8,80	2,74	0,98	1,10	1,10	100,87
14	87	56,0	0,73	13,90	1,48	5,38	0,16	7,00	12,10	2,28	0,98	1,64	1,64	101,6
15	126/1	57,0	1,40	15,50	3,42	6,24	0,22	3,05	6,10	4,92	1,18	0,64	0,64	99,67
16	90/1	57,0	0,44	14,3	1,70	5,94	0,16	6,17	6,90	2,46	2,04	2,28	2,28	99,39
17	193	57,1	1,04	13,25	3,98	6,95	0,19	4,70	7,10	3,33	1,01	1,20	1,20	99,79
18	98/1	57,3	1,15	16,0	3,19	6,27	0,17	3,42	5,85	4,68	1,60	0,72	0,72	99,54
19	92	57,5	0,74	15,40	3,10	5,83	0,20	3,62	6,35	4,04	1,86	0,88	0,88	99,54
20	189	59,0	0,36	17,05	1,16	4,18	0,07	3,17	8,05	3,0	1,32	1,48	1,48	99,48
21	135	62,0	0,72	17,10	2,10	3,88	0,10	1,92	4,40	5,24	1,70	0,88	0,88	100,04
22	103	62,50	1,12	14,8	2,47	4,26	0,12	2,27	4,10	4,82	2,60	1,08	1,08	99,06
23	90/2	64,5	0,52	15,5	2,05	2,84	0,09	1,42	3,10	4,38	4,86	0,58	0,58	99,46
24	155	66,3	0,85	14,10	1,76	4,93	0,14	2,27	4,17	5,12	4,82	0,72	0,72	102,45
25	177	70,0	0,32	15,80	1,37	1,87	0,80	2,15	2,90	3,81	3,81	0,44	0,44	99,46
26	86/2	71,30	0,17	13,70	1,32	1,79	0,04	1,10	4,10	3,72	4,50	1,70	1,70	99,52
27	213	72,50	0,07	13,45	1,08	1,19	0,95	1,0	4,50	4,22	4,22	1,70	1,70	99,52

№ анали- за	№ образца	Централизованный плутоний												К. ия
		1	2	3	4	5	6	7	8	9	10	11	12	
28	150	72,50	0,15	13,20	0,72	1,79	0,02	0,70	1,15	4,36	3,34	1,02	1,02	99,43
29	108	73,5	0,18	12,9	0,95	1,19	0,04	1,17	1,35	4,28	4,42	0,60	0,60	99,89
30	140	73,50	0,15	12,20	0,83									

1	2	3	4	5	6	7	8	9	10	11	12	13	14	15
61	146	68,7	0,35	16,17	1,68	0,06	—	3,33	5,12	0,16	1,49	100,06		
62	147	69,0	0,40	16,51	0,33	2,14	0,04	2,85	5,20	2,28	0,09	1,44	100,66	
63	143	69,4	0,27	16,59	0,33	1,84	0,12	2,85	5,36	2,05	0,08	1,9	100,49	
64	144	69,8	0,30	15,73	1,53	0,42	0,12	2,38	5,52	2,64	0,11	1,6	99,73	
65	148	70,0	0,30	15,80	1,84	0,12	0,17	2,62	5,30	2,55	0,10	1,5	100,3	
66	145	71,0	0,25	15,33	1,68	0,12	0,12	2,38	4,90	2,95	—	1,8	100,41	

Купидонтульский комплекс															
67	31/4-6	47,2	0,90	13,86	1,80	7,50	0,48	11,28	9,99	2,55	0,25	3,81	99,59		
68	31/7-a	46,0	1,3	15,51	1,82	7,80	0,18	8,72	10,70	3,10	1,07	3,57	100,3		
69	28/4	46,0	1,50	15,17	1,20	8,36	0,20	9,40	9,99	2,75	0,47	4,05	100,06		
70	31/9-б	48,0	2,42	13,50	2,30	11,63	0,36	5,30	9,51	2,75	0,23	3,59	99,76		
71	31/13-a	49,6	0,80	14,98	0,50	18,25	1,66	6,43	10,43	8,56	2,75	0,11	3,39	99,56	
72	31/7-6	50,2	0,20	21,94	1,00	4,28	0,07	5,30	10,94	2,5	0,62	0,10	3,28	100,52	
73	31/3	50,5	1,7	14,92	3,17	8,72	0,26	3,59	7,37	4,15	1,30	0,10	2,78	99,47	
74	31/11	52,5	0,75	16,91	0,51	4,74	0,12	2,73	3,33	4,90	0,26	0,27	3,47	100,53	
75	27/8	61,4	0,60	16,60	0,65	4,59	0,08	2,56	3,80	4,70	1,20	0,16	2,50	99,85	
76	27/7	62,7	0,30	15,30	1,17	1,99	0,04	0,34	3,09	4,90	1,80	0,29	1,72	100,25	
77	31/91-a	69,2	0,30	15,33	0,84	1,68	0,03	0,51	2,38	5,68	1,55	0,11	1,59	100,45	
78	31/8	70,5	0,35	15,06	1,01	1,53	0,06	0,34	2,38	5,52	1,60	0,11	1,40	99,82	
79	31/15-a	70,5	0,30	14,64	0,33	1,53	0,03	0,34	1,43	5,10	2,45	0,15	1,00	100,40	
80	31/13-6	72,6	0,20	14,09	0,33	0,92	0,03	—	2,96	6,40	0,16	0,80	1,00	100,38	
81	31/2	73,0	—	—	—	—	—	—	—	—	—	—	—	—	

Тува															
82	16/4	62,50	0,81	15,70	1,56	4,35	0,40	2,38	4,52	4,00	2,00	1,49	99,31		
83	14-4a	67,00	0,49	15,90	1,14	2,42	0,04	1,54	2,20	4,33	1,54	0,14	0,70	99,46	
84	22/1	57,80	1,07	16,30	3,55	4,81	0,45	3,57	6,35	3,14	0,20	1,50	100,23		
85	18/56	61,80	0,78	16,50	1,40	4,50	0,10	2,20	5,14	3,50	2,00	1,26	99,38		

Интузивные породы из слабо золотоносных ассоциаций

Оливинский комплекс																		
86	18/7	61,80	0,80	16,50	0,77	5,56	0,42	2,40	2,38	5,43	3,25	1,82	0,17	99,76				
87	19/5	63,10	0,85	16,40	1,10	4,05	0,10	2,51	4,48	4,14	2,00	0,20	1,33	99,83				
88	19/18	63,40	0,87	16,20	3,81	3,29	0,09	1,70	4,08	3,86	2,40	0,18	0,81	100,17				
89	18/11	64,60	0,63	16,45	1,84	0,20	4,23	0,09	1,90	4,52	3,57	2,40	0,17	1,01	100,19			
90	18/2	65,00	0,54	16,10	0,54	1,79	3,25	0,11	1,90	3,91	3,29	2,00	0,14	1,11	99,33			
91	21/8a	65,50	0,56	15,90	1,11	2,69	0,09	3,29	0,10	1,50	3,44	3,00	0,15	1,22	99,58			
92	18/2a	66,10	0,50	16,50	1,11	2,69	0,09	3,29	0,10	1,46	3,35	3,71	2,40	0,17	1,12	99,32		
93	22/6	66,50	0,52	16,00	0,94	3,14	0,10	1,39	2,93	0,10	1,33	3,56	3,71	2,40	0,17	1,07	99,34	
94	22/3a	66,60	0,51	15,70	0,96	3,14	0,10	1,39	2,93	0,08	1,02	3,56	3,71	2,40	0,14	1,29	99,36	
95	22/2	66,80	0,50	15,80	1,39	2,53	0,10	1,39	2,93	0,08	1,02	3,56	3,71	2,40	0,15	1,26	99,53	
96	19/11	70,20	0,30	14,60	0,65	1,93	0,08	2,53	0,04	1,28	2,17	3,71	3,60	0,09	0,88	99,23		
97	19/4	70,50	0,55	14,70	0,39	1,33	0,10	0,92	1,33	0,10	0,77	2,06	3,86	3,60	0,12	0,82	99,96	
98	21/4	70,50	0,20	15,70	0,20	1,50	0,10	0,42	1,78	0,10	0,77	2,06	3,86	3,20	0,11	1,05	100,21	
99	21/5	70,50	0,20	13,80	0,53	2,27	0,05	0,45	1,45	0,05	2,87	3,57	3,20	0,10	1,02	99,22		
100	19/16	71,50	—	—	—	—	—	—	—	—	—	—	—	0,87	100,14			

Аниский комплекс															
101	236	62,22	0,65	15,98	0,86	4,25	0,42	2,01	5,59	3,01	1,84	0,12	1,85	99,50	
102	237	63,30	0,55	16,32	1,23	3,42	0,10	1,44	4,01	3,90	2,75	0,11	2,45	99,54	
103	242	64,11	0,65	15,48	2,30	3,38	0,11	1,86	3,01	3,67	3,07	0,14	2,02	99,50	
104	201	64,16	0,54	16,54	0,74	4,05	0,10	2,04	4,34	3,22	2,42	0,00	1,45	99,59	
105	243	73,99	0,14	13,07	1,64	1,54	0,04	0,95	3,95	3,34	3,76	0,80	0,18	—	
106	238	68,45	0,29	15,93	0,83	2,28	0,07	0,84	2,38	3,57	3,70	0,02	0,64	99,79	
107	235	69,86	0,27	14,47	0,52	2,31	0,06	0,58	2,45	3,35	3,49	0,06	1,17	99,56	
108	231	69,99	0,29	14,56	0,62	2,42	0,06	0,52	1,77	3,44	3,47	0,06	2,11	99,53	
109	232	74,53	0,11	13,17	0,45	1,09	0,04	0,33	1,02	3,34	4,42	0,01	0,45	99,64	

Елисейский путь и массив его окружения (малый комплекс)															
110	3/14	45,0	0,90	16,19	7,40	7,65	0,20	6,45	11,41	4,00	0,67	0,67	1,00	99,72	
111	7/2	47,3	0,50	16,87	1,33	4,90	0,12	9,74	16,47	12,60	1,30	0,19	0,16	2,04	
112	6/8	47,8	0,20	17,27	2,50	6,58	0,20	7,96	12,60	12,60	0,80	0,18	—	2,73	
113	6/6	55,5	0,80	15,08	2,66	7,96	0,23	3,76	7,85	3,93	2,10	0,50	0,21	99,92	
114	5/7	55,6	0,45	17,53	2,00										

1	2	3	4	5	6	7	8	9	10	11	12	13	14	15
118	6/13	68,3	0,25	16,18	1,85	1,68	0,10	0,51	4,28	4,40	4,45	0,24	1,83	100,77
119	6/12	68,5	0,35	15,69	1,34	1,84	0,06	0,85	4,28	4,40	4,73	0,14	2,30	100,16
120	3/19	69,3	0,48	43,70	1,23	3,48	0,09	1,19	3,63	3,63	0,96	0,09	1,55	99,35
121	6/14	69,3	0,20	15,15	2,02	1,84	0,07	1,22	4,76	4,00	0,20	0,45	1,12	99,62
122	3/15	73,2	0,70	12,30	1,70	2,38	0,05	0,85	2,17	3,63	0,65	0,08	1,31	99,27
123	3/13	72,8	0,20	12,39	1,00	3,00	0,07	0,85	4,52	2,20	0,42	0,09	2,06	99,66
124	6/1	74,8	0,35	11,66	1,17	2,60	0,08	0,85	1,43	4,20	1,35	0,11	2,40	100,15
125	6/10	75,0	0,20	12,81	0,50	4,38	0,08	0,68	2,62	4,46	0,22	0,03	1,70	100,68

*Кузнецкий Алатау**Тыллинский pluton*

126	52,35	0,77	16,51	2,44	9,17	0,42	4,45	7,33	2,78	0,90	0,48	—	2,94	99,61
127	54,51	0,54	15,28	1,74	6,23	0,17	5,90	6,23	4,28	2,62	—	3,25	100,01	99,64
128	54,87	0,67	19,14	2,78	4,20	0,11	2,85	3,96	7,10	1,08	—	1,04	100,02	100,02
129	61,04	0,60	15,97	4,25	3,98	0,11	2,65	4,50	4,72	0,84	—	1,40	99,27	99,85
130	62,59	0,46	15,84	2,94	3,70	0,13	1,72	5,37	4,38	0,76	0,45	0,97	1,00	100,49
131	63,00	0,52	16,15	1,50	5,81	0,07	1,62	5,78	3,74	0,54	—	1,57	99,44	99,93
132	63,52	0,44	16,42	2,76	4,84	0,06	2,21	5,59	2,85	0,50	—	0,95	1,72	99,40
133	64,32	0,42	15,73	2,94	3,27	0,13	1,84	4,22	4,18	2,87	1,41	0,07	1,64	99,97
134	66,30	0,31	15,46	1,78	4,34	0,07	1,81	4,89	3,95	3,22	0,41	0,07	1,64	99,97
135	68,50	0,38	14,45	1,33	4,16	0,09	1,12	3,58	0,90	3,38	3,30	0,07	0,39	99,94
136	70,60	0,32	13,36	0,85	3,58	0,09	0,90	0,10	2,53	5,60	1,70	0,05	0,54	99,35
137	71,38	0,14	15,98	0,43	1,57	0,07	0,10	0,20	2,66	4,18	0,25	—	0,54	98,69
138	71,89	0,38	12,37	2,53	3,18	0,10	0,20	0,07	3,75	0,68	0,27	0,01	0,54	100,42
139	72,33	0,48	13,46	1,13	3,32	0,07	0,20	0,50	3,52	3,66	0,28	0,06	0,47	100,58
140	74,06	0,33	12,21	0,46	4,73	0,07	0,10	2,96	0,50	2,96	0,27	0,06	0,47	98,47
141	75,90	0,20	11,49	1,18	4,30	0,09	0,10	0,50	1,39	4,30	0,50	0,01	0,01	100,26
142	76,06	0,38	12,03	0,30	2,62	0,06	0,50	0,50	1,39	4,30	0,83	0,01	0,01	99,90

*Интрузивные породы из базит-гранитоидных ассоциаций с медно-молибденовым и вольфрамовым оруденением**Кузнецкий Алатау*

143	46	48,8	1,40	17,57	3,70	5,20	0,45	4,96	9,99	4,40	1,65	0,85	1,08	99,45
	44-a	49,2	1,25	17,24	3,87	5,35	0,20	4,62	10,22	3,80	1,30	0,75	2,33	100,13
	44	49,2	1,40	16,72	4,55	4,74	0,17	5,46	9,51	4,30	1,60	0,94	1,50	99,60

146	43-a	49,2	1,2	17,06	4,38	4,59	0,45	4,96	9,99	4,00	1,40	0,77	2,51	100,21
147	44	49,2	1,65	17,05	4,21	5,35	0,17	4,86	10,22	4,00	1,2	0,81	1,70	100,42
148	44-a	49,4	1,3	17,21	4,21	5,35	0,13	4,62	9,51	3,25	2,28	0,80	2,19	100,25
149	45	49,2	1,40	17,57	4,85	4,90	0,15	4,44	10,22	3,80	1,90	0,79	1,46	100,68
150	45/a	49,5	1,25	17,89	2,85	5,66	0,15	5,13	9,75	4,00	1,20	0,71	2,13	100,22
151	49-a	49,7	1,3	17,0	3,20	5,05	0,10	5,13	8,80	4,40	1,53	0,70	3,06	99,67
152	49	50,4	1,4	17,15	3,54	5,35	0,15	4,62	9,27	3,90	2,46	0,72	1,30	100,26
153	47	51,0	1,4	17,36	3,03	5,51	0,18	4,79	8,80	4,20	2,05	0,93	1,31	100,56
154	47/a	49,6	1,2	17,49	3,70	5,20	0,20	4,62	9,99	4,10	1,30	0,75	2,11	100,26

146	43-a	49,2	1,25	17,06	4,38	4,59	0,45	4,96	9,99	4,00	1,40	0,77	2,51	100,21
147	44	49,2	1,65	17,05	4,21	5,35	0,17	4,86	10,22	4,00	1,2	0,81	1,70	100,42
148	44-a	49,4	1,3	17,21	4,21	5,35	0,13	4,62	9,51	3,25	2,28	0,80	2,19	100,25
149	45	49,2	1,40	17,57	4,85	4,90	0,15	4,44	10,22	3,80	1,90	0,79	1,46	100,68
150	45/a	49,5	1,25	17,89	2,85	5,66	0,15	5,13	9,75	4,00	1,20	0,71	2,13	100,22
151	49-a	49,7	1,3	17,0	3,20	5,05	0,10	5,13	8,80	4,40	1,53	0,70	3,06	99,67
152	49	50,4	1,4	17,15	3,54	5,35	0,15	4,62	9,27	3,90	2,46	0,72	1,30	100,26
153	47	51,0	1,4	17,36	3,03	5,51	0,18	4,79	8,80	4,20	1,30	0,75	2,11	100,56
154	47/a	49,6	1,2	17,49	3,70	5,20	0,20	4,62	9,99	4,10	1,30	0,75	2,11	100,26

146	43-a	49,2	1,25	17,06	4,38	4,59	0,45	4,96	9,99	4,00	1,40	0,77	2,51	100,21
147	44	49,2	1,65	17,05	4,21	5,35	0,17	4,86	10,22	4,00	1,2	0,81	1,70	100,42
148	44-a	49,4	1,3	17,21	4,21	5,35	0,13	4,62	9,51	3,25	2,28	0,80	2,19	100,25
149	45	49,2	1,40	17,57	4,85	4,90	0,15	4,44	10,22	3,80	1,90	0,79	1,46	100,68
150	45/a	49,5	1,25	17,89	2,85	5,66	0,15	5,13	9,75	4,00	1,20	0,71	2,13	100,22
151	49-a	49,7	1,3	17,0	3,20	5,05	0,10	5,13	8,80	4,40	1,53	0,70	3,06	99,67
152	49	50,4	1,4	17,15	3,54	5,35	0,15	4,62	9,27	3,90	2,46	0,72	1,30	100,26
153	47	51,0	1,4	17,36	3,03	5,51	0,18	4,79	8,80	4,20	1,30	0,75	2,11	100,56
154	47/a	49,6	1,2	17,49	3,70	5,20	0,20	4,62	9,99	4,10	1,30	0,75	2,11	100,26

146	43-a	49,2	1,25	17,06	4,38	4,59</

ОКОНЧАНИЕ ТАБЛ. 1

Окончание табл. 1														
1	2	3	4	5	6	7	8	9	10	11	12	13	14	15
182	801	70,28	0,57	14,01	0,96	2,51	0,07	0,96	1,47	3,42	4,59	0,15	1,36	100,28
183	861	70,42	0,55	15,24	0,52	3,00	0,05	1,49	0,63	3,03	3,02	0,17	1,86	99,78
184	832	71,88	0,45	13,32	1,12	2,05	0,04	0,77	1,12	2,89	4,83	0,13	1,31	99,91
185	833	71,99	0,37	13,48	0,96	2,87	0,07	0,72	1,01	3,34	4,49	0,12	0,87	99,93
186	843	72,34	0,30	13,18	1,93	2,59	0,07	0,72	0,84	3,07	3,51	0,12	0,76	99,98
187	851	73,55	0,20	13,31	0,56	2,16	0,08	0,81	0,63	3,22	3,89	0,14	0,91	99,85
188	853	74,73	0,15	13,15	0,35	1,58	0,02	0,69	0,49	2,84	4,68	0,12	0,69	99,68
189	837	75,00	0,19	12,49	2,02	0,57	0,04	0,46	0,25	3,43	4,93	0,11	0,85	100,15
190	838	75,10	0,18	13,02	0,82	1,29	0,04	0,67	0,56	3,16	4,72	0,12	0,91	100,12
191	834	75,12	0,18	12,76	1,97	0,21	0,04	0,72	0,25	3,43	4,72	0,14	0,98	100,23

		Массив Тардоки-Яни						Хуту-Джакурский ареал								
		0,70	0,45	3,64	0,08	1,74	2,44	3,37	4,02	0,16	0,70	0,75	0,16	0,28	0,02	
192	124	67,40	0,70	15,37	0,45	0,08	1,72	2,42	3,79	0,13	0,62	0,75	0,16	0,27	0,02	
193	134	67,80	0,66	15,08	0,48	3,37	0,08	1,88	2,43	3,81	0,12	0,62	0,75	0,16	0,23	0,02
194	130	68,21	0,64	14,86	0,23	3,47	0,06	1,46	2,14	4,28	0,14	0,48	0,75	0,16	0,23	0,02
195	128-6	68,42	0,58	15,14	0,42	3,28	0,08	0,88	1,33	5,08	0,11	0,59	0,75	0,16	0,60	0,02
196	126	72,45	0,34	13,55	0,11	2,07	0,05	0,98	1,34	4,77	0,08	0,50	0,75	0,16	0,62	0,02
197	128-в	72,86	0,33	13,61	0,15	1,96	0,06								0,80	
198	121	69,03	0,58	14,65	0,43	3,36	0,07	1,28	1,96	3,28	0,28	0,75	0,16	0,27	0,02	0,02
199	118	71,82	0,30	13,46	0,27	2,20	0,07	0,96	1,05	4,89	0,16	1,10	0,75	0,16	0,24	0,02
200	138	73,55	0,16	13,92	0,11	1,66	0,07	0,54	1,27	4,52	0,06	1,04	0,75	0,16	1,05	0,02
201	140	75,44	0,06	13,42	0,02	0,78	0,11	0,36	0,65	5,03	0,12	0,58	0,75	0,16	1,00	0,02
202	142	76,32	0,06	12,70	0,11	0,74	0,12	0,12	0,36	5,79	0,08	0,69	0,75	0,16	1,00	0,02

Ареал Арса														
203	102	64,66	0,43	16,44	0,50	3,50	0,42	1,93	4,41	3,38	3,28	0,49	1,91	100,75
П р и м е ч а н и е . Породы: 1 — пироксеновый диорит; 2 — роговообманиловое габбро; 3—7 — роговообманиловое габбро; 8—9 — цирконит; 10—габбро; 11—13 — диорит; 14 — габбро; 15 — диорит; 16—17 — габбро; 18—диорит; 19—диорит; 20—кварцевый диорит; 21—биотит-роговообманиловый гранодиорит; 22—кварцевый диорит; 23—биотит-роговообманиловый гранодиорит; 24—кварцевый диорит; 25—биотит-роговообманиловый гранодиорит; 26—биотит-роговообманиловый гранит; 27—биотит-роговообманиловый гранит; 28—биотит-роговообманиловый гранит; 29—биотит-роговообманиловый гранит; 30—33 — биотит-плагиогранит; 34—35 — биотит-роговообманиловый гранит; 36—39 — биотит-роговообманиловый гранит; 40—41 — биотит-роговообманиловый гранит; 42—43 — кварцевый синтетический гранодиорит; 44—45 — биотит-роговообманиловый гранодиорит; 46—52 — биотит-роговообманиловый гранодиорит; 53—54 — биотит-роговообманиловый гранодиорит; 55—58 — биотит-роговообманиловый гранит; 59—61 — биотит-роговообманиловый гранит; 62—66 — биотит-роговообманиловый гранит; 67—72 — габбро; 73 — диорит; 74 — габбро; 75—76 — биотит-роговообманиловый гранодиорит; 77 — биотит-роговообманиловый гранодиорит; 78—82 — биотит-роговообманиловый гранит; 83 — биотит-роговообманиловый гранит; 84 — диорит; 85 — габбро; 86 — габбро; 87 — габбро; 88 — габбро; 89 — габбро; 90 — габбро; 91 — габбро; 92 — габбро; 93 — габбро; 94 — габбро; 95 — габбро; 96 — габбро; 97 — габбро; 98 — габбро; 99 — габбро; 100 — габбро.														

卷之三

Таблица 2

ОКОНЧАНИЕ ТАБЛ. 2

1	2	3	4	5	6	7	8	9	10	11	12	13	14	15	16	17
6	86/5	93	136/-	168	3.39	12,50	4,08	19,72	8,60	0,40	3,45	0,16	0,025	0,40	99,46	
7	93	136/-	168	36,20	13,50	5,59	12,60	17,86	9,94	0,35	8,66	0,16	0,025	0,19	99,43	
8	136/-	168	36,30	36,50	12,60	4,98	12,40	25,01	5,91	0,31	8,34	0,16	0,025	0,19	99,23	
9	168	36,50	35,50	37,01	4,50	2,80	2,26	19,11	0,50	1,47	7,34	0,28	0,24	0,27	99,23	
10	169	35,50	35,72	35,72	3,01	3,72	12,37	17,65	0,20	0,62	8,34	0,24	0,025	0,27	100,46	
11	236	229	36,13	35,84	12,45	3,75	12,59	20,40	0,23	12,14	7,34	0,24	0,025	0,27	99,50	
12	230	229	36,13	36,34	4,05	12,65	13,07	24,07	0,23	11,25	9,30	0,24	0,025	0,27	98,46	
13	14	215	36,34	35,84	4,42	4,04	11,69	21,43	0,34	12,49	8,76	0,24	0,025	0,27	102,22	
14	14	234	36,25	36,25	4,04	3,5	11,97	24,00	0,33	10,65	9,33	0,24	0,025	0,27	98,72	
15	15	212	36,33	36,33	4,04	3,5	11,97	24,00	0,33	10,65	9,33	0,24	0,025	0,27	99,21	
16	17	214	36,21	36,21	4,04	3,5	11,97	24,00	0,33	10,65	9,33	0,24	0,025	0,27	98,11	
17	18	157/4	36,45	36,45	4,33	3,84	11,28	23,01	0,16	9,70	9,95	0,24	0,025	0,27	99,78	
18	19	137	35,37	35,37	4,33	3,84	12,07	23,72	0,16	10,28	9,08	0,24	0,025	0,27	100,13	
19	20	98/2	36,22	36,22	4,37	3,84	13,01	21,81	0,18	10,63	9,06	0,24	0,025	0,27	98,84	
20	21	158/1	35,39	35,39	3,94	3,94	13,54	19,72	0,18	10,63	9,06	0,24	0,025	0,27	98,57	
21	22	246	35,86	35,86	3,43	3,43	12,92	20,59	0,19	11,68	9,1	0,24	0,025	0,27	98,71	
22	23	262	36,45	36,45	3,84	3,84	11,28	23,01	0,41	10,02	9,20	0,24	0,025	0,27	96,99	
23	24	264	36,10	36,10	3,66	3,66	12,55	24,14	0,57	8,48	8,74	0,24	0,025	0,27	98,19	
24	25	258	35,31	35,31	3,89	3,89	12,10	24,87	0,43	7,95	7,57	0,24	0,025	0,27	98,89	
25	26	254	35,61	35,61	3,58	3,58	13,03	24,91	0,77	7,60	7,57	0,24	0,025	0,27	98,47	
26	27	124	35,99	35,99	3,39	3,39	12,58	20,71	0,28	11,15	9,36	0,24	0,025	0,27	98,16	
27	28	10/4	35,72	35,72	3,67	3,67	13,13	19,79	0,44	11,77	9,15	0,24	0,025	0,27	98,81	
28	29	12/4/5	36,81	36,81	3,39	3,39	12,71	20,32	0,29	11,4	9,11	0,24	0,025	0,27	98,53	
29	30	12/4	35,61	35,61	2,90	2,90	12,48	20,35	0,28	11,8	9,13	0,24	0,025	0,27	97,07	
30	31	9/3	38,05	38,05	3,81	3,81	11,72	20,76	0,27	11,38	8,91	0,24	0,025	0,27	99,39	
31	32	14/4a	36,77	36,77	4,96	4,96	13,23	18,70	0,03	12,03	9,64	0,24	0,025	0,27	99,15	
32	33	16/4a	36,28	36,28	4,13	4,13	13,69	20,90	0,21	10,49	9,25	0,24	0,025	0,27	98,83	
33	34	16/4a	36,14	36,14	3,93	3,93	13,93	20,48	0,24	10,36	9,16	0,24	0,025	0,27	98,69	
34	35	3/19	35,16	35,16	3,03	3,03	13,92	24,70	0,27	8,48	8,49	0,24	0,025	0,27	98,26	
35	36	3/15	35,50	35,50	3,18	3,18	13,87	19,85	0,63	11,30	8,51	0,24	0,025	0,27	97,52	

П р и м е ч а н и е. 1 — биотит-роговообманковый гранит, Енисейский plutон; 2—5 — Каахемский plutон; 2 — биотит-роговообманковый кварцевый диорит, 3, 4 — биотит-роговообманковый гранодиорит, 5 — биотит-роговообманковый кварцевый диорит, 6, 7, 9, 10 — Федотовский pluton; 6 — биотит-роговообманковый гранит, 7 — биотит-роговообманковый гранит, 8 — биотит-тиреоконкавый диорит, Таскильский массив; 11—15 — биотит-роговообманковый гранит, 16—21 — биотит-роговообманковый гранит, 17 — биотит-роговообманковый гранит, Центральносибирский массив; 18 — биотит-роговообманковый гранит, 19—21 — биотит-роговообманковый гранит, 22 — биотит-роговообманковый пегматогранит, 23—26 — биотит-роговообманковый пегматогранит, Дударевский pluton; 27—32 — биотит-роговообманковый гранит, Консуктовский pluton; 33—36 — биотит-роговообманковый гранодиорит, ташуольский комплекс, р. Манычай; 35, 36 — биотит-роговообманковый гранодиорит, Каахемский pluton; 33, 34 — биотит-роговообманковый гранодиорит, ташуольский комплекс, Енисейский pluton; 37 — биотит-роговообманковый гранит, Каахемский pluton; 38 — биотит-роговообманковый гранит, Енисейский pluton; 39 — биотит-роговообманковый гранит, Каахемский pluton; 40 — биотит-роговообманковый гранит, Енисейский pluton; 41—46 — выполнены на микрозоне, аналитик И. В. Черепанова; 47 — выполнены на микрозоне, аналитик Н. А. Арапова.

ЛИТЕРАТУРА

- Абдулин А. А.** Эффузивные формации среднего палеозоя Западных Мугоджар и некоторые особенности их металлогенеза.— В кн.: Магматические формации, метаморфизм, металлогенез Урала. Свердловск: Изд-во УФ АН СССР, 1969, с. 80—98.

Абдуллаев Р. И. Геосинклинальные вулканогенные формации Азербайджана.— В кн.: Эволюция вулканизма в истории Земли. М.: Изд-во АН СССР, 1974, с. 221—230.

Абдуллаев Р. И., Ахундов Ф. А. и др. Магматические формации Азербайджана.— В кн.: Магматизм, формации кристаллических пород, глубины Земли. Т. II. М.: Наука, 1972, с. 117—122.

Абдуллаев Р. И., Гасанов Р. К. и др. Особенности развития геосинклинального вулканизма северо-восточной части Малого Кавказа.— В кн.: Палеовулканизм и его продукты. Петрозаводск, Карельский филиал АН СССР, 1977, с. 87—94.

Аевдонец Н. А. Гранитоиды Гарганской глыбы. Сумсунурский интрузивный комплекс. Восточный Саян. Л.: Наука, 1967. 97 с.

Агентов В. Б., Кудрявцев Г. А. О генетической связи колчеданно-полиметаллического оруденения восточной Тувы с нижнекембрийской спилит-кератофировой формацией.— В кн.: Геология и металлогенез эффузивно-осадочных формаций Сибири. Новосибирск: СНИИГГИМС, 1964, с. 22—28.

Агентов В. Б., Рейтингер А. А. Тектоно-вулканическая структура золото-серебряного проявления.— В кн.: Глубинное строение, магматизм и металлогенез Тихоокеанских вулканических поясов. Владивосток, 1976. 385 с.

Алабин Л. В. Ольгинский интрузивный массив на северо-западе Кузнецкого Алатау.— Вестн. Зап.-Сиб. и Новосиб. геол. упр., 1959, вып. 3, с. 50—59.

Алабин Л. В. Нижнекембрийский габбро-плагиогранитовый комплекс на севере Кузнецкого Алатау.— Геол. и геофиз., 1966а, № 4, с. 81—89.

Алабин Л. В. О возрасте мартайгинского гранитоидного комплекса и связанного с ним оруденения (Кузнецкий Алатау).— Изв. АН СССР. Сер. геол., 1966б, № 12, с. 122—127.

Алабин Л. В. Ургодатско-Федотовский скарпово-рудный район на северо-западе Кузнецкого Алатау.— В кн.: Материалы по минералогии, петрографии и полезным ископаемым Западной Сибири и Красноярского края. Томск, 1967а, с. 86—91.

Алабин Л. В. К вопросу об изучении формы тел магматических массивов (на примере гранитоидов Кузнецкого Алатау).— В кн.: Вопросы геологии, методика поисков и разведки месторождений полезных ископаемых. Новосибирск: СНИИГГИМС, 1967б, с. 98—103.

Алабин Л. В. О возрасте Центральшинского гранитоидного массива.— В кн.: Материалы по минералогии, петрографии и полезным ископаемым Западной Сибири и Красноярского края. Томск: Изд-во Томск. ун-та, 1967в, с. 114—119.

Алабин Л. В. Центральшинский массив мартайгинского гранитоидного комплекса (Кузнецкий Алатау).— В кн.: Магматические формации Сибири и Дальнего Востока. М.: Наука, 1971, с. 169—213.

Алабин Л. В. Новые данные по магматизму Тельбесского и Кондомского железорудных районов Кузнецкого Алатау. Новосибирск, 1974, с. 50—52.

Алабин Л. В. Проблемы генезиса и пространственного размещения сиенитов и скарново-магнетитовых руд в Кондомском районе Горной Шории.— В кн.: Проблемы дифференциации вещества в магматических и рудообразующих процессах. Новосибирск: Наука, 1977, с. 94—139.

Алабин Л. В. Рудоносность вулкано-плутонического комплекса Ампалинского рудного поля и его перспективы (Кузнецкий Алатау).— В кн.: Рудоносность вулкано-плутонических комплексов Сибири. Новосибирск: Наука, 1979, с. 53—57.

Ананьев А. Р. Кожуховский гранито-диоритовый массив в северо-западных отрогах Кузнецкого Алатау.— Уч. зап. Томского ун-та, 1950, № 14, с. 77—99.

Аношиц Г. И. Золото в магматических горных породах (по данным пейтронно-активационного анализа). Новосибирск: Наука, 1977. 207 с.

- Аржавитин П. В.** Петрохимические особенности магматических формаций Бурибайского района на Южном Урале.— В кн.: Магматические формации, метаморфизм, металлогения Урала. Свердловск: Изд-во УФ АН СССР, 1969, с. 202—210.
- Атлас палеотектонических и структурно-формационных карт палеозоя Юго-Западного Алтая.** М-б 1 : 1 000 000. М.: Недра, 1978.
- Баевасарян Г. П.** Магматические формации Армянской ССР и связанные с ними полезные ископаемые.— В кн.: Магматизм, формации кристаллических пород, глубины Земли. Т. II. М.: Наука, 1972, с. 122—123.
- Баевасарян Г. П.** Основные черты магматизма Армянской ССР.— В кн.: Очерки геологической петрологии. М.: Наука, 1976, с. 172—183.
- Баженов В. И., Кучеренко И. В.** Околорудные изменения вмещающих пород в контакте с золоторудными кварцевыми жилами в Центральном рудном поле (Марийская тайга).— В кн.: Геология золоторудных месторождений Сибири. Новосибирск: Наука, 1970, с. 88—99.
- Баклаев Я. П.** Контактово-метасоматическое месторождение железа и меди на Урале. М.: Недра, 1978. 229 с.
- Бахарев А. Г.** Стратиграфия и особенности состава вулканогенных образований Ульяновской наложенной впадины.— В кн.: Вулканические и интрузивные формации Приохотья. Новосибирск: Наука, 1976, с. 53—76.
- Бахтиев М. К., Васюков Ю. А., Сорокина И. М.** Фаменский вулканизм западной части Центрального Казахстана.— Сов. геология, 1977, № 4, с. 78—89.
- Бекмұхаметов А. Е.** Формирование скарново-рудных зон магнетитовых месторождений Южного Тургая. Алма-Ата: Наука, 1970. 205 с.
- Белоусов А. Ф.** Неоднородность распределения составов в ассоциациях изверженных пород и представление о породных группах.— Геол. и геофиз., 1967, № 5, с. 26—34.
- Белоусов А. Ф.** Об основаниях петрохимической классификации эфузивных пород.— Геол. и геофиз., 1974, № 3, с. 20—26.
- Белоусов А. Ф.** Проблемы анализа эфузивных формаций. Новосибирск: Наука, 1976. 330 с.
- Белоусов А. Ф., Кочкин Ю. И., Полякова З. Г.** Вулканические комплексы рифея и нижнего палеозоя Горного Алтая, Горной Шории и Салаирского кряжа. М.: Наука, 1969. 279 с.
- Белоусов А. Ф., Кривенко А. П., Полякова З. Г.** Вулканические формации. Новосибирск: Наука, 1982. 650 с.
- Белоусов А. Ф., Налетов Б. Ф., Полякова З. Г.** Вулканические комплексы рифея в нижнем палеозое Кузнецкого Алатау. Новосибирск, Наука, 1974. 210 с.
- Беллавин О. В., Ваашаль Д. С., Ниренштейн В. А.** Шартанский гранитный массив и связи с ним золотого оруденения.— Изв. АН СССР. Сер. геол., 1970, № 6, с. 86—91.
- Белый В. Ф.** Вулканические формации и стратиграфия северной части Охотско-Чукотского пояса. М.: Наука, 1969. 175 с.
- Белый В. Ф.** Формации и тектоника Охотско-Чукотского вулканогенного пояса. М.: Наука, 1978. 212 с.
- Белый В. Ф., Котляр И. И. и др.** Кислый вулканизм и некоторые вопросы рудогенеза Охотско-Чукотского вулканогенного пояса.— В кн.: Актуальные проблемы геологии золота на Северо-Востоке СССР. Магадан: ОНТИ СВКНИИ, 1972, с. 70—95.
- Белянина Г. П.** К петрохимии подушечных лав карамалытской свиты на Южном Урале.— В кн.: Вопросы петрологии вулканитов Урала. Свердловск: УНЦ АН СССР, 1975, с. 31—39.
- Берман Ю. С., Ботова М. М., Сандомирская С. М.** Оловянная и серебряная минерализация кайнозойского близповерхностного месторождения.— Сов. геология, 1980, № 11, с. 25—30.
- Билибина Т. В.** Интрузивные комплексы Мугоджар и их металлоносность.— В кн.: Магматизм, метаморфизм, металлогения Урала. Свердловск: Изд-во УФ АН СССР, 1963, с. 179—197.
- Билибина Т. В., Богданов Ю. В.** О перспективах золотоносности в районе Мугоджар.— Геология рудных месторождений, 1959, № 5, с. 104—111.
- Богацкий В. В., Курцерайт Ш. Д.** Закономерности размещения метасоматических магнетитовых месторождений Западного Саяна. М.: Недра, 1966. 175 с.
- Богнинов В. И.** Большереческий габбро-поритовый комплекс в Тельбесском районе Горной Шории.— В кн.: Магматические формации Сибири и Дальнего Востока. М.: Наука, 1971а, с. 61—102.
- Богнинов В. И.** Тельбесский гранитоидный комплекс.— В кн.: Рационализация гранитоидной формации Кузнецкого Алатау. М.: Наука, 1971б, с. 244—331.
- Большев Л. И., Смирнов Н. В.** Таблицы математической статистики. М.: Наука, 1965. 464 с.
- Бондаренко В. И.** Сравнительный анализ геологических объектов с закономерной изменчивостью свойств. М.: Недра, 1978. 132 с.

- Бондаренко В. И., Хотин М. Ю.** Неогеновый вулканизм Камчатки, его петрохимические особенности и металлогенез.— В кн.: Петрохимические особенности молодого вулканизма. М.: Изд-во АН СССР, 1963, с. 43—55.
- Бородаевская М. В., Кривцов А. И. и др.** О металлогенической специализации колчеданоносных вулканогенных формаций.— Докл. АН СССР, 1969, т. 187, № 2, с. 424—423.
- Бородаевская М. В., Кривцов А. И., Ширяй Е. П.** Основы структурно-формационного анализа колчеданоносных провинций. М.: Недра, 1977. 153 с.
- Бородаевская М. В., Курбанов Н. К. и др.** Учалинский рудный район.— В кн.: Типы рудных районов колчеданоносных провинций Южного Урала и Западного Казахстана. М.: ЦНИГРИ, 1973, с. 105—111.
- Бородаевская М. В., Курбанов Н. К., Кривцов А. И.** Типы рудных районов Магнитогорского мегасинклиниория и некоторые вопросы генезиса колчеданных месторождений.— В кн.: Типы рудных районов колчеданоносных провинций Южного Урала и Западного Казахстана. М.: ЦНИГРИ, 1973, с. 99—188.
- Бухаров И. С.** Кембрийский вулканизм востока Тувы на примере некоторых структурных зон.— В кн.: Материалы по геологии Тувинской АССР. Кызыл: Кн. изд-во, 1974, с. 22—27.
- Бушляков И. И.** Сравнительная минерало-геохимическая характеристика гранитоидов Верх-Исетского и Салдинско-Петрокаменского антиклиниориев.— В кн.: Магматические формации, метаморфизм, металлогенез Урала. Т. 4. Свердловск: Уральский рабочий, 1971, с. 138—147.
- Бушляков И. И.** Геохимия редких элементов в гранитоидах Верхнотурско-Верхисетского мегасинклиниория.— В кн.: Вопросы петрологии гранитоидов Урала. Свердловск: Уральский рабочий, 1972, с. 189—216.
- Бушляков И. И., Соболев И. Д.** Петрология, минералогия и геохимия гранитоидов Верхисетского массива. М.: Наука, 1976. 339 с.
- Васильев Б. Д.** К петрохимии пород Мартайгинского и Кийского интрузивных комплексов.— В кн.: Материалы по минералогии, петрографии и полезным ископаемым Западной Сибири и Красноярского края. Томск, 1964, с. 132—140.
- Васильев И. Л.** Геология Еравинского рудного поля. Новосибирск: Наука, 1977. 125 с.
- Вахрушев В. А.** Минералогия, геохимия и образование месторождений скарново-заторудной формации. Новосибирск: Наука, 1972. 237 с.
- Ващилов Ю. Я., Политов В. К. и др.** Магматические комплексы Верхнетурочинской вулкано-тектонической структуры.— В кн.: Магматизм и металлогенез Дальневосточного региона. Владивосток: Изд-во ДВ НЦ АН СССР, 1980, с. 67—72.
- Велинский В. В.** Кембрийский вулканизм Западного Саяна. Новосибирск: Наука, 1968. 153 с.
- Врублевский В. А.** Петрохимические особенности интрузивных комплексов северо-восточной части Марийской Тайги (Кузнецкий Алатау).— В кн.: Материалы по минералогии, петрографии и полезным ископаемым Западной Сибири и Красноярского края. Томск: Изд-во Томск. уп-та, 1965, с. 239—252.
- Вулканогенные колчеданно-полиметаллические месторождения (на примере Рудного Алтая)/Яковлев Г. Ф., Гончарова Т. Я. и др.** М.: Изд-во МГУ, 1978. 278 с.
- Вулканические комплексы рифея и нижнего палеозоя Севера Урала/Голдин Б. А., Фишман М. В. и др.** Л.: Наука, 1973. 212 с.
- Габбро-гранитные серии западной части Заисанской складчатой системы/Ермолов П. В., Изох Э. П. и др.** Новосибирск: Наука, 1977. 245 с.
- Геология и металлогения Чингиз-Тарбагатайского мегасинклиниория/Жаутиков Т. М., Поляцкий Н. В. и др.** Алма-Ата: Наука, 1977. 158 с.
- Геология МНР. Т. 2/Хасин Р. А., Благородов В. А. и др.** М.: Недра, 1973. 751 с.
- Геология МНР. Т. 3/Хасин Р. А., Маринов Н. А. и др.** М.: Недра, 1977. 703 с.
- Геология Северного Вьетнама/Довжиков А. Е., Васильевская Е. Д., и др.** Ханой, 1965. 668 с.
- Геология СССР. Т. XII.** Пермская, Свердловская, Челябинская и Курганская области. Ч. I. Геологическое описание. М.: Недра, 1969. 723 с.
- Геология СССР. Т. XXIX.** Тувинская АССР. Ч. I. Геологическое описание. М.: Недра, 1966. 459 с.
- Геология СССР. Т. 34.** Тургайский прогиб. Геологическое описание. Кн. I. М.: Недра, 1971. 534 с.
- Геология СССР. Т. XX.** Центральной Казахстан. Кн. 2. М.: Недра, 1972. 387 с.
- Геря В. И.** Верхнекембрийский габбро-плагиогранитный комплекс Тейского железорудного узла (Кузнецкий Алатау).— В кн.: Магматические и метаморфические образования Сибири. М.: Недра, 1968, с. 72—74.
- Гончаров В. И., Сидоров А. А.** Термобарогеохимия вулканогенного рудообразования. М.: Наука, 1979. 207 с.
- Гордеева Е. А.** Кислые субвулканические породы из района колчеданных месторождений им. III Интернационала.— В кн.: Вопросы петрологии вулканитов Урала. Свердловск: изд. УНЦ АН СССР, 1975, с. 58—71.

- Гордиенко И. В., Андреев Г. В., Кузнецов А. И.* Магматические формации палеозоя Саяно-Байкальской горной области. М.: Наука, 1978. 220 с.
- Грешнер С. Г.* К петрохимии магматических комплексов Западных Мугоджар.— В кн.: Магматизм, метаморфизм, металлогенesis Урала. Свердловск: Изд-во УФ АН СССР, 1963, с. 225—231.
- Груза В. В., Крюков В. Б.* Геология и генезис Майнского колчеданного месторождения (Западный Саян).— В кн.: Материалы по петрографии и геологии полезных ископаемых. Л.: Недра, 1968, с. 94—105.
- Давиденко И. В.* К вопросу о корреляции между процентными величинами.— В кн.: Вопросы петрохимии, 1969, с. 85—87.
- Далимов Т. И., Айзенштат В. И. и др.* Биотиты вулканогенных формаций Кураминской зоны (Средний Тильт-Шань).— В кн.: Записки Узбекист. отд. Всес. минералог. о-ва. Ташикент: Фан, 1977, с. 115—121.
- Демин А. М., Крапачев О. М., Круть И. В.* Девонский вулканический комплекс Северного Кавказа.— Изв. АН СССР. Сер. геол., 1965, № 11, с. 47—62.
- Джарбашян Р. Т.* Петрохимические особенности и эволюция юрского вулканизма Базумского хребта.— В кн.: Вопросы минералогии и петрографии Армянской ССР. Ереван: Изд-во АН АрмССР, 1966, с. 48—60.
- Дзоцидзе Г. С.* Кислый вулканизм дооргенической стадии развития эвгеоспилклиниали.— В кн.: Очерки геологической петрологии. М.: Наука, 1976, с. 7—15.
- Дистанова А. Н.* Мартайгинский гранитоидный комплекс.— В кн.: Магматические формации Алтас-Саянской складчатой области. М.: Наука, 1965, с. 122—159.
- Дистанова А. Н.* Мартайгинский гранитоидный комплекс.— В кн.: Раннепалеозойская гранитоидная формация Кузнецкого Алатау. М.: Наука, 1971, с. 162—243.
- Дистанова А. Н.* Раннепалеозойский гранитоидный комплекс Джидинского района (Юго-Западное Забайкалье).— В кн.: Раннепалеозойские гранитоидные формации Западного Забайкалья и Кузнецкого Алатау. Новосибирск: Наука, 1975, с. 49—123.
- Дистанов Э.-Г.* Колчеданно-полиметаллические месторождения Сибири. Новосибирск: Наука, 1977. 351 с.
- Дифференцированные габброродильные интрузии каледонид Восточного Саяна/Поляков Г. В., Кривенцова А. П. и др.* Новосибирск: Наука, 1974. 130 с.
- Довгаль В. И.* Раннепалеозойская габбро-сненитовая формация центральной части Алтас-Саянской складчатой области. М.: Наука, 1968. 204 с.
- Довгаль В. И., Широких В. А., Алабин Л. В.* Новые данные о составе и возрасте раннепалеозойского габбро-сненитового комплекса окрестностей рудника Берикуль (север Кузнецкого Алатау).— В кн.: Проблемы петрологии ультраосновных и основных пород. Новосибирск: Наука, 1972, с. 115—130.
- Долгушин С. С., Минубаев В. П., Алабин Л. В.* Эксплозионные брекчи Тейско-Абакасского рудного поля и связь с ними оруденения (Кузнецкий Алатау).— В кн.: Проблемы генезиса железорудных месторождений Сибири. Новосибирск: Наука, 1979, с. 66—78.
- Дубенко И. Г., Ворин М. И.* Основные черты геологического строения и золотоносности северной части Кумакского золоторудного месторождения.— Изв. вузов, геология и разведка, 1965, № 11, с. 85—89.
- Дубинин В. С.* Гранитоиды южной части Зауральского поднятия и особенности их металлогенеза.— Вопросы петрологии гранитоидов Урала. Свердловск: Изд. УНЦ АН СССР, 1972, вып. 93, с. 114—129.
- Дылевский Е. Ф.* Меловые вулканогенные образования Омолонского массива и их петрохимические особенности.— В кн.: Вопросы геологии срединных массивов Северо-Востока СССР. Магадан: Изд-во СВКНИИ ДВНЦ АН СССР, 1977, с. 104—119.
- Дымкин А. М.* Контактово-метасоматические месторождения железа южной части главной рудной полосы Тургая. Новосибирск: Изд-во Сиб. отд. АН СССР, 1962. 236 с.
- Дымкин А. М.* Петрология и генезис магнетитовых месторождений Тургая. Новосибирск: Наука, 1966. 168 с.
- Дымкин А. М.* Вулкано-плутонический магматизм и эндогенное железорудение.— В кн.: Вулкано-плутонический магматизм и железорудение. Новосибирск: Наука, 1970, с. 5—30.
- Дымкин А. М., Мазуров М. П., Могилева М. П.* Петрохимические особенности железорудных магматических комплексов.— В кн.: Проблемы генезиса, закономерности размещения и перспективы железоруденения Алтас-Саянской складчатой области. Новосибирск: Наука, 1974, с. 43—50.
- Дымкин А. М., Мазуров М. П., Николаев С. М.* Петрология и особенности формирования магнетитовых месторождений Ирбитского рудного поля (Восточный Саян). Новосибирск: Наука, 1975. 186 с.
- Дымкин А. М., Щербак В. М.* Особенности формирования метасоматических и вулканогенно-осадочных руд Тургая. Новосибирск: Наука, 1973. 187 с.
- Дьячков Б. А.* Интрузивный магматизм и металлогенез Восточной Калбы. М.: Недра, 1972. 211 с.

- Еремин Р. А.* Гидротермальный метаморфизм и оруденение Арманской вулканоструктуры. Новосибирск: Наука, 1974. 133 с.
- Жамгоев О. С.* Петрохимические особенности вулканогенных пород девонского возраста в междуречье Уруп—Теберда (Северный Кавказ). Л.: ВСЕГЕИ, 1969, с. 287—288.
- Заварийский В. А.* Щелочные жильные породы из окрестностей Берикульского золоторудного месторождения.— Изв. АН СССР. Сер. геол., 1945, № 6, с. 57—77.
- Загрузина И. А.* Геохронология мезозойских гранитоидов Северо-Востока СССР. М.: Наука, 1977. 278 с.
- Зайков В. В.* Рудоносные вулканические комплексы протерозоя и кембрия Тувы. Новосибирск: Наука, 1976. 126 с.
- Закономерности размещения и образования магнетитовых и хромитовых месторождений Мугоджар и Тургайского прогиба/Комиссаров Б. И., Кобзарь П. Н. и др.* Алма-Ата: Изд-во АН КазССР, 1968. 29 с.
- Злобин В. А., Куруленко Р. С.* Происхождение и признаки золотоносных гранитоидов в свете радиогеохимических данных.— Геол. и геофиз., 1981, № 4, с. 68—73.
- Знаменский И. Д.* Гранитоиды габбровой формации Среднего Урала. Свердловск, УФ АН СССР, 1966. 144 с.
- Зубкус Б. П., Шнейдер Е. А.* Вулканогенно-осадочные отложения кембрия юго-западной части Восточного Саяна и их металлогенез.— В кн.: Геология и металлогенез вулканогенно-осадочных формаций. Новосибирск: СИИГГИМС, 1964, с. 3—18.
- Зиков Е. И., Кузоватов И. И.* Структурные и минералого-генетические особенности Федотовского золоторудного месторождения (Марийская Тайга).— В кн.: Вопросы геологии Сибири. Томск: Изд-во Томск. ун-та, 1971, с. 99—101.
- Иванова Т. И.* Закономерности раннепалеозойского магматизма в различных структурах Тувы. М.: Госгеолтехиздат, 1963. 167 с.
- Изох Э. П.* О классификации габбро-гранитовых серий в металлогенических целях.— В кн.: Магматизм формаций кристаллических пород и глубины Земли. М.: Наука, 1972, с. 16—21.
- Изох Э. П.* Оценка рудоносности гранитоидных формаций в целях прогнозирования. М.: Недра, 1978. 136 с.
- Изох Э. П., Налетов Б. Ф.* Принципы классификации и применения номенклатуры гранитоидов.— Зап. Всесоюз. минералог. о-ва, 1974, ч. 103, вып. 2, с. 205—218.
- Изох Э. П., Нгуен Ван Тьен, Ле Динь Хыу.* Интрузивный магматизм Северного Вьетнама.— В кн.: Геология Северного Вьетнама. Ханой, 1965, с. 300—556.
- Интрузивные серии Северного Сихотэ-Алиня и Нижнего Приамурья, их рудоносность и происхождение/Изох Э. П., Русс В. В. и др.* М.: Наука, 1967, 383 с.
- Каденская М. И., Савич В. В.* Петрология Каракольского гранитоидного массива (Тургайский прогиб).— В кн.: Петрология, литология и биостратиграфия. Л., 1973, с. 139—155.
- Каипов А. Д., Каюпов А. К.* Ордовикский вулканизм и медиоколчеданное оруденение Акбастау-Кусмуринского поля. Алма-Ата: Наука, 1971. 189 с.
- Калугин А. С.* Сравнительная характеристика железорудных месторождений Алтая и Швеции.— Геология и геофизика, 1968, № 8, с. 56—66.
- Карагодин С. С.* Петрографические и петрохимические особенности андезит-липаритовой формации Мугоджар.— В кн.: Вулканизм Южного Урала. Свердловск, 1974, с. 165—168.
- Караева З. Г.* Петрохимические особенности рудоносных гранитоидов.— Докл. АН СССР, 1968, т. 179, № 6, с. 1436—1439.
- Каретина Л. Т.* Кислые аффузивы спилит-кератофировой формации зеленокаменной полосы севера Среднего Урала.— В кн.: Магматические формации, метаморфизм, металлогенез Урала. Свердловск: Изд-во УФ АН СССР, 1969, с. 155—165.
- Каретина Л. Т.* Петрография кремпекисловых вулканитов спилито-кератофировой формации северной части Тагильского погружения.— В кн.: Вулканические образования Урала. Свердловск: Изд. УНЦ АН СССР, 1978, с. 115—121.
- Кашкай М. А.* Петрология и металлогенез Дашикесана и других железорудных месторождений Азербайджана. М.: Недра, 1965. 888 с.
- Кашкай М. А.* Основные черты геолого-структурных и петролого-металлогенических зон Малого Кавказа в свете новых данных.— В кн.: Очерки геологической петрологии. М.: Наука, 1976, с. 308—318.
- Кембрийская тектоника и вулканизм Тувы/Волков В. В., Лапин Б. Н. и др.* М.: Наука, 1970. 156 с.
- Керимов Г. И.* Петрология и рудоносность Кедабекского рудного узла. Баку: Изд-во АН АзССР, 1963. 552 с.
- Ким В. А., Каюпов А. К.* Эффузивные комплексы Мизек-Кусмуринской рудной зоны и отношение к ним эндогенного оруденения.— В кн.: Геология и рудоносность вулканогенных формаций Казахстана. Алма-Ата: Наука, 1966, с. 150—162.
- Кляровский В. М.* Геохронология горных областей юго-западной части обрамления Сибирской платформы. Новосибирск: Наука, 1972. 257 с.

- Князев Г. Б.** Особенности интрузивного магматизма района Табратского месторождения.— В кн.: Сборник статей по геологии Сибири. Томск: Изд-во Томск. ун-та, 1975, с. 57—65.
- Князева Л. Н., Ефанова Н. В.** Эйфельские вулканогенные образования Ивдельского района на Северном Урале.— В кн.: Магматические формации, метаморфизм, металлогенез Урала. Т. II. Свердловск: Изд-во УФ АН СССР, 1969, с. 155—165.
- Ковалев П. Ф., Бухаров И. С.** Сравнительная характеристика гранитоидных массивов Таннуольского комплекса Центральной и Восточной Тувы.— В кн.: Материалы по геологии Тувинской АССР, Кызыл: Кн. изд-во, 1979, вып. IV, с. 71—84.
- Колман Р. Г.** Офиолиты. М.: Мир, 1979. 256 с.
- Колчеданные месторождения мира.** М.: Недра, 1979. 282 с.
- Колчеданные месторождения Урала.** М.: Изд-во АН СССР, 1950. 328 с.
- Конников Э. Г., Ермолов П. В., Добрецов Г. Л.** Петрология синеклиновых габбро-гнейсовых серий (Восточный Казахстан). Новосибирск: Наука, 1977. 140 с.
- Конопов А. Н.** О локализации железорудных тел на месторождениях Горной Шории.— В кн.: Вопросы геологии Сибири. Томск, 1971, с. 117—119.
- Конопов О. А.** Главные особенности геологического строения Элекмонарского массива Горного Алтая.— В кн.: Гранитоидные комплексы Сибири. Новосибирск: Наука, 1979, с. 70—75.
- Корель В. Г.** Петрология магнетитовых месторождений Алтас-Саянской области. М.: Недра, 1972. 146 с.
- Корель В. Г., Кузнецова В. И.** Петрологический очерк Ольгинско-Ампальского интрузива (северная часть Кузнецкого Алатау).— Геол. и геофиз., 1961, № 2, с. 47—60.
- Кориневский В. Г.** Вулканогенные породы нижнего силура Сакмарской зоны Мугоджар.— В кн.: Вопросы петрологии вулканитов Урала. Свердловск: изд. УНЦ АН СССР, 1975, с. 58—71.
- Корнеев Т. Я., Даценко В. М., Бозин А. В.** Рифейский магматизм и колчеданно-полиметаллическое оруденение Енисейского кряжа. М.: Недра, 1974. 132 с.
- Коробейников А. Ф., Маюшевский А. В.** Золото в интрузивных и kontaktово-метасоматических породах Тарданского скарнового поля Тувы.— Геохимия, 1976, № 9, с. 1409—1416.
- Кортусов М. П.** Палеозойские интрузивные комплексы Марийской тайги (Кузнецкий Алатау). Томск: Изд-во Томск. ун-та, 1967. 226 с.
- Котляр И. И.** Вулкано-тектонические структуры и аидезитовый вулканизм северной части Охотско-Чукотского пояса. Автореф. канд. дис. Новосибирск, 1975. 24 с.
- Кривенко А. П.** Сиенит-габбровый pluton Большой Таскыл в Кузнецком Алатау. Новосибирск: Наука, 1973. 105 с.
- Кривцов А. И.** Условия локализации медноколчеданного оруденения в Бурибайском рудном поле (Южный Урал).— Труды ЦНИГРИ, 1967, вып. 67, с. 80—91.
- Кривцов А. И.** Вулканизм и колчеданное оруденение юго-востока Башкирского Урала.— Сов. геология, 1972, № 12, с. 88—95.
- Кривцов А. И.** Об оптимальном химическом составе пород вулканогенных формаций некоторых районов Магнитогорского мегасинклиниория.— В кн.: Вопросы петрологии вулканитов Урала. Свердловск: изд. УНЦ АН СССР, 1975, с. 126—133.
- Кривцов А. И.** Палеовулканизм эвгесинклинальных зон Урала и колчеданообразование. М.: Недра, 1979. 169 с.
- Ксенонитов О. К., Даудов Е. В.** Петрология, геохимия и металлогенез Барамбаевского plutona (Западный Тургай).— В кн.: Геология и полезные ископаемые Тургайского прогиба. Л.: ВСЕГЕИ, 1971, с. 70—90.
- Ксенонитов О. К., Леонова Е. П.** Дайки Тургайского прогиба как индикатор оруденения.— В кн.: Петрология, литология и биостратиграфия. Л., 1973, с. 90—111.
- Кузебий В. С.** Магматические формации Юго-Западного Алтая и их металлогенез. Алма-Ата: Наука, 1975. 340 с.
- Кузебий В. С., Каймакова В. Д.** Девонские вулканогенные формации северо-западного Прииртышья (Западный Алтай).— В кн.: Палеовулканология и проблема вулканогенных формаций. Алма-Ата: КазИМС, 1963, с. 54—67.
- Кузебий В. С., Каймакова В. Д., Свечников Г. Г.** Петрохимические и геохимические особенности вулканогенных образований девона Прииртышского района Рудного Алтая.— В кн.: Вулканогенные формации Казахстана. Алма-Ата: Наука, 1967, с. 90—100.
- Кузнецов В. А.** Тектоническое районирование и основные черты эндогенной металлогении Горного Алтая.— В кн.: Вопросы геологии и металлогенеза Горного Алтая. Новосибирск: Изд-во Сиб. отд. АН СССР, 1963, с. 66—68.
- Кузнецов Ю. А.** Главные типы магматических формаций. М.: Недра, 1964. 386 с.
- Кузоватов И. И., Зыков Е. И.** Петрология изверженных пород района Федотовского золоторудного месторождения (Кузнецкий Алатау).— В кн.: Вопросы геологии Сибири. Томск, 1971.
- Кузоватов И. И., Зыков Е. И.** Петрография, петрохимия и некоторые вопросы петротипезиса интрузивных пород района Федотовского золоторудного месторождения. (Кузнецкий Алатау).— В кн.: Материалы по петрологии и металлогенезу (Кузнецкий Алатау).— В кн.: Материалы по петрологии и металлогенезу Сибири. Томск: Изд-во Томск. ун-та, 1976, с. 3—10.
- Кумеев С. С.** Некоторые петрохимические особенности пород ольховского габбро-гнейсового комплекса (Восточный Саян).— В кн.: Материалы по петрографии некоторых платформенных и складчатых областей. Элиста, 1973, с. 52—64.
- Куруленко С. С.** Количественная оценка степени однородности гранитоидов Шарташского массива на Среднем Урале.— В кн.: Магматические формации, метаморфизм, металлогенез Урала. Т. 4. Свердловск: Уральский рабочий, 1971, с. 148—152.
- Куруленко Р. С.** Исследование однородности петрохимического состава в типах гранитоидов Шарташского массива на Среднем Урале.— В кн.: Ежегодник — 1975 Института геологии и геохимии УНЦ АН СССР. Свердловск, 1976, с. 35—37.
- Куруленко Р. С.** История формирования гранитоидов Шарташского массива.— В кн.: Ежегодник — 1976 Института геологии и геохимии УНЦ АН СССР. Свердловск, 1977, с. 39—41.
- Лазаренко Э. А.** К вопросу о металлогеническом районировании Карпат.— Докл. АН СССР, 1966, т. 171, № 3, с. 679—682.
- Лазаренко Э. А., Гнилко М. К., Зайцева В. И.** Металлогенез Закарпатья. Львов: Изд-во Львовск. ун-та, 1968. 172 с.
- Лапин Б. И.** Нижнепалеозойский вулканизм и колчеданно-полиметаллическое оруденение в Северо-Восточной Туве.— В кн.: Рудные формации эндогенных месторождений Алтас-Саянской области. М.: Наука, 1968, с. 341—362.
- Лапин Б. И.** Кембрийские вулканогенные формации Тувы.— В кн.: Проблемы палеовулканизма Средней Сибири. Красноярск, 1970, с. 50—51.
- Лисицын В. И., Пятов О. И., Александровский Ю. С.** Дифференцированные габброниты восточной части Хамзаринской зоны (Северо-Восточная Тува).— В кн.: Базитовые и ультрабазитовые комплексы Сибири. Новосибирск: Наука, 1979, с. 96—117.
- Литвиновский Б. А., Летников Ф. А.** Свидетельства участия мантийных флюидов в гранитоидном магмообразовании (на основе газового анализа).— Докл. АН СССР, 1980, т. 253, № 2, с. 440—445.
- Львов Б. К.** Петрология, минералогия и геохимия гранитоидов Кочкарского района (Южный Урал). Л.: Изд-во ЛГУ, 1965. 164 с.
- Магматизм и рудоносность Калба-Нарымской зоны (Восточный Казахстан)/Лопатников В. В., Изох Э. П. и др. М.: Наука, 1982 (в печати).**
- Магматические формации СССР.** Т. III/Масайтис В. Л., Москалев В. Н. и др. М.: Недра, 1979. 278 с.
- Мазина Е. А., Ксенонитов О. К.** Интрузивные образования.— В кн.: Геологическое строение Тургайского прогиба. М.: ВСЕГЕИ, 1961, с. 166—222.
- Мазина Е. А., Ксенонитов О. К.** Магматизм Тургайского прогиба и основные этапы его развития.— В кн.: Магматизм, метаморфизм, металлогенез Урала. Свердловск: Изд-во УФ АН СССР, 1963, с. 167—179.
- Мазина Е. А., Райхлин А. И.** Сравнительная характеристика каменноугольных гранитоидных формаций западной части Тургайского прогиба.— В кн.: Магматические формации, метаморфизм, металлогенез Урала. Т. IV. Свердловск, 1971, с. 353—366.
- Мазина Е. А., Райхлин А. И.** Габбро-гранитная формация Западного Тургая и ее металлогеническая специализация.— В кн.: Геология и полезные ископаемые Тургайского прогиба. Л.: ВСЕГЕИ, 1974, с. 6—29.
- Мазуров М. П.** Генетические особенности Тайлского железорудного месторождения.— В кн.: Проблемы генезиса железорудных месторождений Сибири. Новосибирск: Наука, 1979, с. 40—48.
- Малахова Л. В., Чурилин Н. С.** Базальтоидные гранитоиды и их комагматы в Тагильском прогибе (Средний Урал).— В кн.: Вопросы петрологии гранитоидов Урала. Свердловск: Ин-т геологии и геохимии, 1972, с. 33—75.
- Малеев Е. Ф.** Главнейшие этапы развития неогенового вулканизма в Советских Карпатах и связанные с ними металлогенезы.— В кн.: Петрографические провинции, извержения и метаморфические горные породы. М.: Изд-во АН СССР, 1960, с. 162—165.
- Малеев Е. Ф.** Неогеновый вулканизм Закарпатья. М.: Наука, 1964. 251 с.
- Марьин А. М.** Геология и петролого-металлогенические особенности прииртышской интрузивной серии (Юго-Западный Алтай). Автореф. канд. дис. Алма-Ата, 1979. 25 с.
- Маунтес А. В.** Геология Тарданского скарново-золоторудного месторождения.— В кн.: Вопросы геологии Сибири. Томск, 1971, с. 130—132.
- Минин А. Д., Кузмин Г. И.** Медвеженский массив — представитель дифференцированных раннепалеозойских габбронитовых интрузий Кузнецкого Алатау.— Геол. и геофиз., 1976, № 4, с. 144—149.
- Минин А. Д.** Дифференцированные габбронитовые интрузии южной части Центрально-Мартайгипской зоны (Кузнецкий Алатау).— В кн.: Магматические формации Сибири. Новосибирск: Наука, 1977, с. 89—112.

- Миниц А. Д., Саратовцева Е. К. Дифференцированные габбровые интрузии северной части Кузнецкого Алатау.— В кн.: Базитовые и ультрабазитовые комплексы Сибири. Новосибирск: Наука, 1979, с. 126—130.
- Миниц М. В. Контрастная андезито-базальт-липаритовая формация Охотско-Чукотского вулканического пояса и ее место в последовательности вулканических формаций пояса.— В кн.: Эволюция вулканизма в истории Земли. М., 1974, с. 171—177.
- Миниц М. В., Самозапечева З. М. Структурно-литологический контроль оруденения в юго-западной части Охотско-Чукотского вулканического пояса.— В кн.: Глубинное строение, магматизм и металлогения Тихоокеанских вулканических поясов. Владивосток, 1976, с. 394—396.
- Мкртычян С. С. Зангезурская рудоносная область Армянской ССР. Ереван: Изд-во АрмССР, 1958. 280 с.
- Мкртычян С. С., Паффенгольц К. И., Хачатуров Э. А. Алавердский рудный район. Ереван: Изд-во АН АрмССР, 1968. 462 с.
- Монич В. К. К петрологии района Берикульского рудника в Кузнецком Алатау.— Труды ТГУ. Сер. геол., 1938, т. 93, с. 3—62.
- Морковкина В. Ф. Химические анализы изверженных горных пород и породообразующих минералов. М.: Наука, 1964. 250 с.
- Мурадян К. М. Палеогеновый вулканизм и некоторые вопросы связи с ним колчеданного оруденения.— В кн.: Вулканизм и формирование минеральных месторождений в Альпийской геосинклинальной зоне. Львов: Изд-во Львовск. уч-та, 1969, с. 60—61.
- Мурадян К. М. Базумский рудный район Армянской ССР. Ереван: Изд-во АН АрмССР, 1971. 169 с.
- Мурадян К. М. Закономерности формирования и петрохимические особенности субвулканического комплекса Базумского рудного района Армянской ССР.— В кн.: Магматизм и металлогения Армянской ССР. Ереван: Изд-во АН АрмССР, 1972, с. 156—163.
- Пазыкова Г. И., Шалаев Ю. С. О возрасте золотого оруденения Северного Казахстана.— Докл. АН СССР, 1969, т. 188, № 6, с. 1355—1356.
- Налётов Б. Ф. Сопряженность главных показателей химизма с типом оруденения гранитоидов.— Геол. и геофиз., 1976, № 5, с. 133—136.
- Налётов Б. Ф. Корреляция химизма базитов и гранитоидов в базит-гранитоидных сериях.— В кн.: Геология, петрохимия и рудоносность магматических формаций. Новосибирск, 1978а, с. 45—56.
- Налётов Б. Ф. Петрохимия раннеалеозойских базит-гранитоидных ассоциаций Кузнецкого Алатау в связи с рудоносностью.— В кн.: Геология, петрохимия и рудоносность магматических формаций. Новосибирск, 1978б, с. 32—45.
- Налётов Б. Ф. Некоторые особенности химизма гранитоидов с разной рудоносностью в связи с их диагностикой.— Геол. и геофиз., 1978в, с. 14—22.
- Налётов Б. Ф. Гранитоиды с оловянным, вольфрамовым и медно-молибденовым оруденением (минералогия, петрохимия). Новосибирск: Наука, 1981. 230с.
- Налётов Б. Ф., Изюх Э. П. Региональная петрохимия гранитоидов. Новосибирск: Наука, 1976. 127 с.
- Налётов Б. Ф. Петрохимические признаки глубинного регулятора щелочности в магмообразовании.— В кн.: Флюиды в магматических процессах. М.: Наука, 1982 (в печати).
- Нестоянова О. А. Вулканализм восточного склона Южного Урала.— В кн.: Магматизм, метаморфизм, металлогения Урала. Т. II. Свердловск: Изд-во УФ АН СССР, 1963, с. 46—47.
- Нечехун В. М. Вулканогенные горные породы восточной части Баймакского района (Южный Урал) и некоторые особенности их метаморфизма.— В кн.: Магматизм, метаморфизм, металлогения Урала. Т. II. Свердловск, Изд-во УФ АН СССР, 1963, с. 344—345.
- Никонов О. И., Захаров Е. Е., Никонова З. П. Новые данные по геологии и возрасту Кожуховского массива (Кузнецкий Алатау).— В кн.: Новые данные к обоснованию региональных магматических схем Алтае-Саянской складчатой области. Новосибирск: СНИИГГИМС, 1972, с. 10—13.
- Нифантов Б. Ф. О Верхне-Кондомском гранодиоритовом массиве.— Изв. Томского политехн. ин-та, 1964, т. 127, с. 64—71.
- Ножкин А. Д., Болдырев М. В. Рифейский вулканизм, тектоническая зональность и металлогения Енисейского кряжа.— Геол. и геофиз., 1979, № 10, с. 47—61.
- Овчинников Л. И. Контактово-метасоматические месторождения Среднего и Северного Урала. Свердловск: Изд-во УФ АН СССР, 1960. 459 с.
- Оптические и петрохимические исследования магматических образований Центральной Камчатки. М.: Наука, 1967. 186 с.
- Осадкообразование и полезные ископаемые вулканических областей прошлого. М.: Наука, 1968. 343 с.
- Основные закономерности развития и металлогения областей тектономагматической активизации юга Азиатской части СССР/Амантов В. А., Быковская Е. В. и др. Л.: Недра, 1979. 301 с.

- Остафийчук И. М., Толстой М. И. Статистические закономерности распределения химических элементов в гранитоидах. М.: Недра, 1972. 223 с.
- Остроумова А. С., Станкевич Е. К. Андезит-дацитовая формация в средней части Зангезурского хребта (Малый Кавказ) и связанные с нею субвулканические образования.— В кн.: Вулканализм и формирование минеральных месторождений в Альпийской геосинклинальной зоне (Карпаты, Крым, Кавказ). М.: Наука, 1973, с. 71—82.
- Паслова Л. К. Геохимия золота в Майском золоторудном месторождении (Горная Шория).— Тр. Ин-та геол. и геофиз. СО АН СССР, 1976, вып. 255, с. 105—112.
- Палеоводный вулканизм и колчеданные месторождения Южного Урала. М.: Изд-во МГУ, 1968. 291 с.
- Петров П. А., Журавель Р. Ф. К петрохимической характеристике Таннуульского комплекса Тувы.— Тр. Зап.-Сиб. отд. Всес. минералог. о-ва, 1977, вып. 4, с. 29—34.
- Петрова З. И. Петрохимия и некоторые геохимические особенности палеозойских гранитоидов Джидинского интрузивного комплекса (Западное Забайкалье).— В кн.: Вопросы геохимии изверженных горных пород и рудных месторождений Восточной Сибири. М.: Недра, 1965, с. 48—76.
- Пинус Г. В. Таннуульский интрузивный комплекс (Тыва). Новосибирск: Изд-во СО АН СССР, 1961. 110 с.
- Поляков Г. В. Палеозойский магматизм и железооруденение юга Средней Сибири. Новосибирск: Наука, 1971. 319 с.
- Поляков Г. В., Богнибов В. И. и др. Явления гранитизации и магматического замещения в Енисейском плутоне манисского плагиогранитного комплекса.— В кн.: Вопросы магматической геологии Сибири. Новосибирск: Наука, 1978, с. 21—40.
- Пономарев А. П., Налётов Б. Ф. Минеральный состав гранитоидов в связи с их химизмом. Новосибирск: Наука, 1979. 180 с.
- Попов В. Е. Осадочно-вулканогенные толщи западной части Горного Алтая и их металлогения. Л.: Наука, 1967. 159 с.
- Прокин В. А. Закономерности размещения колчеданных месторождений на Южном Урале. М.: Недра, 1977. 172 с.
- Радкевич Е. А. Металлогенические провинции Тихоокеанского рудного пояса. М.: Наука, 1977. 174 с.
- Робонен В. И., Светова А. И. Сравнительная петрохимическая характеристика колчеданоносных осадочно-вулканогенных формаций нижнего протерозоя Южной Карелии.— В кн.: Геология и полезные ископаемые Карелии. Петрозаводск, 1975, с. 20—31.
- Раппенпалеозойская гранитоидная формация Кузнецкого Алатау/Кузнецова Ю. А., Богнибов В. И. и др. М.: Наука, 1971. 348 с.
- Резников И. В. Генетическая связь марганцевой минерализации с колчеданным оруденением в зоне Передового хребта.— Геология рудных месторождений, 1980, т. 22, № 4, с. 113—118.
- Ротман В. К. Петрохимическая эволюция лав срединного Камчатского хребта.— В кн.: Петрохимические особенности молодого вулканизма. М.: Изд-во АН СССР, 1963, с. 56—70.
- Рудные формации эндогенных месторождений. Т. 2/Петровская Н. В., Сафонов Ю. Г., Шер С. Д. и др. М.: Наука, 1976. 393 с.
- Рудные месторождения СССР. Т. II/Борисенко Л. Ф., Бородаевская М. Б., Бурков В. В. и др. М.: Недра, 1978. 348 с.
- Руднич К. И. Магматизм хребта Сарычева. М.: Госгеолтехиздат, 1959. 184 с.
- Рундквист Д. В., Кутырев Э. И. и др. Структурная позиция и металлогения эвгосинклинальных зон Урала.— В кн.: Закономерности размещения полезных ископаемых. Т. XII. М.: Наука, 1978, с. 37—44.
- Русс В. В. Петрографическая характеристика нижнеамурского золотоносного интрузивного комплекса (Северный Сихотэ-Алинь и Нижнее Приамурье).— В кн.: Материалы по геологии и полезным ископаемым Востока СССР. Л.: ВСЕГЕИ, 1964, с. 106—133.
- Сергеев К. Ф. Тектоника Курильской островной системы. М.: Наука, 1976. 237 с.
- Сергиеевский В. М. Магматизм и металлогения Урала.— В кн.: Магматизм и связь с ним полезных ископаемых. М.: Госгеолтехиздат, 1960, с. 672—679.
- Сергиеевский В. М. Магматизм, тектоническое развитие и основные особенности металлогенеза Урала. Автореф. докт. дис. Л., 1971.
- Серноколчеданные месторождения Карелии/Робонен В. И., Рыбаков С. И. и др. Л.: Наука, 1978. 190 с.
- Сидоров А. А. Золото-серебряное оруденение Центральной Чукотки. М.: Наука, 1966. 145 с.
- Сидоров А. А., Югай Т. А. Некоторые сведения о мезо-кайнозойских золото-серебряных месторождениях.— В кн.: Актуальные проблемы геологии золота на Северо-Востоке СССР. Магадан, 1972, с. 53—63.
- Симаков К. В., Шевченко В. М. Кедонская серия: состав, строение, время и условия формирования.— В кн.: Основные проблемы биостратиграфии СВ СССР. Магадан, 1974, с. 189—233.

- Синяков В. И.** Геологическая позиция железооруденения в истории развития вулканизма и интрузивного магматизма Тельбесской рудной зоны.— В кн.: Вулкано-плутонический магматизм и железооруденение. Новосибирск: Наука, 1970, с. 31—42.
- Синяков В. И.** Формационные типы железорудных месторождений Тельбесского рудного пояса (Горная Шория). Новосибирск: Наука, 1975. 193 с.
- Скаржинский В. И., Коптиюк Ю. М. и др.** Минеральные ассоциации золоторудных месторождений в герцинских и альпийских складчатых структурах Украины.— В кн.: Минералогия золота. Владивосток, 1974, с. 13—15.
- Скопина Н. А.** Раннекаменноугольный Богдановский габбро-гранитный массив Магнитогорского комплекса.— Тр. Ин-та геол. и геохимии УФ АН СССР, 1970, с. 96—108.
- Скопина Н. А.** Новые данные о внутреннем строении и составе Магнитогорской габбро-гранитной интрузии на Южном Урале.— В кн.: Формационное и фациальное расщепление гранитоидов. Свердловск, 1975, с. 100—111.
- Скрипченко Н. С.** Вулканогенно-осадочное рудообразование (на примере колчеданных месторождений Северного Кавказа). М.: Недра, 1966. 291 с.
- Скуридин В. А.** Интрузивные комплексы Курайской рудной зоны (Горный Алтай).— Геол. и геофиз., 1964, № 2, с. 48—62.
- Смышляев В. И.** Плагиогранитный интрузивный комплекс северного склона Западного Саяна.— В кн.: Магматические комплексы Алтас-Саянской складчатой области. Новосибирск: Изд-во Сиб. отд. АН СССР, 1963, с. 92—106.
- Соболев И. Д.** Тектоника и магматизм Урала.— В кн.: Магматизм, метаморфизм, металлогения Урала. Свердловск: Изд-во УФ АН СССР, 1963, с. 31—37.
- Соломатин В. Н.** Интрузивные комплексы в бассейне среднего течения реки Мрас-Су (Горная Шория). Автореф. канд. дис. Томск, 1970. 20 с.
- Сопко П. Ф.** Колчеданные месторождения Малого Кавказа. М.: Недра, 1971. 253 с.
- Сотников В. И., Никитина Е. И.** Аксессорные минералы метасоматитов как индикаторы особенностей процесса рудогенеза и металлогенеза.— В кн.: Рудные формации и генезис эндогенных месторождений Алтас-Саянской области. М.: Наука, 1968, с. 170—196.
- Сперанская И. М.** Петрохимические типы меловых лав в различных тектонических районах Охотского побережья.— В кн.: Петрохимические особенности молодого вулканизма. М.: Изд-во АН СССР, 1963, с. 115—136.
- Спиридонов Э. М.** Геологическое строение Степнянского золотопосыпного интрузива (Сев. Казахстан).— Вестн. МГУ, 1968, № 4, с. 97—104.
- Спиридонов Э. М.** Золото и медь в горных породах Степнянского и Бестюбинского золоторудных полей.— Геол. и геофиз., 1971, № 9, с. 124—130.
- Стоянов Р. Д.** Металлогения Родонского срединного массива. М.: Недра, 1979. 179 с.
- Струев И. В.** Магнитогорский интрузивный комплекс.— В кн.: Вопросы петрологии гранитоидов Урала. Сб. I. Свердловск, 1970, с. 75—95.
- Сухов В. И.** Вулканогенные формации юга Дальнего Востока. М.: Недра, 1975. 112 с.
- Тааджрелидзе Г. А.** Рудные провинции мира. М.: Недра, 1972. 343 с.
- Тельгузиеев А. Т.** Габбро-плагиогранитная формация нижнего — среднего девона Западных Мугоджар. Автореф. канд. дис. Алма-Ата, 1969. 31 с.
- Темерев Г. М., Ксенофонтов О. К. и др.** Основные черты магматизма, тектоники и металлогенеза Тургайского прогиба.— В кн.: Магматические формации, метаморфизм, металлогенез Урала. Т. I. Свердловск, 1969, с. 224—243.
- Типы рудных колчеданоносных провинций Южного Урала и Западного Казахстана/Под ред. М. Б. Бородавской.** М.: ЦНИГРИ, 1973. 223 с.
- Ткаченко К. Н.** Позднегерцинский вулканизм в горах Архарлы Юго-Западной Джунгарии.— В кн.: Геология и рудоносность вулканогенных формаций Казахстана. Алма-Ата: Наука, 1966, с. 131—136.
- Трошин Ю. П.** Геохимия летучих компонентов в магматических породах, ореолах и рудах Восточного Забайкалья. Новосибирск: Наука, 1978. 172 с.
- Урбах В. Ю.** Биометрические методы. М.: Наука, 1964. 183 с.
- Урубаев К.** Аксессорный магнетит как критерий фациальности рудоносности и происхождения магматических пород.— В кн.: Зап. Узбекистана. отд. Всесоюз. минералог. о-ва. Ташкент: Фан, 1977, с. 61—65.
- Ушакова Е. Н.** Биотиты магматических пород. Новосибирск: Наука, 1980. 325 с.
- Федосеев Г. С.** Петрология Шиндинского гранитоидного plutona. М.: Наука, 1969. 90 с.
- Феофилактов Г. А.** Некоторые черты геологии, структурные условия локализации и генезиса золоторудных месторождений одного из районов Восточного Саяна.— Изв. Томск. политехн. ин-та, 1968, т. 134, с. 80—89.
- Ферштатер Г. Б.** Магнитогорская габбро-гранитная интрузия. Свердловск: Изд-во УФ АН СССР, 1966. 144 с.
- Филатов Е. И., Крейтер И. В. и др.** Соотношение магматических и рудных формаций в Змеиногорском районе (Рудный Алтай).— Геология рудных месторождений, 1979, т. 21, № 5, с. 93—96.
- Формационный анализ гранитоидов Западного Узбекистана/Изох Э. П., Юдалевич З. А. и др.** Новосибирск: Наука, 1975. 516 с.

- Формозова Л. И.** Генезис и формационный характер докембрийских железных руд Северной Швеции.— В кн.: Рудоносные вулканогенно-осадочные формации геосинклиналей. М.: Наука, 1965, с. 7—67.
- Фретс Д., Болд Р.** Маунт-Морган.— В кн.: Полезные ископаемые Австралии и Папуа Новой Гвинеи. М.: Мир, 1980, с. 564—573.
- Фролова Т. Н.** Вулканогенные формации геосинклиналей контрастного типа.— В кн.: Проблемы магматической геологии. Новосибирск: Наука, 1973, с. 23—48.
- Фролова Т. И., Бурикова И. А.** Геосинклинальный вулканизм. М.: Изд-во МГУ, 1977. 264 с.
- Хворова И. В., Ильинская Н. М.** Сравнительная характеристика двух вулканогенно-осадочных формаций Южного Урала.— В кн.: Вулканогенно-осадочные и терригенные формации. М.: Наука, 1963, с. 5—21.
- Хенкка С. Б., Сорокин В. Н.** О Джабыгасайском интрузивном комплексе и вероятной генетической связи с ним золотой минерализацией Кумакского рудного узла.— Труды ЦНИГРИ, 1968, вып. 79, с. 70—81.
- Химические составы изверженных и метаморфических пород Армянской ССР/Абовян С. Б., Багдасарян Г. П. и др.** Ереван: Изд-во АрмССР, 1962. 434 с.
- Хомич В. Г.** Тектоника, формации и структурная позиция вулканогенных месторождений золота северо-западной части Тихоокеанского подвижного пояса.— В кн.: Геология окраин континентов. Владивосток, 1979, с. 182—183.
- Царев Д. И.** Метасоматоз и конвергенция в циррологии и рудогенезе. М.: Наука, 1978. 308 с.
- Чайко Г. И., Ферштатер Г. Б.** Грязнушепский гранитоидный массив магнитогорского интрузивного комплекса.— В кн.: Вопросы петрологии гранитоидов Урала. Свердловск: изд. УНЦ АН СССР, 1972, с. 155—156.
- Червяковский Г. Ф.** Среднепалеозойский вулканизм восточного склона Урала. М.: Наука, 1972. 258 с.
- Червяковский Г. Ф., Говорова А. В.** Раннекарбоновая трахилипарт-базальтовая формация Магнитогорской эвгеосинклинальной зоны Урала.— В кн.: Вулканические образования Урала. Свердловск: изд. УНЦ АН СССР, 1978, с. 97—105.
- Чернов В. И.** Вулканические формации и порфировые интрузии Рудного Алтая. М.: Наука, 1974. 263 с.
- Чучко В. И.** К вопросу о возрасте таштуйского комплекса Северо-Восточной Тувы.— В кн.: Материалы по геологии Тувинской АССР. Кызыл: Кн. изд-во, 1971, с. 22—37.
- Шапошников Г. И.** Геология и рудоносность интрузий таштуйского комплекса в хребте Восточный Таштуй-Ола, Тувинской области. Автореф. канд. дис., 1955. 28 с.
- Шелковников А. Д.** Основные черты петрологии и металлогении Ольховского грандиорит-плагиогранитного комплекса.— В кн.: Новые данные по геологии юга Красноярского края. Красноярск, 1964, с. 224—250.
- Шелковников А. Д.** Эффузивные формации северо-западной части Восточного Саяна.— В кн.: Магматические формации Алтас-Саянской области. М.: Наука, 1965, с. 160—178.
- Шенкман Я. Д.** К вопросу об интрузивных комплексах Восточной Тувы.— Материалы по региональной геологии, 1959, вып. 5, с. 71—78.
- Шер С. Д.** Металлогения золота (Северная Америка, Австралия, Океания). М.: Недра, 1972. 293 с.
- Шер С. Д.** Металлогения золота (Евразия, Африка, Южная Америка). М.: Недра, 1974. 244 с.
- Шило Н. А., Сидоров А. А., Сидорин С. Г.** Проблемы металлогении золота и перспективы золоторудных месторождений Северо-Востока СССР.— В кн.: Актуальные проблемы геологии золота на Северо-Востоке СССР. Магадан: изд. ДВНЦ АН СССР, 1972, с. 27—34.
- Шило Н. А., Лычагин П. П. и др.** Домезозойская золотоносность Омолонского массива.— Докл. АН СССР, 1975, т. 225, № 5, с. 1165—1167.
- Шило Н. А., Сидоров А. А., Загрузина И. А.** Возраст золоторудных формаций Северо-Востока СССР и их связь с магматизмом.— Докл. АН СССР, 1975, т. 204, № 1, с. 18—26.
- Шипулин Ф. К.** Интрузии и рудообразование (на примере Дашикесана). М.: Наука, 1968. 213 с.
- Шираи Е. П., Агееев С. Т.** О вулканогенных формациях Верхнеуральского рудного района.— В кн.: Вопросы палеовулканизма медноколчеданных провинций Южного Урала и Северного Кавказа. М.: ЦНИГРИ, 1970, с. 33—46.
- Шишкин М. А.** Новые данные о строении Усманской вулканоструктуры (Охотско-Чукотский вулканогенный пояс).— Вестн. ЛГУ, 1980, № 12, с. 117—121.
- Шохина О. И., Филиппов Г. В., Ярошевич В. М.** Интрузивные породы Ольховско-Чибижевского массива в Восточном Саяне.— В кн.: Интрузивные комплексы золоторудных районов юга Красноярского края. Новосибирск: Наука, 1967, с. 175—257.

- Штейнберг А. Д. Среднедевонские магматические формации Александрийского района на Южном Урале.— В кн.: Магматические формации, метаморфизм, металлогения Урала. Свердловск: Изд-во УФ АН СССР, 1969, с. 211—218.
- Щерба Г. Н. Вертикальные движения как главная причина образования камерного пространства некоторых интрузивов Казахстана.— Изв. АН КазССР, № 103. Сер. геол., вып. 13, 1951, с. 56—60.
- Щерба Г. Н. Геология Нарымского массива гранитоидов на южном Алтае. Алма-Ата: Изд-во КазССР, 1957. 215 с.
- Щерба Г. Н., Дьячков Б. А., Наумтигаль Г. П. Жарма-Саурский геотектоноген. Алма-Ата: Наука, 1976. 198 с.
- Щербаков Ю. Г. Распределение и условия концентрации золота в рудных провинциях. М.: Наука, 1967. 267 с.
- Щербаков Ю. Г. Геохимия золоторудных месторождений в Кузнецком Алатау и Горном Алтае. Новосибирск: Наука, 1974. 277 с.
- Щербани И. П. Новые данные о минералогии и генезисе некоторых типов лиственитоподобных пород.— В кн.: Геология и генезис эндогенных рудных формаций Сибири. М.: Наука, 1972, с. 220—235.
- Шубин Г. В. Структура Иллинского золоторудного месторождения.— Изв. вузов. Сер. Геология и разведка, 1961, № 11, с. 68—72.
- Язева Р. Г., Белянина Г. П., Мельникова Г. Б. Металлогеническая специализация вулканогенных формаций различных стадий эвгеосинклиналей (на примере Урала).— В кн.: Закономерности размещения полезных ископаемых. Т. XII. М.: Наука, 1978, с. 105—111.
- Яковлев Г. Ф. Вулканогенные структуры месторождений полезных ископаемых.— Вестн. МГУ. Геология, 1979, № 5, с. 3—16.
- Яновский В. М. Плагиоклазовые гранитоиды Пластового массива.— В кн.: Магматические формации, метаморфизм, металлогения Урала. Т. 4. Свердловск: Изд-во УФ АН СССР, 1971, с. 153—162.
- Яновский В. М., Туголесов Л. Д. Особенности состава и строения Пластового массива плагиогранитов (Кочкарское рудное поле).— Сов. геология, 1967, № 5, с. 80—94.
- Препская М. А., Слюсарев А. П., Муратов Э. М. Минералы группы станинина в рудах колчеданно-барит-полиметаллического месторождения Майкани.— Изв. АН КазССР. Сер. геол., 1975, № 4, с. 52—57.
- Ярмолюк В. В. Вулканические структуры обрушения Охотско-Чукотского вулканического пояса. Новосибирск: Наука, 1973. 103 с.
- Пригин В. И. Основные черты геологии и петрографии Лебедского plutона (Горный Алтай).— Изв. Томск. политехн. ин-та им. С. М. Кирова, 1971, т. 177, с. 118—125.
- Albers J. P., Robertson J. F. Geology and ore deposits of East Schasta copper-zinc district Schasta County, California.— Geol. Surv. Prof. Paper, 338, 1961, p. 104.
- Bateman P. C., Lockwood J. P. Kaiser Peak quadrangle, Central Sierra Nevada, California. Analytic Data.— Geol. Surv. Prof. Paper, 1970, 644-C, p. 15.
- Bateman P. C., Lockwood J. P. Shaver Lake quadrangle, Central Sierra Nevada, California. Analytic Data.— Geol. Surv. Prof. Paper, 774-D, 1976, p. 20.
- Bennett E. H. Granitic rocks of Tertiary age in the Idaho batholith and their relation to mineralization.— Econ. Geol., 1980, v. 75, N 2, p. 278—288.
- Bromfield C. S. Geology of the Mount Wilson Quadrangle, Western San Juan Mountains, Colorado.— Geol. Surv. Bull., 1967, N 1227, p. 97.
- Calvin S. B. Geology of the Mount Wilson Quadrangle, Western San Juan Mountains, Colorado.— Geol. Surv. Bull., 1967, N. 1227, p. 97.
- Colley H., Greenbaum D. The mineral Deposits and Metallogenesis of the Fygyplatform.— Econ. Geol., 1980, v. 75, N 6, p. 807—829.
- Cornelius K. D. The Mount Morgan mine, Queensland a massive gold-copper pyritic replacement deposit.— Econ. Geol., 1969, v. 64, N 8, p. 885—902.
- Derry D. R. Economic aspects of archaean proterozoic boundaries.— Econ. Geol., 1961, v. 56, N 4.
- Fretsch R. On the magmatic origin of iron ores of the Kiruna type.— Econ. Geol., 1978, v. 73, p. 478—485.
- Gilmor P. Strata-bound massive pyritic sulfide deposits — a review.— Econ. Geol., 1971, v. 66, N 8, p. 1239—1243.
- Heitanen A. M. Idaho batholith near Pierce and Bungalow Clear-water county.— Idaho Geol. Surv. Prof. Paper, 344-D, 1963, p. 45.
- Hutchinson R. W. Volcanogenic sulfide deposits and their metallogenic significance.— Econ. Geol., 1973, v. 68, p. 1223—1246.
- Ishihara S., Suzuki Y. e. a. Cretaceous granitic rocks in the Kitakami Mountains Modal compositions, Chemical compositions.— In: Geological Survey of Japan. Report N 251, 1974, p. 8—47.
- Kissin S. A., Owens D. R. New data on stannite and related tin sulfide minerals.— Can. Mineral., 1979, v. 17, p. 125—135.
- Lanphere M. A., Reed B. L. Timing of Mesozoic and Cenozoic plutonic events in circum-

- Pacific North America.— Bull. Geol. Soc. Amer., 1973, v. 84, N 12, p. 3773—3782.
- Larsen E. S., Schmidt R. G. A reconnaissance of the Idaho batholith and comparison with the Southern California batholith.— Geol. Surv. Bull., 1958, 1070-A, p. 32.
- Lockwood J. P. Mount Abbot Quadrangle Central Sierra Nevada, California. Analytic Data.— Geol. Surv. Prof. Paper, 1975, 774-C, p. 18.
- Moore J. G. Geology of the Mount Pinchot quadrangle southern Sierra Nevada, California.— Geol. Survey Bull., 1963, N 1130, p. 150.
- Pirajno F. Geology, geochemistry and mineralisation of a spilite-keratophyre association in Cretaceous flysch, East Cape area, New Zealand.— N. Z. Geol. and Geophys., 1979, v. 22, N 3, p. 307—328.
- Reed B. L., Lanphere M. A. Age and chemistry of mesozoic and tertiary plutonic rocks in south-central Alaska.— Geol. Soc. America Bull., 1969, v. 80, p. 23—44.
- Reed B. L., Lanphere M. A. Chemical variations across the Alaska-Aleutian range batholith.— J. Res. U. S. Geol. Surv., 1974, v. 2, N 3, p. 343—352.
- Riverin G.; Hodgson C. Jay. Wall-rock alteration at the millenbach Cu-Zn mine, Noranda, Quebec.— Econ. Geol., 1980, v. 75, N 3, p. 36—42.
- Roberts R. G. The geological setting of the Mattagami Lake Mine, Quebec a volcanogenic massive sulfide deposit.— Econ. Geol., 1975, v. 70, p. 115—129.
- Sangster D. E. Precambrian volcanogenic massive sulfide deposits in Canada: a review Canadian Geol. Survey Paper, 1972, v. 72, p. 1—44.
- Segerstrom K., Ryberg G. E. Geology and Placer-Gold deposits of the Icarilla Mountains, Lincoln County, New Mexico.— Geol. Surv. Bull., 1974, v. 1308, p. 25.
- Sillitoe R. H. Some thoughts on gold-rich porphyry copper deposits.— Miner. deposits, 1979, v. 14, N 2, p. 161—174.
- Spence C. D., Rosen-Spence A. F. T.

Замеченные опечатки			
Страница	Строка	Напечатано	Следует читать
4	11 строку	«Засибгеология»	«Засибгеология»

Магматические ассоциации с золотым, железным и колчеданным оруденением.